

การบำบัดน้ำเสียที่มีสารอินทรีย์และชัลเฟตสูงโดยใช้เชลล์เข็มเพลิงชีวภาพ

นางสาวอธิรญา แสงเจริญ

จุฬาลงกรณ์มหาวิทยาลัย

CHULALONGKORN UNIVERSITY

บทคัดย่อและแฟ้มข้อมูลฉบับเต็มของวิทยานิพนธ์ตั้งแต่ปีการศึกษา 2554 ที่ให้บริการในคลังปัญญาจุฬาฯ (CUIR)
เป็นแฟ้มข้อมูลของนิสิตเจ้าของวิทยานิพนธ์ ที่ส่งผ่านทางบันทิตวิทยาลัย

The abstract and full text of theses from the academic year 2011 in Chulalongkorn University Intellectual Repository (CUIR)
are the thesis authors' files submitted through the University Graduate School.

วิทยานิพนธ์นี้เป็นส่วนหนึ่งของการศึกษาตามหลักสูตรปริญญาวิศวกรรมศาสตรมหาบัณฑิต

สาขาวิชาวิศวกรรมสิ่งแวดล้อม ภาควิชาวิศวกรรมสิ่งแวดล้อม

คณะวิศวกรรมศาสตร์ จุฬาลงกรณ์มหาวิทยาลัย

ปีการศึกษา 2557

ลิขสิทธิ์ของจุฬาลงกรณ์มหาวิทยาลัย

TREATMENT OF ORGANIC WASTEWATER CONTAINING HIGH-SULFATE USING MICROBIAL FUEL CELLS

Miss Achiraya Sangcharoen



A Thesis Submitted in Partial Fulfillment of the Requirements
for the Degree of Master of Engineering Program in Environmental Engineering
Department of Environmental Engineering
Faculty of Engineering
Chulalongkorn University
Academic Year 2014
Copyright of Chulalongkorn University

หัวข้อวิทยานิพนธ์

การบำบัดน้ำเสียที่มีสารอินทรีย์และซัลเฟตสูงโดยใช้เชลล์
เข็มเพลิงชีวภาพ

โดย

นางสาวอชิรญา แสงเจริญ

สาขาวิชา

วิศวกรรมสิ่งแวดล้อม

อาจารย์ที่ปรึกษาวิทยานิพนธ์หลัก

ผู้ช่วยศาสตราจารย์ ดร. เบญจพร สุวรรณศิลป์

คณะวิศวกรรมศาสตร์ จุฬาลงกรณ์มหาวิทยาลัย อนุมัติให้นับวิทยานิพนธ์ฉบับนี้เป็นส่วน
หนึ่งของการศึกษาตามหลักสูตรปริญญามหาบัณฑิต

คณะดีคณะวิศวกรรมศาสตร์

(ศาสตราจารย์ ดร. บัณฑิต อ้วอภรณ์)

คณะกรรมการสอบบัณฑิต

ประธานกรรมการ

(ผู้ช่วยศาสตราจารย์ ดร. พิชณุ รัชฎาวงศ์)

อาจารย์ที่ปรึกษาวิทยานิพนธ์หลัก

(ผู้ช่วยศาสตราจารย์ ดร. เบญจพร สุวรรณศิลป์)

กรรมการ

(รองศาสตราจารย์ ดร. ตะวัน ลิมปียการ)
(ผู้ช่วยศาสตราจารย์ ดร. ชัยพร ภู่ประเสริฐ)

กรรมการภายนอกมหาวิทยาลัย

(ผู้ช่วยศาสตราจารย์ ดร. วิลาสินี อุยุชชวาล)

อธิรญา แสงเจริญ : การบำบัดน้ำเสียที่มีสารอินทรีย์และชัลเฟตสูงโดยใช้เซลล์เชื้อเพลิงชีวภาพ (TREATMENT OF ORGANIC WASTEWATER CONTAINING HIGH-SULFATE USING MICROBIAL FUEL CELLS) อ.ที่ปรึกษาวิทยานิพนธ์หลัก: ผศ. ดร. เบญจพร สุวรรณศิลป์, 126 หน้า.

งานวิจัยนี้ศึกษาการประยุกต์ใช้เซลล์เชื้อเพลิงชีวภาพแบบห้องเดี่ยวที่ใช้อากาศเพื่อบำบัดน้ำเสียที่ปนเปื้อนสารอินทรีย์และชัลเฟตและผลิตกระแสไฟฟ้า รวมถึงศึกษากลไกที่เกิดขึ้นภายในเซลล์เชื้อเพลิงชีวภาพ ทำการเดินระบบอย่างต่อเนื่องโดยใช้น้ำเสียสังเคราะห์ในอัตราส่วนซีโอดีต่อชัลเฟตเท่ากับ 0.6 ซึ่งประกอบด้วยกรดแลกติก โซเดียมชัลเฟต และราตุอาหารที่สำคัญอื่น ๆ สำหรับจุลินทรีย์ ควบคุมระยะเวลา กักเก็บน้ำ 1 วัน และใช้ตัวต้านทานภายนอกขนาด 1000 โอห์ม ผลการทดลองเซลล์เชื้อเพลิงชีวภาพ ดังกล่าวมีประสิทธิภาพการบำบัดซีโอดีอยู่ที่ $51 \pm 9.88\%$ และ $57 \pm 10.09\%$ ส่วนชัลเฟตอยู่ที่ $21 \pm 9\%$ และ $18 \pm 9\%$ ในเซลล์เชื้อเพลิงชีวภาพที่ 1 และ 2 ตามลำดับ ค่าความต่างศักย์ไฟฟ้าที่วัดได้สูงสุดอยู่ที่ 0.093 และ 0.179 โวลต์ สำหรับเซลล์เชื้อเพลิงชีวภาพ 1 และ 2 ตามลำดับ ค่าความต้านทานภายในของระบบมีค่า เพิ่มขึ้นตามระยะเวลาการเดินระบบ เนื่องมาจากการสะสมตัวของชัลเฟอร์บนขั้วแอนode ส่งผลให้ ความสามารถในการนำไฟฟ้าของขั้วลดลง อย่างไรก็ตามการเปลี่ยนขั้วแอนode ส่งผลให้การผลิตกระแสไฟฟ้า ของเซลล์เชื้อเพลิงชีวภาพเพิ่มสูงขึ้นอย่างรวดเร็ว กลไกที่คาดว่าเกิดขึ้นภายในเซลล์เชื้อเพลิงชีวภาพ ได้แก่ กลไกการบำบัดซีโอดีจากตะกอนจุลินทรีย์แขวนลอยและจุลินทรีย์ที่เกาะติดบนขั้วแอนode กลไกการ บำบัดชัลเฟตจากตะกอนจุลินทรีย์แขวนลอยในระบบ กลไกการบำบัดชัลไฟฟ์โดยจุลินทรีย์บนขั้วแอนode และ กระบวนการ abiotic sulfide oxidation ที่ขั้วแอนode และกลไกการเกิดกระแสไฟฟ้าโดยจุลินทรีย์บน ขั้วแอนode และกระบวนการ abiotic sulfide oxidation ที่ขั้วแอนode จากผลการวิเคราะห์กลุ่มจุลินทรีย์ด้วย เทคนิค 16s metagenomics (MiSeq, Illumina) ในตัวอย่างตะกอนเริ่มต้นกลุ่มจุลินทรีย์ที่พบมากที่สุด 30.02% คือ *Clostridium spp.* เช่นเดียวกันกับตัวอย่างตะกอนจุลินทรีย์แขวนลอยซึ่งที่มีกระแสไฟฟ้าสูง ในสองสัปดาห์แรกของการเดินระบบที่พบ *Clostridium spp.* ปริมาณ 50.65% อย่างไรก็ตามในช่วงท้าย ของระบบพบว่ามีจุลินทรีย์กลุ่มแบคทีเรียดิวาร์ชัลเฟตเพิ่มมากขึ้น ได้แก่ *Desulfococcus spp.* *Desulfosacina spp.* และ *Desulfovibrio spp.* สำหรับตะกอนจุลินทรีย์บนขั้วแอนodeพบจุลินทรีย์กลุ่ม แบคทีเรียออกซิเดอร์ชัลเฟอร์ คือ *Thiobacillus spp.* มากที่สุดปริมาณ 22.52%

5470441321 : MAJOR ENVIRONMENTAL ENGINEERING

KEYWORDS: น้ำเสียชัลเพตสูง / เชลล์เชื้อเพลิงชีวภาพ / กระบวนการชัลเพตเรียบชั้น / แบคทีเรียริธิวช์ชัลเพต / แบคทีเรียออกซิเดอร์ชัลเพต/or

ACHIRAYA SANGCHAROEN: TREATMENT OF ORGANIC WASTEWATER CONTAINING HIGH-SULFATE USING MICROBIAL FUEL CELLS. ADVISOR: ASST. PROF. BENJAPORN SUWANNASILP, 126 pp.

This study investigated the application of single-chamber microbial fuel cells (MFCs) for the treatment of organic wastewater containing sulfate with simultaneous electricity generation. The treatment mechanisms within the MFCs were also studied. The MFCs were operated continuously and fed with synthetic wastewater with the COD: sulfate ratio of 0.6 containing lactic acid, sodium sulfate, and other nutrients. The hydraulic retention time of the MFCs was 1 day. The efficiencies of COD removal in MFC1 and MFC2 were $51\pm9.88\%$ and $57\pm10.09\%$, respectively. The efficiencies of sulfate removal in MFC1 and MFC2 were $21\pm9\%$ and $18\pm9\%$, respectively. The maximum of voltage in MFC1 and MFC2 are 0.093 and 0.179 volt, respectively. Internal resistances of the MFCs decreased over time due to the accumulation of sulfur on the anodes, which decreased the conductivity of the anodes. However, replacement of an anode rapidly improved the electricity generation of the MFC. Mechanisms that were likely to occur in the MFC include COD removal by suspended microorganisms and anode attached microorganisms, sulfate removal by suspended microorganisms, sulfide removal and electricity generation by anode attached microorganisms and abiotic sulfide oxidation. From the microbial community analysis using 16S metagenomics (MiSeq, Illumina), *Clostridium spp.* were dominant (30.02% of total microorganisms) in the seed inoculum. The suspended microorganisms in the MFC with high electricity generation during the first two weeks of operation were also dominated with *Clostridium spp.* (50.65%). However, sulfate-reducing bacteria, such as *Desulfococcus spp.*, *Desulfsacina spp.*, and *Desulfovibrio spp.* increased at the end of the MFC operation. On the other hand, sulfur-oxidizing bacteria such as *Thiobacillus spp.* (22.52% of total microorganisms) were dominant in the anode attached microorganisms.

Department: Environmental Engineering Student's Signature

Field of Study: Environmental Engineering Advisor's Signature

Academic Year: 2014

กิตติกรรมประกาศ

การทำวิจัยและเขียนเล่มวิทยานิพนธ์ฉบับนี้สำเร็จลุล่วง ผู้วิจัยได้รับความอนุเคราะห์จากหน่วยงาน
หลายหน่วยงานและบุคคลหลายท่าน ทั้งนี้ผู้วิจัยขอกราบขอบขอพระคุณต่อผู้ที่ให้ความอนุเคราะห์ดังต่อไปนี้

ทุนอุดหนุนวิทยานิพนธ์จากภาควิชาวิศวกรรมสิ่งแวดล้อม คณะวิศวกรรมศาสตร์ จุฬาลงกรณ์
มหาวิทยาลัย และทุนสนับสนุนโครงการพัฒนานักวิจัยรุ่นใหม่จากศูนย์ความเป็นเลิศด้านการจัดการสารและของ
เสียอันตราย จุฬาลงกรณ์มหาวิทยาลัย

บริษัท แซน อี. 68 แล็บ จำกัด ที่ให้ความอนุเคราะห์ต่องุลินทรีย์บำบัดแบบไร้อากาศ เพื่อใช้ในการ
การเริ่มเดินระบบ ภาควิชาวิศวกรรมสิ่งแวดล้อม คณะวิศวกรรมศาสตร์ จุฬาลงกรณ์มหาวิทยาลัย และศูนย์
ความเป็นเลิศด้านการจัดการสารและของเสียอันตราย จุฬาลงกรณ์มหาวิทยาลัย ที่ให้ความอนุเคราะห์เพื่อที่จะ
เครื่องมือในการดำเนินงานวิจัย

ผู้ช่วยศาสตราจารย์ ดร. เบญจพร สุวรรณศิลป์ อาจารย์ที่ปรึกษาวิทยานิพนธ์ ที่เคยให้คำปรึกษา
และช่วยแนะนำทางในการทำวิจัย รวมถึงช่วยแก้ไขในสิ่งที่บกพร่องมาตลอดระยะเวลาการทำวิจัยและเล่ม
วิทยานิพนธ์ ซึ่งเป็นสิ่งสำคัญที่ทำให้การทำวิทยานิพนธ์นี้สำเร็จลุล่วงด้วยดี

รองศาสตราจารย์ ดร. ตะวัน ลิมปิยากร ที่ให้คำแนะนำทำทั้งในขั้นตอนการทำงานวิจัย และการ
นำเสนอผลงานในที่สาธารณะ รวมถึงการสละเวลาเป็นกรรมการในการสอบวิทยานิพนธ์

ผู้ช่วยศาสตราจารย์ ดร. พิชญ รัชฎาวงศ์ ที่กรุณาเป็นประธานในการสอบวิทยานิพนธ์ ตลอดจน
ผู้ช่วยศาสตราจารย์ ดร. ชัยพร ภู่ประเสริฐ และ ผู้ช่วยศาสตราจารย์ ดร. วิลาสินี อุยชชวาล ที่กรุณาเป็น
กรรมการในการสอบวิทยานิพนธ์ รวมถึงให้คำแนะนำทำให้เล่มวิทยานิพนธ์ฉบับนี้สำเร็จไปได้ด้วยดี

คณาจารย์ภาควิชาวิศวกรรมสิ่งแวดล้อม คณะวิศวกรรมศาสตร์ จุฬาลงกรณ์มหาวิทยาลัย ทุกท่านที่
สั่งสอนและให้ความรู้เกี่ยวกับงานทางด้านวิศวกรรมสิ่งแวดล้อม

เจ้าหน้าที่ห้องปฏิบัติการและเจ้าหน้าที่ห้องธุรการ ภาควิชาวิศวกรรมสิ่งแวดล้อม คณะ
วิศวกรรมศาสตร์ จุฬาลงกรณ์มหาวิทยาลัย ตลอดจนเจ้าหน้าที่ประจำศูนย์ความเป็นเลิศด้านการจัดการสารและ
ของเสียอันตราย (ศสอ.) จุฬาลงกรณ์มหาวิทยาลัย ที่ให้ความอนุเคราะห์และอำนวยความสะดวกในการใช้
เครื่องมือวิเคราะห์ผล ห้องปฏิบัติการในการทำวิจัย รวมถึงคำแนะนำทางด้านเอกสาร ที่ทำให้งานวิจัยและเล่ม
วิทยานิพนธ์นี้สามารถสำเร็จลุล่วงด้วยดี

ขอบคุณ นางสาวเศรรยา กิจพ่อค้า นางสาวปริยาภรณ์ พรกูลวัฒน์ และนายวิชัยฤทธิ์ นิยม ที่ให้ความ
ช่วยเหลือในการทำวิจัย ตลอดจน เพื่อนๆ พี่ๆ ทุกคน และครอบครัวที่ให้ความช่วยเหลือ กำลังใจ ให้คำปรึกษา
และดูแลในตลอดระยะเวลาการทำวิจัย รวมถึงเล่มวิทยานิพนธ์

สารบัญ

หน้า

บทคัดย่อภาษาไทย.....	๑
บทคัดย่อภาษาอังกฤษ.....	๑
กิตติกรรมประกาศ.....	๙
สารบัญ.....	๙
สารบัญตาราง.....	๑๔
สารบัญภาพ	๑๕
บทที่ 1 บทนำ	๑
1.1 ที่มาและความสำคัญ	๑
1.2 วัตถุประสงค์ของงานวิจัย	๒
1.3 ขอบเขตของงานวิจัย	๓
1.4 ประโยชน์ที่คาดว่าจะได้รับ	๔
บทที่ 2 เอกสารและงานวิจัยที่เกี่ยวข้อง	๕
2.1 น้ำเสียปนเปื้อนสารอินทรีย์และชัลเพดสูง	๕
2.2 วัฏจักรชัลเพอร์ในธรรมชาติ	๖
2.3 จุลินทรีย์ที่เกี่ยวข้องกับวัฏจักรชัลเพอร์	๘
2.3.1 แบคทีเรียดิวาร์ชัลเพต (Sulfate-reducing bacteria).....	๘
2.3.2 แบคทีเรียออกซิเดชัลเพอร์/ชัลไฟด์ (Sulfur/Sulfide-oxidizing bacteria)	๙
2.4 เชลล์เชือเพลิงชีวภาพ (Microbial fuel cells)	๑๐
2.4.1 ความหมายและส่วนประกอบของเชลล์เชือเพลิงชีวภาพ	๑๐
2.4.2 การเกิดกระแสไฟฟ้าในเชลล์เชือเพลิงชีวภาพ	๑๑
2.4.3 การวัดประสิทธิภาพของเชลล์เชือเพลิงชีวภาพ	๑๓
2.5 เทคนิค Illumina MiSeq System	๑๗

หน้า

2.6 เซลล์เชื้อเพลิงชีวภาพที่เกี่ยวข้องกับการบำบัดมลพิษชัลเฟอร์	17
2.7 กลไกที่อาจเกิดขึ้นในเซลล์เชื้อเพลิงชีวภาพที่ใช้บำบัดน้ำเสียที่มีสารอินทรีย์และชัลเฟต	22
บทที่ 3 แผนการทดลองและดำเนินงานวิจัย	25
3.1 แผนงานวิจัย	25
3.2 การดำเนินการทดลอง	26
3.2.1 การทดลองช่วงที่ 1	26
3.2.2 การทดลองช่วงที่ 2	31
3.2.3 การทดลองช่วงที่ 3	37
บทที่ 4 ผลและวิจารณ์ผลการทดลอง	39
4.1 ผลการทดลองช่วงที่ 1 การทดสอบประสิทธิภาพการบำบัดและความสามารถในการผลิต กระแสงไฟฟ้าของน้ำเสียที่มีสารอินทรีย์และชัลเฟตในเซลล์เชื้อเพลิงชีวภาพ	39
4.2 ผลการทดลองช่วงที่ 2 การศึกษาบทบาทและกลไกการทำงานของจุลินทรีย์ที่เขวนลอยใน ระบบและจุลินทรีย์ที่อยู่บนข้าวแอลกอฮอล	54
4.2.1 ผลของการทดลองย่อยชุดที่ (1)	54
4.2.2 ผลของการทดลองย่อยชุดที่ (2)	57
4.2.3 ผลของการทดลองย่อยชุดที่ (3)	60
4.2.4 ผลการวิเคราะห์ลักษณะพื้นผิวและชนิดของราชูที่พับบนพื้นผิวของข้าวแอลกอฮอล	63
4.2.5 การวิเคราะห์กลไกการทำงานของเซลล์เชื้อเพลิงชีวภาพในการทดลองช่วงที่ 2	65
4.3 ผลการทดลองช่วงที่ 3 การศึกษาผลกระทบจุลินทรีย์ในเซลล์เชื้อเพลิงชีวภาพโดยการใช้เทคนิค Illumina MiSeq System	74
4.4 การวิเคราะห์กลไกการทำงานของเซลล์เชื้อเพลิงชีวภาพในงานวิจัยนี้	79
บทที่ 5 สรุปผลการวิจัยและข้อเสนอแนะ	87
5.1 สรุปผลการวิจัย	87
5.2 ประโยชน์ทางวิศวกรรมสิ่งแวดล้อม	88

หน้า

5.3 ข้อเสนอแนะ	88
รายการอ้างอิง	89
ภาคผนวก ก	93
ภาคผนวก ข	94
ภาคผนวก ค	95
ประวัติผู้เขียนวิทยานิพนธ์	126



สารบัญตาราง

หน้า	
ตารางที่ 2 - 1 ที่มาของน้ำเสียจากการกระบวนการผลิตขั้นตอนต่าง ๆ ของโรงงานรวมถึงปริมาณน้ำเสียของแต่ละประเภทโรงงาน.....	5
ตารางที่ 2 - 2 ปฏิกิริยาที่เกิดขึ้นในวัสดุจักรชัลเฟอร์	7
ตารางที่ 2 - 3 ตัวอย่างปฏิกิริยาการย่อยสลายสารอินทรีย์ของ I-SRB และ C-SRB	9
ตารางที่ 2 - 4 วัสดุที่ใช้เป็นส่วนประกอบของเซลล์เชื้อเพลิงชีวภาพ.....	11
ตารางที่ 2 - 5 ค่าความต่างศักย์ reduction half reaction ของสารรับ/ให้อิเล็กตรอน และจำนวนอิเล็กตรอนที่ถ่ายทอดที่พิเศษ 7	13
ตารางที่ 2 - 6 สรุปผลการศึกษาของงานวิจัยที่ผ่านมา	21
ตารางที่ 2 - 7 กลไกที่อาจเกิดขึ้นในเซลล์เชื้อเพลิงชีวภาพซึ่งบำบัดน้ำเสียบนเปื้อนสารอินทรีย์และชัลเฟต.....	23
ตารางที่ 3 - 1 ความเข้มข้นของสารในการเตรียมน้ำเสียสังเคราะห์สำหรับการทำบำบัดแบบไร้อากาศ	29
ตารางที่ 3 - 2 พารามิเตอร์ที่ใช้ในการเดินระบบ	29
ตารางที่ 3 - 3 พารามิเตอร์และวิธีหรือเครื่องมือที่ใช้เคราะห์ในการทดลอง	30
ตารางที่ 3 - 4 พารามิเตอร์และวิธีหรือเครื่องมือที่ใช้เคราะห์ในการทดลองย่อยที่ 1	32
ตารางที่ 3 - 5 ความเข้มข้นของสารในการเตรียมน้ำเสียสังเคราะห์สำหรับการทำทดลองย่อยที่ 2	34
ตารางที่ 3 - 6 พารามิเตอร์และวิธีหรือเครื่องมือที่ใช้เคราะห์ในการทดลองย่อยที่ 2	34
ตารางที่ 3 - 7 ความเข้มข้นของสารในการเตรียมน้ำเสียสังเคราะห์สำหรับการทำทดลองย่อยที่ 3	36
ตารางที่ 3 - 8 พารามิเตอร์และวิธีหรือเครื่องมือที่ใช้เคราะห์ในการทดลองย่อยที่ 3	36
ตารางที่ 4 - 1 เปรียบเทียบประสิทธิภาพการทำบำบัดชีโอดีในเซลล์เชื้อเพลิงชีวภาพในงานวิจัยที่ผ่านมา	39
ตารางที่ 4 - 2 สรุปกราฟความสัมพันธ์ระหว่างความต่างศักย์และความหนาแน่นกราฟสำหรับของเซลล์เชื้อเพลิงชีวภาพที่ 1 ในการทดลองวันที่ 13 22 27 54 73 และ 94.....	48

ตารางที่ 4 - 3 สรุปกราฟความสัมพันธ์ระหว่างความต่างศักย์และความหนาแน่นกระแสงไฟฟ้าของเซลล์เชื้อเพลิงชีวภาพที่ 2 ในการทดลองวันที่ 13 22 27 54 73 และ 94.....	50
ตารางที่ 4 - 4 สรุปค่าความหนาแน่นไฟฟ้าสูงสุดและความหนาแน่นกระแสงไฟฟ้าสูงสุดของเซลล์เชื้อเพลิงชีวภาพที่ 1 ที่คำนวณได้จากการทดลองวันที่ 13 22 27 54 73 และ 94.....	51
ตารางที่ 4 - 5 สรุปค่าความหนาแน่นไฟฟ้าสูงสุดและความหนาแน่นกระแสงไฟฟ้าสูงสุดของเซลล์เชื้อเพลิงชีวภาพที่ 2 ที่คำนวณได้จากการทดลองวันที่ 13 22 27 54 73 และ 94.....	52
ตารางที่ 4 - 6 สรุปผลการทดลองช่วงที่ 2 การศึกษาบทบาทและกลไกการทำงานของจุลินทรีย์ที่แพร่กระจายในระบบและจุลินทรีย์ที่อยู่บนข้าวแอโอนด	65
ตารางที่ 4 - 7 สรุปกลไกที่เกิดขึ้นในการทดลองช่วงที่ 2	68
ตารางที่ 4 - 8 Genus ของแบคทีเรียที่พบมากที่สุดของตะกอนเริ่มต้นระบบ	76
ตารางที่ 4 - 9 Genus ของแบคทีเรียที่พบมากที่สุดในช่วงที่มีกระแสงไฟฟ้าสูงในช่วงแรก	76
ตารางที่ 4 - 10 Genus ของแบคทีเรียที่พบมากที่สุดในช่วงท้ายการเดินระบบ	77
ตารางที่ 4 - 11 Genus ของแบคทีเรียที่พบมากที่สุดบนข้าวแอโอนด	78

สารบัญภาพ

หน้า

ภาพที่ 2 - 1 ปฏิกริยาที่เกิดขึ้นในวัฏจักรชัลเฟอร์	7
ภาพที่ 3 - 1 แผนการทดลองโดยรวมของงานวิจัย 26	
ภาพที่ 3 - 2 แผนผังการทดลองช่วงที่ 1	27
ภาพที่ 3 - 3 ส่วนประกอบของเซลล์เชื้อเพลิงชีวภาพ	28
ภาพที่ 3 - 4 จุดเก็บตัวอย่างน้ำเพื่อวิเคราะห์พารามิเตอร์	30
ภาพที่ 3 - 5 แผนผังรวมของการทดลองช่วงที่ 2	31
ภาพที่ 3 - 6 แผนผังการทดลองย่อยชุดที่ 1	32
ภาพที่ 3 - 7 แผนผังการทดลองย่อยที่ 2	33
ภาพที่ 3 - 8 แผนผังการทดลองย่อยชุดที่ 3	35
ภาพที่ 3 - 9 แผนผังลำดับการทดลองช่วงที่ 3.....	38
ภาพที่ 4 - 1 ปริมาณของซีโอดีในระบบเซลล์เชื้อเพลิงชีวภาพที่ 1	40
ภาพที่ 4 - 2 ปริมาณของซีโอดีในระบบเซลล์เชื้อเพลิงชีวภาพที่ 2	40
ภาพที่ 4 - 3 ประสิทธิภาพการบำบัดซีโอดีในระบบเซลล์เชื้อเพลิงชีวภาพทั้งสอง	40
ภาพที่ 4 - 4 ปริมาณชัลเฟตในระบบเซลล์เชื้อเพลิงชีวภาพที่ 1	41
ภาพที่ 4 - 5 ปริมาณชัลเฟตในระบบเซลล์เชื้อเพลิงชีวภาพที่ 2	41
ภาพที่ 4 - 6 ประสิทธิภาพการบำบัดชัลเฟตในระบบเซลล์เชื้อเพลิงชีวภาพทั้งสอง	42
ภาพที่ 4 - 7 ความเข้มข้นของชัลไฟด์ที่เกิดขึ้นในเซลล์เชื้อเพลิงชีวภาพทั้งสอง	42
ภาพที่ 4 - 8 ค่า ORP ที่วัดได้จากการเดินระบบเซลล์เชื้อเพลิงชีวภาพที่ 1 และ 2	43
ภาพที่ 4 - 9 ค่าพีเอชที่วัดได้จากการเดินระบบเซลล์เชื้อเพลิงชีวภาพที่ 1 และ 2	43
ภาพที่ 4 - 10 ลักษณะพื้นผิวและชนิดของราตุที่พับบนพื้นผิวของข้าวแอโนดเริ่มต้น	44
ภาพที่ 4 - 11 ลักษณะพื้นผิวและชนิดของราตุที่พับบนพื้นผิวของข้าวแอโนดหลังการทดลอง	44
ภาพที่ 4 - 12 ความต่างศักย์ไฟฟ้าที่วัดได้จากการทดลอง	45

ภาพที่ 4 - 13 ความหนาแน่นกระแสงไฟฟ้าที่วัดได้จากการทดลอง.....	45
ภาพที่ 4 - 14 กราฟความสัมพันธ์ระหว่างความต่างศักย์และความหนาแน่นกระแสงไฟฟ้าของเซลล์เชือเพลิงชีวภาพที่ 1 ในการทดลองวันที่ 13 22 27 54 73 และ 94.....	47
ภาพที่ 4 - 15 กราฟความสัมพันธ์ระหว่างความต่างศักย์และความหนาแน่นกระแสงไฟฟ้าของเซลล์เชือเพลิงชีวภาพที่ 2 ในการทดลองวันที่ 13 22 27 54 73 และ 94.....	49
ภาพที่ 4 - 16 กราฟความหนาแน่นกำลังไฟฟ้าของเซลล์เชือเพลิงชีวภาพที่ 1 ที่คำนวณได้จากการทดลองวันที่ 13 22 27 54 73 และ 94.....	51
ภาพที่ 4 - 17 กราฟความหนาแน่นกำลังไฟฟ้าของเซลล์เชือเพลิงชีวภาพที่ 2 ที่คำนวณได้จากการทดลองวันที่ 13 22 27 54 73 และ 94.....	52
ภาพที่ 4 - 18 ความเข้มข้นของซีโอดีในการทดลองย่อยชุดที่ (1).....	54
ภาพที่ 4 - 19 ประสิทธิภาพการบำบัดซีโอดีของการทดลองย่อยชุดที่ (1).....	55
ภาพที่ 4 - 20 ความเข้มข้นของชัลเฟตในการทดลองย่อยชุดที่ (1)	55
ภาพที่ 4 - 21 ประสิทธิภาพของการบำบัดชัลเฟตของการทดลองย่อยชุดที่ (1).....	55
ภาพที่ 4 - 22 ปริมาณของชัลไฟด์ที่เกิดขึ้นในการทดลองย่อยชุดที่ (1).....	56
ภาพที่ 4 - 23 ค่าความต่างศักย์ไฟฟ้าที่วัดได้จากการทดลองย่อยชุดที่ (1).....	56
ภาพที่ 4 - 24 ค่าความหนาแน่นกระแสงไฟฟ้าที่คำนวณได้จากการทดลองย่อยชุดที่ (1).....	57
ภาพที่ 4 - 25 ความเข้มข้นของซีโอดีในการทดลองย่อยชุดที่ (2).....	58
ภาพที่ 4 - 26 ประสิทธิภาพการบำบัดซีโอดีของการทดลองย่อยชุดที่ (2).....	58
ภาพที่ 4 - 27 ความเข้มข้นของชัลไฟด์ในการทดลองย่อยชุดที่ (2).....	58
ภาพที่ 4 - 28 ประสิทธิภาพการบำบัดชัลไฟด์ของการทดลองย่อยชุดที่ (2).....	59
ภาพที่ 4 - 29 ปริมาณที่เพิ่มขึ้นของชัลเฟตในการทดลองย่อยชุดที่ (2).....	59
ภาพที่ 4 - 30 ค่าความต่างศักย์ไฟฟ้าที่วัดได้ในการทดลองย่อยชุดที่ (2)	60
ภาพที่ 4 - 31 ค่าความหนาแน่นกระแสงไฟฟ้าที่คำนวณได้ในการทดลองย่อยชุดที่ (2)	60
ภาพที่ 4 - 32 ความเข้มข้นของชัลไฟด์ในการทดลองย่อยชุดที่ (3).....	61
ภาพที่ 4 - 33 ประสิทธิภาพการบำบัดชัลไฟด์ของการทดลองย่อยชุดที่ (3).....	61

ภาพที่ 4 - 34 ปริมาณซัลเฟตที่เพิ่มขึ้นในการทดลองย่อยชุดที่ (3)	62
ภาพที่ 4 - 35 ค่าความต่างศักย์ไฟฟ้าที่วัดได้ในการทดลองย่อยชุดที่ (3)	62
ภาพที่ 4 - 36 ค่าความหนาแน่นไฟฟ้าที่คำนวณได้ในการทดลองย่อยชุดที่ (3)	62
ภาพที่ 4 - 37 ภาพพื้นผิวและรากทุ่มพืบบนข้าวแอโนดเริ่มต้น	63
ภาพที่ 4 - 38 ภาพพื้นผิวและรากทุ่มพืบบนข้าวแอโนดของการทดลองช่วงที่ 2 ชุดที่ (1).....	64
ภาพที่ 4 - 39 ภาพพื้นผิวและรากทุ่มพืบบนข้าวแอโนดของการทดลองช่วงที่ 2 ชุดที่ (2).....	64
ภาพที่ 4 - 40 ภาพพื้นผิวและรากทุ่มพืบบนข้าวแอโนดของการทดลองช่วงที่ 2 ชุดที่ (3).....	64
ภาพที่ 4 - 41 กลไกที่เกิดขึ้นภายในเซลล์เชื้อเพลิงชีวภาพแล้วทำให้เกิดกระแสไฟฟ้าได้.....	66
ภาพที่ 4 - 42 กลไกที่คาดว่าจะเกิดขึ้นในการทดลองย่อยชุดที่ (1).....	69
ภาพที่ 4 - 43 กลไกที่คาดว่าจะเกิดขึ้นในการทดลองย่อยชุดที่ (2).....	71
ภาพที่ 4 - 44 กลไกที่เกิดขึ้นในการทดลองย่อยชุดที่ (3)	73
ภาพที่ 4 - 45 ผลการทำ PCR เพื่อเพิ่มจำนวน 16S rRNA ของจุลินทรีย์ในแต่ละตัวอย่าง	74
ภาพที่ 4 - 46 Phylum ที่พบในเซลล์เชื้อเพลิงชีวภาพที่ 2 ใน การทดลองช่วงที่ 1	75
ภาพที่ 4 - 47 สรุปกราฟความเข้มข้นซีโอดีในการทดลองช่วงที่ 1 และ 2	79
ภาพที่ 4 - 48 สรุปกราฟความเข้มข้นซัลเฟตในการทดลองช่วงที่ 1 และ 2	81
ภาพที่ 4 - 49 สรุปกราฟความเข้มข้นซัลไฟด์ในการทดลองช่วงที่ 1 และ 2	83
ภาพที่ 4 - 50 สรุปกราฟความต่างศักย์ไฟฟ้าในการทดลองช่วงที่ 1 และ 2	85

บทที่ 1 บทนำ

1.1 ที่มาและความสำคัญ

น้ำเสียที่มีการปนเปื้อนสารอินทรีย์และซัลเฟตสูงมักถูกปล่อยออกมายังสถานที่สาธารณะที่ต้องการรักษาความสะอาด เช่น โรงงานผลิตกระดาษ โรงงานแปรรูปยางพารา โรงงานผลิตแป้งมันสำปะหลัง โรงงานผลิตยาปฏิชีวนะ อุตสาหกรรมปิโตรเลียม และอุตสาหกรรมการทำเหมืองแร่ เป็นต้น ซึ่งสารอินทรีย์และซัลเฟตเหล่านี้อาจมาจากตัววัตถุดิบหรือสารเคมีที่ใช้ในกระบวนการผลิต ทำให้เกิดการปนเปื้อนออกมายังพื้นที่สาธารณะ หากน้ำเสียเหล่านี้ถูกปล่อยลงสู่แหล่งน้ำโดยไม่ผ่านกระบวนการบำบัดอาจก่อให้เกิดผลกระทบต่อทางด้านกายภาพและชีวภาพต่อสิ่งแวดล้อมรวมไปจนถึงระบบนิเวศ (Costanzo และคณะ, 2005, Kümmerer, 2009)

การบำบัดน้ำเสียที่ปนเปื้อนด้วยสารอินทรีย์สูงโดยทั่วไปมักนิยมใช้กระบวนการบำบัดทางชีวภาพทั้งแบบใช้อากาศและแบบไร้อากาศเนื่องจากประสิทธิภาพในการบำบัดสูงเมื่อเทียบกับต้นทุนและค่าใช้จ่ายที่ต่ำ แต่กระบวนการบำบัดทางชีวภาพแบบใช้อากาศมักมีค่าใช้จ่ายที่สูงกว่ากระบวนการบำบัดแบบไร้อากาศ อีกทั้งในยุคปัจจุบันกระบวนการบำบัดแบบไร้อากาศนับว่ามีข้อเด่นหลายประการ ทั้งในเรื่องของการประหยัดพลังงานและการดึงกลับพลังงาน (Energy recovery) จากกําชชีวภาพที่ผลิตได้ ดังนั้นระบบบำบัดน้ำเสียแบบไร้อากาศจึงนับเป็นทางเลือกที่น่าสนใจอย่างมากในยุคปัจจุบัน อย่างไรก็ตามกระบวนการบำบัดทางชีวภาพแบบไร้อากาศนั้นอาจไม่เหมาะสมสำหรับการบำบัดน้ำเสียซึ่งปนเปื้อนด้วยสารอินทรีย์และซัลเฟต เนื่องจากปริมาณซัลเฟตที่สูงในน้ำเสียมีแนวโน้มที่จะลดประสิทธิภาพในการผลิตกําชีวภาพในระบบบำบัดแบบไร้อากาศ นอกจากนี้ปริมาณซัลเฟตที่สูงในน้ำเสียสามารถก่อให้เกิดกระบวนการซัลเฟตเรติกซันโดยแบคทีเรียดิวเวอร์ซัลเฟตเกิดผลิตภัณฑ์คือไฮโดรเจนซัลไฟด์ ซึ่งทำให้คุณภาพของกําชชีวภาพลดลงจึงไม่เหมาะสมในการนำไปใช้เป็นแหล่งพลังงาน ดังนั้นการบำบัดน้ำเสียที่ปนเปื้อนด้วยสารอินทรีย์และซัลเฟตสูงด้วยกระบวนการทางชีวภาพแบบไร้อากาศโดยทั่วไปจึงไม่เหมาะสมในการดึงกลับพลังงานจากน้ำเสียประเภทนี้ งานวิจัยนี้จึงมีแนวคิดที่จะพัฒนาแนวทางในการดึงกลับพลังงานจากน้ำเสียประเภทนี้ด้วยทางเลือกอื่น เช่น การใช้เซลล์เชื้อเพลิงชีวภาพในการบำบัดน้ำเสียที่ปนเปื้อนด้วยสารอินทรีย์และซัลเฟตสูง

การใช้เซลล์เชื้อเพลิงชีวภาพในการผลิตกระแสไฟฟ้าจากน้ำเสียซึ่งปนเปื้อนซัลเฟตมีความเป็นไปได้เนื่องจากซัลเฟตในน้ำเสียสามารถถูกใช้เป็นสารรับอิเล็กตรอนโดยแบคทีเรียดิวเวอร์ซัลเฟตเพื่อผลิตเป็นซัลไฟด์ จากนั้นซัลไฟด์ที่เกิดขึ้นจะทำปฏิกิริยาต่อที่ชั่วโมงของเซลล์เชื้อเพลิง เกิดการถ่ายทอดอิเล็กตรอนไปยังชั้วแคโทด และผลิตเป็นกระแสไฟฟ้าพร้อมกับการบำบัดซัลไฟด์ใน

ขณะเดียวกัน งานวิจัยที่ผ่านมาพบว่าเชลล์เชื้อเพลิงชีวภาพสามารถบำบัดชัลไฟฟ์และก่อให้เกิดกระแสไฟฟ้าได้ (Rabaey และคณะ, 2005, Rabaey และคณะ, 2006, Zhao และคณะ, 2008) นอกจากนี้งานวิจัยของ Sun และคณะ (2010) ได้ทำศึกษาเกี่ยวกับกลุ่มจุลินทรีย์ซึ่งพบในเชลล์เชื้อเพลิงชีวภาพที่ทำการผลิตกระแสไฟฟ้าจากการกระบวนการชัลไฟฟ์ออกซิเดชัน พบร่วมในเชลล์เชื้อเพลิงชีวภาพผึ่งแอนด์ มีจุลินทรีย์จำพวกสามารถถ่ายทอดกระแสไฟฟ้า (Exoelectrogenic microorganisms) แบคทีเรียรีดิวช์ชัลเฟต และ แบคทีเรียออกซิไดซ์ชัลเฟอร์/ชัลไฟฟ์ อย่างไรก็ตาม งานวิจัยที่ผ่านมานิยมใช้ชัลไฟฟ์เป็นสารตั้งต้นในการถูกออกซิไดซ์ให้เกิดเป็นกระแสไฟฟ้าในเชลล์เชื้อเพลิงชีวภาพ หรือทำการแยกส่วนกระบวนการ ชัลเฟตเรดักชันโดยแบคทีเรียรีดิวช์ชัลเฟตออกในระบบก่อนหน้า ก่อนการป้อนชัลไฟฟ์ที่เกิดขึ้นเข้าสู่ระบบเชลล์เชื้อเพลิงชีวภาพ งานวิจัยซึ่งประยุกต์ใช้เชลล์เชื้อเพลิงชีวภาพในการบำบัดชัลเฟตและชัลไฟฟ์ในหน่วยปฏิการเดียวยังมีอยู่ค่อนข้างจำกัด (Rabaey และคณะ, 2005) และควรได้รับการพัฒนาต่อไป

จากปัญหาด้านการบำบัดน้ำเสียและการตึงกลับพลังงานจากน้ำเสียชัลเฟตสูงดังกล่าวข้างต้น งานวิจัยนี้จึงมีวัตถุประสงค์เพื่อพัฒนากระบวนการบำบัดน้ำเสียปนเปื้อนสารอินทรีย์และชัลเฟตสูง โดยใช้เชลล์เชื้อเพลิงชีวภาพเพื่อเป็นการบำบัดน้ำเสียและผลิตกระแสไฟฟ้าในขณะเดียวกัน

1.2 วัตถุประสงค์ของงานวิจัย

- 1) เพื่อศึกษาการบำบัดน้ำเสียที่มีสารอินทรีย์และชัลเฟตสูง รวมถึงความสามารถในการผลิตกระแสไฟฟ้าด้วยเชลล์เชื้อเพลิงชีวภาพ
- 2) เพื่อศึกษากลไกและบทบาทของจุลินทรีย์ในการบำบัดชัลเฟตและชัลไฟฟ์ในเชลล์เชื้อเพลิงชีวภาพ
- 3) เพื่อศึกษากลุ่มจุลินทรีย์ในระบบเชลล์เชื้อเพลิงชีวภาพซึ่งบำบัดน้ำเสียปนเปื้อนสารอินทรีย์และชัลเฟตสูง

1.3 ขอบเขตของงานวิจัย

- 1) งานวิจัยนี้เป็นงานวิจัยระดับห้องปฏิบัติการ ดำเนินการทดลอง ณ ห้องปฏิบัติการภาควิชา วิศวกรรมสิ่งแวดล้อม คณะวิศวกรรมศาสตร์ จุฬาลงกรณ์มหาวิทยาลัย
- 2) ดำเนินการทดลองโดยใช้เซลล์เชื้อเพลิงชีวภาพแบบห้องเดียวชนิดที่ใช้อากาศ (ออกซิเจน) เป็นตัวรับอิเล็กตรอนในฝั่งแค็โทด (Air-breathing single-chamber microbial fuel cell) มีขนาด กว้าง 9 เซนติเมตร สูง 12 เซนติเมตร และยาว 16 เซนติเมตร ประกอบด้วยข้าวแค็โทดและแอโนด โดยข้าวแค็โทดจะทำปฏิกิริยากับอากาศภายนอก วัสดุที่ใช้เป็นข้าวแค็โทดคือ carbon cloth 30% โดย น้ำหนัก PTFE wet proofed ขนาด 5x5 เซนติเมตร ซึ่งโหลดด้วยแพลทินัม 0.5 mg/cm^2 เพื่อเป็น ตัวเร่งปฏิกิริยา (Catalyst) ด้านหนึ่ง ส่วนอีกด้านหนึ่งติดกับเยื่อเลือกผ่านโปรตอน (Proton exchange membrane, PEM) ชนิด Nafion N117 ด้วยวิธีการ hot-pressing ซึ่งวัสดุที่ใช้เป็นข้าว แค็โทดทั้งหมดสั่งซื้อจากเวปไซต์ Fuel Cell Store ประเทศสหรัฐอเมริกา และใช้วัสดุสำหรับ ข้าวแอโนดเป็น activated carbon cloth ยี่ห้อ Zorflex Knit carbon cloth รุ่น FM50K สั่งซื้อจาก บริษัท Calgon Carbon Corporation ประเทศสหรัฐอเมริกา ขนาด 3x10 เซนติเมตร ทั้งข้าวแค็โทด และแอโนดต่อ กับสายไฟ ไฟฟ้านาโนเมตร เส้นผ่านศูนย์กลางขนาด 1 มิลลิเมตร และต่อ กับความต้านทาน ภายนอก เดินระบบแบบต่อเนื่องโดยใช้ Peristaltic pump
- 3) น้ำเสียสังเคราะห์ที่ใช้ในการทดลองประกอบด้วยซีโอดีและซัลเฟต ที่อัตราส่วนซีโอดีต่อ ซัลเฟตเท่ากับ (ประมาณ) 0.6 โดยใช้ กรดแลกติก ($\text{C}_3\text{H}_6\text{O}_3$) แทนซีโอดี และโซเดียมซัลเฟต (Na_2SO_4) แทนซัลเฟต (SO_4^{2-})
- 4) ศึกษาบทบาทการทำงานของจุลินทรีย์ในเซลล์เชื้อเพลิงชีวภาพซึ่งใช้บำบัดน้ำเสียที่มี สารอินทรีย์และซัลเฟตสูง โดยศึกษาประสิทธิภาพการทำงานของจุลินทรีย์บนข้าวแอโนด (Anode attached microorganisms) และจุลินทรีย์แขวนลอยในระบบ (Suspended microorganisms) รวมถึงกลไกที่คาดว่าเกิดขึ้นในเซลล์เชื้อเพลิงชีวภาพนี้คือ การลดปริมาณซัลเฟตโดยจุลินทรีย์ในระบบ (Microbial sulfate reduction) การลดปริมาณสารอินทรีย์โดยจุลินทรีย์ในระบบ (Microbial organic reduction) การออกซิเดช์ซัลไฟด์โดยจุลินทรีย์ในระบบ (Microbial sulfide oxidation) และการออกซิเดช์ซัลไฟด์โดยข้าวแอโนดในระบบ (Abiotic sulfide oxidation) รวมถึงศึกษา ผลิตภัณฑ์ที่เกิดขึ้นบนข้าวแอโนดในตอนท้ายของการทดลอง
- 5) ศึกษาชนิดของกลุ่มประชากรจุลินทรีย์ในระบบเซลล์เชื้อเพลิงชีวภาพโดยใช้เทคนิค Illumina MiSeq System

1.4 ประโยชน์ที่คาดว่าจะได้รับ

1) สร้างองค์ความรู้เกี่ยวกับการบำบัดน้ำเสียปนเปื้อนสารอินทรีย์และชัลเพตสูง ซึ่งสามารถนำไปพัฒนาต่อยอดเพื่อประยุกต์ใช้กับการบำบัดน้ำเสียจากอุตสาหกรรมต่างๆ ซึ่งก่อให้เกิดน้ำเสียปนเปื้อนสารอินทรีย์และชัลเพตสูงจากการกระบวนการผลิต

2) พัฒนาเทคโนโลยีในการบำบัดน้ำเสียโดยการจำจัดสารอินทรีย์ ชัลเพต และชัลไฟด์ในหน่วยปฏิบัติการเดียว

3) พัฒนาแนวทางในการตึงกลับพลังงานด้วยการผลิตกระแสไฟฟ้าจากน้ำเสียซึ่งปั่นเปื้อนด้วยสารอินทรีย์และชัลเพตสูง รวมถึงเป็นแนวทางเลือกใหม่ที่สำคัญสำหรับน้ำเสียชัลเพตสูงที่ไม่เหมาะสมในการนำมาผลิตก๊าซมีเทนด้วยกระบวนการทางชีวภาพแบบไร้อากาศโดยทั่วไป



บทที่ 2 เอกสารและงานวิจัยที่เกี่ยวข้อง

2.1 น้ำเสียปนเปื้อนสารอินทรีย์และซัลเฟตสูง

การปนเปื้อนของสารอินทรีย์และซัลเฟตในน้ำเสียอาจมีแหล่งกำเนิดจากโรงงานอุตสาหกรรมหลายประเภท ได้แก่ โรงงานผลิตกระดาษ โรงงานแปรรูปยางพารา โรงงานผลิตแป้งมันสำปะหลัง โรงงานผลิตยาปฏิชีวนะ รวมถึงน้ำเสียที่ปนเปื้อนมาจากอุตสาหกรรมปิโตรเลียม และอุตสาหกรรมการทำเหมืองแร่อิกด้วย (Knobel Lewis, 2002, Dutta และคณะ, 2008, Saritpongteeraka Chaiprapat, 2008, Zhao และคณะ, 2008) ซึ่งน้ำเสียเหล่านี้สามารถเกิดได้จากขั้นตอนต่าง ๆ ของกระบวนการผลิตของโรงงาน และมีอัตราการทิ้งน้ำเสียของน้ำเสียโรงงานอุตสาหกรรมบางประเภทดังแสดงได้ในตารางที่ 2-1

ตารางที่ 2 - 1 ที่มาของน้ำเสียจากการกระบวนการผลิตขั้นตอนต่าง ๆ ของโรงงาน (Nemerow Agardy, 1998) รวมถึงปริมาณน้ำเสียของแต่ละประเภทโรงงาน (กรมควบคุมมลพิษ, 2554)

ประเภทโรงงาน	ขั้นตอนที่ทำให้เกิดน้ำเสีย	ปริมาณน้ำเสีย (ลูกบาศก์เมตร/ตันผลผลิต)
โรงงานผลิตกระดาษ	การต้มเยื่อ การทำให้ได้เยื่อกระดาษที่บริสุทธิ์ การล้างทำความสะอาดเยื่อกระดาษ และการรักษาคุณภาพของกระดาษ	3.3
โรงงานแปรรูปยางพารา	การปรับสภาพยางพาราธรรมชาติ การทำให้น้ำยางจับตัว และการล้างยางในขั้นตอนการรีดยาง	5.3
โรงงานผลิตแป้งมันสำปะหลัง	การสกัดแป้ง การเพิ่มความเข้มข้น และการทำความสะอาดน้ำแป้ง	5.5
โรงงานผลิตยาปฏิชีวนะ	การสังเคราะห์ยา และการทำความสะอาดยา	3.1
อุตสาหกรรมปิโตรเลียม	น้ำเสียจากการกระบวนการผลิตสารเคมี และการขนส่งสารประกอบน้ำมัน	2.0
อุตสาหกรรมการทำเหมืองแร่	การล้างแร่ และการคลุกแร่ให้บริสุทธิ์	ไม่มีการเก็บข้อมูล

การปนเปื้อนสารอินทรีย์สูงในน้ำส่งผลกระทบให้ปริมาณออกซิเจนในแหล่งน้ำลดลง และอาจก่อให้เกิดปัญหาน้ำเน่าเสียได้ ส่วนการปนเปื้อนชัลเฟตสูงในน้ำสามารถส่งผลให้ค่าของแข็งละลายน้ำสูงขึ้น รวมถึงส่งผลในเรื่องของการกัดกร่อนโลหะและคอนกรีตในกรณีที่ต้องส่งผ่านน้ำเสียปนเปื้อนชัลเฟตไปตามเส้นท่ออีกด้วย (Pikaar และคณะ, 2011) อย่างไรก็ตามผลกระทบของการปนเปื้อนชัลเฟตในน้ำมักไม่ได้เกิดจากปริมาณชัลเฟตโดยตรง แต่มักจะเกิดจากปฏิกิริยาชัลเฟตรีดักชันที่ผลิตกําชایโอดเรเจนชัลไฟฟ์ ออกมานะ เพราะเมื่อน้ำเสียปนเปื้อนชัลเฟตได้รับการบำบัดด้วยระบบบำบัดแบบไร้อากาศจะเกิดปฏิกิริยาชัลเฟตรีดักชัน ซึ่งก่อให้เกิดกําชัยโอดเรเจนชัลไฟฟ์ที่ทำให้เกิดกลิ่นเหม็นรบกวน (Zhang และคณะ, 2009) นอกจากนี้กําชัยโอดเรเจนชัลไฟฟ์ยังส่งผลต่อการยับยั้งจุลินทรีย์กลุ่มสร้างมีเทน (Methanogens) ในระบบบำบัดน้ำเสียแบบไร้อากาศ ทำให้ปริมาณและคุณภาพของกําชีวภาพที่เกิดขึ้นลดต่ำลงอีกด้วย

โดยทั่วไปการบำบัดน้ำเสียที่ปนเปื้อนทั้งสารอินทรีย์และชัลเฟตนิยมใช้ระบบบำบัดชีวภาพแบบไร้อากาศตามด้วยระบบบำบัดแบบเติมอากาศ เนื่องจากระบบบำบัดทางชีวภาพแบบไร้อากาศจะช่วยลดค่าซีโอดีให้ต่ำลง และระบบบำบัดแบบเติมอากาศจะช่วยทำให้น้ำหลังการบำบัดผ่านเกนท์ มาตรฐานน้ำทึ้ง แม้ว่าการบำบัดน้ำเสียด้วยระบบบำบัดแบบไร้อากาศจะสามารถลดค่าซีโอดีที่มีปริมาณสูง และมีแนวโน้มในการผลิตกําชีวภาพออกมานได้ อย่างไรก็ตามกําชีวภาพที่ได้จากการบำบัดน้ำเสียที่มีการปนเปื้อนชัลเฟตด้วยยังมีคุณภาพต่ำ เนื่องจากการปนเปื้อนของกําชัยโอดเรเจนชัลไฟฟ์ที่เกิดขึ้นภายในระบบเมื่อใช้การบำบัดด้วยระบบไร้อากาศทั่วไป ดังนั้นจึงมีนักวิจัยหลายกลุ่มพยายามหาแนวทางในการบำบัดชัลเฟตและชัลไฟฟ์ควบคู่ไปกับการดึงกลับพลังงานให้สามารถเกิดประโยชน์ได้ เช่น การใช้เซลล์เชื้อเพลิงชีวภาพ (Silva และคณะ, 2002, Khanal Huang, 2003, Lin Chen, 2006, Zhao และคณะ, 2009, Sun และคณะ, 2010, Zhang และคณะ, 2010)

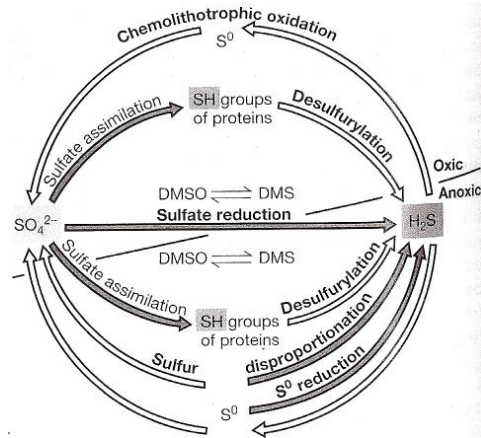
CHULALONGKORN UNIVERSITY

2.2 วัฏจักรชัลเฟอร์ในธรรมชาติ

ในธรรมชาติธาตุกำมะถันหรือชัลเฟอร์สามารถพบได้ทั่วไปหลายรูปแบบ เนื่องจากมีเลขออกซิเดชันหลายค่า ได้แก่ เลขออกซิเดชันเท่ากับ +6 (รูปของชัลเฟต, SO_4^{2-}) เลขออกซิเดชันเท่ากับ 0 (รูปของชัลเฟอร์, S^0) และเลขออกซิเดชันเท่ากับ -2 (รูปของชัลไฟฟ์, S^{2-}) แหล่งของชัลเฟอร์ที่พบมากที่สุดในโลกที่อยู่ในสถานะของแข็งได้แก่ ตะกอนดิน หิน และแร่ เช่น แร่ยิปซัมหรือแคลเซียม-ชัลเฟต ($\text{Calcium sulfate, CaSO}_4$) รวมถึงแร่ไฟร์ท (Pyrite, FeS_2) ซึ่งการเปลี่ยนรูปในแต่ละสถานะจะทำให้เกิดการหมุนเวียนของชัลเฟอร์ในธรรมชาติ

การหมุนเวียนของชัลเฟอร์ในธรรมชาติต้องอาศัยกระบวนการทั้งทางเคมีและทางชีวภาพเข้ามา มีส่วนเกี่ยวข้อง ไม่ว่าจะเป็นกระบวนการชัลเฟตรีดักชัน (Sulfate reduction) ที่มีแบคทีเรียรีดิวช์ชัลเฟตเข้ามาเกี่ยวข้อง หรือกระบวนการชัลเฟอร์ออกซิเดชัน (Sulfur oxidation) ที่มีแบคทีเรีย

ออกซิไดซ์ชัลเฟอร์เข้ามาเกี่ยวข้อง รวมถึงกระบวนการชัลไฟด์ออกซิเดชัน (Sulfide oxidation) ที่มีแบคทีเรียออกซิไดซ์ชัลไฟด์เข้ามาเกี่ยวข้อง ดังแสดงในภาพที่ 2-1 และตารางที่ 2-2



ภาพที่ 2 - 1 ปฏิกิริยาที่เกิดขึ้นในวัฏจักรชัลเฟอร์ (Medigan และคณะ, 2003)

ตารางที่ 2 - 2 ปฏิกิริยาที่เกิดขึ้นในวัฏจักรชัลเฟอร์ (Medigan และคณะ, 2003)

กระบวนการ	ตัวอย่างชนิดจุลินทรีย์
ชัลไฟด์/ชัลเฟอร์ ออกซิเดชัน $(H_2S \rightarrow S^0 \rightarrow SO_4^{2-})$ แบบใช้อากาศ (Aerobic) แบบไม่ใช้อากาศ (Anaerobic)	Sulfur chemolithotrophs (<i>Thiobacillus</i> , <i>Beggiatoa</i> และอื่นๆ) Purple and green phototrophic bacteria และ chemolithotroph บางชนิด
ชัลเฟตอีดักชัน (แบบไม่ใช้อากาศ) $(SO_4^{2-} \rightarrow H_2S)$	<i>Desulfovibrio</i> , <i>Desulfobacter</i>
ชัลเฟอร์อีดักชัน (แบบไม่ใช้อากาศ) $(S^0 \rightarrow H_2S)$	<i>Desulfuromonas</i> และ hyperthermophilic Archaea ส่วนใหญ่
Sulfur disproportionation $(S_2O_3^{2-} \rightarrow H_2S + SO_4^{2-})$	<i>Desulfovibrio</i> และอื่นๆ
Organic sulfur compound oxidation or reduction $(CH_3SH \rightarrow CO_2 + H_2S)$ $(DMSO \rightarrow DMS)$	จุลินทรีย์หลายชนิดสามารถทำได้
Desulfurylation $(\text{organic-S} \rightarrow H_2S)$	จุลินทรีย์หลายชนิดสามารถทำได้

2.3 จุลินทรีย์ที่เกี่ยวข้องกับวัฏจักรซัลเฟอร์

จากที่กล่าวมาข้างต้นเกี่ยวกับวัฏจักรซัลเฟอร์ แสดงให้เห็นได้ว่าในแต่ละขั้นตอนของการเปลี่ยนรูปตามปฏิกิริยาต่างๆ มีจุลินทรีย์เข้ามายังกับวัฏจักรซัลเฟอร์ แล้วปฏิกิริยาการหายใจแบบไร้อكسิเจนที่มีจุลินทรีย์กลุ่มแบคทีเรียดิวัชัลเฟตเข้ามาเกี่ยวข้องด้วย เช่น ปฏิกิริยาการหายใจแบบไร้อكسิเจนที่มีจุลินทรีย์กลุ่มแบคทีเรียดิวัชัลเฟตเข้ามาเกี่ยวข้อง หรือปฏิกิริยาการเปลี่ยนก๊าซไฮโดรเจนซัลไฟด์ให้เป็น Elemental sulfur ที่มีจุลินทรีย์กลุ่มแบคทีเรียออกซิเดชัลไฟด์เข้ามาเกี่ยวข้อง ดังนั้นจึงสามารถสรุปได้ว่า จุลินทรีย์ที่เกี่ยวข้องกับการเปลี่ยนแปลงในวัฏจักรซัลเฟอร์เป็นหลักคือ แบคทีเรียดิวัชัลเฟต และแบคทีเรียออกซิเดชัลไฟด์/ซัลไฟด์

2.3.1 แบคทีเรียดิวัชัลเฟต (Sulfate-reducing bacteria)

แบคทีเรียดิวัชัลเฟต เป็นแบคทีเรียที่มีหلامยูปร่าง ทั้งรูปท่อนตรง หònโค้ง หรือท่อนเกลียว มีกระบวนการเมตาโบลิซึมแบบไม่ใช้ออกซิเจน พบรดได้ในตากองของแหล่งน้ำและบ่อสำบัดน้ำเสียซึ่งมักพบสารประกอบซัลเฟอร์เป็นองค์ประกอบ (มั่นสิน ตันทูลเวศน์, 2546)

สามารถแบ่งกลุ่มของแบคทีเรียดิวัชัลเฟตตามความสามารถในการย่อยสลายสารอินทรีย์เพื่อการดำเนินชีพและเจริญเติบโตได้เป็น 2 กลุ่ม คือ

1) แบคทีเรียดิวัชัลเฟตชนิดย่อยสลายสารอินทรีย์ได้ไม่สมบูรณ์ (Incompletely oxidizing sulfate reducing bacteria; I-SRB)

2) แบคทีเรียดิวัชัลเฟตชนิดย่อยสลายสารอินทรีย์ได้อย่างสมบูรณ์ (Completely oxidizing sulfate reducing bacteria; C-SRB)

สารอินทรีย์ที่เหลือจากการย่อยสลายของแบคทีเรียกลุ่ม I-SRB คือ อะซิเตท แต่ I-SRB ไม่สามารถนำอะซิเตทไปใช้ได้ แม้จะเป็นสารอาหารที่มีอยู่เพียงประเภทเดียว ก็ตาม สาเหตุเนื่องมาจาก I-SRB ขาดกลไกที่เกี่ยวข้องกับการจัดการเอนไซม์บางชนิดที่มีบทบาทต่อการย่อยอะซิเตท อย่างไรก็ตาม I-SRB อาจใช้อะซิเตทเป็นแหล่งคาร์บอนได้เมื่อสารให้อเล็กตรอนคือ ไฮโดรเจนหรือฟอร์มาฟ และข้อแตกต่างอีกประการหนึ่งของแบคทีเรียดิวัชัลเฟตทั้งสองกลุ่มนี้คือ แบคทีเรียกลุ่ม I-SRB มีอัตราการเจริญเติบโตที่เร็วกว่ากลุ่ม C-SRB เมื่อออยู่ในภาวะที่เหมาะสมต่อการเจริญเติบโตของแบคทีเรียทั้งสองกลุ่ม ตัวอย่างปฏิกิริยาการย่อยสลายสารอินทรีย์ของแบคทีเรียดิวัชัลเฟตแสดงดังในตารางที่ 2-3

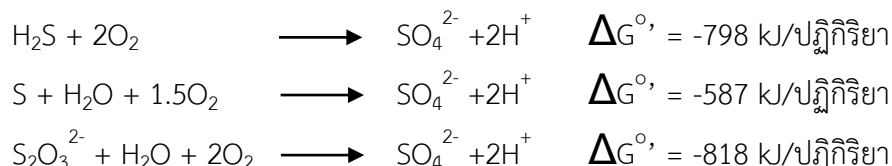
ตารางที่ 2 - 3 ตัวอย่างปฏิกิริยาการย่อยสลายสารอินทรีของ I-SRB และ C-SRB

ลำดับที่	สารให้ อิเล็กตรอน	ประเภท แบคทีเรีย	ปฏิกิริยาขั้ลเฟอร์ดักขัน
1	ไฮโดรเจน- พอร์เมท	I-SRB และ C-SRB	$4H_2 + SO_4^{2-} + H^+ \rightarrow 4H_2O + HS^-$
2	อะซิเตท	C-SRB	$CH_3COO^- + SO_4^{2-} \rightarrow 2HCO_3^- + HS^-$
3	พรอพิโอบเนท	C-SRB	$4CH_3CH_2COO^- + 7SO_4^{2-} \rightarrow$
		I-SRB	$12HCO_3^- + 7HS^- + H^+$ $4CH_3CH_2COO^- + 3SO_4^{2-} \rightarrow$ $4CH_3COO^- + 4HCO_3^- + 3HS^- + H^+$
4	บิวทิเรต	C-SRB	$2CH_3(CH_2)COO^- + 5SO_4^{2-} \rightarrow 8HCO_3^- + 5HS^- + H^+$
		I-SRB	$2CH_3(CH_2)COO^- + SO_4^{2-} \rightarrow 4CH_3COO^- + HS^- + H^+$
5	แลกเดท	C-SRB	$2CH_3CHOHCOO^- + 3SO_4^{2-} \rightarrow$
		I-SRB	$6HCO_3^- + 3HS^- + H^+$ $2CH_3CHOHCOO^- + SO_4^{2-} \rightarrow$ $2CH_3COO^- + 2HCO_3^- + HS^- + H^+$
6	เบนโซไซเดท	C-SRB	$4C_6H_5COO^- + 15SO_4^{2-} + 16H_2O \rightarrow$ $28HCO_3^- + 15HS^- + 9H^+$
		I-SRB	$4C_6H_5COO^- + 3SO_4^{2-} + 16H_2O \rightarrow$ $12CH_3COO^- + 4HCO_3^- + 3HS^- + 9H^+$

หมายเหตุ: C-SRB คือ SRB ชนิดย่อยได้อย่างสมบูรณ์ และ I-SRB คือ SRB ชนิดย่อยได้ไม่สมบูรณ์

2.3.2 แบคทีเรียออกซิเดชัลเฟอร์/ชัลไฟด์ (Sulfur/Sulfide-oxidizing bacteria)

แบคทีเรียออกซิเดชัลเฟอร์/ชัลไฟด์ เช่น *Thiobacillus*, *Thiomicrospira* และ *Thiosphaera* เป็นต้น เป็นแบคทีเรียที่สามารถออกซิเดชัลสารประกอบชัลเฟอร์ในสภาพแวดล้อมที่มีอากาศ ให้กลายเป็นกรดชัลฟิวริกได้ ดังสมการ (Madigan et al., 2003)



แบคทีเรียออกซิเดชัลเฟอร์เหล่านี้ใช้พลังงานที่เกิดขึ้นในการสังเคราะห์สารประกอบอินทรีจากคาร์บอนไดออกไซด์ เพื่อใช้ในการเจริญเติบโตได้ (Hassan และคณะ, 2010)

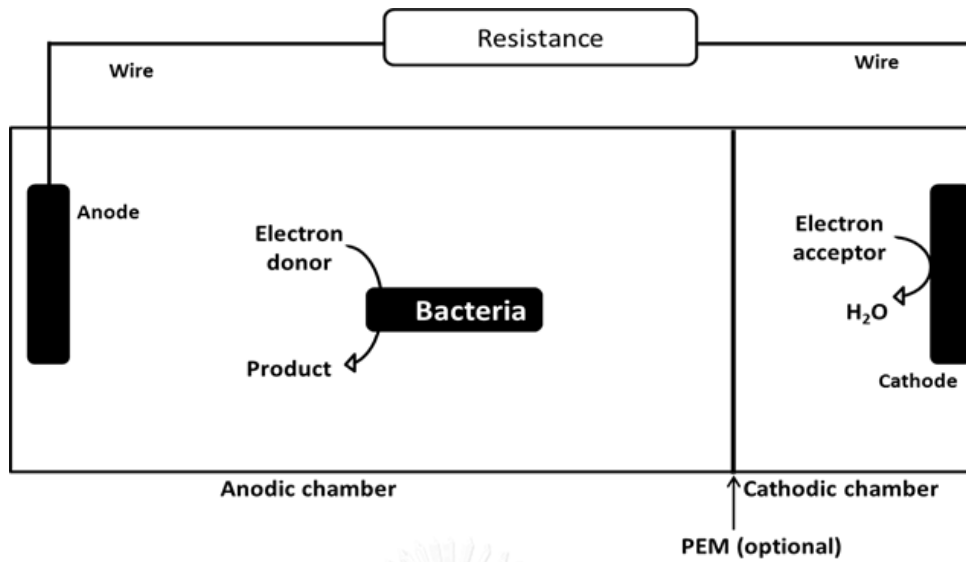
2.4 เชลล์เชื่อเพลิงชีวภาพ (Microbial fuel cells)

2.4.1 ความหมายและส่วนประกอบของเชลล์เชื่อเพลิงชีวภาพ

เชลล์เชื่อเพลิงชีวภาพคือ ระบบที่เปลี่ยนพลังงานทางเคมีให้เป็นพลังงานทางไฟฟ้าได้โดยใช้จุลินทรีย์เป็นตัวกระตุนให้เกิดปฏิกิริยาภายในห้องแอโนด ซึ่งจุลินทรีย์จะเป็นตัวรับอิเล็กตรอนที่เกิดขึ้นจากการย่อยสลายสารอินทรีย์ในระบบ แล้วถ่ายทอดอิเล็กตรอนเหล่านั้นไปยังข้าไฟฟ้าในห้องแอโนด จากนั้นถ่ายทอดอิเล็กตรอนจากข้าไฟฟ้าในห้องแอโนดไปยังข้าไฟฟ้าในห้องแคคโทดโดยผ่านทางสายไฟที่เชื่อมระหว่างข้าไฟฟ้า ส่วนโปรดอนที่เกิดขึ้นในห้องแอโนดจะเคลื่อนที่ผ่านเยื่อเลือกผ่านโปรดอนไปยังห้องแคคโทด และรับอิเล็กตรอนเกิดเป็นโมเลกุลของน้ำ ซึ่งปฏิกิริยาเหล่านี้จะสามารถถกก่อให้เกิดกระแสไฟฟ้าได้ (เบญจพร บุญชาอันนัต, 2555)

รูปแบบโดยทั่วไปของเชลล์เชื่อเพลิงชีวภาพมี 2 ประเภทคือ แบบห้องเดียว และแบบห้องคู่ โดยแบบห้องเดียวจะนิยมใช้อากาศ (ออกซิเจน) เป็นตัวรับอิเล็กตรอนในฝั่งแคคโทด (Liu Logan, 2004, Zhao และคณะ, 2008, Sun และคณะ, 2009, Zhao และคณะ, 2009, Sun และคณะ, 2010) ส่วนแบบห้องคู่จะนิยมใช้สารละลายกลุ่ม เอกไซโซโนเฟอร์เรต หรือเฟอริกไซด์ เป็นตัวรับอิเล็กตรอนในฝั่งแคคโทด (Rabaey และคณะ, 2005, Rabaey และคณะ, 2006, Dutta และคณะ, 2008)

เชลล์เชื่อเพลิงชีวภาพประกอบด้วยส่วนประกอบหลักคือ ส่วนแอโนดและส่วนแคคโทด โดยในแต่ละส่วนประกอบด้วยข้าไฟฟ้า (Electrode) และสารละลายนำไฟฟ้า (Electrolyte) เพื่อให้เกิดการถ่ายเทอิเล็กตรอนที่เกิดขึ้น และมีเยื่อเลือกผ่านโปรดอน (Proton exchange membrane, PEM) เป็นตัวแบ่งระหว่างส่วนแอโนดและแคคโทด หรือในบางระบบอาจไม่มีเยื่อเลือกผ่านโปรดอนก็ได้ (Liu Logan, 2004) ดังแสดงในภาพที่ 2-2



ภาพที่ 2 - 2 ส่วนประกอบของเซลล์เชื้อเพลิงชีวภาพ (เบญจพร บุญขยายอนันต์, 2555)
ซึ่งวัสดุที่มีการนำมาใช้ในส่วนประกอบของเซลล์เชื้อเพลิงชีวภาพสามารถแสดงได้ในตารางที่ 2-4

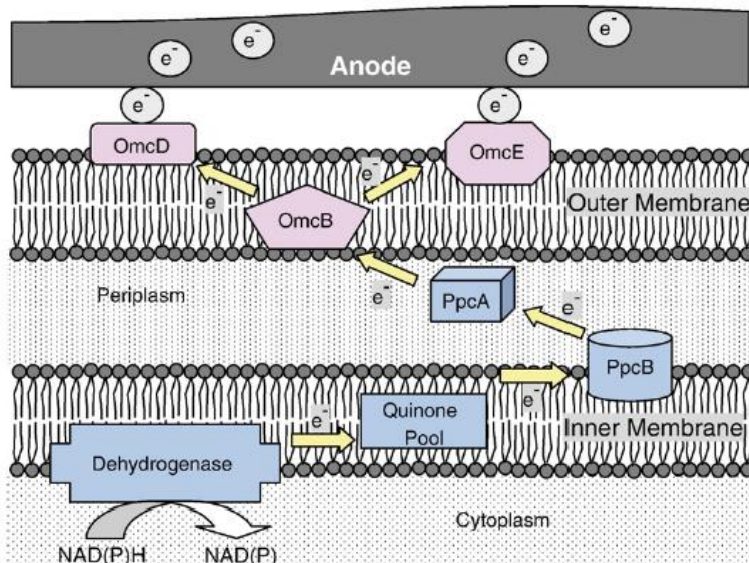
ตารางที่ 2 - 4 วัสดุที่ใช้เป็นส่วนประกอบของเซลล์เชื้อเพลิงชีวภาพ (Du และคณะ, 2007)

ส่วนประกอบของเซลล์เชื้อเพลิงชีวภาพ	วัสดุที่ใช้
ขี้วแอโนด	Graphite, graphite felt, granular graphite, graphite foil, carbon paper, toray carbon paper, carbon fiber veil, carbon cloth, activated carbon cloth
ขี้วแคโทด	Graphite, graphite felt, carbon paper, carbon cloth
เยื่อเลือกผ่านโปรตอน	Nafion, Ultrex, polyethylene
ตัวเร่งปฏิกิริยา	Pt, Pt black, MnO ₂ , Fe ³⁺ , polyaniline, electron mediator immobilized on anode

2.4.2 การเกิดกระแสไฟฟ้าในเซลล์เชื้อเพลิงชีวภาพ

กระบวนการที่ทำให้เกิดกระแสไฟฟ้าในระบบเซลล์เชื้อเพลิงชีวภาพเริ่มจากการย่อยสลายสารอินทรีย์โดยจุลินทรีย์ในฝักแองโนด ซึ่งในกระบวนการสร้างพลังงานของจุลินทรีย์จะปลดปล่อยอิเล็กตรอนออกมานมิ อิเล็กตรอนเหล่านี้จะถูกเก็บอยู่ในรูปสารตัวกลาง ได้แก่ NADH คิวโนน หรือ ไซโตโครม เป็นต้น เมื่อสารตัวกลางเหล่านี้ถูกออกซิเดช์ อิเล็กตรอนจะถูกส่งต่อเป็นลำดับในกระบวนการขยับส่งอิเล็กตรอน ระหว่างที่อิเล็กตรอนถูกส่งต่อเป็นลำดับจะให้พลังงานแก่จุลินทรีย์ โดยในขั้นตอน

สุดท้ายอิเล็กตรอนที่ถูกปล่อยออกมายังถูกส่งต่อให้แก่ตัวรับอิเล็กตรอนตัวสุดท้ายต่อไป (ศุภรัตน์มิตร สุจิรา, 2555) นอกจากนี้ยังมีงานวิจัยพบว่าจุลินทรีย์ที่พบรูปแบบบางชนิดสามารถถ่ายทอด อิเล็กตรอนออกนอกเซลล์ไปยังตัวรับอิเล็กตรอนภายนอกได้ (Exoelectrogenic bacteria) ดังนั้นการ ที่จุลินทรีย์เหล่านี้เกิดปฏิกิริยาในห้องแอโนเด ถ่ายทอดอิเล็กตรอนที่เกิดขึ้นไปยังขั้วแอโนเด และ เคลื่อนที่อิเล็กตรอนเหล่านั้นไปยังขั้วแค็国度ด้วยกระบวนการออก จึงทำให้เกิดการสร้างกระแสไฟฟ้าได้ (Logan, 2009) ขั้นตอนการถ่ายทอดอิเล็กตรอนสามารถแสดงได้ดังในภาพที่ 2-3



ภาพที่ 2 - 3 ขั้นตอนการถ่ายทอดอิเล็กตรอนของจุลินทรีย์จากภายนอกไปยังขั้วแอโนเด (Du และคณะ, 2007)

การเกิดกระแสไฟฟ้าภายในเซลล์เชือเพลิงชีวภาพเกิดขึ้นเนื่องจากความต่างศักย์ไฟฟ้าซึ่ง มาจากปฏิกิริยาของสารให้และรับอิเล็กตรอนภายนอกในระบบเซลล์เชือเพลิงชีวภาพ โดยทั่วไปความ ต่างศักย์สูงสุดในระบบอยู่ในช่วง 0.3 – 0.7 V (Logan, 2008) ซึ่งค่าความต่างศักย์นี้เกิดจาก ความสัมพันธ์ระหว่างตัวต้านทานภายนอกระบบกับกระแสไฟฟ้าที่เกิดขึ้น ดังแสดงความสัมพันธ์ได้ จากระยะ

$$E = I R_{ex}$$

โดย E คือ ค่าศักย์ไฟฟ้า (V)
 I คือ กระแสไฟฟ้า (A)
 R_{ex} คือ ความต้านทานไฟฟ้าจากภายนอก (Ω)

ซึ่งค่าศักย์ไฟฟ้าสูงสุดที่ผลิตได้จากเซลล์เชือเพลิงชีวภาพคือ open circuit voltage (OCV) วัดได้ใน ขณะที่ไม่มีการต่อครบวงจรไฟฟ้า (ความต้านทานไฟฟ้าสูงและกระแสไฟฟ้าเป็นศูนย์) เมื่อความ ต้านทานไฟฟ้าและค่าศักย์ไฟฟ้าลดลง สามารถคำนวณกำลังไฟฟ้า (P) ที่เกิดขึ้นได้จากการ

	$P = I E$	หรือ	$P = \int R$
โดย	P	คือ กำลังไฟฟ้า (W)	
I		คือ กระแสไฟฟ้า (A)	
E		ค่าศักย์ไฟฟ้า (V)	
R		คือ ความต้านทานไฟฟ้า (Ω)	

ค่าศักย์ไฟฟ้าในระบบเซลล์เชื่อเพลิงชีวภาพสัมพันธ์กับสารให้และรับอิเล็กตรอนในระบบรวมถึงจำนวนอิเล็กตรอนที่มีการถ่ายทอดในแต่ละปฏิกิริยาอีกด้วย สามารถแสดงค่าความต่างศักย์ reduction half reaction ของสารรับ/ให้อิเล็กตรอน ที่ pH 7 ดังแสดงในตารางที่ 2-5

ตารางที่ 2 - 5 ค่าความต่างศักย์ reduction half reaction ของสารรับ/ให้อิเล็กตรอน และจำนวนอิเล็กตรอนที่ถ่ายทอดที่ pH 7 (Medigan และคณะ, 2003)

สารรับ/ให้อิเล็กตรอน และจำนวนอิเล็กตรอนที่ถ่ายทอด	ค่าความต่างศักย์ (V)
$\text{CO}_2/\text{glucose}, 24 e^-$	-0.43
$2\text{H}^+/\text{H}_2, 2e^-$	-0.42
$\text{CO}_2/\text{acetate}, 8e^-$	-0.28
$\text{S}_0/\text{H}_2\text{S}, 8e^-$	-0.28
$\text{SO}_4^{2-}/\text{H}_2\text{S}, 8e^-$	-0.22
Pyruvate/lactate, $2e^-$	-0.19
$0.5\text{O}_2/\text{H}_2\text{O}, 2e^-$	+0.82

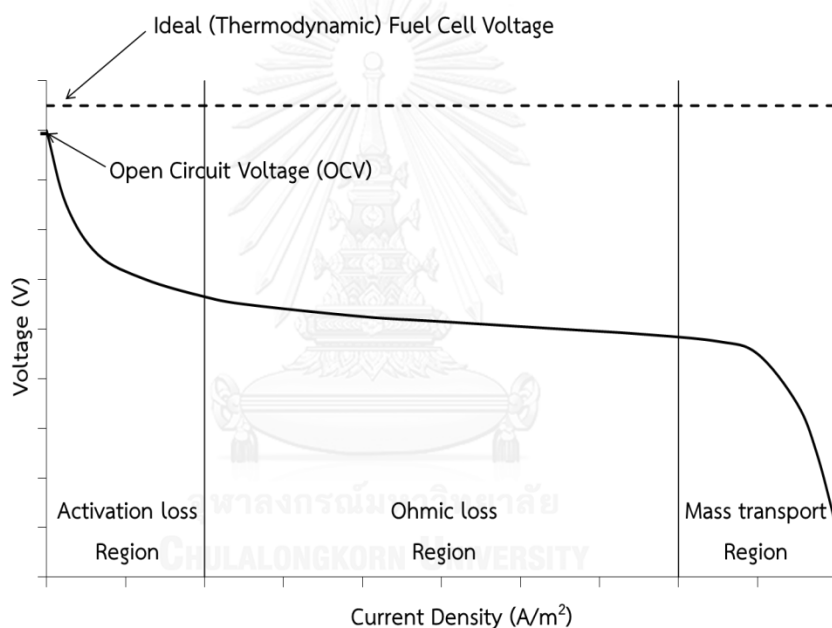
การเดินระบบของเซลล์เชื่อเพลิงชีวภาพสามารถผลิตกระแสไฟฟ้าได้โดยการเปลี่ยนพลังงานที่สะสมอยู่ในสารตั้งต้นในระบบให้เป็นกลุ่มของอิเล็กตรอนที่จะเคลื่อนที่ให้ครองจราในระบบเซลล์เชื่อเพลิงชีวภาพ ซึ่งการเปลี่ยนรูปลักษณะนี้เกี่ยวกับการถ่ายทอดพลังงานเพื่อให้อิเล็กตรอนเหล่านั้นสามารถทำให้เกิดเป็นกระแสไฟฟ้าได้ และการถ่ายทอดนี้มีอัตราการเกิดปฏิกิริยาที่จำกัด โดยจะเกิดเฉพาะบริเวณพื้นผิวที่เกิดปฏิกิริยาเท่านั้น ดังนั้นปริมาณกระแสไฟฟ้าที่เกิดขึ้นจะสัมพันธ์กับพื้นที่ของบริเวณที่เกิดปฏิกิริยาโดยตรง กล่าวคือ ถ้ามีพื้นที่ในการเกิดปฏิกิริยามากก็มีโอกาสเกิดกระแสไฟฟ้าได้มากเช่นกัน

2.4.3 การวัดประสิทธิภาพของเซลล์เชื่อเพลิงชีวภาพ

ประสิทธิภาพของเซลล์เชื่อเพลิงชีวภาพสามารถพิจารณาได้จากการจัดทำ กราฟความสัมพันธ์ระหว่างความหนาแน่นกระแสและความต่างศักย์ไฟฟ้า (Polarization curve หรือ I-V

curve) และกราฟความสัมพันธ์ระหว่างความหนาแน่นกำลังไฟฟ้าและความหนาแน่นกระแสไฟฟ้า (Power density curve)

- กราฟความสัมพันธ์ระหว่างความต่างศักย์และความหนาแน่นกระแสไฟฟ้า แสดงให้เห็นถึงปริมาณอิเล็กตรอนที่ถ่ายทอดและเกิดเป็นกระแสไฟฟ้าภายในระบบเซลล์เชือเพลิงชีวภาพนั้นๆ แต่มีข้อควรระวังคือ กระแสไฟฟ้าที่เกิดขึ้นสัมพันธ์กับขนาดของพื้นที่ของบริเวณที่เกิดปฏิกิริยาโดยตรง ดังนั้นกระแสไฟฟ้าที่เกิดขึ้นจึงต้องคำนึงต่อพื้นที่ของบริเวณที่เกิดปฏิกิริยาที่มีขนาดเล็กที่สุดในเซลล์เชือเพลิงชีวภาพนั้นๆ เพื่อให้เกิดการเปรียบเทียบข้อมูลกับเซลล์เชือเพลิงชีวภาพอื่นๆ ได้ ซึ่งลักษณะของกราฟความสัมพันธ์ระหว่างความต่างศักย์และความหนาแน่นกระแสไฟฟ้าดังแสดงในภาพที่ 2-4



ภาพที่ 2 - 4 ลักษณะของกราฟความสัมพันธ์ระหว่างความหนาแน่นกระแสและความต่างศักย์ไฟฟ้า (Polarization Curve หรือ I-V Curve) (Ryan et al., 2013)

เซลล์เชือเพลิงชีวภาพในอุดมคติคือ เซลล์เชือเพลิงที่สามารถเกิดกระแสไฟฟ้าในขณะที่สามารถรักษาความต่างศักย์ในระบบให้คงที่ได้ตามหลักอุณหพลศาสตร์ (thermodynamics) แต่ในความเป็นจริงความต่างศักย์และกระแสไฟฟ้าที่ได้จากการทดลองเดินระบบเซลล์เชือเพลิงชีวภาพ ทั่วไปมีค่าต่ำกว่าเซลล์เชือเพลิงชีวภาพในอุดมคติเสมอ ดังจะเห็นได้จากค่าความต่างศักย์ไฟฟ้าเมื่อวงจรเปิด (OCV) ซึ่งเป็นค่าที่รัดได้ในขณะที่ระบบไม่มีกระแสไฟฟ้าเกิดขึ้นนั้นมีค่าต่ำกว่าค่าความต่างศักย์ไฟฟ้าที่อุดมคติ ดังแสดงในภาพที่ 2-3 อีกทั้งค่าความต่างศักย์ไฟฟ้าที่ต่ำของเซลล์เชือเพลิงชีวภาพยังเป็นสิ่งที่จำกัดความหนาแน่นกำลังไฟฟ้า (power density) ทั้งหมดที่สามารถถูกปล่อยได้อีกด้วย

นอกจากนี้เซลล์เชื้อเพลิงชีวภาพทั่วไปไม่สามารถที่จะรักษาความต่างศักย์ไฟฟ้าให้คงที่และสามารถผลิตกระแสไฟฟ้าได้อย่างสม่ำเสมออย่างเช่นเซลล์เชื้อเพลิงชีวภาพในอุดมคติเนื่องจากมีการสูญเสียพลังงานขึ้นในระบบ ซึ่งการสูญเสียพลังงานในรูปแบบเหล่านี้สามารถอธิบายจากราฟความสัมพันธ์ระหว่างความต่างศักย์และความหนาแน่นกระแสไฟฟ้า ส่วนปัจจัยที่ทำให้เกิดการสูญเสียพลังงานในระบบของเซลล์เชื้อเพลิงชีวภาพเกิดจาก 3 สาเหตุหลักคือ

1) การสูญเสียพลังงานจากการปฏิกิริยาไฟฟ้าเคมี (activation losses)

เกิดจากปฏิกิริยาการรับและให้อิเล็กตรอนในระบบ ทั้งระหว่างการเคลื่อนที่ของอิเล็กตรอน หรือการที่สารประกอบภายในระบบเกิดปฏิกิริยาที่ข้าม การสูญเสียนี้มักจะเกิดขึ้นในช่วงต้นของการฟอกที่มีความหนาแน่นไฟฟ้าต่ำๆ ทั้งนี้อาจลดการสูญเสียนี้ได้โดยการเพิ่มอุณหภูมิในการเดินระบบ และการเพิ่ม biofilm ที่อยู่บริเวณขั้วไฟฟ้า โดยสามารถอธิบายได้ด้วย Tafel equation (Ryan et al., 2013) คือ

$$\eta_{act} = a + b \log j \quad \text{--- (1)}$$

โดย η_{act} = activation losses
 a = x-intercept of Tafel equation of anode and cathode
 b = Tafel slope

2) การสูญเสียพลังงานจากการนำอิเล็กตรอนและไฟฟ้าภายในระบบ (ohmic losses)

เกิดจากการที่มีความต้านทานในการเคลื่อนที่ของอิเล็กตรอนผ่านขั้วไฟฟ้าหรือบริเวณที่มีการเชื่อมต่อ และความต้านทานของการไหลของไออกอนผ่านเยื่ออิเล็กตรอนในห้องผึ้งแอนโอดหรือสารละลายในห้องแค็ปติก ซึ่งการสูญเสียนี้บอกได้จากช่วงกลางของการฟอกที่อยู่ในช่วงการเดินระบบ ซึ่งสามารถลดการสูญเสียนี้ได้โดยลดระยะห่างระหว่างขั้วไฟฟ้า หรือเพิ่มการนำไฟฟ้าของสารละลายให้มากที่สุดเท่าที่จุลทรรศ์จะสามารถทนได้ การสูญเสียพลังงานดังกล่าวสามารถอธิบายได้ตาม Ohm's law (Ryan และคณะ, 2013) คือ

$$\eta_{ohmic} = j R_{ohmic} \quad \text{--- (2)}$$

โดย η_{ohmic} = ohmic losses
 j = current density
 R_{ohmic} = resistance

3) การสูญเสียพลังงานจากการถ่ายเทมวลในระบบ (concentration losses or mass transport)

เกิดในช่วงสุดท้ายของการฟอกที่มีความหนาแน่นไฟฟ้าสูงๆ ที่ทำให้เกิดการยับยั้งปฏิกิริยาออกซิเดชันในระบบ ทำให้ไม่เกิดการถ่ายทอดอิเล็กตรอนทั่วภายในระบบและที่ขั้วไฟฟ้า สามารถอธิบายด้วยสมการได้ดังนี้ (Ryan และคณะ, 2013)

$$\eta_{\text{conc.}} = c \ln \left(\frac{jL}{jL - j} \right) \quad \dots (3)$$

โดย $\eta_{\text{conc.}}$ = concentration losses

c = an empirical constant

j = current density

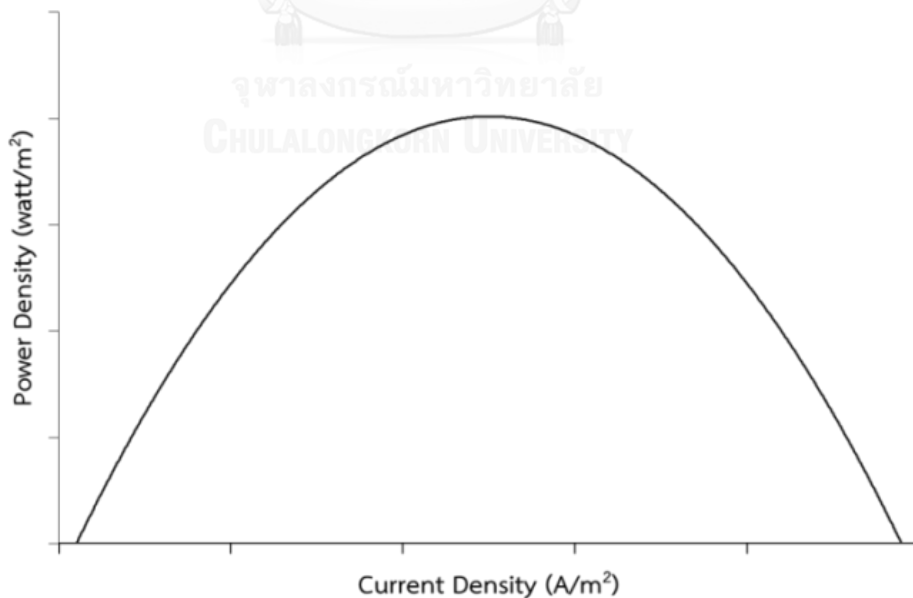
jL = the limiting current density

ซึ่งเมื่อนำการสูญเสียพลังงานเหล่านี้มารวมกันทั้งระบบ สามารถอธิบายได้โดยสมการรวมดังนี้

$$V = E_{\text{Thermodynamic}} - \eta_{\text{activation losses}} - \eta_{\text{ohmic losses}} - \eta_{\text{concentration losses}}$$

$$V = V_{\text{OCV}} - (a + b \log j) - (j R_{\text{ohmic}}) - (c \ln \left(\frac{jL}{jL - j} \right)) \quad \dots (4)$$

- กราฟความสัมพันธ์ระหว่างความหนาแน่นกำลังไฟฟ้าและความหนาแน่นกระแสไฟฟ้า แสดงให้เห็นถึงค่าพลังงานไฟฟ้าสูงสุดของเซลล์เชื่อเพลิงชีวภาพ โดยคำนวณจากการวัดค่าความต่างศักย์ไฟฟ้า และนำไปคำนวณโดยใช้สูตร $P = I^2 R$ ซึ่งค่าที่คำนวณได้จะต้องนำไปหารด้วยพื้นที่ข้อไฟฟ้าที่เล็กที่สุด ซึ่งแนวโน้มของกราฟความสัมพันธ์ระหว่างความหนาแน่นกำลังไฟฟ้าและความหนาแน่นกระแสไฟฟ้าสามารถแสดงได้ดังภาพที่ 2-5



ภาพที่ 2 - 5 กราฟความสัมพันธ์ระหว่างความหนาแน่นกำลังไฟฟ้าและความหนาแน่นกระแสไฟฟ้า

2.5 เทคนิค Illumina MiSeq System

Illumina MiSeq System เป็นเทคโนโลยีใหม่ที่ใช้ในการศึกษาลำดับเบสของสิ่งมีชีวิต โดยสามารถวิเคราะห์จีโนมทั้งหมดของสิ่งมีชีวิต หรือวิเคราะห์ 16S ribosomal RNA gene (16S rRNA gene) ของจุลินทรีย์ทั้งหมดในตัวอย่างได้หรือที่เรียกว่า 16S metagenomics การใช้เครื่อง Illumina ในการวิเคราะห์ 16S rRNA นี้มักนำมาประยุกต์ใช้ในการทำ Phylogenetic Classification เช่น การระบุประเภทของจุลินทรีย์ในระดับ Genus หรือ Species ซึ่งมีการใช้งานอย่างแพร่หลายในงานจุลชีววิทยาทางสิ่งแวดล้อม (จากคู่มือ Illumina Demonstrated Protocol)

หลักการของการวิเคราะห์ด้วยเครื่อง Illumina คือ การหาลำดับเบสด้วยการติดฉลากให้สายนิวคลีโอไทด์ทั้งสี่เบสด้วยสารเรืองแสง (fluorescent reversible terminators) และเพิ่มปริมาณของสายดีเอ็นเอเข้มต่อเป็นสะพานบนสถานะของแข็ง (solid-phase bridge amplification) ซึ่งจะได้กลุ่มของสายดีเอ็นเอที่แตกต่างกัน หลังจากมีการกระตุนด้วยแสงแลเซอร์แล้ว จะมีการบันทึกภาพการปลดปล่อยสารเรืองแสงของนิวคลีโอไทด์ เพื่อวิเคราะห์ลำดับเบสน้ำดีอ่อนได้ต่อไป (อภิชา วิลันโน้ และคณะ, 2012)

ขั้นตอนในการวิเคราะห์ 16S metagenomics ด้วยเทคนิค Illumina MiSeq System สามารถสรุปได้ดังนี้

- 1) เลือก amplicon primers ที่ใช้ในการเพิ่มจำนวน 16S rRNA gene ที่ต้องการวิเคราะห์ หากนิยดของตัวอย่างจุลินทรีย์ที่สนใจ
- 2) เตรียม library โดยการทำ Polymerase Chain Reaction (PCR) เพื่อเพิ่มจำนวน 16S rRNA gene ของตัวอย่างจุลินทรีย์
- 3) ทำการติด Index แต่ละตัวอย่าง เพื่อช่วยให้สามารถแยกลำดับเบสจากแต่ละตัวอย่างได้ เมื่อนำตัวอย่างมารวมกัน (pooling)
- 4) อ่านลำดับเบส 16S rRNA โดยใช้โปรแกรม MiSeq สำหรับเครื่อง Illumina ในตัวอย่างที่ผ่านการทำ PCR และติด Index แล้ว เพื่อนำไปใช้วิเคราะห์นิยดของจุลินทรีย์ต่อไป
- 5) ประมวลผลด้วยโปรแกรม BaseSpace เพื่อวิเคราะห์ลำดับเบสที่อ่านได้ ซึ่งสามารถให้ผลการวิเคราะห์ละเอียดที่สุดได้ถึงระดับ Species ของจุลินทรีย์

2.6 เซลล์เชื้อเพลิงชีวภาพที่เกี่ยวข้องกับการบำบัดมลพิษชั้ลเพอร์

ในปัจจุบันเริ่มมีการศึกษาเกี่ยวกับการประยุกต์ใช้เซลล์เชื้อเพลิงชีวภาพในการบำบัดน้ำเสียที่มีการปนเปื้อนของมลพิษชัลเพอร์ เช่น ชัลเพตและชัลไฟฟ์ควบคู่กับการผลิตกระแสไฟฟ้า ซึ่งการประยุกต์ใช้เซลล์เชื้อเพลิงชีวภาพในการบำบัดน้ำเสียปนเปื้อนชัลเพตนับเป็นทางเลือกที่น่าสนใจในการดึงกลับพลังงานในรูป

ของการผลิตกระแสไฟฟ้า เนื่องจากน้ำเสียซึ่งมีการปนเปื้อนของชัลเฟตสูงโดยทั่วไปแล้วนั้นไม่เหมาะสมในการนำมาผลิตกําชาชีวภาพ เพราะจะมีปริมาณกําชาไฮโดรเจนชัลไฟด์ปนเปื้อนในกําชาชีวภาพสูงซึ่งไม่เหมาะสมในการนำไปใช้ประโยชน์เป็นเชื้อเพลิงต่อไป

การศึกษาเกี่ยวกับการประยุกต์ใช้เซลล์เชื้อเพลิงชีวภาพในการบำบัดมลพิษชัลไฟด์ได้มีการรายงานโดย Rabaey และคณะ (2006) ซึ่งทำการศึกษาลักษณะของเซลล์เชื้อเพลิงชีวภาพแบบห้องคู่ ใน การบำบัดชัลไฟด์ในน้ำเสีย โดยวัสดุที่ใช้เป็นข้าไฟฟ้าในเซลล์เชื้อเพลิงชีวภาพนี้คือ granular graphite และใช้น้ำเสียสังเคราะห์ที่มีเพียงชัลไฟด์เท่านั้นเป็นสารให้อิเล็กตรอน (Electron donor) ในผู้ห้องแอโนด และใช้ Hexacyanoferrate เป็นสารรับอิเล็กตรอน (Electron acceptor) ในผู้ห้องแคโทด ผลการทดลองพบว่า หลังจากเดินระบบผ่านไป 1 วัน ปริมาณชัลไฟด์ทั้งหมดในระบบที่ความเข้มข้นชัลไฟด์เริ่มต้น 0.1 gS/L (as $\text{Na}_2\text{S} \cdot x\text{H}_2\text{O}$ 60-62%) ถูกบำบัด และผลิตกระแสไฟฟ้าได้สูงสุดเท่ากับ 11 mA ซึ่งคิดเป็นกำลังไฟฟ้าเท่ากับ 37 mW/L ของปริมาตรสุทธิของห้องแอโนด โดยคาดว่าชัลไฟด์ที่หายไปได้เปลี่ยนรูปเป็น elemental sulfur จากนั้นเมื่อกำหนดปริมาณชัลไฟด์ให้เท่ากับ 100 mgS/L และ 330 mgS/L พบร่วมกับ ที่ความเข้มข้นชัลไฟด์ 100 mgS/L สามารถถูกบำบัดได้เหลือ $1.3 \pm 1.7 \text{ mg/L}$ โดยได้ค่ากำลังไฟฟ้าสูงสุด (Maximum power generation) เท่ากับ 3.5 mW/L NAC และ ค่า Coulombic efficiency เท่ากับ $29.5 \pm 7.9 \%$ ส่วนที่ความเข้มข้นชัลไฟด์ 330 mgS/L สามารถบำบัดให้ลดลงเหลือ $6.1 \pm 7.9 \text{ mg/L}$ ได้ค่ากำลังไฟฟ้าสูงสุดเท่ากับ 27.8 mW/L ของปริมาตรสุทธิของห้องแอโนด และ ค่า Coulombic efficiency เท่ากับ $14.6 \pm 4.4\%$ ทั้งนี้มีจุลินทรีย์ที่ตรวจพบในระบบโดยวิธี 16S rRNA gene clone library และวิธี PCR-DGGE คือ *Alcaligenes* sp. และ *Paracoccus* sp.

ต่อมา Dutta และคณะ (2008) ได้ศึกษาการใช้เซลล์เชื้อเพลิงบำบัดสารละลายน้ำชัลไฟด์พร้อมทั้ง ผลิตพลังงานออกมายังรูปกระแสไฟฟ้าโดยใช้เซลล์เชื้อเพลิงแบบห้องคู่ และมี Cation exchange membrane เป็นตัวกันระหว่างผู้ห้องห้องแอโนดและแคโทด ภายในห้องทั้งสองผู้ห้องถูกบรรจุด้วย granular graphite และมี rod graphite เพื่อใช้เป็นตัวเชื่อมกับข้าไฟฟ้าในวงจรไฟฟ้าภายนอก สารละลายน้ำผู้ห้อง แอโนดใช้ โซเดียมชัลไฟด์เป็นสารให้อิเล็กตรอน และใช้ Phosphate buffer คุมพีเอชในระบบ ส่วนในผู้ห้อง ห้องแคโทด ใช้ ferricyanide เป็นสารรับอิเล็กตรอน ทำการเดินระบบต่อเนื่อง 2 เดือน ผลการทดลองพบว่า สามารถกำจัดชัลไฟด์ออกจากน้ำได้ที่อัตรา $0.62 \pm 0.1 \text{ kg-S/m}^3/\text{d}$ ของปริมาตรสุทธิของห้อง แอโนด ค่ากำลังไฟฟ้าเฉลี่ยเท่ากับ $12 \pm 2 \text{ W/m}^3$ ของปริมาตรสุทธิของห้องแอโนด และ ค่ากำลังไฟฟ้าสูงสุดเท่ากับ 166 W/m^3 ของปริมาตรสุทธิของห้องแอโนด

เซลล์เชื้อเพลิงชีวภาพนอกจากวัสดุที่นำมาใช้จะเป็นองค์ประกอบสำคัญแล้ว เซลล์เชื้อเพลิงยังจำเป็นที่จะต้องมีจุลินทรีย์เข้ามาเกี่ยวข้องด้วยเพื่อเป็นตัวช่วยให้เกิดปฏิกิริยาต่างๆภายใน ซึ่งได้มีกลุ่มวิจัยสนใจศึกษาถึงผลของการถลุงจุลินทรีย์ที่อยู่ในระบบ เช่น Zhao และคณะ (2009) ที่ได้ทำการศึกษาโดยใช้เซลล์เชื้อเพลิงชีวภาพห้องเดียวซึ่งใช้ากาศแบบข้าไฟฟ้าและ carbon cloth และ carbon fibre veil น้ำเสียสังเคราะห์ที่ใช้มีลักษณะแบบน้ำเสียเกย์ต์กรรມ และมีการ

ใช้จุลทรีฟายพันธุ์เดียวคือ *Desulfovibrio desulfuricans* เพื่อเปลี่ยนซัลเฟตเป็นซัลไฟด์ด้วยกระบวนการซัลเฟตติดักชัน จากนั้นจึงทำการป้อนน้ำเสียซึ่งประกอบด้วยซัลไฟด์เข้าสู่เซลล์เชื้อเพลิงชีวภาพ โดยจะทำการเลี้ยงจุลทรีฟายพันธุ์เดียวในน้ำเสียสังเคราะห์ก่อนเป็นเวลา 3 วัน ผลการทดลองพบว่า มีจุลทรีฟายที่ติดตัวบริเวณข้าวแอลูมิโนไดบีโฟิล์ม biofilm ซึ่งมีผลกับการเกิดปฏิกิริยาซัลไฟด์ออกซิเดชัน ซึ่งปริมาณซัลไฟด์ที่เกิดขึ้นเป็นปัจจัยที่มีผลต่อการเกิดปฏิกิริยาซัลเฟตติดักชัน เมื่อสิ้นสุดการทดลอง ตรวจพบผลิตภัณฑ์ที่เกิดขึ้นบริเวณสารละลายเพียง 2 ชนิดคือ ซัลไฟท์ และไธโอลซัลเฟต โดยไม่พบซัลเฟตปนเปื้อนด้วยนอกจากนี้ยังมี (Sun และคณะ, 2009) ที่ได้ทำการศึกษาเกี่ยวกับจุลทรีที่ช่วยในปฏิกิริยาซัลไฟด์ออกซิเดชันในผ่านแอลูมิโนไดบีโฟิล์ม เชื้อเพลิงชีวภาพแบบห้องเดียวใช้อากาศ (Single chamber with air cathode) ซึ่งงานวิจัยนี้สนใจชนิดของซัลเฟอร์ที่พบในระบบจากปฏิกิริยาซัลเฟอร์ออกซิเดชัน ที่ความเข้มข้น $\text{Na}_2\text{S} \cdot 9\text{H}_2\text{O}$ เท่ากับ 1000 mg/L เป็นสารตั้งต้นพบว่า ค่าความหนาแน่นไฟฟ้าสูงสุด (Maximum current density) ของระบบที่ไม่มีจุลทรี (Abiotic reactor) เท่ากับ 112 mA/m² สำหรับระบบที่มีจุลทรีร่วมด้วย (Biotic reactor) พบร่วมมีค่าความหนาแน่นไฟฟ้าสูงสุดเท่ากับ 115 mA/m² และพบซัลเฟอร์ที่มีเลขออกซิเดชันต่างกัน 3 สถานะได้แก่ $\text{S}_0/\text{S}_x^{2-}$, $\text{S}_2\text{O}_3^{2-}$ และ SO_4^{2-} จากนั้น Sun และคณะ (2010) ได้ทำการศึกษาเพิ่มเติมเกี่ยวกับกลุ่มประชากรจุลทรีที่เกี่ยวข้องกับการผลิตกระแสไฟฟ้าจากปฏิกิริยาซัลไฟด์ออกซิเดชันในเซลล์เชื้อเพลิงชีวภาพแบบห้องเดียวใช้อากาศที่ความเข้มข้นเริ่มต้นของซัลไฟด์เท่ากับ 2 mM โดยศึกษานิodic ของจุลทรีที่พบในระบบโดยวิธี 16S rRNA gene clone library จากการทดลองพบว่าค่ากำลังไฟฟ้าสูงสุดเท่ากับ 13 mW/m² ซึ่งวัดได้ขณะที่มีความหนาแน่นไฟฟ้า (Current density) เท่ากับ 96 mA/m² ผลการศึกษานิodic จุลทรีพบว่า จุลทรีที่พบบริเวณพื้นผิวข้าวแอลูมิโนเป็นชนิดแบคทีเรียออกซิಡิชัลเฟอร์ (*Pseudomonas* sp.) เป็นส่วนใหญ่ และจุลทรีที่พบจากบริเวณสารละลายเป็นชนิดแบคทีเรียดิวัชัลเฟต (*Comamonas* sp. และ *Acinetobacter* sp.)

น้ำเสียจริงที่มีการปนเปื้อนของสารมลพิษชนิดซัลเฟอร์โดยส่วนมากแล้วอาจไม่ได้อยู่ในรูปของซัลไฟด์ แต่อาจอยู่ในรูปของน้ำเสียที่ปนเปื้อนด้วยซัลเฟต ดังนั้นนักวิชาการใช้ซัลไฟด์เป็นสารตั้งต้นในงานวิจัยที่เกี่ยวกับการบำบัดสารมลพิษชนิดซัลเฟอร์ในน้ำเสียแล้ว การใช้ซัลเฟตเป็นสารตั้งต้นก็เป็นประเด็นที่น่าสนใจที่ครุศึกษาถึงประสิทธิภาพในการบำบัดด้วยเซลล์เชื้อเพลิงชีวภาพเช่นกัน จากรงานวิจัยที่ผ่านมา Rabaey และคณะ (2005) ได้ศึกษาเกี่ยวกับเซลล์เชื้อเพลิงชีวภาพที่บำบัดน้ำเสียสังเคราะห์ เช่น น้ำเสียที่ปนเปื้อนด้วยอะซิเตทหรือกลูโคส และซัลเฟต รวมถึงน้ำเสียจริง ได้แก่ น้ำเสียที่มาจากการบำบัดชีวภาพ และน้ำเสียชุมชน ผลการทดลองพบว่า น้ำเสียสังเคราะห์ที่ประกอบด้วยอะซิเตท ปริมาณซัลเฟตที่ปนเปื้อนในระบบไม่ลดลง เนื่องจากแบคทีเรียที่ย่อยอะซิเตทใช้ข้าวแอลูมิโนเป็นตัวรับอิเล็กตรอนมากกว่าใช้ซัลเฟตเป็นตัวรับอิเล็กตรอน ส่วนน้ำเสียสังเคราะห์ที่ประกอบด้วยกลูโคส ปริมาณซัลเฟตที่ปนเปื้อนในระบบลดลงจาก $37.3 \pm 0.4 \text{ mg/L}$ เหลือ $6.4 \pm 1.1 \text{ mg/L}$ $\text{SO}_4^{2-}-\text{S}$ อัตราการบำบัดซึ่งอิดีสูงสุดเท่ากับ $0.243 \pm 0.009 \text{ kg COD/m}^3$ ของปริมาตรสุทธิของห้องแอลูมิโน/day ส่วนการบำบัดน้ำเสียจริงอัตราการบำบัดซึ่งโดยผ่านปฏิกิริยาซัลเฟตติดักชันคิดเป็น $0.086 \pm 0.024 \text{ kg COD/m}^3$ ของปริมาตร

สุทธิของห้องแอโนнд/day นอกจานนี้งานวิจัยของ Rabaey และคณะ (2006) ได้ศึกษาเกี่ยวกับการบำบัดสารอินทรีย์และซัลเฟตในน้ำเสียสังเคราะห์โดยใช้เซลล์เชื้อเพลิงชีวภาพซึ่งเดินระบบโดยใช้น้ำเสียสังเคราะห์ซึ่งประกอบด้วยกลูโคสความเข้มข้น 1 g/L และ $MgSO_4 \cdot 7H_2O$ ความเข้มข้น 4.1 g/L ผลการทดลองพบว่าความเข้มข้นของซัลเฟตลดลงจาก $533 \text{ mgSO}_4\text{-S/L}$ เหลือ $35 \pm 29 \text{ mgSO}_4\text{-S/L}$ ในวงจรแบบ closed circuit ส่วนในวงจร open circuit ลดลงเหลือ $61 \pm 33 \text{ mgSO}_4\text{-S/L}$ ค่าซีโอดีลดลงจาก $1,060 \text{ mgCOD/L}$ เหลือประมาณ 650 mgCOD/L และค่าความเข้มข้นของซัลไฟฟ์เพิ่มขึ้นเป็น $32 \pm 17 \text{ mgS}^2/\text{L}$ และเกิดเป็น elemental sulfur เท่ากับ $336 \text{ mgS}^2/\text{L}\cdot\text{d}$ ของปริมาตรสุทธิของห้องแอโนнд และงานวิจัยของ Zhao และคณะ (2008) ที่ใช้ข้าวไฟฟ้าชนิด activated carbon cloth เพื่อศึกษาประสิทธิภาพและกำลังไฟฟ้าที่ผลิตได้จากการบำบัดน้ำเสียที่ป่นเป็นซัลเฟต ผลการทดลองพบว่า สามารถวัดค่ากำลังไฟฟ้าสูงสุดได้เท่ากับ 0.51 mW/cm^2 ขณะที่ความหนาแน่นกระแสเท่ากับ 1.3 mA/cm^2 คิดประสิทธิภาพการบำบัดได้เท่ากับ 99% เมื่อเทียบจากความเข้มข้นซัลเฟตเริ่มต้นที่เท่ากับ 3.03 g/m^3

อย่างไรก็ตามน้ำเสียที่มีการปนเปื้อนของซัลเฟต/ซัลไฟฟ์ยังอาจมีการปนเปื้อนของสารอินทรีย์ร่วมด้วย ซึ่งการแข่งขันระหว่างสารอินทรีย์และซัลไฟฟ์ที่เกิดขึ้นในการทำหม้อที่เป็นตัวให้อิเล็กตรอนในฝังแอโนดนับเป็นประดิ่นที่น่าสนใจเช่นกัน เนื่องจากอาจส่งผลต่อประสิทธิภาพในการบำบัดน้ำเสียที่มีสารอินทรีย์และซัลเฟต/ซัลไฟฟ์ปนเปื้อนได้ จากงานวิจัยที่ผ่านมา Zhang และคณะ (2009) ทำการศึกษาการใช้สารอินทรีย์และซัลไฟฟ์เป็นตัวให้อิเล็กตรอนในเซลล์เชื้อเพลิงชีวภาพแบบห้องคู่ โดยใช้เยื่อเลือกผ่านโปรตอนเป็นตัวแยกฝั่งระหว่างแอโนดกับแคโทด และใช้ Vanadium (V(V)) เป็นตัวรับอิเล็กตรอน วัสดุที่ใช้ทำข้าวแอโนดและแคโทดคือ carbon fiber felt ขนาด 16 cm^2 เดินระบบแบบ fed-batch เป็นเวลา 72 ชั่วโมง ใช้ความด้านทานภายนอกเท่ากับ $1,000 \Omega$ ทำการทดลองที่อุณหภูมิ 35 องศาเซลเซียส ผลการศึกษาพบว่า maximum open circuit voltage เท่ากับ $1,093 \text{ mV}$ ค่ากำลังไฟฟ้าสูงสุดได้เท่ากับ $90.3 \pm 8.5 \text{ mW/m}^2$ ส่วนประสิทธิภาพการบำบัดซัลไฟฟ์และสารอินทรีย์พบว่า ความเข้มข้นของซัลไฟฟ์และสารอินทรีย์ลดลงตามเวลาโดยคิดเป็นประสิทธิภาพในการบำบัดซัลไฟฟ์ได้เท่ากับ $84.7 \pm 2.8\%$ และประสิทธิภาพในการบำบัดซีโอดีเท่ากับ $54.0 \pm 1.9\%$ ความเข้มข้นของสารอินทรีย์คาร์บอนทั้งหมด (Total organic carbon, TOC) ลดลงจาก $339.9 \pm 10.2 \text{ mg/L}$ เหลือ $269.6 \pm 12.0 \text{ mg/L}$ คิดเป็นอัตราการบำบัดที่โอซีเท่ากับ $20.7 \pm 2.1\%$ อย่างไรก็ตามความเข้มข้นของซัลเฟตเพิ่มขึ้นเป็น $90.0 \pm 5.0 \text{ mg/L}$ และบริเวณผิวของข้าวแอโนดพบ elemental sulfur ประมาณ $2 \pm 0.6\%$ ส่วนชนิดของแบคทีเรียที่พบได้แก่ cocci และ short bacilli ติดบริเวณผิวของแอโนดของเซลล์เชื้อเพลิงชีวภาพจากนั้น Zhang และคณะ (2010) ได้ทำการศึกษาเพิ่มเติมเกี่ยวกับปัจจัยที่ส่งผลกระทบต่อเซลล์เชื้อเพลิงชีวภาพที่ก่อร้ายมากข้างต้น โดยใช้เซลล์เชื้อเพลิงชีวภาพและตะกอนจุลินทรีย์ในลักษณะเดิม โดยปัจจัยที่วิเคราะห์คือ ความเข้มข้นของซัลไฟฟ์และ V(V) เริ่มต้นต่างกัน ทำการเดินระบบแบบ fed-batch เป็นเวลา 72 ชั่วโมง ที่อุณหภูมิ 35 องศาเซลเซียส ผลการทดลองพบว่า เมื่อเพิ่มความเข้มข้นซัลไฟฟ์ขึ้น ช่วง large time ของจุลินทรีย์เพิ่มขึ้นและอัตราการบำบัดซัลไฟฟ์ (Sulfide removing rate) ลดลง เพราะเมื่อ

เพิ่มความเข้มข้นจะส่งผลต่อแบคทีเรียในระบบทำให้ประสิทธิภาพในการบำบัดต่ำลง ส่วนค่ากำลังไฟฟ้าสูงสุดที่ผลิตได้เท่ากับ $500\text{--}700 \text{ mW/m}^2$ ประสิทธิภาพในการกำจัดซีโอดีเท่ากับ $40.0\text{--}50.0\%$ และประสิทธิภาพการกำจัดสารอินทรีย์ carbонทั้งหมดเท่ากับ $20.0\text{--}30.0\%$ นอกจากนี้ยังมีงานวิจัยของ Zhang และ Ni (2010) ที่ศึกษาเกี่ยวกับการผลิตกระแสไฟฟ้าและการบำบัดชัลไฟฟ์ในเซลล์เชือเพลิงชีวภาพแบบห้องคู่ที่มีเยื่อเลือกผ่านปอร์ตองเป็นตัวกันแยกฝั่งและใช้ lead dioxide เป็นตัวเร่งปฏิกิริยาที่ข้าวแครโทด โดยใช้ข้าวแอโนดเป็น carbon fiber และข้าวแครโทดเป็น PbO_2 กับ Pt/C เพื่อเบรียบเทียบ ทำการทดลองโดยใช้ความเข้มข้นเริ่มต้นของชัลไฟฟ์เท่ากับ 80 mg/L และสารละลายน้ำไฟฟ้าในฝั่งแครโทดคือ phosphate buffer ($\text{NaH}_2\text{PO}_4 0.5 \text{ M}$) ควบคุมพีเอชให้เท่ากับ 3.3 โดยใช้ตัวต้านทานจากภายนอกเท่ากับ 1000 Ω เดินระบบเป็นเวลา 48 ชั่วโมง ผลการทดลองพบว่า maximum open circuit voltage เท่ากับ $1,254 \pm 60 \text{ mV}$ และค่ากำลังไฟฟ้าสูงสุดเท่ากับ $997.26 \pm 20.20 \text{ mW/m}^2$ หลังจากการเติมชัลไฟฟ์เข้าสู่ระบบ มีการผลิตชัลไฟฟ์ซึ่งจากปฏิกิริยาชัลไฟฟ์ออกซิเดชัน นอกจากนี้ความเข้มข้นของชัลไฟฟ์และความเข้มข้นของกลูโคสยังลดลงตามเวลา เช่นเดียวกัน ประสิทธิภาพการบำบัดชัลไฟฟ์และสารอินทรีย์ carbонทั้งหมดเท่ากับ $88.73 \pm 4.37\%$ และ $23.88 \pm 7.45\%$ ตามลำดับ ส่วนที่ปริมาณพื้นผิวของข้าวแอโนดพบ elemental sulfur ประมาณ $2.69 \pm 0.17\%$

จากการวิจัยที่ได้ผ่านมาสามารถสรุปผลการศึกษาเป็นตารางได้ดังแสดงในตารางที่ 2-6

ตารางที่ 2 - 6 สรุปผลการศึกษาของงานวิจัยที่ผ่านมา

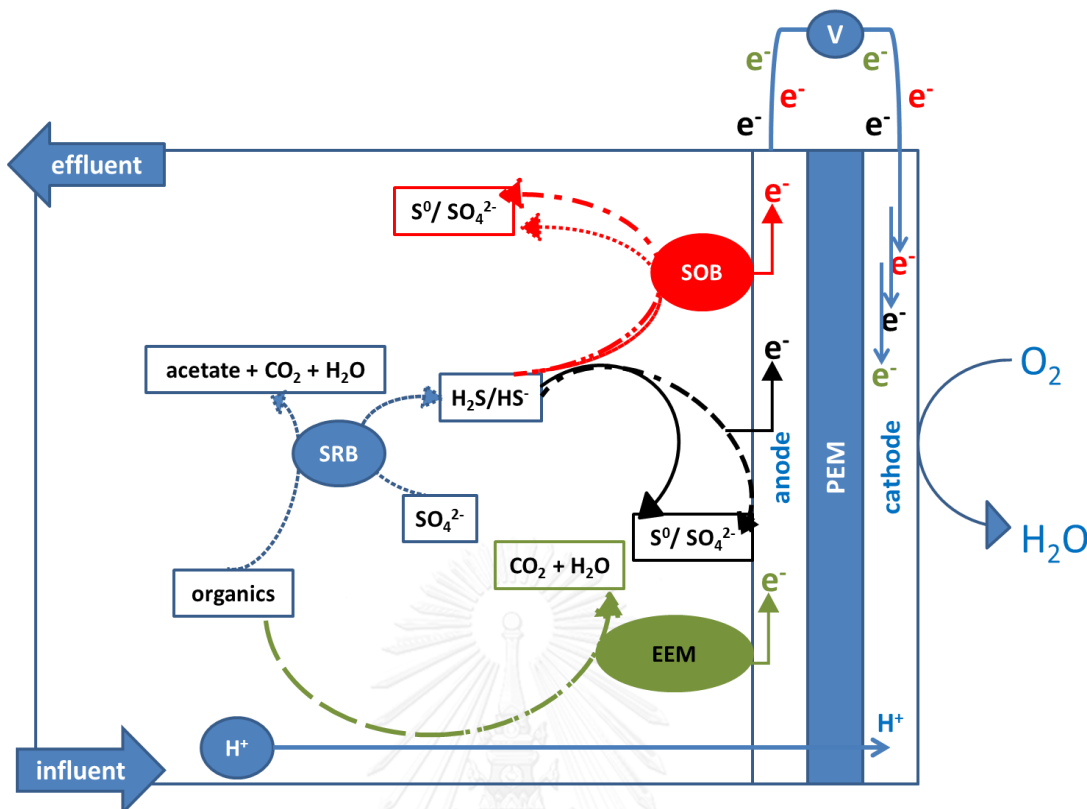
การศึกษา	ผลการศึกษา
ประสิทธิภาพการบำบัดน้ำเสียที่มีสารอินทรีย์	$20 - 50\%$
ประสิทธิภาพการบำบัดน้ำเสียที่มีชัลไฟฟ์	$80 - 99\%$
ช่วงของกำลังไฟฟ้าสูงสุดที่ผลิตได้	$0.013 - 5.1 \text{ W/m}^2$
ชนิดของจุลินทรีย์ที่พบบริเวณตะกอนแขวนลอย	กลุ่มแบคทีเรียรีดิวช์ชัลเฟต
ชนิดของจุลินทรีย์ที่พบบริเวณข้าวแอโนด	กลุ่มแบคทีเรียออกซิไดช์ชัลไฟฟ์
ผลิตภัณฑ์ที่พบบริเวณข้าวแอโนด	Elemental sulfur

ทั้งนี้เป็นที่สังเกตได้ว่างานวิจัยที่ผ่านมาส่วนใหญ่เกี่ยวกับการบำบัดมลพิษชัลไฟฟ์ด้วยเซลล์เชือเพลิงชีวภาพมักจะมุ่งประเด็นไปที่การศึกษาการบำบัดชัลไฟฟ์ในเซลล์เชือเพลิงชีวภาพเป็นหลัก (Rabaey และคณะ, 2006, Dutta และคณะ, 2008, Sun และคณะ, 2009, Zhang และคณะ, 2009, Zhao และคณะ, 2009, Sun และคณะ, 2010, Zhang และคณะ, 2010) ในขณะที่งานวิจัยที่ประยุกต์ใช้เซลล์เชือเพลิงชีวภาพในการบำบัดน้ำเสียซึ่งปัจจุบันเป็นด้วยชัลเฟตและสารอินทรีย์ยังมีอยู่ค่อนข้างจำกัดมาก (Rabaey และคณะ, 2005, Rabaey และคณะ, 2006, Zhao และคณะ, 2008) ซึ่ง

กระบวนการบำบัดน้ำเสียซึ่งปั้นเป็นด้วยชัลเฟตและสารอินทรีถือเป็นประดิษฐ์ที่น่าสนใจมาก การประยุกต์ใช้ชัลล์เชื้อเพลิงชีวภาพในการบำบัดน้ำเสียดังกล่าวอาจสามารถช่วยในการดึงกลับพลังงานจากน้ำเสียที่ปั้นเป็นด้วยชัลเฟต อีกทั้งยังอาจเป็นแนวทางเลือกใหม่ในการผนึกรวมการบำบัดสารอินทรีชัลเฟตและชัลไฟต์ในหน่วยบำบัดเดียว ดังนั้นในงานวิจัยนี้จึงสนใจที่จะศึกษาการใช้ชัลล์เชื้อเพลิงชีวภาพในการบำบัดน้ำเสียที่ปั้นเป็นด้วยชัลเฟตและสารอินทรี พร้อมทั้งศึกษาศักยภาพในการผลิตกระแสไฟฟ้าจากชัลล์เชื้อเพลิงชีวภาพดังกล่าว ซึ่งถือเป็นการเพิ่มแนวทางในการบำบัดน้ำเสียที่ปั้นเป็นด้วยชัลเฟตและสารอินทรีรวมถึงการดึงกลับพลังงานจากน้ำเสียต่อไป

2.7 กลไกที่อาจเกิดขึ้นในชัลล์เชื้อเพลิงชีวภาพที่ใช้บำบัดน้ำเสียที่มีสารอินทรีและชัลเฟต

จากการวิจัยที่ผ่านมาดังสรุปข้างต้น จะเห็นได้ว่าการบำบัดน้ำเสียที่ปั้นเป็นสารอินทรีและชัลเฟตสูงด้วยชัลล์เชื้อเพลิงชีวภาพเป็นแนวทางที่เป็นไปได้และมีความน่าสนใจเป็นอย่างมาก เนื่องจากเป็นการพัฒนาแนวทางในการบำบัดน้ำเสียปั้นเป็นสารอินทรีและชัลเฟตสูงควบคู่ไปกับการดึงกลับพลังงานในรูปของกระแสไฟฟ้า ทั้งนี้กลไกการทำงานของชัลล์เชื้อเพลิงชีวภาพอาจเกิดได้จากหลายกระบวนการรับสารกันซึ่งสามารถแบ่งกระบวนการได้ออกเป็น 2 ประเภทหลัก ได้แก่ 1) กระบวนการทางชีวภาพ และ 2) กระบวนการทางเคมีไฟฟ้า ซึ่งสามารถเกิดขึ้นได้บริเวณฝั่งแอโนดและแคโทด กระบวนการทางชีวภาพที่เกิดขึ้นได้ในระบบ ได้แก่ กระบวนการชัลเฟตรีดักชันโดยแบคทีเรียริธิวชัลเฟต ซึ่งเป็นกลุ่มแบคทีเรียที่เจริญเติบโตโดยใช้สารอินทรีและชัลเฟตสูงได้ โดยแบคทีเรียริธิวชัลเฟตสามารถใช้สารอินทรีเป็นสารให้อิเล็กตรอน และชัลเฟตเป็นสารรับอิเล็กตรอนแล้วก่อให้เกิดชัลไฟต์เป็นผลิตภัณฑ์จากการชัลเฟตรีดักชัน ทั้งนี้ Rabaey และคณะ (2005) ได้ค้นพบว่ากระบวนการชัลเฟตรีดักชันสามารถเกิดขึ้นได้ในชัลล์เชื้อเพลิงชีวภาพ นอกจากนี้แบคทีเรียออกซิไซด์ชัลไฟต์ซึ่งสามารถเปลี่ยนชัลไฟต์ในระบบให้เป็น elemental sulfur ยังถูกค้นพบและนำมาใช้งานได้ในชัลล์เชื้อเพลิงชีวภาพเพื่อบำบัดชัลไฟต์ Rabaey และคณะ (2006) อีกทั้งยังมีความเป็นไปได้ที่จะพบแบคทีเรียที่ใช้สารอินทรีในระบบโดยตรงควบคู่กับการให้อิเล็กตรอนผ่านทางขั้วแอโนด-แคโทดมายังออกซิเจนอีกด้วย Zhang และคณะ (2009) ส่วนปฏิกิริยาทางเคมีไฟฟ้านี้อาจเกิดจากชัลไฟต์ที่เกิดขึ้นในระบบซึ่งสามารถเข้าไปทำปฏิกิริยาที่ขั้วแอโนดโดยตรงและเกิดการถ่ายเทอิเล็กตรอนไปยังขั้วแคโทด และออกซิเจน ทั้งนี้การถ่ายเทอิเล็กตรอนและ proton ในระบบสามารถช่วยให้เกิดกระแสไฟฟ้าขึ้นภายในระบบของชัลล์เชื้อเพลิงชีวภาพ กระบวนการและกลไกต่าง ๆ ในชัลล์เชื้อเพลิงชีวภาพสามารถสรุปได้ดังแสดงในภาพที่ 2-6 และตารางที่ 2-7



ภาพที่ 2 - 6 กลไกที่อาจเกิดขึ้นในเซลล์เชื้อเพลิงชีวภาพซึ่งบำบัดน้ำเสียปนเปื้อนสารอินทรีย์และซัลเฟต

SRB คือ Sulfate reducing bacteria

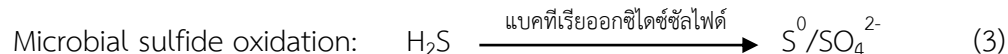
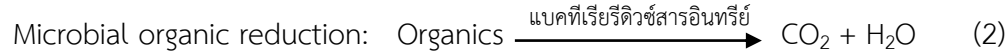
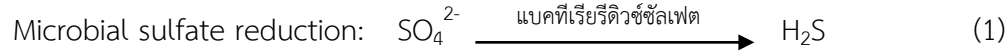
SOB คือ Sulfur/Sulfide oxidizing bacteria

EEM คือ Exoelectrogenic microorganisms

ตารางที่ 2 - 7 กลไกที่อาจเกิดขึ้นในเซลล์เชื้อเพลิงชีวภาพซึ่งบำบัดน้ำเสียปนเปื้อนสารอินทรีย์และซัลเฟต

กระบวนการ	ตัวให้อิเล็กตรอน	ตัวรับอิเล็กตรอน
ซัลเฟตลดิกซันโดยจุลินทรีย์ (Microbial sulfate reduction)	สารอินทรีย์	ซัลเฟต
ซัลไฟด์ออกซิเดชันโดยจุลินทรีย์ (Microbial sulfide oxidation)	ไฮโดรเจนซัลไฟด์	ออกซิเจนที่ข้าวแคโถด
ซัลไฟด์ออกซิเดชันทางเคมีไฟฟ้า (Abiotic sulfide oxidation)	ไฮโดรเจนซัลไฟด์	ออกซิเจนที่ข้าวแคโถด
ออกซิเดชันของสารอินทรีย์โดยจุลินทรีย์ ที่ข้าวแองโนด (Microbial organic oxidation at anode)	สารอินทรีย์	ออกซิเจนที่ข้าวแคโถด

ชีงปฏิกิริยาและกลไกที่เกิดขึ้นสามารถสรุปได้ดังสมการต่อไปนี้



ปัจจัยที่เกี่ยวข้องในการเกิดปฏิกิริยาเหล่านี้ ได้แก่ 1) Oxidation-Reduction potential (ORP) และ 2) ค่าพีเอช

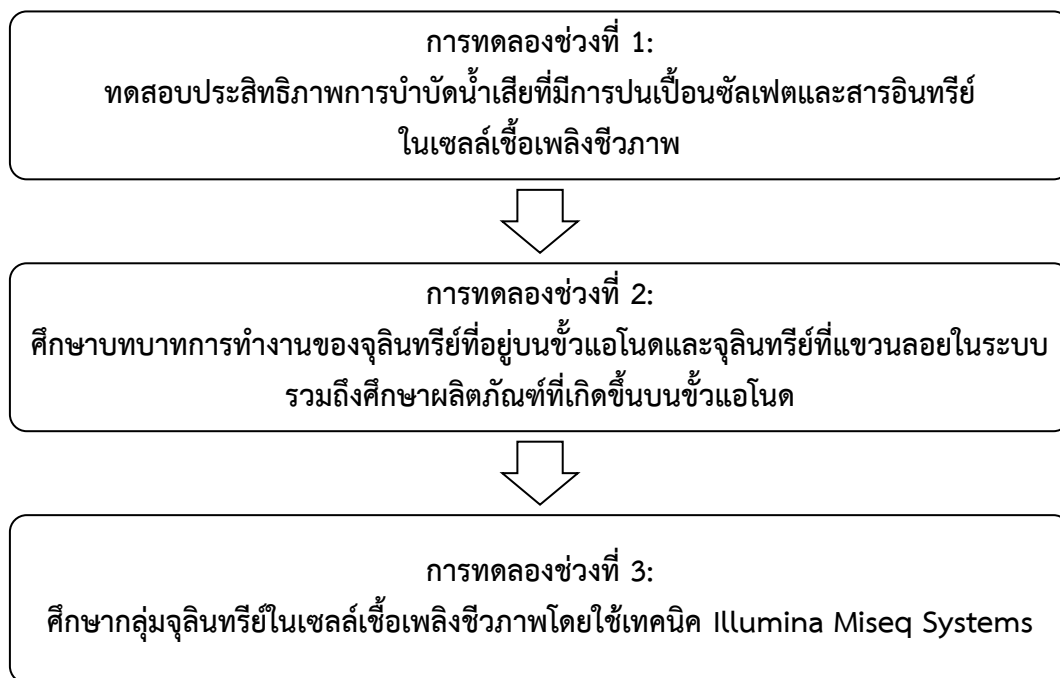
1) Oxidation-Reduction potential (OPR) เป็นค่าที่แสดงถึงความสามารถในการรับและให้อิเล็กตรอนในระบบ ยิ่งมีค่าติดลบมากแสดงว่าในระบบมีแนวโน้มที่จะให้อิเล็กตรอนมาก ซึ่งส่งผลกับการเกิดกราฟไฟฟ้าในระบบเซลล์เชื้อเพลิงชีวภาพอีกด้วย

2) ค่าพีเอช เป็นค่าที่มีผลกับรูปแบบชัลไฟด์ที่พบในระบบ หากพีเอชอยู่ในสภาพะเป็นกรด รูปแบบของชัลไฟด์ที่พบในระบบจะเป็น H_2S แต่ถ้าพีเอชของระบบอยู่ในช่วงที่เป็นกลางหรือเป็นเบส รูปแบบของชัลไฟด์ที่พบในระบบจะเป็น $\text{HS}^-/\text{S}^{2-}$ ซึ่งเหมาะสมกับการใช้ในระบบเซลล์เชื้อเพลิงชีวภาพ เนื่องจากชัลไฟด์ที่เกิดขึ้นจะสามารถนำไปใช้ในกลไก Microbial and abiotic sulfide oxidation ได้

บทที่ 3 แผนการทดลองและดำเนินงานวิจัย

3.1 แผนงานวิจัย

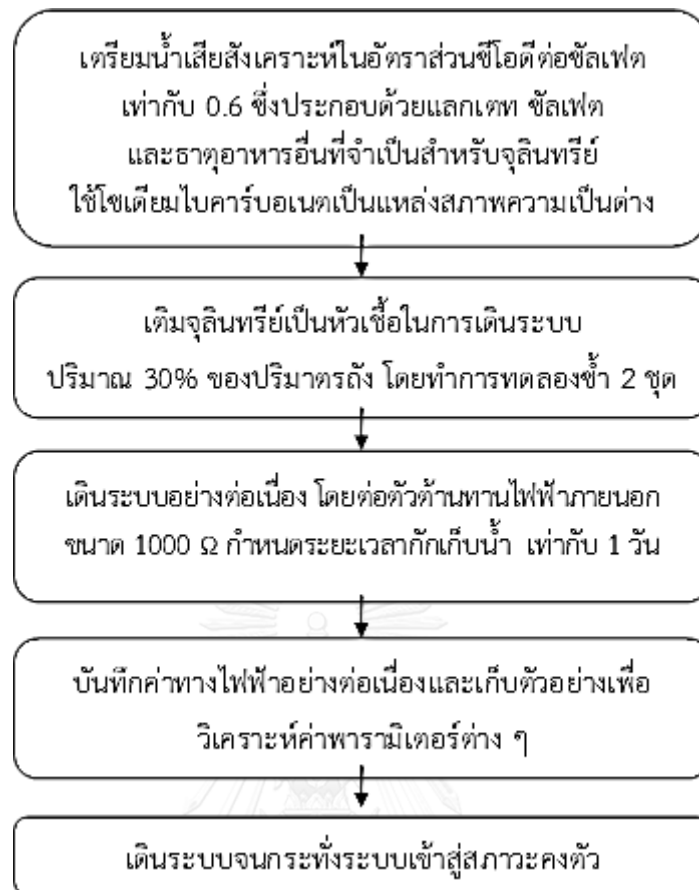
งานวิจัยเรื่องการบำบัดน้ำเสียที่มีสารอินทรีย์และซัลเฟตสูงโดยใช้เซลล์เชื้อเพลิงชีวภาพสามารถแบ่งการทดลองออกเป็น 3 ช่วง ได้แก่ 1) การทดสอบประสิทธิภาพการบำบัดน้ำเสีย 2) การศึกษาบทบาทการทำงานของจุลินทรีย์ที่อยู่บนขั้วแอลลอยด์และจุลินทรีย์ที่แขวนลอยในระบบ รวมถึง ศักยภาพผลิตภัณฑ์ที่เกิดขึ้นบนขั้วแอลลอยด์ และ 3) การศึกษากลุ่มจุลินทรีย์ในเซลล์เชื้อเพลิงชีวภาพ โดยการทดลองช่วงที่ 1 จะทำการทดสอบประสิทธิภาพการบำบัดสารอินทรีย์และซัลเฟต รวมถึงความสามารถในการผลิตกระแสไฟฟ้าของน้ำเสียที่มีสารอินทรีย์และซัลเฟตในเซลล์เชื้อเพลิงชีวภาพโดยใช้น้ำเสีย สังเคราะห์ซึ่งประกอบด้วยแลกเตทและซัลเฟต ในอัตราส่วนซีโอดีต่อซัลเฟตเท่ากับ 0.6 (วิธีคิดดังแสดงในภาคผนวก ก) ซึ่งเป็นอัตราส่วนซึ่งซัลเฟตเป็นสารรับอิเล็กตรอนที่มากเกินพอเทียบกับค่าซีโอดีที่ ระยะเวลาเก็บน้ำ (Hydraulic retention time, HRT) เท่ากับ 24 ชั่วโมง เพื่อให้มีระยะเวลาในการเกิดปฏิกิริยาภายในเซลล์เชื้อเพลิงชีวภาพเพียงพอ และในการทดลองช่วงที่ 2 ทำการศึกษาบทบาทและการทำงานของจุลินทรีย์ที่อยู่บนขั้วแอลลอยด์ (Anode-attached microorganisms) และจุลินทรีย์ที่แขวนลอย (Suspended microorganisms) ในระบบเซลล์เชื้อเพลิงชีวภาพที่ได้จากการเดินระบบในการทดลองช่วงที่ 1 รวมถึงการนำขั้วแอลลอยด์ที่ผ่านการทดลองในช่วงที่ 2 แล้วไปทำการตรวจวัดผลิตภัณฑ์ที่เกิดขึ้น และในการทดลองช่วงสุดท้าย ทำการศึกษากลุ่มจุลินทรีย์ในเซลล์เชื้อเพลิงชีวภาพจากการทดลองช่วงที่ 1 ทั้งกลุ่มที่อยู่บนขั้วแอลลอยด์และแขวนลอยในระบบ โดยใช้เทคนิค Illumina MiSeq System แผนการทดลองสามารถแสดงได้ดังภาพที่ 3-1



3.2 การดำเนินการทดลอง

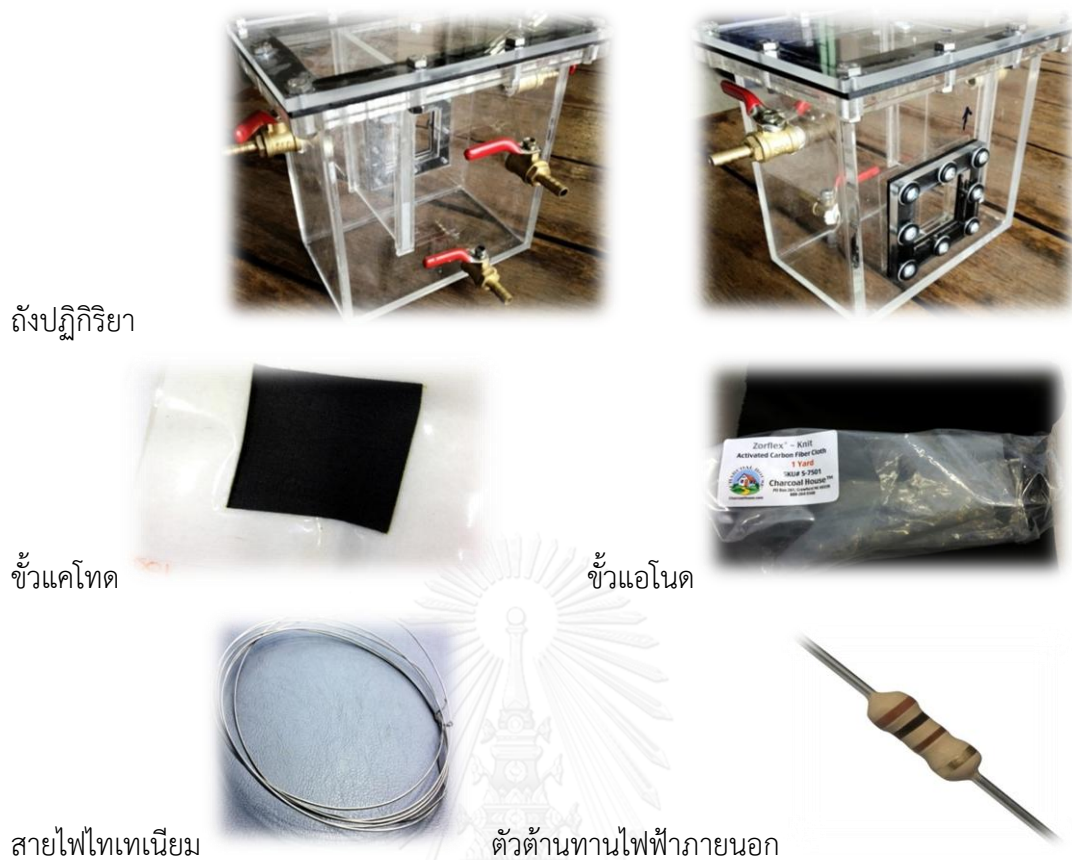
3.2.1 การทดลองช่วงที่ 1

การทดสอบประสิทธิภาพการบำบัดสารอินทรีย์และซัลเฟต รวมถึงความสามารถในการผลิตกราฟไฟฟ้าของน้ำเสียที่มีสารอินทรีย์และซัลเฟตในชัลล์เชลล์เชือเพลิงชีวภาพโดยมีขั้นตอนการดำเนินการดังนี้ เตรียมน้ำเสียสังเคราะห์ในอัตราส่วนซีโอดีต่อซัลเฟตเท่ากับ 0.6 ซึ่งประกอบด้วยแลกเตห ซัลเฟต และธาตุอาหารอื่นที่จำเป็นสำหรับจุลินทรีย์ ใช้โซเดียมไบคาร์บอเนตเป็นแหล่งสภาพความเป็นด่าง (Alkalinity) และเติมตะกอนจุลินทรีย์สายพันธุ์ผู้สมเป็นหัวเชือในการเดินระบบปริมาณ 30% ของปริมาตรถัง เพื่อให้มีจำนวนจุลินทรีย์ในการเกิดปฏิกิริยาเพียงพอในระบบบำบัดแบบบีร์อากาศ ดำเนินการทดลองทั้งหมด 2 ชุด จากนั้นเริ่มเดินระบบอย่างต่อเนื่อง กำหนดระยะเวลา กักเก็บน้ำเท่ากับ 24 ชั่วโมง และใช้ตัวต้านทานภายนอกขนาด 1000Ω (Liu et al., 2004) ระหว่างการทดลองบันทึกค่าทางไฟฟ้าอย่างต่อเนื่อง พร้อมทั้งเก็บตัวอย่างเพื่อวิเคราะห์พารามิเตอร์ต่าง ๆ เดินระบบจนกระทั่งระบบเข้าสู่ภาวะคงตัว แล้วจึงนำไปทำการทดลองช่วงที่ 2 ต่อไป ขั้นตอนการทดลองสามารถแสดงได้ดังภาพที่ 3-2



ภาพที่ 3 - 2 แผนผังการทดลองช่วงที่ 1

ลักษณะของเซลล์เชื้อเพลิงชีวภาพ เซลล์เชื้อเพลิงชีวภาพแบบห้องเดียวชนิดที่ใช้อากาศ (ออกซิเจน) เป็นตัวรับอิเล็กตรอนในฝั่งแค็ตโอด (Air-breathing single-chamber microbial fuel cell) มีขนาดกว้าง 9 เซนติเมตร สูง 12 เซนติเมตร และยาว 16 เซนติเมตร ประกอบด้วยข้าวแค็ตโอด และแอโนด โดยข้าวแค็ตโอดจะทำปฏิกิริยากับอากาศภายนอก วัสดุที่ใช้เป็นข้าวแค็ตโอดคือ carbon cloth 30% โดยนำหนัก PTFE wet proofed ขนาด 5×5 เซนติเมตร ซึ่งโหลดด้วยแพลตตินัม 0.5 mg/cm^2 เพื่อเป็นตัวเร่งปฏิกิริยา (Catalyst) ด้านหนึ่ง ส่วนอีกด้านหนึ่งติดกับเยื่ออิเล็กต์рон (Proton exchange membrane, PEM) ชนิด Nafion N117 ด้วยวิธีการ hot-pressing ซึ่งวัสดุที่ใช้เป็นข้าวแค็ตโอดทั้งหมดสั่งซื้อจากเวปไซต์ Fuel Cell Store ประเทศสหรัฐอเมริกา และใช้วัสดุสำหรับข้าวแอโนดเป็น activated carbon cloth ยี่ห้อ Zorflex Knit carbon cloth รุ่น FM50K สั่งซื้อจากบริษัท Calgon Carbon Corporation ประเทศสหรัฐอเมริกา ขนาด 3×10 เซนติเมตร ทั้งข้าวแค็ตโอด และแอโนดต่อครบทวงจรกับสายไฟเทาเนี่ยมขนาดเส้นผ่านศูนย์กลางขนาด 1 มิลลิเมตร และต่อ กับตัวต้านทานไฟฟ้าภายนอกขนาด 1,000 Ω ดังแสดงในภาพที่ 3-3



ภาพที่ 3 - 3 ส่วนประกอบของเซลล์เชื้อเพลิงชีวภาพ

การเตรียมน้ำเสียสังเคราะห์ น้ำเสียสังเคราะห์ที่ใช้ในการทดลองประกอบด้วยกรดแลกติก เพื่อให้ได้ค่าซีโอดีเท่ากับ 800 mg/L โดยเติมซัลเฟตเพื่อให้ซัลเฟตมีความเข้มข้นเท่ากับ $1,333 \text{ mg/L}$ และธาตุอาหารที่สำคัญอื่นๆ สำหรับจุลินทรีย์ โดยอัตราส่วนของค่าซีโอดีต่อความเข้มข้นของซัลเฟตที่ใช้คิดเป็น 0.6 ซึ่งเป็นอัตราส่วนซึ่งซัลเฟตเป็นสารรับอิเล็กตรอนที่มากเกินพอยเมื่อบักบ้าซีโอดี ทั้งนี้แลกเท替เป็นสารอินทรีย์ซึ่งสามารถใช้ในการกระตุ้นการเจริญเติบโตของจุลินทรีย์กลุ่มแบบคีเรีย ริดิวซ์ซัลเฟตเป็นอย่างดี (Medigan et al., 2003) และเติมโซเดียมไฮคาร์บอเนตเพื่อเป็นแหล่งสภาพความเป็นด่าง $1,500 \text{ mg/L}$ as CaCO_3 โดยทำการปรับพีเอชเริ่มต้นเท่ากับ 7 ดังแสดงในตารางที่ 3-1

ตารางที่ 3 - 1 ความเข้มข้นของสารในการเตรียมน้ำเสียสังเคราะห์สำหรับการบำบัดแบบรีอากาศ โดยปรับปรุงจาก Rittmann และ McCarty (2001) (การคำนวณดังแสดงในภาคผนวก ข)

Element	มวลโมเลกุล ของธาตุ (g)	ความเข้มข้น ของธาตุ (mg/L)	รูปแบบสารใน การเติม	มวลโมเลกุล ของสาร (g)	ความเข้มข้น ของสาร (mg/L)
Electron donor					
Lactic acid	-	-	C ₃ H ₆ O ₃	90	750
Electron accepter					
Sulfate	-	-	Na ₂ SO ₄	142	1,970
Macronutrients					
Nitrogen	14	58	NH ₄ Cl	53.5	221.6
Phosphorus	30	11.32	NaH ₂ PO ₄ .2H ₂ O	156	58.9
Sulfur	32	6.6	MgSO ₄ .7H ₂ O	246.5	50.8
Common cations					
Sodium	23	150	NaCl	58.5	381.5
Potassium	39	300	KCl	74.6	573.8
Calcium	40	150	CaCl ₂	111	416.3
Magnesium	24	160	MgCl ₂	95	633.3
pH Buffer					
Sodium Bicarbonate	-	-	NaHCO ₃	84	2,520

การควบคุมระบบเซลล์เชื้อเพลิงชีวภาพ คุ้มระบบและป้อนน้ำเสียสังเคราะห์ที่เตรียมไว้เข้าสู่ระบบเซลล์เชื้อเพลิงชีวภาพโดยใช้ Peristaltic pump ซึ่งมีพารามิเตอร์ที่ใช้ในการเดินระบบดังแสดงในตารางที่ 3-2

ตารางที่ 3 - 2 พารามิเตอร์ที่ใช้ในการเดินระบบ

พารามิเตอร์ที่ใช้ในการเดินระบบ	ค่าที่กำหนด
อัตราการไหล	2 ลิตร/วัน
ระยะเวลา กักเก็บน้ำ	1 วัน
ค่า pH ของน้ำเสียสังเคราะห์ที่เข้าระบบ	6.5 – 7.5
ค่า OPR ของระบบ	-300 ถึง -400 มิลลิโวლต์
อุณหภูมิ	อุณหภูมิห้อง (28 – 35 องศาเซลเซียส)

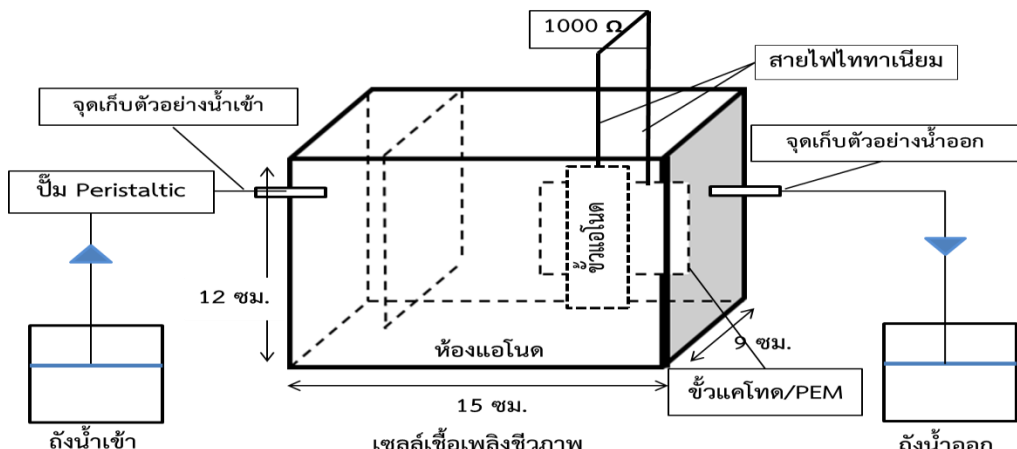
การวิเคราะห์ค่าทางไฟฟ้า ทำการเดินระบบแบบครบวงจร โดยใช้ตัวต้านทานไฟฟ้าขนาด 1000 Ω วัดค่าความต่างศักย์ (Voltage) ที่คร่อมขั้วแค็คโตดและแเอนโโนดอย่างต่อเนื่อง เมื่อระบบเข้าสู่ สภาวะคงตัว (Steady state) ทำการวัดค่าความต่างศักย์ไฟฟ้าที่ความต้านทานภายนอกแตกต่างกัน รวมทั้งค่าความต่างศักย์ไฟฟ้าเมื่อวงจรเปิด (Open circuit voltage, OCV) เพื่อจัดทำกราฟระหว่าง ค่าความต่างศักย์ไฟฟ้าและกระแสไฟฟ้า (I-V curve) ซึ่งสามารถนำมารасนวนพลังงานไฟฟ้าที่ได้จาก เซลล์เชือเพลิงไฟฟ้าและจัดทำกราฟความหนาแน่นกำลังไฟฟ้า (Power density curve) เพื่อหาค่า พลังงานไฟฟ้าที่ได้สูงสุด (Maximum power density) ของเซลล์เชือเพลิงไฟฟ้า การวิเคราะห์ค่า ทางไฟฟ้าต่าง ๆ ทำโดยใช้เครื่องมัลติมิเตอร์ (Multimeter) ยี่ห้อ Fluke รุ่น 115

การเก็บตัวอย่างและวิเคราะห์พารามิเตอร์ ทำการเก็บตัวอย่างน้ำที่เข้าและออกจากระบบ ในห้องแอโนด เพื่อวิเคราะห์พารามิเตอร์ ดังแสดงในตารางที่ 3-3

ตารางที่ 3 - 3 พารามิเตอร์และวิธีหรือเครื่องมือที่ใช้วิเคราะห์ในการทดลอง (มั่นสิน, 2551)

พารามิเตอร์	วิธี/เครื่องมือตรวจวัด	ความถี่
ชัลเพต	Turbidimetric method	สัปดาห์ละ 3 ครั้ง
ชีโอดี	Close reflux method	สัปดาห์ละ 3 ครั้ง
ชัลไฟฟ์	Sulfide ion selective electrode	สัปดาห์ละ 3 ครั้ง
พีเอช	pH meter	สัปดาห์ละ 3 ครั้ง
ОРР	ORP meter	สัปดาห์ละ 3 ครั้ง

จุดที่เก็บตัวอย่างน้ำเข้าและน้ำออกดังแสดงในภาพที่ 3-4

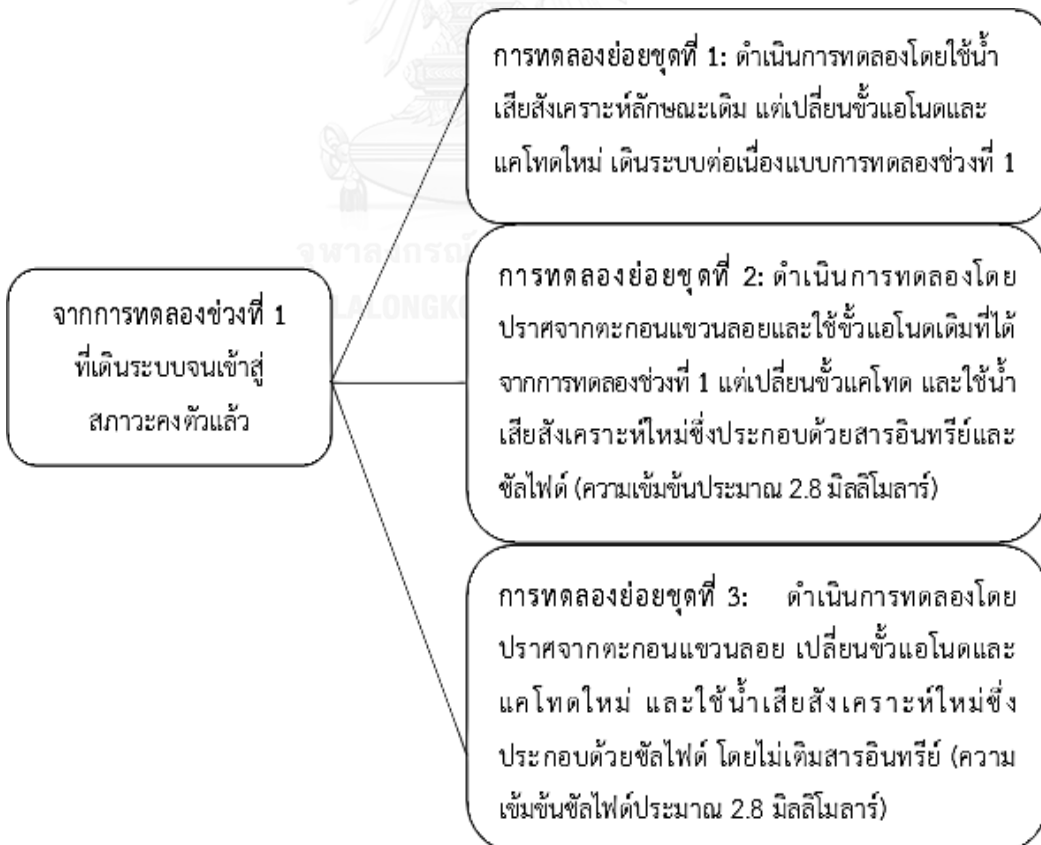


ภาพที่ 3 - 4 จุดเก็บตัวอย่างน้ำเพื่อวิเคราะห์พารามิเตอร์

3.2.2 การทดลองช่วงที่ 2

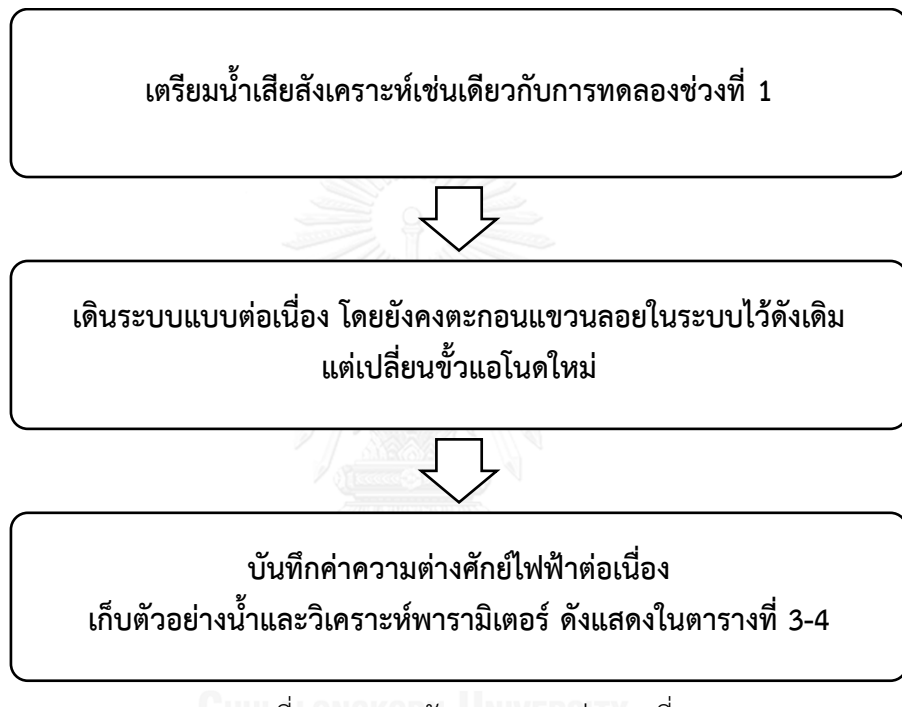
ศึกษาบทบาทและกลไกการทำงานของจุลินทรีย์ที่แพร่กระจายในระบบและจุลินทรีย์ที่อยู่บนข้าวออนไลน์ จากนั้นนำข้าวออนไลน์ที่ผ่านการทดลองในช่วงนี้มาตรวจสอบผลิตภัณฑ์ที่เกิดขึ้นบนข้าวออนไลน์ โดยแบ่งการทดลองย่อยออกเป็น 3 ชุดการทดลองคือ

- 1) การทดลองย่อยชุดที่ 1 ดำเนินการทดลองโดยใช้น้ำเสียสังเคราะห์ลักษณะเดิม แต่เปลี่ยนข้าวออนไลน์และแค็ปโตดใหม่ และเดินระบบต่อเนื่องแบบเดียวกับการทดลองช่วงที่ 1
- 2) การทดลองย่อยชุดที่ 2 ดำเนินการทดลองโดยปราศจากตะกอนแขวนลอยและใช้ข้าวออนไลน์เดิมที่ได้จากการทดลองช่วงที่ 1 แต่เปลี่ยนข้าวแค็ปโตด และใช้น้ำเสียสังเคราะห์ใหม่ซึ่งประกอบด้วยสารอินทรีย์และซัลไฟด์ โดยให้มีความเข้มข้นของสารละลายตั้งกล่าวไว้แล้วกับความเข้มข้นของซัลไฟด์ในห้องแอโนนดจากผลการทดลองช่วงที่ 1 (ประมาณ 2.8 มิลลิโมลาร์)
- 3) การทดลองย่อยชุดที่ 3 ดำเนินการทดลองโดยปราศจากตะกอนแขวนลอย เปลี่ยนข้าวออนไลน์และแค็ปโตดใหม่ และใช้น้ำเสียสังเคราะห์ใหม่ซึ่งประกอบด้วยซัลไฟด์โดยไม่เติมสารอินทรีย์ และให้มีความเข้มข้นของซัลไฟด์ใกล้เคียงกับความเข้มข้นของสารในห้องแอโนนดจากผลการทดลองช่วงที่ 1 (ประมาณ 2.8 มิลลิโมลาร์) ซึ่งสามารถอธิบายได้ตามภาพที่ 3-5



ภาพที่ 3 - 5 แผนผังรวมของการทดลองช่วงที่ 2

- การทดลองย่อยชุดที่ 1 ศึกษาบทบาทการทำงานของตะกอนจุลินทรีย์แหวนลอยในระบบเพื่อศูนย์ความสามารถในการบำบัดสารปนเปื้อน และความสามารถในการผลิตกระแสไฟฟ้า โดยยังคงตะกอนแหวนลอยในระบบไว้ดังเดิม แต่เปลี่ยนข้าวแอนโโนดและแค็ตodeใหม่ (ซึ่งไม่มีจุลินทรีย์อยู่บนข้าวแอนโโนด) ทำการเดินระบบด้วยการป้อนน้ำเสียสังเคราะห์เข่นเดียวกับการทดลองช่วงที่ 1 จากนั้นบันทึกค่าทางไฟฟ้าอย่างต่อเนื่อง เก็บตัวอย่างน้ำ และวิเคราะห์พารามิเตอร์ ซึ่งมีขั้นตอนการดำเนินงานดังภาพที่ 3-6



ภาพที่ 3 - 6 แผนผังการทดลองย่อยชุดที่ 1

ตารางที่ 3 - 4 พารามิเตอร์และวิธีหรือเครื่องมือที่ใช้วิเคราะห์ในการทดลองย่อยที่ 1

พารามิเตอร์	วิธี/เครื่องมือตรวจวัด	ความถี่
ชัลเพต	Turbidimetric method	สัปดาห์ละ 3 ครั้ง
ซีโอดี	Close reflux method	สัปดาห์ละ 3 ครั้ง
ชัลไฟด์	Sulfide ion selective electrode	สัปดาห์ละ 3 ครั้ง
พีเอช	pH meter	สัปดาห์ละ 3 ครั้ง

- การทดลองย่อยชุดที่ 2 ศึกษาบทบาทของจุลินทรีย์ที่อยู่บริเวณข้าวເອົນດ ເພື່ອດູບທາຫາຂອງข้าວເອົນດທີມີຈຸລິນທຣີຢ່າເກະຕິດບນພື້ນຜົວຖຶງຄວາມສາມາດໃນກາຮອກຈີໄດ້ສາຮອນທຣີຢ່າແລະໜ້າໄຟດ໌ ຮົມຖຶງຄວາມສາມາດໃນກາຮັດລົກຮະແສໄຟຟ້າຂອງข้าວເອົນດທີມີຈຸລິນທຣີຢ່າເກະຕິດບນພື້ນຜົວ ດຳເນີນກາຮັດລົກໂດຍປາສຈາກຕະກອນແຂວນລອຍ ໃຊ້ຂ້າວເອົນດແລະຂ້າວແຄໂທດເດີມທີ່ໄດ້ຈາກກາຮັດລົກໜ່ວຍໜ່ວຍໃກລ້າເຄີຍກັບຄວາມເຂັ້ມຂັ້ນຂອງໜ້າໄຟດ໌ໃນຫ້ອງເອົນຈາກພົກກາຮັດລົກໜ່ວຍໜ່ວຍທີ່ 1 (ປະມານ 95.2 ມິລັດກັນ/ລິຕຣ) ທຳການເດີນຮັບບອຍ່າງຕ່ອນເນື່ອງ ຈາກນັ້ນບັນທຶກຄ່າຄວາມຕ່າງໆສັກຍິໄຟຟ້າ ຮົມຖຶງເກັບຕ້ວອຍ່າງນໍ້າ ແລະວິເຄຣະທີ່ພາຣາມີເຕັອຮ່າງມີບັນຫຼວງການດັ່ງການທີ່ 3-7

ເຕີຍມີນໍ້າເສີຍສັງເຄຣະທີ່ໄໝ່ເປົ່າປະກອບດ້ວຍສາຮອນທຣີຢ່າແລະໜ້າໄຟດ໌
ດັ່ງແສດງໃນຕາຮາງທີ່ 3-5



ຕ່ອຂ້າວເອົນດ (ຈີ່ມີຈຸລິນທຣີຢ່າເກະຕິດທີ່ບໍລິເວັນພື້ນຜົວຂ້າວເອົນດ) ແລະຂ້າວແຄໂທດເດີມທີ່ໄດ້ຈາກກາຮັດລົກໜ່ວຍໜ່ວຍທີ່ 1 ເຂົ້າກັບເໜັດລົກໜ່ວຍໜ່ວຍເຂົ້າພຶກສິ່ງເປົ້າ



ບັນທຶກຄ່າຄວາມຕ່າງໆສັກຍິໄຟຟ້າຕ່ອນເນື່ອງ
ເກັບຕ້ວອຍ່າງນໍ້າແລະວິເຄຣະທີ່ພາຣາມີເຕັອຮ່າງມີບັນຫຼວງການທີ່ 3-6

ກາພທີ່ 3 - 7 ແຜນຜັກກາຮັດລົກຍ່ອຍທີ່ 2

ตารางที่ 3 - 5 ความเข้มข้นของสารในการเตรียมน้ำเสียสังเคราะห์สำหรับการทดลองย่อยที่ 2

Element	มวลโนเลกุล ของธาตุ (g)	ความเข้มข้น ของธาตุ (mg/L)	รูปแบบสารใน การเดิม	มวลโนเลกุล ของสาร (g)	ความเข้มข้น ของสาร (mg/L)
Electron donor					
Lactic acid	-	-	C ₃ H ₆ O ₃	90	800
Sulfide	-	-	Na ₂ S.9H ₂ O	240	672 (2.8 mM)
Macronutrients					
Nitrogen	14	58	NH ₄ Cl	53.5	221.6
Phosphorus	30	11.32	NaH ₂ PO ₄ .2H ₂ O	156	58.9
Sulfur	32	6.6	MgSO ₄ .7H ₂ O	246.5	50.8
Common cations					
Sodium	23	150	NaCl	58.5	381.5
Potassium	39	300	KCl	74.6	573.8
Calcium	40	150	CaCl ₂	111	416.3
Magnesium	24	160	MgCl ₂	95	633.3
pH Buffer					
Sodium Bicarbonate	-	-	NaHCO ₃	84	2,520

ตารางที่ 3 - 6 พารามิเตอร์และวิธีหรือเครื่องมือที่ใช้เคราะห์ในการทดลองย่อยที่ 2

พารามิเตอร์	วิธี/เครื่องมือตรวจวัด	ความถี่
ซัลเฟต	Turbidimetric method	สัปดาห์ละ 3 ครั้ง
ซีโอดี	Close reflux method	สัปดาห์ละ 3 ครั้ง
ซัลไฟด์	Sulfide ion selective electrode	สัปดาห์ละ 3 ครั้ง

- การทดลองย่อยชุดที่ 3 ศึกษาความสามารถในการบำบัดชัลไฟฟ์และการผลิตกระแสไฟฟ้า ดำเนินการทดลองโดยปราศจากตะกอนและกลอย เปเลี่ยนข้าวแอนด์แคร็อดใหม่ และใช้น้ำเสีย สังเคราะห์ใหม่ซึ่งประกอบด้วยชัลไฟฟ์โดยไม่มีสารอินทรีย์เจือปน และให้มีความเข้มข้นของชัลไฟฟ์ ใกล้เคียงกับความเข้มข้นของสารในห้องแอนด์จากผลการทดลองช่วงที่ 1 (ประมาณ 95.2 มิลลิกรัม/ลิตร) ดังแสดงในตารางที่ 3-7 ทำการเดินระบบอย่างต่อเนื่อง จากนั้นบันทึกค่าความต่างศักย์ไฟฟ้า รวมถึงเก็บตัวอย่างน้ำและวิเคราะห์พารามิเตอร์ดังแสดงในตารางที่ 3-8 ซึ่งมีขั้นตอนการดำเนินงานดัง แผนภาพรูปที่ 3-8

เตรียมน้ำเสียสังเคราะห์ใหม่ซึ่งประกอบด้วยชัลไฟฟ์โดยไม่มีสารอินทรีย์เจือปน
ดังแสดงในตารางที่ 3-7



ต่อข้าวแอนด์และข้าวแคร็อดใหม่เข้ากับเซลล์เซลล์เชื่อมเพลิงชีวภาพ
แล้วเดินระบบอย่างต่อเนื่องโดยปราศจากตะกอนและกลอย



บันทึกค่าความต่างศักย์ไฟฟ้าต่อเนื่อง
เก็บตัวอย่างน้ำและวิเคราะห์พารามิเตอร์ ดังแสดงในตารางที่ 3-8

ภาพที่ 3 - 8 แผนผังการทดลองย่อยชุดที่ 3

ตารางที่ 3 - 7 ความเข้มข้นของสารในการเตรียมน้ำเสียสังเคราะห์สำหรับการทดลองย่อยที่ 3

Element	มวลโมเลกุล ของธาตุ (g)	ความเข้มข้น ของธาตุ (mg/L)	รูปแบบสารใน การเติม	มวลโมเลกุล ของสาร (g)	ความเข้มข้น ของสาร (mg/L)
Electron donor					
Sulfide	-	-	Na ₂ S·9H ₂ O	240	672 (2.8 mM)
Macronutrients					
Nitrogen	14	58	NH ₄ Cl	53.5	221.6
Phosphorus	30	11.32	NaH ₂ PO ₄ ·2H ₂ O	156	58.9
Sulfur	32	6.6	MgSO ₄ ·7H ₂ O	246.5	50.8
Common cations					
Sodium	23	150	NaCl	58.5	381.5
Potassium	39	300	KCl	74.6	573.8
Calcium	40	150	CaCl ₂	111	416.3
Magnesium	24	160	MgCl ₂	95	633.3
pH Buffer					
Sodium Bicarbonate	-	-	NaHCO ₃	84	2,520

ตารางที่ 3 - 8 พารามิเตอร์และวิธีหรือเครื่องมือที่ใช้เคราะห์ในการทดลองย่อยที่ 3

พารามิเตอร์	วิธี/เครื่องมือตรวจวัด	ความถี่
ชัลเพต	Turbidimetric method	สัปดาห์ละ 3 ครั้ง
ชัลไฟด์	Sulfide ion selective electrode	สัปดาห์ละ 3 ครั้ง

- การศึกษาผลิตภัณฑ์ที่เกิดขึ้นบนข้าวแอลูมิเนียม นำข้าวแอลูมิเนียมที่ผ่านการทดลองในช่วงที่ 2 มาตรวจสอบผลิตภัณฑ์ที่เกิดขึ้นบนข้าวแอลูมิเนียม โดยใช้เครื่องมือในการตรวจวัดชัลเพตและดูกลักษณะพื้นผิวแอลูมิเนียมคือ SEM/EDX

3.2.3 การทดลองช่วงที่ 3

ศึกษากลุ่มจุลินทรีย์ในระบบเซลล์เชื้อเพลิงชีวภาพทั้งจุลินทรีย์ที่อยู่บนข้าวแอโนดและจุลินทรีย์ที่แพร่ลงในระบบจากการทดลองช่วงที่ 1 โดยแบ่งความถี่ในการตรวจสอบเป็น 3 ช่วงคือ ก่อนการเดินระบบ ระหว่างการเดินระบบ และสิ้นสุดการเดินระบบโดยใช้เทคนิค Illumina MiSeq System ซึ่งมีขั้นตอนการดำเนินการทดลองคือ

1) เก็บตัวอย่างจุลินทรีย์จากทั้งกลุ่มที่อยู่บนข้าวแอโนดและแพร่ลงในระบบเซลล์เชื้อเพลิงชีวภาพ จากการทดลองช่วงที่ 1 ได้แก่ ตะกอนจุลินทรีย์เริ่มต้น ตะกอนจุลินทรีย์ช่วงกระแสไฟฟ้าสูง (วันที่ 14 ของการทดลอง) ตะกอนจุลินทรีย์ช่วงปิดระบบ (วันที่ 96 ของการทดลอง) ตะกอนจุลินทรีย์ที่อยู่บนข้าวแอโนด วิธีเก็บตัวอย่างตะกอนจุลินทรีย์ที่อยู่บนข้าวแอโนดทำโดยใช้น้ำกลิ้น ฉีดล้างข้าวแอโนดให้ biofilm ที่เกาะอยู่หลุดออกจาก จานนั้นนำตัวอย่างตะกอนจุลินทรีย์จากข้าวแอโนด ตะกอนจากตะกอนจุลินทรีย์เริ่มต้น ตะกอนจุลินทรีย์ช่วงกระแสไฟฟ้าสูง และตะกอนจุลินทรีย์ช่วงปิดระบบ มาเข้าเครื่องเหวี่ยง (centrifuge) เพื่อให้ตกตะกอนแล้วจึงเก็บสลัดจ์ที่ได้มาทำการสกัดดีเอ็นเอ ต่อไป

2) สกัดดีเอ็นเอจากตัวอย่างจุลินทรีย์ โดยใช้ชุดสกัดดีเอ็นเอ (The Fast DNA® SPIN Kit, MP) โดยทำตามขั้นตอนที่ระบุไว้ในคู่มือ

3) เพิ่มจำนวน 16S rRNA โดยใช้เทคนิค PCR เพื่อเตรียมตัวอย่างสำหรับใช้ในการวิเคราะห์ด้วยเครื่อง Illumina โดยใช้เฟอร์เมอร์ที่มีลำดับเบสตั้งนี้

Forward Primer: F515 (5'-CACGGTCGKCGGCCATT-3') Caporaso และคณะ (2011)

Reverse Primer: R806 (5'-GGACTACHVGGGTWTCTAAT-3') (Caporaso และคณะ, 2011)

ซึ่งเป็นเฟอร์เมอร์สำหรับแบบที่เรียกและอาร์คีย์ (universal primers) และใช้สภาวะในการทำ PCR ดังนี้

Initial denaturing	95 องศาเซลเซียส	3 นาที	
Denaturing	95 องศาเซลเซียส	30 วินาที	
Annealing	53 องศาเซลเซียส	30 วินาที	
Extension	72 องศาเซลเซียส	30 วินาที	
Final extension	72 องศาเซลเซียส	5 นาที	
End	4 องศาเซลเซียส		

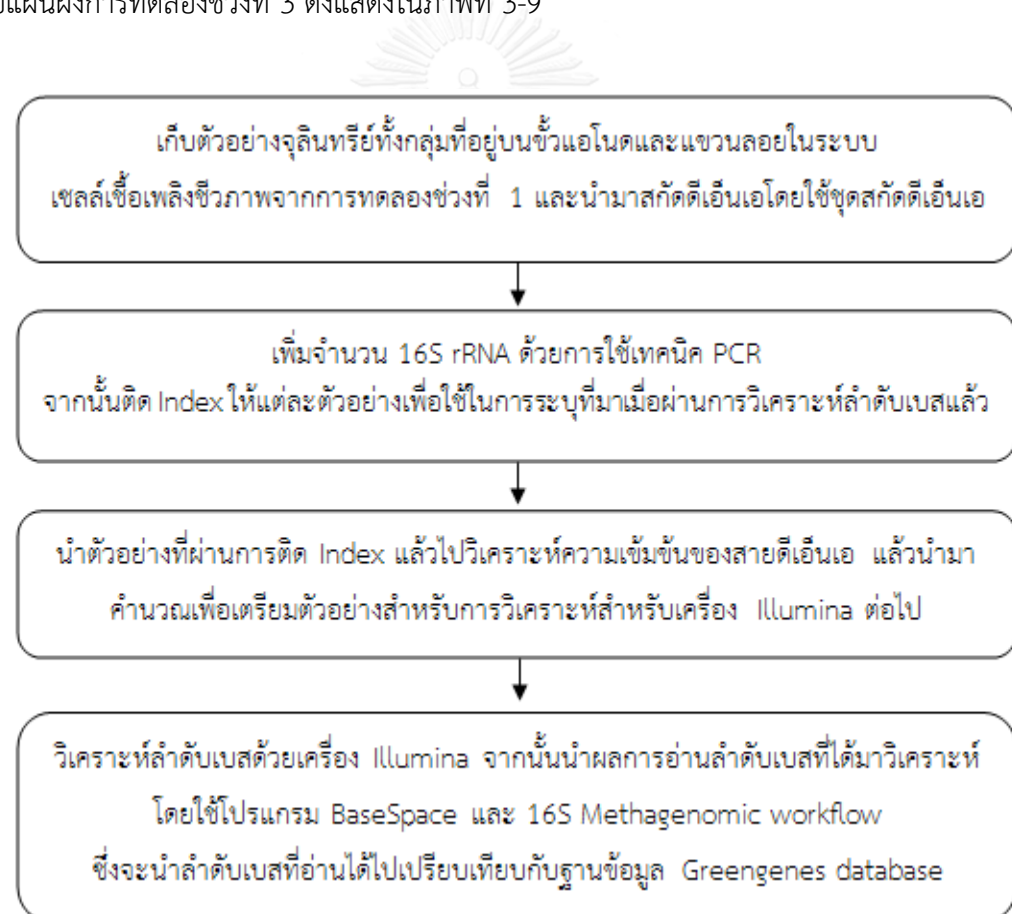
4) ติด Index เพื่อระบุตัวอย่างจุลินทรีย์ในขั้นตอนของการอ่านลำดับเบส โดยใช้ชุด Nextera XT Index Kit

5) นำตัวอย่างที่ผ่านการติด Index และไปวิเคราะห์ความเข้มข้นของสายดีเอ็นเอ ด้วยเครื่อง Qubit® 2.0 Fluorometer (Life Technologies) นำมาคำนวณเพื่อเตรียมตัวอย่างสำหรับการวิเคราะห์ โดยให้ความเข้มข้นสุดท้ายของดีเอ็นเอเท่ากับ 4 ng/ μ l

6) วิเคราะห์ลำดับเบสด้วยเครื่อง Illumina โดยภายในเครื่องมีการติดตั้ง MiSeq System

7) นำผลการอ่านลำดับเบสที่ได้มาวิเคราะห์โดยใช้โปรแกรม BaseSpace และ 16S Methagenomic workflow (<https://basespace.illumina.com>) เพื่อวิเคราะห์หานิตรของ จุลินทรีย์ที่พบในแต่ละตัวอย่าง โดยนำไปเปรียบเทียบกับฐานข้อมูล Greengenes database (http://greengenes.secondgenome.com/downloads/database/13_5)

โดยแผนผังการทดลองช่วงที่ 3 ดังแสดงในภาพที่ 3-9



ภาพที่ 3 - 9 แผนผังลำดับการทดลองช่วงที่ 3

บทที่ 4 ผลและวิจารณ์ผลการทดลอง

4.1 ผลการทดลองช่วงที่ 1 การทดสอบประสิทธิภาพการบำบัดและความสามารถในการผลิตกระแลไฟฟ้าของน้ำเสียที่มีสารอินทรีย์และซัลเฟตในเซลล์เชื้อเพลิงชีวภาพ

การศึกษาเป็นการทดสอบประสิทธิภาพการบำบัดของสารอินทรีย์และซัลเฟต รวมถึงความสามารถในการผลิตกระแลไฟฟ้าของน้ำเสียที่มีสารอินทรีย์และซัลเฟตในเซลล์เชื้อเพลิงชีวภาพที่มีการเติมตะกอนจุลินทรีย์สายพันธุ์ผู้สม เป็นหัวเชื้อในการเดินระบบปริมาณ 30% ของปริมาตรถังดำเนินการทดลอง จำนวน 2 ชุดการทดลอง โดยใช้น้ำเสียสังเคราะห์ซึ่งประกอบด้วยแอลกอฮอล์และซัลเฟต ในอัตราส่วนซีโอดีต่อซัลเฟตเท่ากับ 0.6 ที่ระยะเวลา กักเก็บน้ำเท่ากับ 24 ชั่วโมง และมีอัตราการไหลเท่ากับ 2 ลิตร/วัน

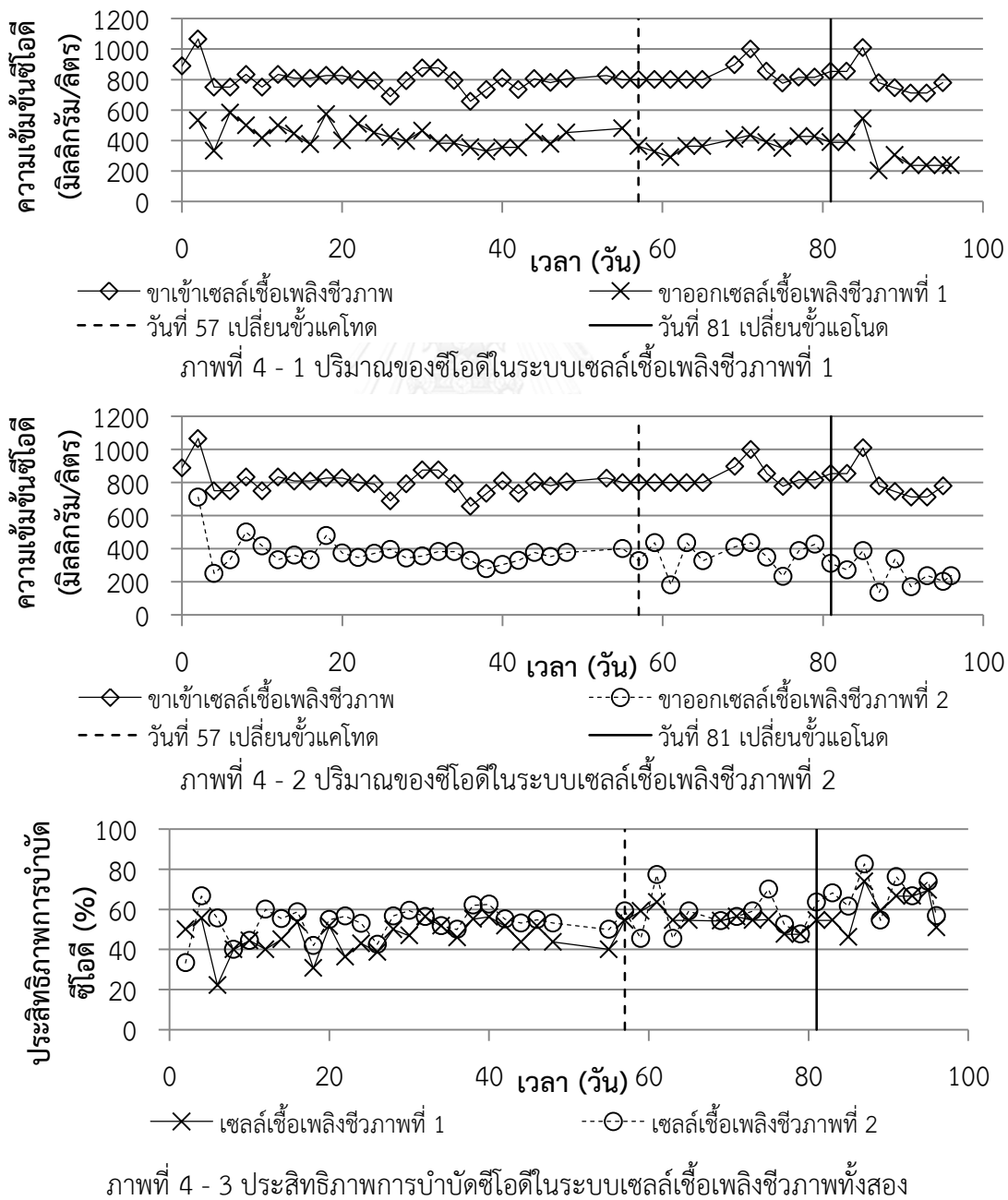
- ประสิทธิภาพการบำบัดของซีโอดี

ผลการศึกษาประสิทธิภาพการบำบัดซีโอดีในเซลล์เชื้อเพลิงชีวภาพพบว่า ซีโอดีสามารถถูกบำบัดได้ดีตั้งแต่ช่วงที่เริ่มเดินระบบ และมีแนวโน้มการบำบัดค่อนข้างคงที่ตลอดการทดลอง ประสิทธิภาพการบำบัดซีโอดีเฉลี่ยรวมตลอดทั้งการทดลองของเซลล์เชื้อเพลิงชีวภาพที่ 1 และเซลล์เชื้อเพลิงชีวภาพที่ 2 อยู่ที่ $51 \pm 9.88\%$ และ $57 \pm 10.09\%$ ตามลำดับ ซึ่งปริมาณซีโอดีที่ลดลงในระบบนี้มีค่าอยู่ในช่วงใกล้เคียงกับงานวิจัยที่ผ่านมาที่มีประสิทธิภาพในการบำบัดซีโอดีอยู่ในช่วง 20-55% ดังแสดงในตารางที่ 4-1

ตารางที่ 4 - 1 เปรียบเทียบประสิทธิภาพการบำบัดซีโอดีในเซลล์เชื้อเพลิงชีวภาพในงานวิจัยที่ผ่านมา

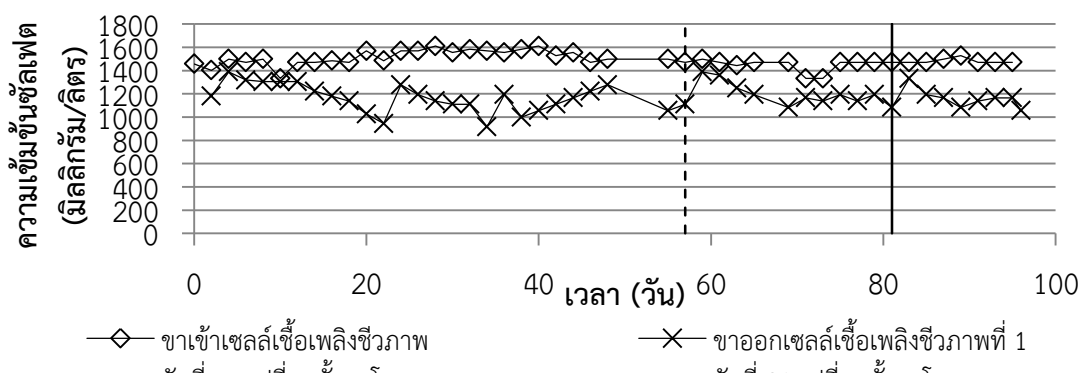
ประสิทธิภาพการบำบัดซีโอดีเฉลี่ย	เอกสารอ้างอิง
46%	Rabaey และคณะ (2006)
54%	Zhang และคณะ (2009)
40-50%	Zhang และคณะ (2010)
24%	Zhang และ Ni (2010)
$51 \pm 9.88\%$ และ $57 \pm 10.09\%$	งานวิจัยนี้

การลดลงของชีโอดีในระบบคาดว่าจะเกิดจากกระบวนการซัลเฟตредักชันโดยจุลินทรีย์โดยมีสารอินทรีย์เป็นตัวให้อิเล็กตรอนและซัลเฟตเป็นตัวรับอิเล็กตรอนอย่างไรก็ตาม มีความเป็นไปได้เช่นกันที่สารอินทรีย์จะถูกออกซิเดช์ที่ข้าวแอลลอยด์โดยจุลินทรีย์กลุ่มที่สามารถถ่ายเทอิเล็กตรอนให้แก่ ข้าวได้ (exoelectrogenic microorganisms) ซึ่งกลไกการทำงานต่าง ๆ ในเซลล์เชื้อเพลิงชีวภาพจะนำเสนอและอภิปรายเพิ่มเติมในผลการทดลองช่วงที่ 2 ทั้งนี้ปริมาณที่ลดลงในเซลล์เชื้อเพลิงชีวภาพทั้งสองแสดงดังภาพที่ 4-1 และ 4-2 รวมถึงประสิทธิภาพการบำบัดของสารอินทรีย์ในระบบเซลล์เชื้อเพลิงชีวภาพทั้งสองแสดงดังภาพที่ 4-3

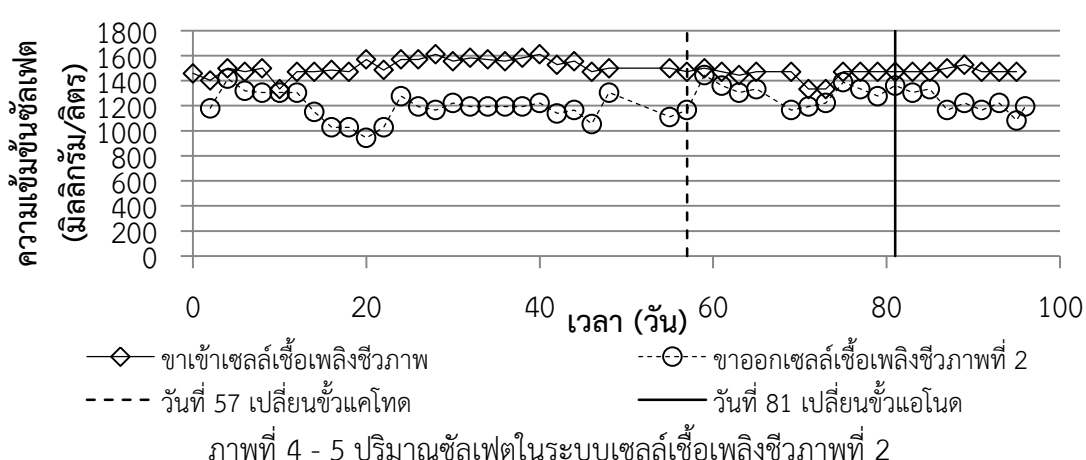


- ประสิทธิภาพการบำบัดของชัลเฟต

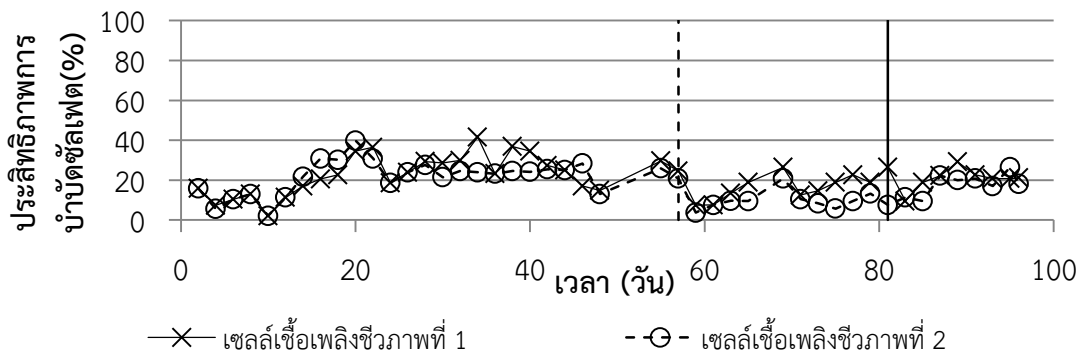
การลดลงของชัลเฟตในระบบเป็นผลมาจากการกระบวนการชัลเฟตรีดักชันโดยกลุ่มแบคทีเรียริดิวาร์ชัลเฟต ซึ่งสามารถใช้ชัลเฟตเป็นตัวรับอิเล็กตรอน และเปลี่ยนชัลเฟตไปเป็นไฮโดรเจนชัลไฟฟ์ในระบบ จากผลการศึกษาประสิทธิภาพการบำบัดชัลเฟตในเซลล์เชื้อเพลิงชีวภาพพบว่า ในเซลล์เชื้อเพลิงชีวภาพที่ 1 และเซลล์เชื้อเพลิงชีวภาพที่ 2 มีประสิทธิภาพการบำบัดชัลเฟตเฉลี่ยอยู่ที่ประมาณ $21 \pm 9\%$ และ $18 \pm 9\%$ ตามลำดับ โดยในช่วงเริ่มต้นการเดินระบบสามารถบำบัดชัลเฟตได้น้อยมาก จากนั้นเมื่อเดินระบบอย่างต่อเนื่องไประยะหนึ่งพบว่า การบำบัดชัลเฟตมีแนวโน้มเพิ่มขึ้น อย่างไรก็ตามยังถือได้ว่าเซลล์เชื้อเพลิงชีวภาพทั้งสองมีประสิทธิภาพในการบำบัดชัลเฟตได้ต่ำเมื่อเทียบกับปริมาณชัลเฟตที่ใส่เข้าไป ปริมาณที่ลดลงของชัลเฟตในเซลล์เชื้อเพลิงชีวภาพที่ 1 และ 2 แสดงดังภาพที่ 4-4 และ 4-5 และประสิทธิภาพการบำบัดชัลเฟตในเซลล์เชื้อเพลิงชีวภาพทั้งสอง แสดงดังภาพที่ 4-6 ทั้งนี้ปัจจัยที่ส่งผลให้ประสิทธิภาพการบำบัดชัลเฟตในระบบมีค่าต่างกันล่าวถึงในหัวข้อ 4.2 4.3 และ 4.4 ต่อไป



ภาพที่ 4 - 4 ปริมาณชัลเฟตในระบบเซลล์เชื้อเพลิงชีวภาพที่ 1

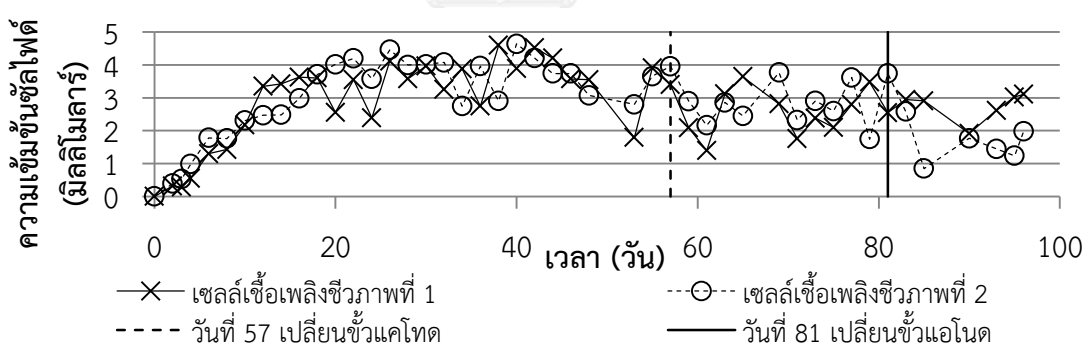


ภาพที่ 4 - 5 ปริมาณชัลเฟตในระบบเซลล์เชื้อเพลิงชีวภาพที่ 2



- ความเข้มข้นของชัลไฟต์ที่เกิดขึ้นในเซลล์เชื้อเพลิงชีวภาพ

ในช่วงเริ่มต้นการเดินระบบน้ำ ยังไม่ตรวจพบชัลไฟต์เกิดขึ้นทั้งในเซลล์เชื้อเพลิงชีวภาพที่ 1 และเซลล์เชื้อเพลิงชีวภาพที่ 2 จากนั้นเมื่อเดินระบบอย่างต่อเนื่องพบว่าปริมาณชัลไฟต์มีแนวโน้มค่อยๆ เพิ่มขึ้นในช่วง 20 วันแรกของการเดินระบบในทั้งสองเซลล์เชื้อเพลิงชีวภาพ และเมื่อเดินระบบจนเข้าสู่ภาวะคงตัวแล้วพบว่า มีความเข้มข้นของชัลไฟต์เฉลี่ยใกล้เคียงกัน โดยมีค่าเฉลี่ยอยู่ที่ 2.8 ± 1.13 และ 2.8 ± 1.17 มิลลิโมลาร์ (ประมาณ 95.2 มิลลิกรัม/ลิตร) ในเซลล์เชื้อเพลิงชีวภาพที่ 1 และ 2 ตามลำดับ ซึ่งปริมาณชัลไฟต์ที่เกิดขึ้นนี้สัมพันธ์กับปริมาณชัลไฟต์ที่ลดลง ชัลไฟต์ที่เกิดขึ้นในเซลล์เชื้อเพลิงชีวภาพทั้งสอง แสดงดังภาพที่ 4-7

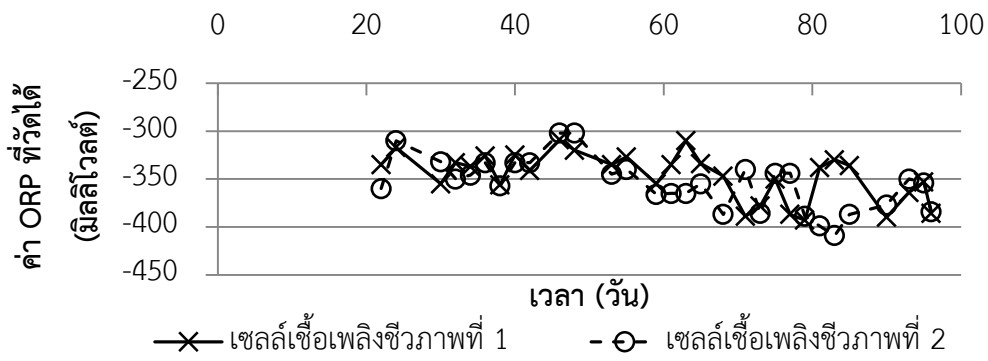


ภาพที่ 4 - 7 ความเข้มข้นของชัลไฟต์ที่เกิดขึ้นในเซลล์เชื้อเพลิงชีวภาพทั้งสอง

อย่างไรก็ตาม ปริมาณชัลไฟต์ที่ตรวจวัดได้นั้นอาจมีค่าน้อยกว่าปริมาณไฮโดรเจนชัลไฟต์ที่เกิดขึ้นทั้งหมด เนื่องจากมีชัลไฟต์ส่วนหนึ่งนั้นอาจถูกออกซิไดซ์บนข้าวแอโนดโดยตรงและเปลี่ยนเป็นราตุชัลเฟอร์ເກາະติดบนบริเวณพื้นผิวของข้าวแอโนด ดังจะสังเกตเห็นได้จากทราบข่าวที่เกิดขึ้นบนข้าวแอโนด หรือชัลไฟต์บางส่วนอาจถูกออกซิไดซ์โดยจุลินทรีย์ที่เกาะติดเป็น biofilm บริเวณข้าวแอโนดได้ผลิตภัณฑ์กลับมาเป็นชัลไฟต์ในระบบ ซึ่งกระบวนการดังกล่าวสามารถเกิดขึ้นได้ในเซลล์เชื้อเพลิงชีวภาพดังได้รายงานในงานวิจัยที่ผ่านมา (Rabaey, et al. 2006; Zhao, et al. 2008) นอกจากนี้ที่ค่าพีเอชช่วง 6.9 - 7.5 ไฮโดรเจนชัลไฟต์ส่วนหนึ่งจะอยู่รูปของก๊าซไฮโดรเจนชัลไฟต์ (H_2S) ซึ่งอาจหลุดออกจากระบบได้บ้างส่วนหนึ่งด้วย

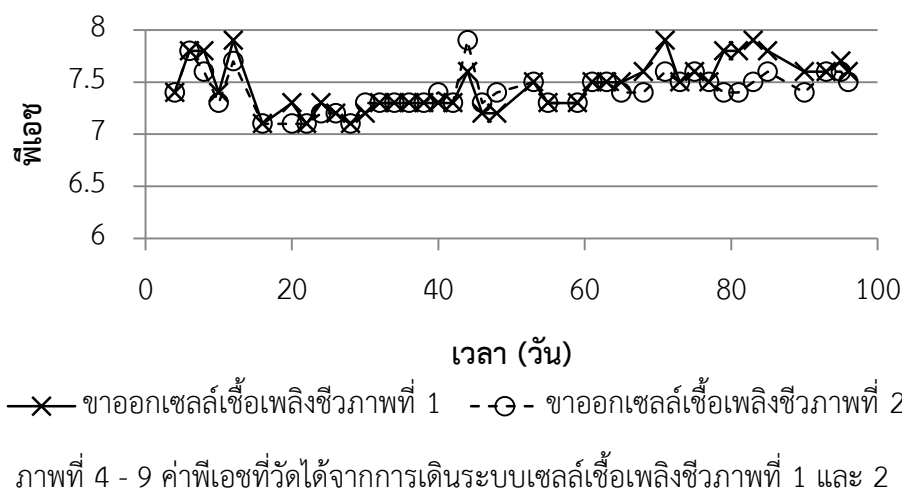
- ค่า ORP และพีอีชในการเดินระบบในการทดลองช่วงที่ 1

ค่า ORP ของระบบเซลล์เชื้อเพลิงชีวภาพทั้งสองมีค่าติดลบตลอดการเดินระบบ ทั้งนี้ค่า ORP ที่ติดลบแสดงให้เห็นถึงความสามารถในการให้อิเล็กตรอนในระบบ ยิ่งมีค่าติดลามากแสดงว่าในระบบมีแนวโน้มที่จะให้อิเล็กตรอนมาก ดังนั้นในระบบเซลล์เชื้อเพลิงชีวภาพที่ 1 และ 2 ที่มีค่า ORP ติดลบในตลอดการทดลองนั้นอาจเป็นไปได้จากปฏิกิริยาที่เกิดขึ้นภายใน เช่น จากการกลไกการบำบัดซึ่งโดยแบคทีเรียริบิวซ์ซัลเฟต ซึ่งผลของค่า ORP ในเซลล์เชื้อเพลิงชีวภาพที่ 1 และ 2 ดังแสดงในภาพที่ 4-8



ภาพที่ 4 - 8 ค่า ORP ที่วัดได้จากการเดินระบบเซลล์เชื้อเพลิงชีวภาพที่ 1 และ 2

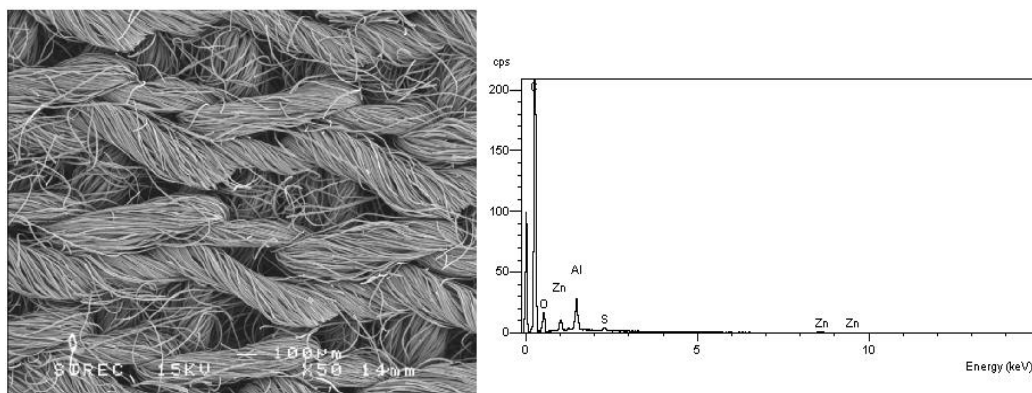
ค่าพีอีของระบบเซลล์เชื้อเพลิงชีวภาพทั้งสองอยู่ในช่วง 7 - 8 ซึ่งมีสภาวะค่อนข้างเป็นกลาง ส่งผลให้รูปแบบของชัลไฟด์ที่พบรูปในระบบน่าจะอยู่ในรูป HS^- เป็นหลัก ซึ่งผลของค่าพีอีที่วัดได้จากเซลล์เชื้อเพลิงชีวภาพที่ 1 และ 2 ดังแสดงในภาพที่ 4-9



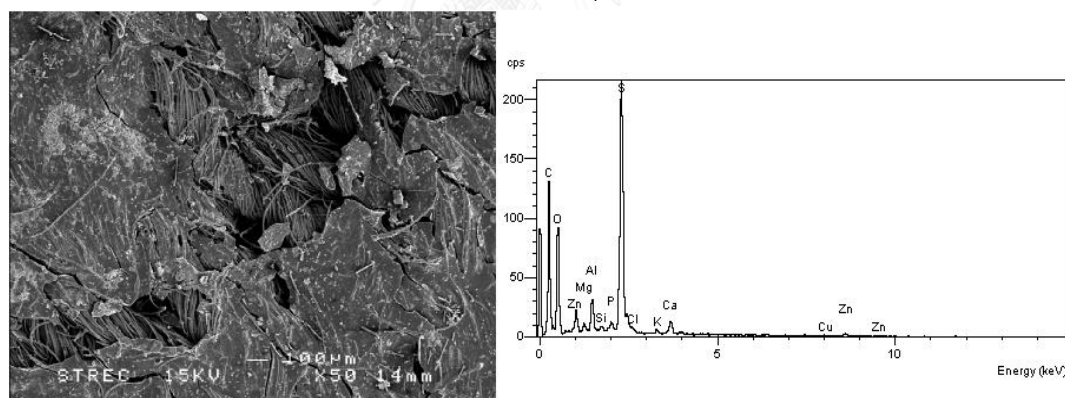
ภาพที่ 4 - 9 ค่าพีอีที่วัดได้จากการเดินระบบเซลล์เชื้อเพลิงชีวภาพที่ 1 และ 2

- ลักษณะพื้นผิวและชนิดของธาตุที่พบบนพื้นผิวของข้าวแอโนด

วิเคราะห์ผลโดยใช้เครื่องมือ SEM-EDX ซึ่งสามารถถ่ายภาพขยายของพื้นผิวข้าวแอโนดรวมถึงทราบชนิดของธาตุที่พบบนพื้นผิวของข้าวแอโนด ผลการวิเคราะห์พบว่า ข้าวแอโนดของการทดลองในช่วงที่ 1 มีคราบที่มีลักษณะเป็นของแข็งเกาะอุดตันที่ผิวน้ำข้าวแอโนด และเมื่อวิเคราะห์ธาตุที่พบแล้วพบว่า มีปริมาณชัลเฟอร์สูงกว่า เมื่อเปรียบเทียบกับข้าวแอโนดเริ่มต้นทั้งหมด โดยสังเกตได้จากการแสดงชนิดของธาตุที่ตรวจพบบนพื้นผิวของข้าวแอโนด ผลการวิเคราะห์สามารถแสดงได้ดังภาพที่ 4-10 และ 4-11



ภาพที่ 4 - 10 ลักษณะพื้นผิวและชนิดของธาตุที่พบบนพื้นผิวของข้าวแอโนดเริ่มต้น

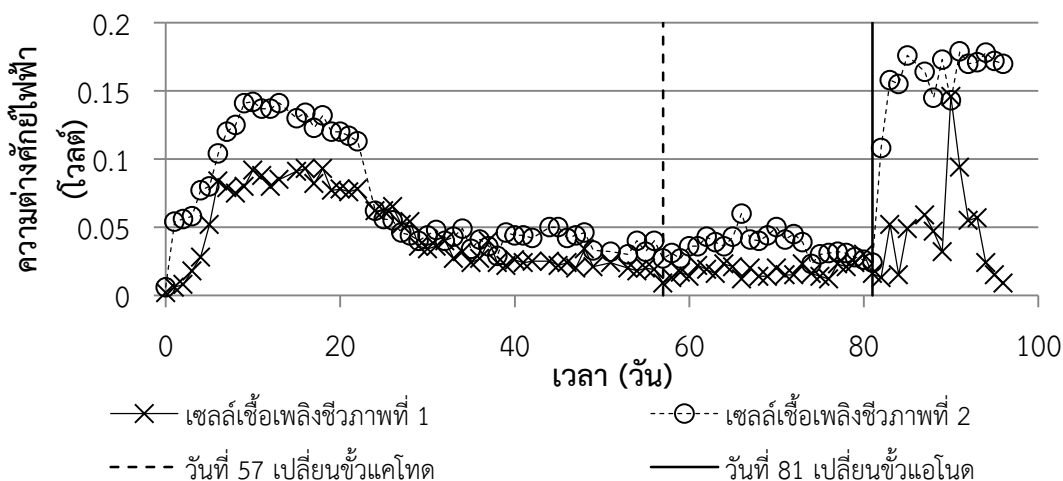


ภาพที่ 4 - 11 ลักษณะพื้นผิวและชนิดของธาตุที่พบบนพื้นผิวของข้าวแอโนดหลังการทดลอง

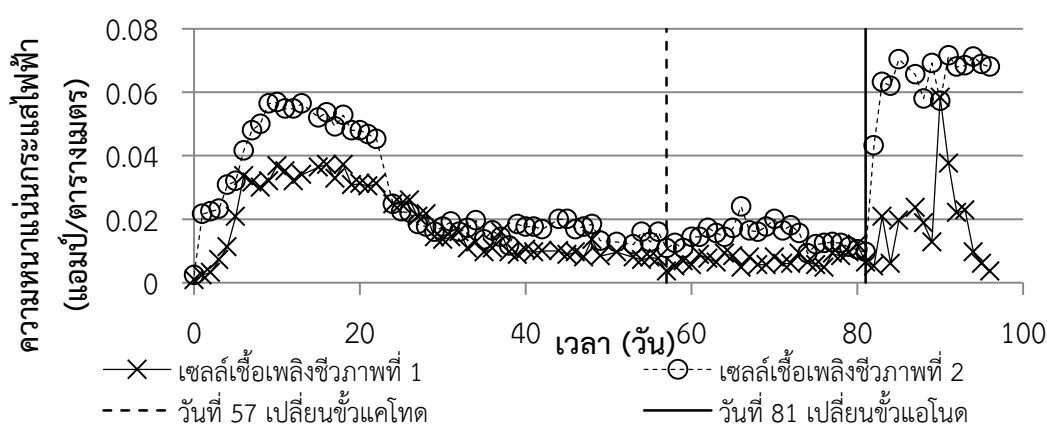
จากลักษณะพื้นผิวของข้าวแอโนด เมื่อเปรียบเทียบระหว่างข้าวแอโนดเริ่มต้นและข้าวแอโนดหลังการทดลองแล้ว คาดว่าจะส่งผลโดยตรงกับค่าความต่างศักย์ไฟฟ้าที่ตรวจวัดได้ เนื่องจากคราบที่เกาะบริเวณพื้นผิวของข้าวแอโนดทำให้ปฏิกิริยาที่บริเวณพื้นผิวเกิดได้ไม่เต็มที่ เพราะถูกบดบังพื้นที่ผิว และธาตุชัลเฟอร์ไม่มีสมบัติการนำไฟฟ้า (จากภาพที่ 4-10 ที่พบว่ามีปริมาณธาตุชัลเฟอร์ที่ตรวจวัดได้เพิ่มขึ้น) ดังนั้นการที่มีการสะสมตัวของชัลเฟอร์จึงส่งผลโดยตรงต่อประสิทธิภาพการนำไฟฟ้าของข้าวแอโนด ดังจะแสดงให้เห็นจากค่าความต่างศักย์และความหนาแน่นไฟฟ้าที่วัดได้จากการทดลองของเซลล์เชื้อเพลิงชีวภาพต่อไป

- ค่าความต่างศักย์และความหนาแน่นกระแสไฟฟ้า

ทำการวัดความต่างศักย์ไฟฟ้าโดยใช้เครื่องมัลติมิเตอร์ และมีการต่อตัวต้านทานไฟฟ้าภายในอุปกรณ์ 1000 Ω ตลอดการเดินระบบ ส่วนการวัดค่าความหนาแน่นกระแสไฟฟ้าทำโดยนำค่าความต่างศักย์ไฟฟ้าที่วัดได้มาคำนวณต่อพื้นที่ขั้วแค็โทดซึ่งมีขนาดพื้นที่ขั้วน้อยกว่าขั้วออนไลน์ ซึ่งในการทดลองนี้ขั้วแค็โทดมีขนาดพื้นที่ 25 ตารางเซนติเมตร นอกจากนี้ได้มีการเปลี่ยนขั้วแค็โทดและออนไลน์ในวันที่ 57 และ วันที่ 81 ของการทดลอง ตามลำดับ เนื่องจากต้องการตรวจสอบผลกระทบจากการเปลี่ยนสภาพของขั้วแค็โทดและขั้วออนไลน์ต่อการผลิตกระแสไฟฟ้าในระบบเซลล์เชือเพลิงชีวภาพนี้ในส่วนของประสิทธิภาพการนำอิเล็กตรอนที่ลดลง ค่าของความต่างศักย์ไฟฟ้าและความหนาแน่นของกระแสไฟฟ้าของเซลล์เชือเพลิงชีวภาพ แสดงดังภาพที่ 4-12 และ 4-13 ตามลำดับ



ภาพที่ 4 - 12 ความต่างศักย์ไฟฟ้าที่วัดได้จากการทดลอง



ภาพที่ 4 - 13 ความหนาแน่นกระแสไฟฟ้าที่วัดได้จากการทดลอง

จากผลการทดลองพบว่า ค่าความต่างศักย์ของเซลล์เชื้อเพลิงชีวภาพที่ 2 โดยรวมนั้นสูงกว่า ในเซลล์เชื้อเพลิงชีวภาพที่ 1 ตลอดการทดลอง เมื่อเริ่มเดินระบบความต่างศักย์ไฟฟ้ามีแนวโน้ม เพิ่มขึ้นอย่างรวดเร็วในสัปดาห์แรกและค่อนข้างคงที่ต่ออีกประมาณสองสัปดาห์ โดยค่าความต่างศักย์ สูงสุดอยู่ที่ 0.093 โวลต์ สำหรับเซลล์เชื้อเพลิงชีวภาพที่ 1 และ 0.142 โวลต์ สำหรับเซลล์เชื้อเพลิง ชีวภาพที่ 2 จากนั้นก็ลดลงจนเข้าสู่สภาวะคงที่เป็นระยะเวลาประมาณ 8 สัปดาห์ แม้ว่าจะมีการ เปลี่ยนขั้วแค็国度ในวันที่ 57 ของการทดลอง ซึ่งแสดงให้เห็นว่าการเปลี่ยนขั้วแค็国度ใหม่ไม่ได้ช่วยเพิ่ม ความต่างศักย์ไฟฟ้าขึ้นในระบบแต่อย่างใด ค่าความต่างศักย์ไฟฟ้าเฉลี่ยในช่วงคงที่นี้ (วันที่ 25 – 80 ของการทดลอง) อยู่ที่ $0.025 \pm 0.012 \text{ โวลต์}$ สำหรับเซลล์เชื้อเพลิงชีวภาพที่ 1 และ $0.040 \pm 0.008 \text{ โวลต์}$ สำหรับเซลล์เชื้อเพลิงชีวภาพที่ 2

อย่างไรก็ตามค่าความต่างศักย์ไฟฟ้ากลับเพิ่มขึ้นอย่างรวดเร็วหลังจากเปลี่ยนขั้วแอลูминิเดใน วันที่ 81 ของการทดลอง โดยพบว่า ค่าความต่างศักย์ไฟฟ้าเพิ่มขึ้นอย่างมากในเซลล์เชื้อเพลิงชีวภาพ ที่ 2 แต่เพิ่มขึ้นเพียงเล็กน้อยในเซลล์เชื้อเพลิงชีวภาพที่ 1 อย่างไรก็ตามในภายหลังพบว่าได้เกิดปัญหา ไฟฟ้าลัดวงจรในเซลล์เชื้อเพลิงชีวภาพที่ 1 ดังจะแสดงในกราฟความสัมพันธ์ระหว่างความต่างศักย์ และความหนาแน่นกระแสไฟฟ้าต่อไป และเมื่อได้แก้ไขปัญหาดังกล่าวแล้วพบว่าความต่างศักย์ไฟฟ้า ของเซลล์เชื้อเพลิงชีวภาพที่ 1 นั้นติดกลับสูงขึ้นเกือบใกล้เคียงกับเซลล์เชื้อเพลิงชีวภาพที่ 2 แต่ ภายหลังจากนั้นไม่นานค่าความต่างศักย์ไฟฟ้าของเซลล์เชื้อเพลิงชีวภาพที่ 1 ก็กลับลดลงอีกรังสี ค่า ความต่างศักย์สูงสุดที่วัดได้ภายหลังจากเปลี่ยนขั้วแอลูминิเดคือ 0.146 และ 0.179 โวลต์ สำหรับเซลล์ เชื้อเพลิงชีวภาพที่ 1 และ 2 ตามลำดับ

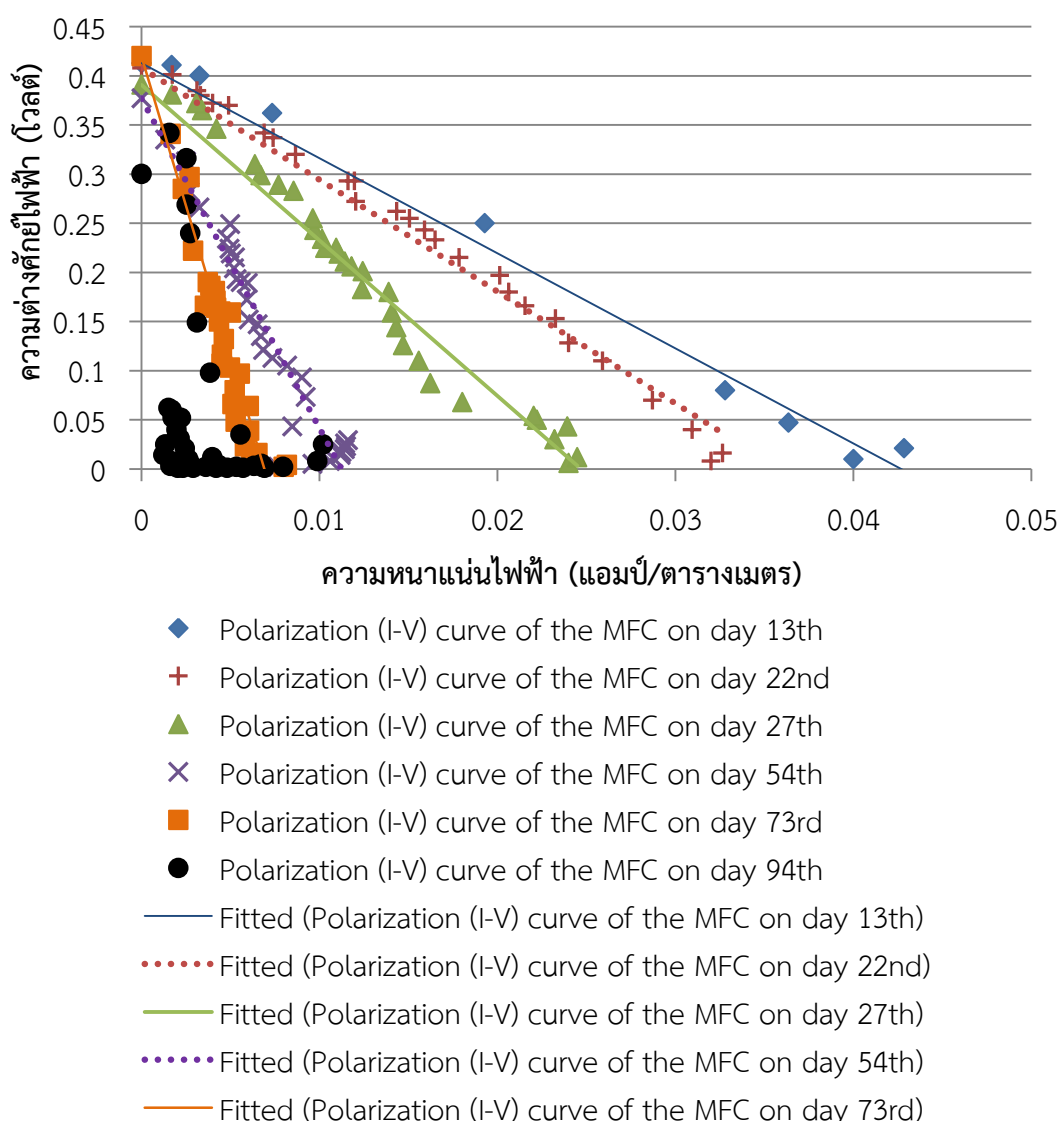
เนื่องจากเกิดปัญหาไฟฟ้าลัดวงจรในเซลล์เชื้อเพลิงชีวภาพที่ 1 ดังที่กล่าวมา การทดลอง ในช่วงที่ 2 เพื่อศึกษาผลกระทบจากการทำงานของเซลล์เชื้อเพลิงชีวภาพจึงเลือกศึกษาเฉพาะในเซลล์เชื้อเพลิง ภาพที่ 2 เท่านั้น

ส่วนค่าความหนาแน่นกระแสไฟฟ้าที่คำนวนได้นั้นมีแนวโน้มเช่นเดียวกันกับค่าความต่าง ศักย์ไฟฟ้า โดยในช่วงแรกของการเดินระบบมีค่าความหนาแน่นไฟฟ้าสูงสุดคือ $0.0372 \text{ แอมป์/ตาราง เมตร}$ และ $0.0568 \text{ แอมป์/ตารางเมตร}$ ในเซลล์เชื้อเพลิงชีวภาพที่ 1 และ 2 ตามลำดับ จากนั้นในช่วง ที่ค่าทางไฟฟ้าอยู่ในสภาวะคงที่พบว่า ค่าความหนาแน่นกระแสไฟฟ้าเฉลี่ยอยู่ที่ประมาณ $0.010 \pm 0.0048 \text{ แอมป์/ตารางเมตร}$ ในเซลล์เชื้อเพลิงชีวภาพที่ 1 และ $0.0158 \pm 0.0033 \text{ แอมป์/ ตารางเมตร}$ ในเซลล์เชื้อเพลิงชีวภาพที่ 2 หลังจากที่เปลี่ยนขั้วแอลูминิเดแล้วพบว่าค่าความหนาแน่น กระแสไฟฟ้านี้มีค่าสูงสุดคือ $0.0584 \text{ แอมป์/ตารางเมตร}$ และ $0.0716 \text{ แอมป์/ตารางเมตร}$ ในเซลล์ เชื้อเพลิงชีวภาพที่ 1 และ 2 ตามลำดับ

- ประสิทธิภาพการเกิดกระแสไฟฟ้าในเซลล์เชือเพลิงชีวภาพ

1) กราฟความสัมพันธ์ระหว่างความต่างศักย์และความหนาแน่นกระแสไฟฟ้า

จากข้อมูลการวิเคราะห์ค่าทางไฟฟ้าของระบบเซลล์เชือเพลิงชีวภาพสามารถนำมารวบรวมได้ 4 แบบ คือ กราฟความสัมพันธ์ระหว่างความต่างศักย์ไฟฟ้าและความหนาแน่นกระแสไฟฟ้า ได้ดังภาพที่ 4-14 และตารางที่ 4-2 สำหรับเซลล์เชือเพลิงชีวภาพที่ 1 และภาพที่ 4-15 และตารางที่ 4-3 สำหรับเซลล์เชือเพลิงชีวภาพที่ 2 การจัดทำกราฟดังกล่าวสามารถช่วยวิเคราะห์ลักษณะของการสูญเสียของความต่างศักย์ไฟฟ้า (voltage loss) ในระบบ ซึ่งจะช่วยอธิบายถึงสาเหตุของการเสื่อมสภาพระบบเซลล์เชือเพลิงชีวภาพ

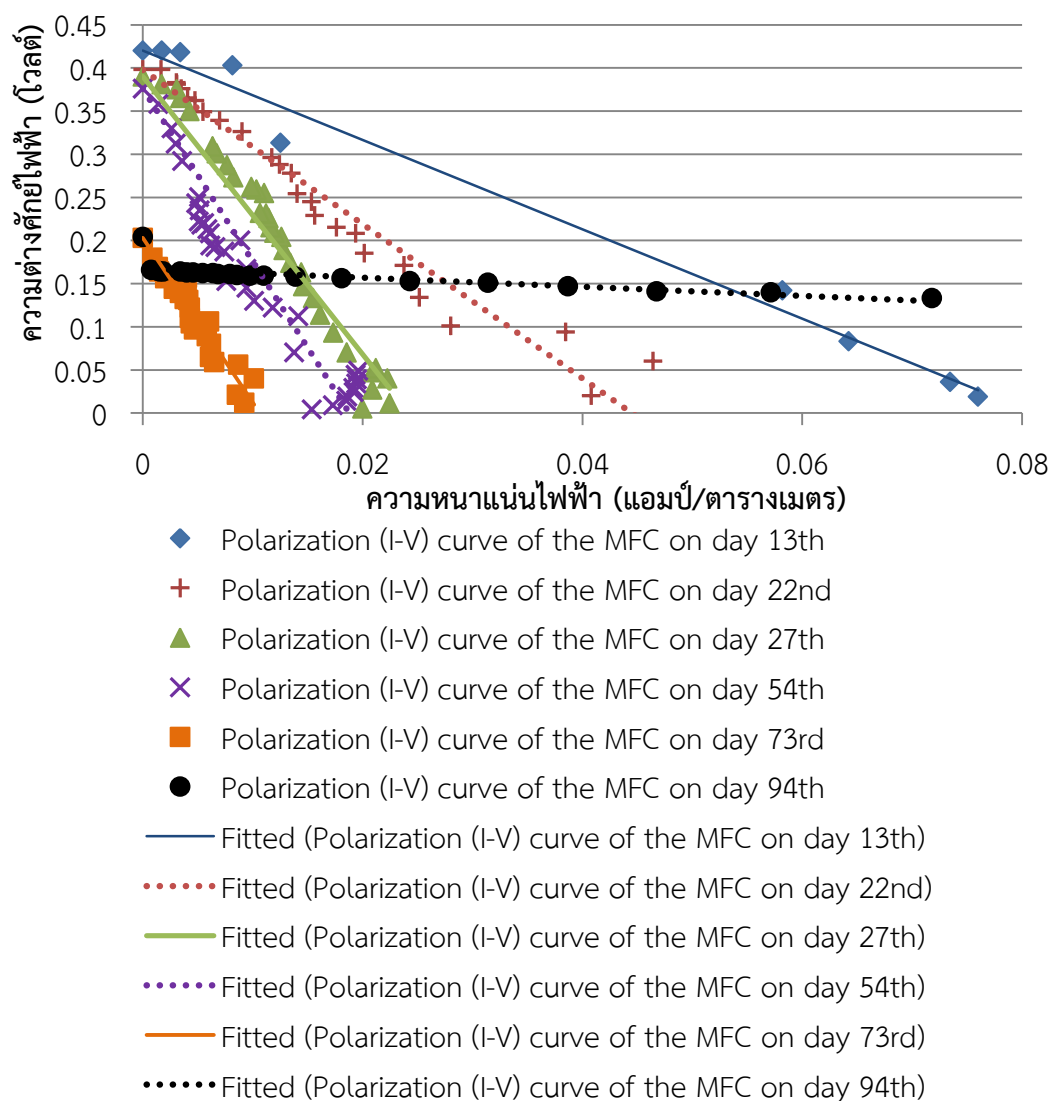


ภาพที่ 4 - 14 กราฟความสัมพันธ์ระหว่างความต่างศักย์และความหนาแน่นกระแสไฟฟ้าของเซลล์เชือเพลิงชีวภาพที่ 1 ในการทดลองวันที่ 13 22 27 54 73 และ 94

ตารางที่ 4 - 2 สรุปกราฟความสัมพันธ์ระหว่างความต่างศักย์และความหนาแน่นกระแสไฟฟ้าของเซลล์เชื่อเพลิงชีวภาพที่ 1 ในการทดลองวันที่ 13 22 27 54 73 และ 94

วันที่ทำการทดลอง	13	22	27	54	73	94
Fitted equation						
(1) $V = V_{OCV} - (a + b \log j + jR)$	(2)	(2)	(2)	(2)	(2)	-
(2) $V = V_{OCV} - jR$						
Open circuit voltage, V_{OCV} (โวลต์)	0.413	0.408	0.391	0.377	0.42	0.30
ความต้านทานภายใน (โอห์ม*ตารางเมตร)	9.68	11.4	15.8	33.5	60.8	-
ความต้านทานภายในรวม (โอห์ม)	3,944	4,560	6,320	13,400	24,320	-
a และ b	-	-	-	-	-	-
R^2 หรือ r^2	0.989	0.985	0.969	0.925	0.905	-

จากราฟความสัมพันธ์ระหว่างความต่างศักย์และความหนาแน่นกระแสไฟฟ้าพบว่า สาเหตุหลักของการเสื่อมสภาพของระบบเซลล์เชื่อเพลิงชีวภาพที่ 1 เกิดจาก ohmic losses เพียงอย่างเดียว ดังนั้นจึงเลือกใช้ fitted equation คือ สมการที่ (2) $V = V_{OCV} - jR$ โดยทำการวัดค่า V_{OCV} เมื่อวันที่เปิด ไม่มีกระแสไฟฟ้าไหลผ่าน ทั้งนี้ค่าความต้านทานภายในของระบบเซลล์เชื่อเพลิงชีวภาพที่มีค่าเพิ่มขึ้นอย่างต่อเนื่องตามระยะเวลาในการเดินระบบ ซึ่งคาดว่าเกิดจากการสะสมตัวของ ซัลเฟอร์บนขั้วแอนode ส่งผลให้การนำไฟฟ้าของขั้วลดลงและความต้านทานรวมของระบบเพิ่มขึ้น ทั้งนี้ในวันที่ 94 ของการทดลอง หลังจากเปลี่ยนขั้วแอนodeคาดว่าเกิดการลัดวงจรในระบบ ค่าความต่างศักย์ไฟฟ้าจึงมีค่าต่ำกว่าปกติ ดังนั้น I-V Curve ที่ได้ จึงไม่สามารถนำมาแปลผลข้อมูลได้



ภาพที่ 4 - 15 กราฟความสัมพันธ์ระหว่างความต่างศักย์และความหนาแน่นกระแสไฟฟ้าของเซลล์เชื้อเพลิงชีวภาพที่ 2 ในการทดลองวันที่ 13 22 27 54 73 และ 94

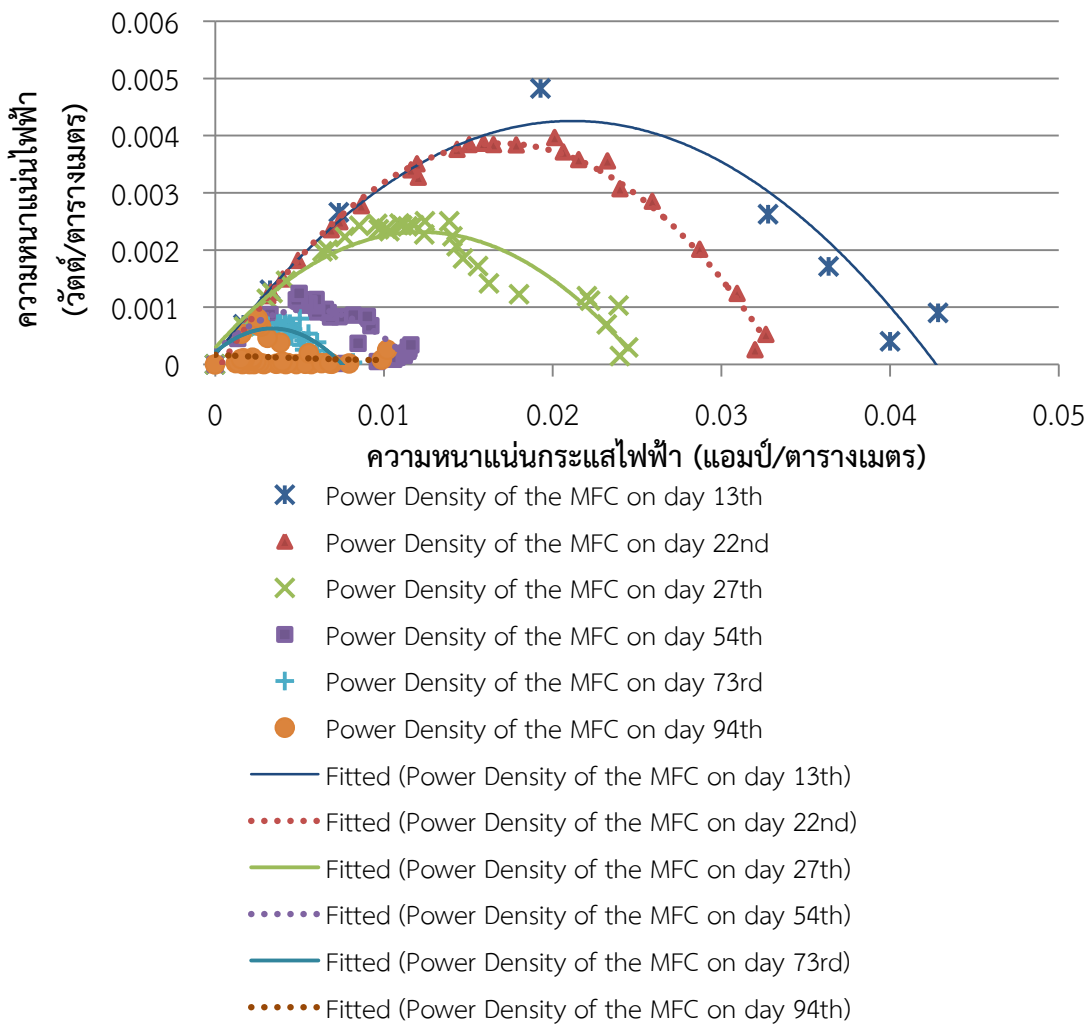
ตารางที่ 4 - 3 สรุปกราฟความสัมพันธ์ระหว่างความต่างศักย์และความหนาแน่นกระแสไฟฟ้าของเซลล์เชือเพลิงชีวภาพที่ 2 ในการทดลองวันที่ 13 22 27 54 73 และ 94

วันที่ทำการทดลอง	13	22	27	54	73	94
Fitted equation						
(1) $V = V_{OCV} - (a + b \log j + jR)$	(2)	(2)	(2)	(2)	(2)	(1)
(2) $V = V_{OCV} - jR$						
Open circuit voltage, V_{OCV} (โวลต์)	0.420	0.398	0.390	0.376	0.203	0.204
ความต้านทานภายใน (โอห์ม*ตารางเมตร)	5.18	8.95	16.1	20.0	19.1	0.529
ความต้านทานภายในรวม (โอห์ม)	2,072	3,580	6,440	8,000	7,640	211.6
a และ b	-	-	-	-	-	0.0364 และ 0.0002
R^2 หรือ r^2	0.987	0.949	0.959	0.864	0.915	0.625

จากราฟความสัมพันธ์ระหว่างความต่างศักย์และความหนาแน่นกระแสไฟฟ้าของเซลล์เชือเพลิงชีวภาพที่ 2 พบว่า สาเหตุของการเสื่อมสภาพของระบบเซลล์เชือเพลิงชีวภาพที่ 2 เกิดจากทั้ง activation losses และ ohmic losses ดังนั้นสมการที่นำมาใช้ fitted equation จึงมี 2 สมการคือ (1) $V = V_{OCV} - (a + b \log |j| + jR)$ และ (2) $V = V_{OCV} - jR$ ซึ่งค่า V_{OCV} ที่รัดได้จากการทดลองนั้นมีค่าลดลงหลังจากเปลี่ยนขั้วแคโทดในวันที่ 57 ของการทดลอง ซึ่งอาจเกิดจากความไม่สมบูรณ์ของขั้วแคโทดที่นำมาเปลี่ยน ในขณะที่ค่าความต้านทานภายในเพิ่มขึ้นตามระยะเวลาการเดินระบบ แต่เมื่อมีการเปลี่ยนขั้วแอนodenพบว่า ค่าความต้านทานภายในระบบเซลล์เชือเพลิงชีวภาพที่ 2 ลดลงอย่างชัดเจน ทั้งนี้สอดคล้องกับสมมติฐานคือ ชัลเฟอร์ที่สะสมบนขั้วแอนoden ส่งผลให้ความต้านทานภายในระบบสูงขึ้น ดังนั้nm เมื่อมีการเปลี่ยนขั้วแอนodenจึงทำให้ค่าความต้านทานภายในระบบลดลง

2) ความหนาแน่นกำลังไฟฟ้า

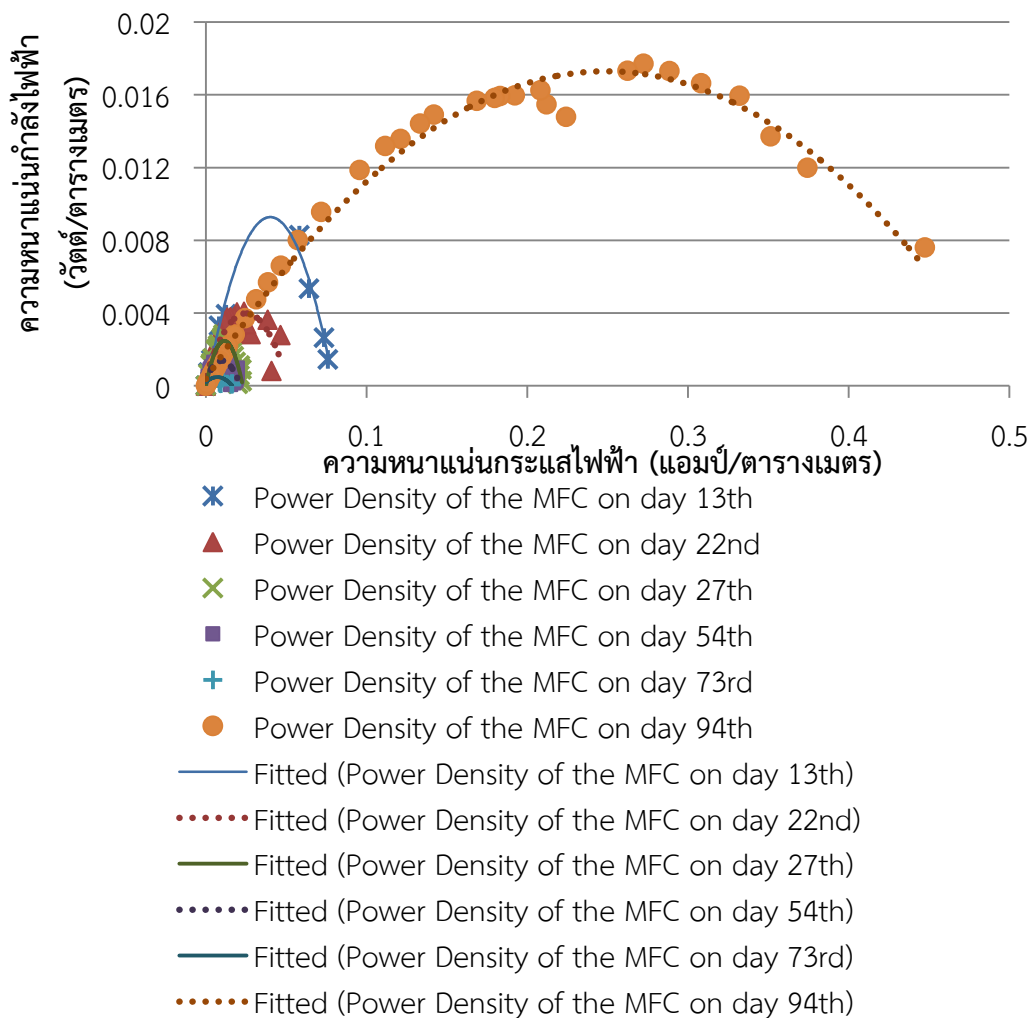
กราฟความหนาแน่นกำลังไฟฟ้าจัดทำโดยใช้ความสัมพันธ์ระหว่างค่าความหนาแน่นกำลังไฟฟ้าและความหนาแน่นกระแสไฟฟ้า เพื่อนำมาหาค่าพลังงานไฟฟ้าสูงสุดของเซลล์เชือเพลิงชีวภาพ ซึ่งค่าพลังงานไฟฟ้าสูงสุดของเซลล์เชือเพลิงชีวภาพดังแสดงในภาพที่ 4-16 และ 4-17 และสรุปค่าความหนาแน่นกำลังไฟฟ้าสูงสุดในตารางที่ 4-4 และ 4-5



ภาพที่ 4 - 16 กราฟความหนาแน่นกำลังไฟฟ้าของเซลล์เชื้อเพลิงชีวภาพที่ 1 ที่คำนวณได้จากการทดลองวันที่ 13 22 27 54 73 และ 94

ตารางที่ 4 - 4 สรุปค่าความหนาแน่นไฟฟ้าสูงสุดและความหนาแน่นกระแสไฟฟ้าสูงสุดของเซลล์เชื้อเพลิงชีวภาพที่ 1 ที่คำนวณได้จากการทดลองวันที่ 13 22 27 54 73 และ 94

วันที่ทำการทดลอง	ค่าความหนาแน่นกำลังไฟฟ้าสูงสุด ($\text{วัตต์}/\text{ตารางเมตร}$)	ค่าความหนาแน่นกระแสไฟฟ้าสูงสุด ($\text{แอมป์}/\text{ตารางเมตร}$)
13	0.0043	0.021
22	0.0038	0.017
27	0.0023	0.012
54	0.00095	0.0055
73	0.00062	0.0034
94	0.00091	0.016



ภาพที่ 4 - 17 กราฟความหนาแน่นกำลังไฟฟ้าของเซลล์เชื้อเพลิงชีวภาพที่ 2 ที่คำนวนได้จากการทดลองวันที่ 13 22 27 54 73 และ 94

ตารางที่ 4 - 5 สรุปค่าความหนาแน่นไฟฟ้าสูงสุดและความหนาแน่นกระแสไฟฟ้าสูงสุดของเซลล์เชื้อเพลิงชีวภาพที่ 2 ที่คำนวนได้จากการทดลองวันที่ 13 22 27 54 73 และ 94

วันที่ทำการทดลอง	ค่าความหนาแน่นกำลังไฟฟ้าสูงสุด (วัตต์/ตารางเมตร)	ค่าความหนาแน่นกระแสไฟฟ้าสูงสุด (แอมป์/ตารางเมตร)
13	0.0093	0.040
22	0.0040	0.025
27	0.0025	0.011
54	0.0014	0.0099
73	0.00047	0.0071
94	0.017	0.25

ความหนาแน่นกำลังไฟฟ้าสูงสุดและความหนาแน่นไฟฟ้าสูงสุดของเซลล์เชือเพลิงชีวภาพที่ 1 มีค่าสูงสุด 0.0043 วัตต์/ตารางเมตร และ 0.021 แอมป์/ตารางเมตร ตามลำดับ ซึ่งคำนวณได้จากการทดลองวันที่ 13 ส่วนความหนาแน่นกำลังไฟฟ้าสูงสุดและความหนาแน่นไฟฟ้าสูงสุดของเซลล์เชือเพลิงชีวภาพที่ 2 มีค่าสูงสุด 0.017 วัตต์/ตารางเมตร และ 0.25 แอมป์/ตารางเมตร ตามลำดับ ซึ่งคำนวณได้จากการทดลองวันที่ 94

จากค่าความหนาแน่นกำลังไฟฟ้าสูงสุดและความหนาแน่นไฟฟ้าสูงสุดของเซลล์เชือเพลิงชีวภาพที่ 1 นั้นมีแนวโน้มลดลงเรื่อยๆ ทั้งนี้เนื่องจากการเสื่อมสภาพของข้าวแค็โคโตดและแอโนดในระหว่างการเดินระบบ แม้จะมีการเปลี่ยนข้าวแค็โคโตดในวันที่ 57 ของการทดลอง แต่ปริมาณชัลเฟอร์ที่เกาจะเพิ่มขึ้นตามระยะเวลาการทดลองบริเวณพื้นผิวของข้าวแอโนดก็ยังส่งผลต่อประสิทธิภาพในการนำกระแสไฟฟ้าอยู่ ดังนั้นเมื่อทำการเปลี่ยนข้าวแอโนดในวันที่ 81 ของการทดลอง พบว่าการนำกระแสไฟฟ้าเกิดได้ดีขึ้น แต่เมื่อคำนวณค่าความหนาแน่นไฟฟ้าอกรากแล้วพบว่าค่าความหนาแน่นกำลังไฟฟ้าไม่เพิ่มขึ้น ซึ่งอาจเป็นผลจากความไม่สมบูรณ์ของข้าวไฟฟ้าที่นำมาเปลี่ยนหรือการเกิดปฏิกิริยาเคมีภัยในระบบที่ส่งผลกระทบการเกิดกระแสไฟฟ้า

ส่วนในเซลล์เชือเพลิงชีวภาพที่ 2 นั้นพบว่า การทดลองก่อนที่จะมีการเปลี่ยนข้าวแอโนดค่าความหนาแน่นกำลังไฟฟ้ามีค่าลดลงตามระยะเวลาของการเดินระบบ คาดว่าเกิดจากสาเหตุเดียวกันกับเซลล์เชือเพลิงชีวภาพที่ 1 คือ การอุดตันของพื้นที่ผิวของข้าวแอโนดโดยชัลเฟอร์ ทำให้เกิดการเสื่อมสภาพของข้าว การนำไฟฟ้าเกิดได้น้อยลง แต่เมื่อเปลี่ยนข้าวแอโนดในวันที่ 81 ของการทดลองแล้วพบว่า ค่าความหนาแน่นกำลังไฟฟ้ามีค่าสูงขึ้นอย่างชัดเจน และมีค่าสูงที่สุดในการทดลองของเซลล์เชือเพลิงชีวภาพที่ 2 ดังนั้นจึงสามารถสรุปได้ว่า ข้าวแอโนดมีผลโดยตรงกับการเกิดกระแสไฟฟ้าของระบบเซลล์เชือเพลิงชีวภาพ

ค่าความหนาแน่นกำลังไฟฟ้าโดยทั่วไปเป็นการบอกถึงกำลังไฟฟ้าที่ผลิตได้ในระบบต่อพื้นที่ผิวที่เกิดปฏิกิริยา โดยในที่นี้จะคิดต่อพื้นที่ของข้าวแค็โคโตดเนื่องจากมีขนาดเล็กกว่าข้าวแอโนด ซึ่งค่าความหนาแน่นกำลังไฟฟ้าที่คำนวณนี้จะสามารถนำไปเปรียบเทียบกับระบบอื่นที่แตกต่างกันได้ ค่าความหนาแน่นกำลังไฟฟ้าของระบบเซลล์เชือเพลิงชีวภาพนั้นจะถูกจำกัดด้วยค่าความต้านทานภายในระบบและการสูญเสียพลังงานไปกับข้าวไฟฟ้า ซึ่งในเซลล์เชือเพลิงชีวภาพทั้งสองนี้พบว่ามีค่าความหนาแน่นกำลังไฟฟ้าต่ำ เนื่องจากค่าความต้านทานภายในรวมของเซลล์เชือเพลิงชีวภาพนี้มีค่าค่อนข้างสูง ทำให้ยังมีประสิทธิภาพไม่เพียงพอที่จะนำไปใช้เป็นแหล่งพลังงานทดแทน จึงจำเป็นที่จะต้องมีการพัฒนา ปรับปรุง และขยายขนาด (scale-up) ต่อไป

4.2 ผลการทดลองช่วงที่ 2 การศึกษาบทบาทและกลไกการทำงานของจุลินทรีย์ที่แพร่กระจายในระบบและจุลินทรีย์ที่อยู่บนข้าวแอโนด

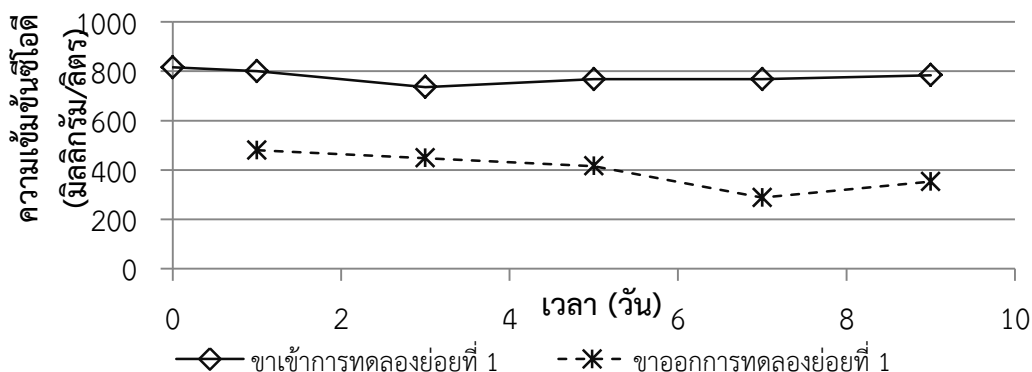
การทดลองในช่วงนี้ได้เลือกเซลล์เชื้อเพลิงชีวภาพที่ 2 เพื่อมาใช้ในการศึกษาบทบาทและกลไกการทำงานของจุลินทรีย์ที่แพร่กระจายในระบบและที่อยู่บนข้าวแอโนด ดำเนินการทดลองในระยะเวลาสั้นประมาณ 10 วัน เพื่อให้ทราบถึงกลไกที่เกิดขึ้นในระบบในช่วงการทดลองที่ 1 ก่อนที่จะเกิดการเปลี่ยนแปลงจากการเจริญเติบโตของจุลินทรีย์ในระบบ โดยแบ่งการทดลองย่อยออกเป็น 3 ชุดการทดลอง เดินระบบอย่างต่อเนื่องที่ระยะเวลา각กันเก็บน้ำเท่ากับ 24 ชั่วโมง และมีอัตราการไหลเท่ากับ 2 ลิตร/วัน ต่อตัวต้านทานไฟฟ้าภายนอกขนาด 1000 Ω รวมถึงเก็บตัวอย่างน้ำแล้ววัดค่าทางไฟฟ้าตลอดการเดินระบบ จากนั้นจึงนำข้าวแอโนดที่ผ่านการทดลองแล้วมาตรวจสอบลักษณะพื้นผิวและรากที่พัฒนาพื้นผิวของข้าวแอโนดโดยใช้เครื่องมือ SEM-EDX

4.2.1 ผลของการทดลองย่อยชุดที่ (1)

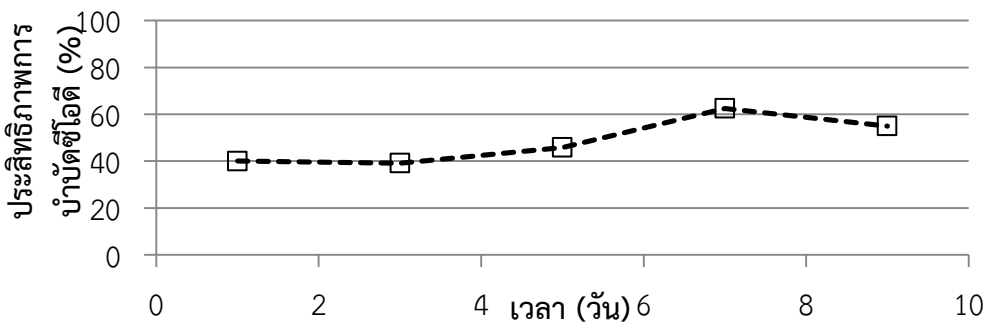
ดำเนินการทดลองโดยใช้น้ำเสียสังเคราะห์ลักษณะเดิม ที่มีค่าซีโอดีขาเข้าประมาณ 800 มิลลิกรัม/ลิตร และมีตะกอนจุลินทรีย์จากการทดลองช่วงที่ 1 แต่เปลี่ยนข้าวแอโนดและแคโทดใหม่ เพื่อศึกษาบทบาทการทำงานของตะกอนจุลินทรีย์ในการบำบัดสารปนเปื้อนและความสามารถในการผลิตกระแสไฟฟ้า ผลการทดลองเป็นดังนี้

- ประสิทธิภาพการบำบัดซีโอดี

ผลการศึกษาประสิทธิภาพของการบำบัดซีโอดีของการทดลองย่อยชุดที่ 1 พบว่า มีค่าความเข้มข้นเฉลี่ยของซีโอดีขาออกอยู่ที่ประมาณ 397 ± 77 มิลลิกรัม/ลิตร โดยสามารถคิดเป็นประสิทธิภาพการบำบัดซีโอดีได้อยู่ที่ประมาณ $48 \pm 10\%$ ความเข้มข้นและประสิทธิภาพการบำบัดซีโอดีในการทดลองย่อยชุดที่ 1 ดังแสดงในภาพที่ 4-18 และ 4-19 ตามลำดับ



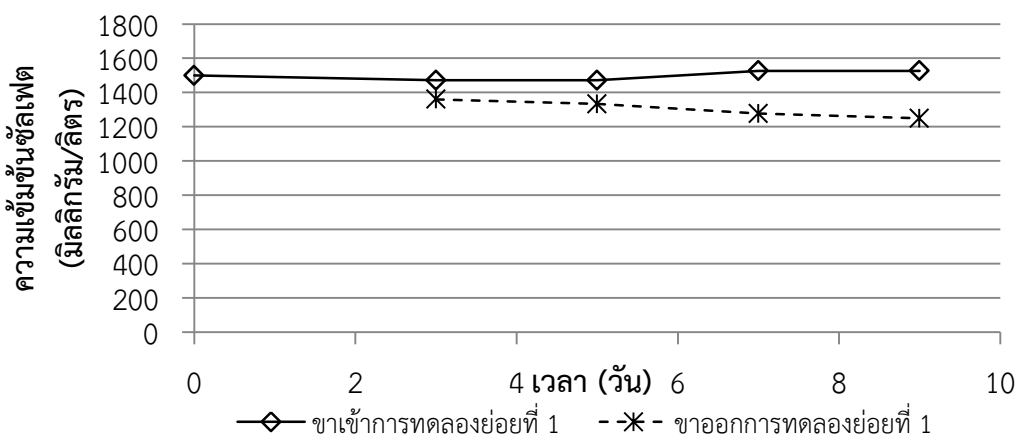
ภาพที่ 4 - 18 ความเข้มข้นของซีโอดีในการทดลองย่อยชุดที่ (1)



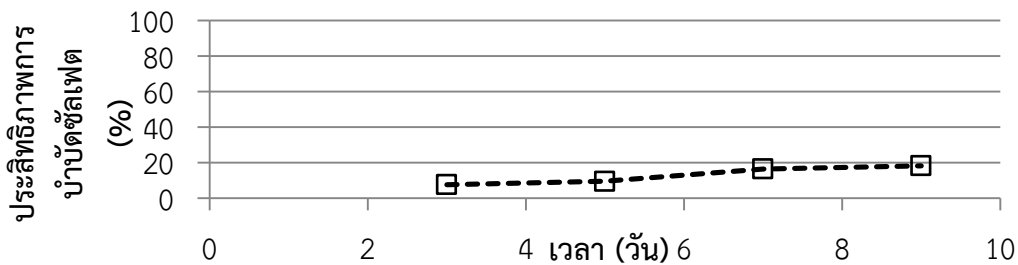
ภาพที่ 4 - 19 ประสิทธิภาพการบำบัดซีโอดีของการทดลองย่อยชุดที่ (1)

- ประสิทธิภาพการบำบัดชัลเฟต

ผลการศึกษาประสิทธิภาพของการบำบัดชัลเฟตของการทดลองย่อยชุดที่ 1 พบว่า มีค่าความเข้มข้นเฉลี่ยของชัลเฟตข้าออกอยู่ที่ประมาณ $1,305 \pm 51$ มิลลิกรัม/ลิตร โดยสามารถเป็นประสิทธิภาพการบำบัดชัลเฟตได้อยู่ที่ประมาณ $13 \pm 5\%$ ความเข้มข้นและประสิทธิภาพการบำบัดชัลเฟตในการทดลองย่อยชุดที่ 1 ดังแสดงในภาพที่ 4-20 และ 4-21 ตามลำดับ



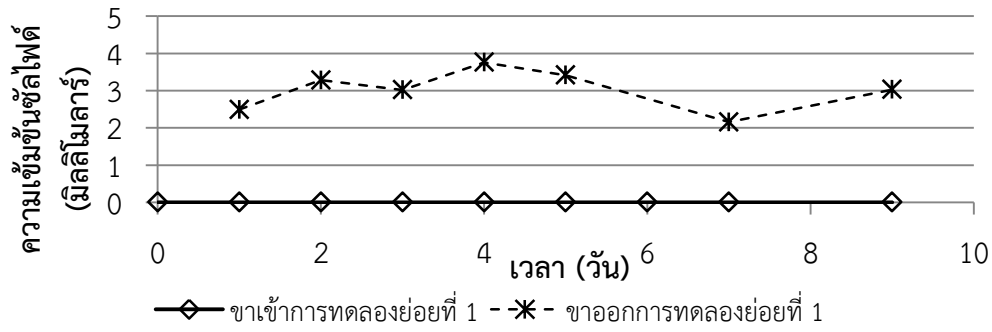
ภาพที่ 4 - 20 ความเข้มข้นของชัลเฟตในการทดลองย่อยชุดที่ (1)



ภาพที่ 4 - 21 ประสิทธิภาพของการบำบัดชัลเฟตของการทดลองย่อยชุดที่ (1)

- ปริมาณที่เกิดขึ้นของชัลไฟฟ์ด์

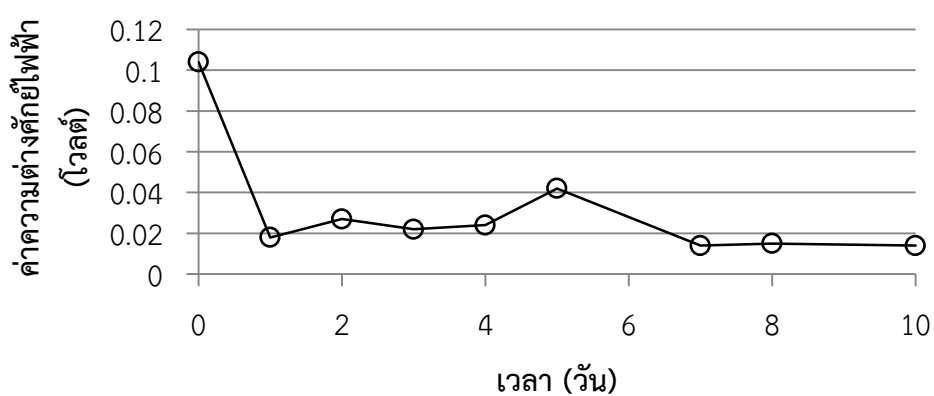
ผลการวิเคราะห์ปริมาณชัลไฟฟ์ด์ที่เกิดขึ้นในการทดลองย่อยชุดที่ 1 พบว่า มีความเข้มข้นของชัลไฟฟ์ด์เฉลี่ยอยู่ที่ 3.02 ± 0.55 มิลลิโมลาร์ (ประมาณ 102 มิลลิกรัม/ลิตร) ดังแสดงในภาพที่ 4-22



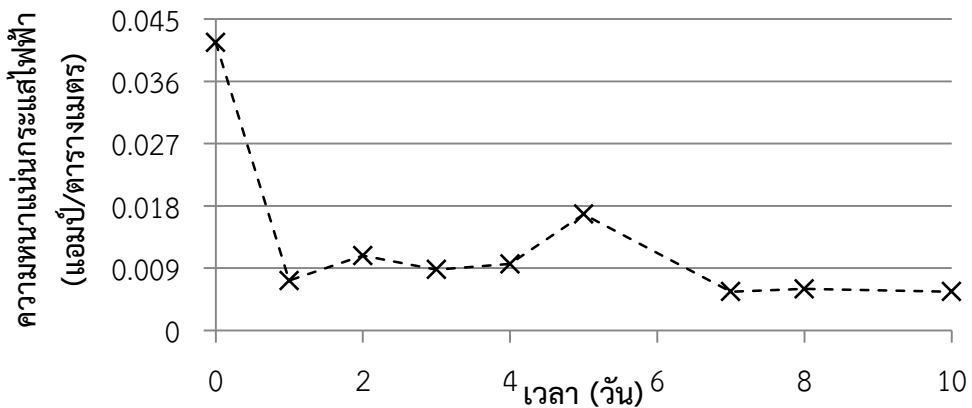
ภาพที่ 4 - 22 ปริมาณของชัลไฟฟ์ด์ที่เกิดขึ้นในการทดลองย่อยชุดที่ (1)

- ค่าความต่างศักย์และความหนาแน่นกระแสไฟฟ้า

จากผลการทดลองพบว่า ค่าความต่างศักย์ไฟฟ้าเมื่อเริ่มเดินระบบมีค่าอยู่ที่ 0.104 โวลต์ หลังจากนั้นค่าความต่างศักย์ไฟฟ้าลดลงอย่างรวดเร็ว มีค่าเฉลี่ยอยู่ที่ 0.022 ± 0.009 โวลต์ ส่วนค่าความหนาแน่นกระแสไฟฟ้าที่มีแนวโน้มไปในทิศทางเดียวกัน เมื่อเริ่มต้นการเดินระบบมีค่าอยู่ที่ 0.0416 แอมป์/ตารางเมตร แต่เมื่อเดินระบบต่อเนื่องแล้ว ค่าความหนาแน่นไฟฟ้าเฉลี่ยอยู่ที่ 0.009 ± 0.004 แอมป์/ตารางเมตร ซึ่งค่าความต่างศักย์และความหนาแน่นกระแสไฟฟ้าที่วัดได้แสดงในภาพที่ 4-23 และ 4-24 ตามลำดับ



ภาพที่ 4 - 23 ค่าความต่างศักย์ไฟฟ้าที่วัดได้จากการทดลองย่อยชุดที่ (1)



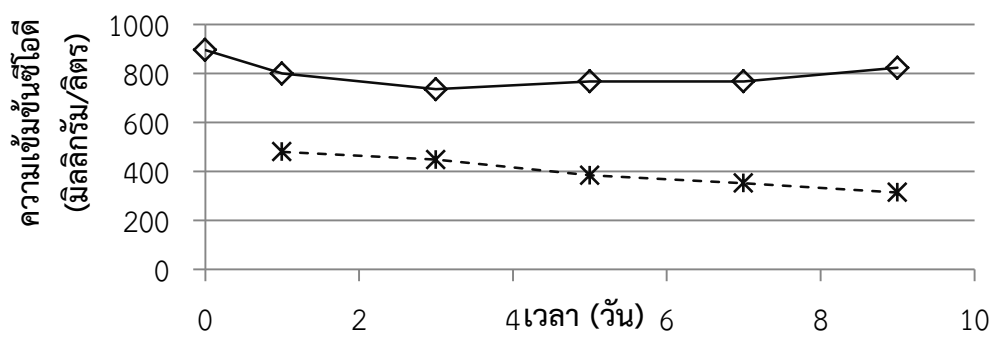
ภาพที่ 4 - 24 ค่าความหนาแน่นกรดอะมิโนเจนในน้ำเสียที่คำนวณได้จากการทดลองย่อยชุดที่ (1)

4.2.2 ผลของการทดลองย่อยชุดที่ (2)

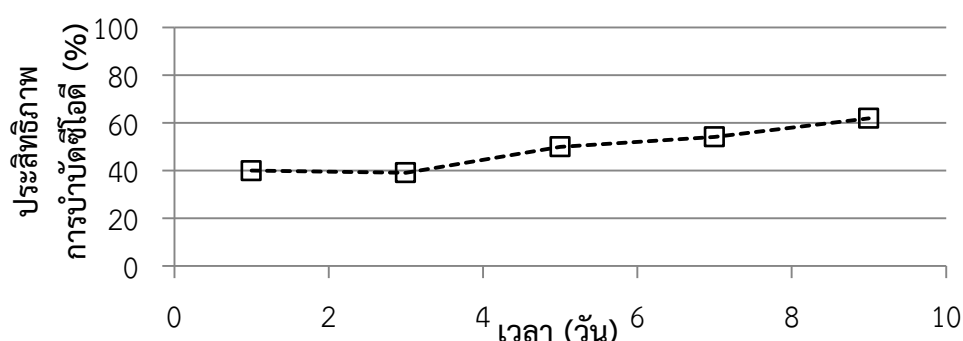
ดำเนินการทดลองโดยปราศจากตัวกอนเขวนลอย ใช้ข้าวแอโอนดและแคโทดเดิมที่ได้จากการทดลองช่วงที่ 1 และเปลี่ยนน้ำเสียสังเคราะห์ใหม่เป็นน้ำเสียสังเคราะห์ซึ่งประกอบด้วยสารอินทรีและซัลไฟฟ์ โดยความเข้มข้นของซีโอดีชาเข้าประมาณ 800 มิลลิกรัม/ลิตร และความเข้มข้นซัลไฟฟ์ประมาณ 136 มิลลิกรัม/ลิตร หรือ 4 มิลลิโมลาร์ ซึ่งมากกว่าค่าเฉลี่ยที่ได้จากการทดลองช่วงที่ 1 เล็กน้อย เพื่อศึกษาบทบาทของจุลินทรีที่อยู่บริเวณข้าวแอโอนดในการออกซิเดช์สารอินทรีและซัลไฟฟ์ รวมถึงความสามารถในการผลิตกรดอะมิโนเจน ผลการทดลองเป็นดังนี้

- ประสิทธิภาพการบำบัดซีโอดี

ผลการศึกษาประสิทธิภาพของการบำบัดซีโอดีของการทดลองย่อยชุดที่ 2 พบว่า มีค่าความเข้มข้นเฉลี่ยของซีโอดีชาออกอยู่ที่ประมาณ 396 ± 68 มิลลิกรัม/ลิตร โดยสามารถคิดเป็นประสิทธิภาพการบำบัดซีโอดีได้อยู่ที่ประมาณ $49 \pm 10\%$ ความเข้มข้นและประสิทธิภาพการบำบัดซีโอดีในการทดลองย่อยชุดที่ 2 ดังแสดงในภาพที่ 4-25 และ 4-26 ตามลำดับ



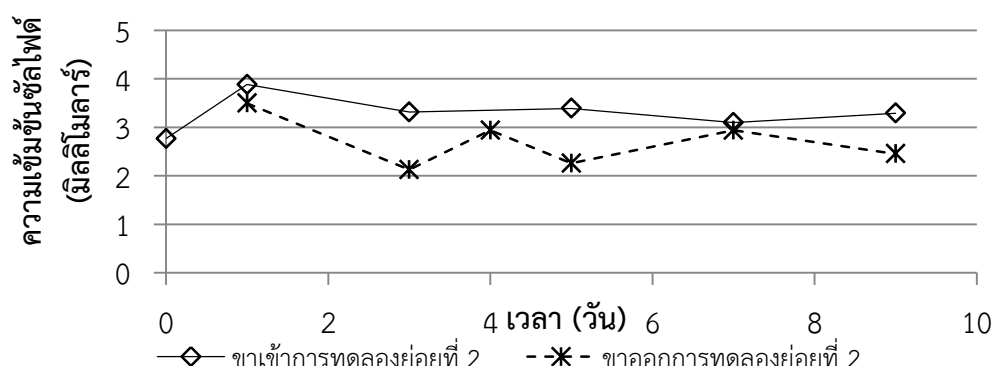
ภาพที่ 4 - 25 ความเข้มข้นของชีโอดีในการทดลองย่อยชุดที่ (2)



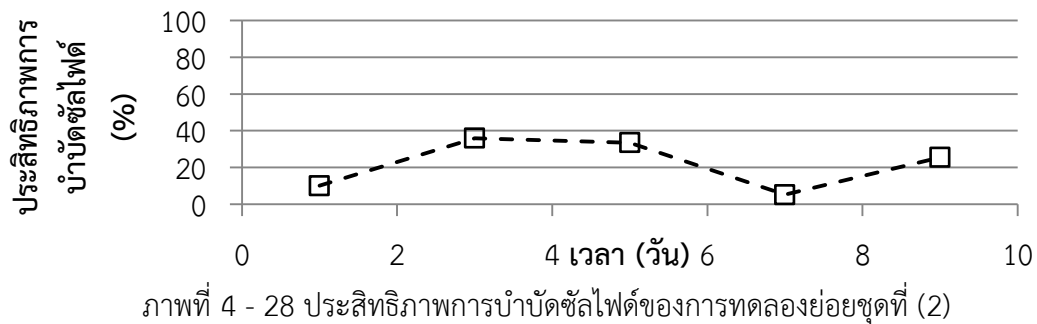
ภาพที่ 4 - 26 ประสิทธิภาพการบำบัดชีโอดีของการทดลองย่อยชุดที่ (2)

- ประสิทธิภาพการบำบัดชัลไฟด์

ผลการศึกษาประสิทธิภาพของการบำบัดชัลไฟด์ของการทดลองย่อยชุดที่ 2 พบว่า มีค่าความเข้มข้นเฉลี่ยของชัลไฟด์ข้าวอกอยู่ที่ประมาณ 2.7 ± 0.52 มิลลิโมลาร์ (ประมาณ 92 มิลลิกรัม/ลิตร) โดยสามารถเป็นประสิทธิภาพการบำบัดชัลไฟด์ได้อยู่ที่ประมาณ $22 \pm 14\%$ ความเข้มข้นและประสิทธิภาพของการบำบัดชัลไฟด์ในการทดลองย่อยชุดที่ 2 ดังแสดงในภาพที่ 4-27 และ 4-28 ตามลำดับ

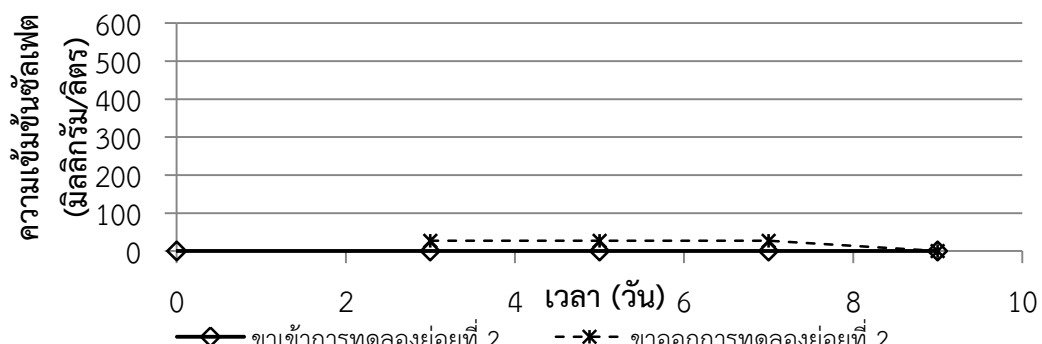


ภาพที่ 4 - 27 ความเข้มข้นของชัลไฟด์ในการทดลองย่อยชุดที่ (2)



- ปริมาณที่เพิ่มขึ้นของชัลเฟต

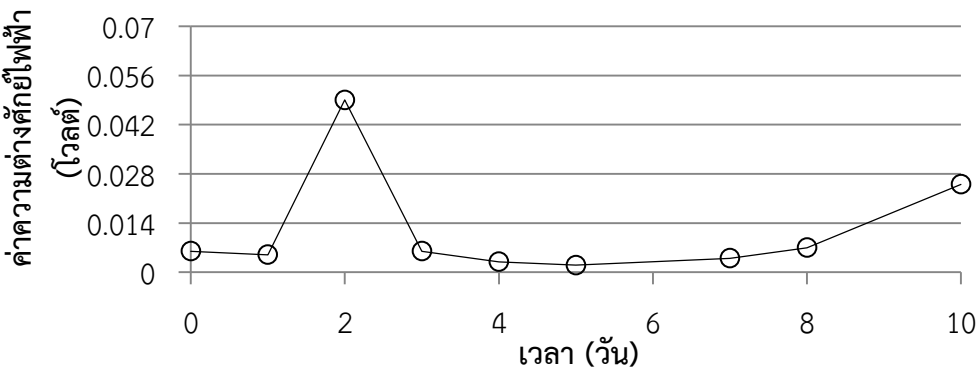
ผลการวิเคราะห์ปริมาณของชัลเฟตที่เพิ่มขึ้นในการทดลองย่อยชุดที่ 2 นี้พบว่า มีปริมาณชัลเฟตเกิดขึ้นในระบบเฉลี่ยประมาณ 20 ± 14 มิลลิกรัม/ลิตร ใน การทดลองช่วงหนึ่งสัปดาห์แรกของ การเดินระบบ จากนั้นไม่พบปริมาณชัลเฟตที่เพิ่มขึ้นในระบบจนสิ้นสุดการทดลอง ซึ่งปริมาณชัลเฟตที่ เพิ่มขึ้นนี้แสดงดังภาพที่ 4-29



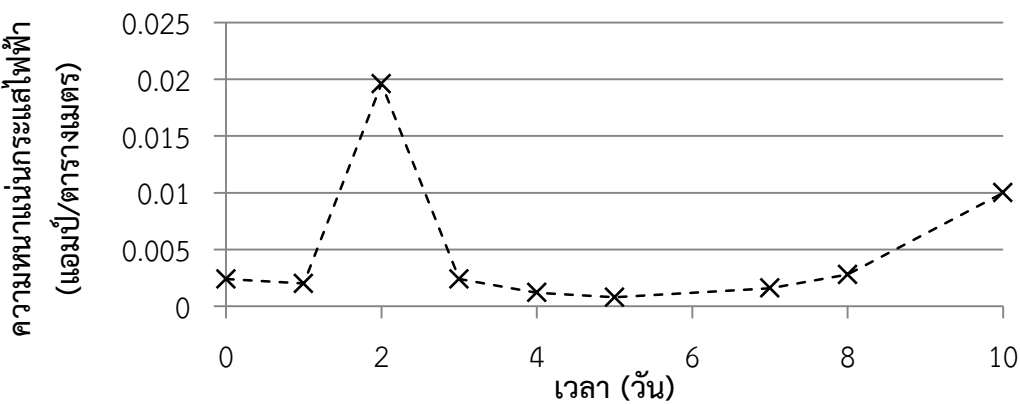
ภาพที่ 4 - 29 ปริมาณที่เพิ่มขึ้นของชัลเฟตในการทดลองย่อยชุดที่ (2)

- ค่าความต่างศักย์และความหนาแน่นกระแสไฟฟ้า

จากการทดลองพบว่า ค่าความต่างศักย์ไฟฟ้าในการทดลองย่อยชุดที่ 2 นี้ มีค่าเฉลี่ยอยู่ที่ 0.0199 ± 0.0155 โวลต์ สามารถคิดเป็นค่าความหนาแน่นกระแสไฟฟ้าที่มีแนวโน้มไปในทิศทางเดียวกัน โดยมีค่าความหนาแน่นไฟฟ้าเฉลี่ยอยู่ที่ 0.0048 ± 0.0062 แอมป์/ตารางเมตร ซึ่งค่าความต่างศักย์และความหนาแน่นกระแสไฟฟ้าที่วัดได้แสดงในภาพที่ 4-30 และ 4-31 ตามลำดับ



ภาพที่ 4 - 30 ค่าความต่างศักย์ไฟฟ้าที่วัดได้ในการทดลองย่อยชุดที่ (2)



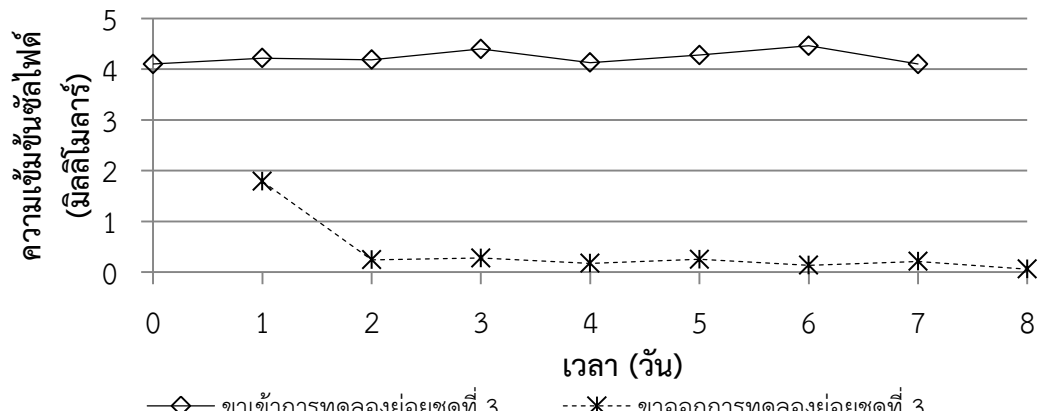
ภาพที่ 4 - 31 ค่าความหนาแน่นของสารแสไฟฟ้าที่คำนวณได้ในการทดลองย่อยชุดที่ (2)

4.2.3 ผลของการทดลองย่อยชุดที่ (3)

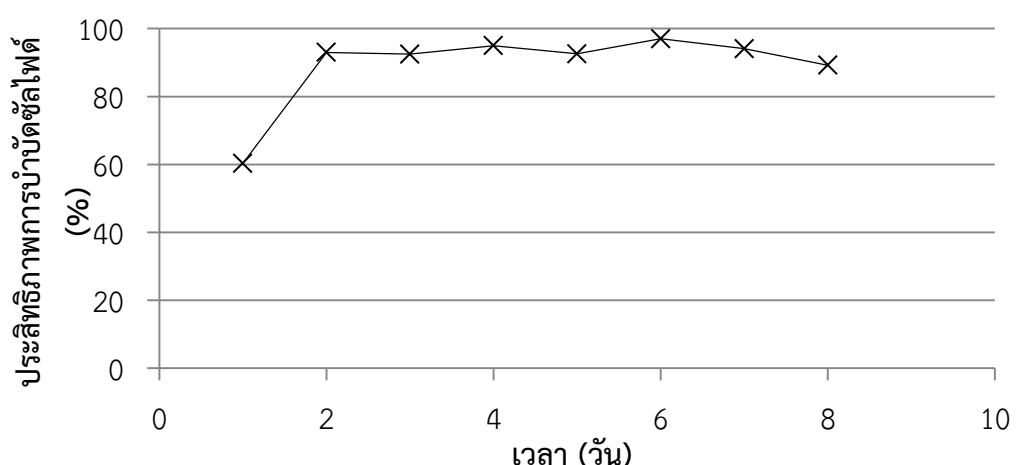
ดำเนินการทดลองโดยใช้น้ำเสียสังเคราะห์ซึ่งประกอบด้วยชัลไฟฟ์เพียงอย่างเดียว (ความเข้มข้นชัลไฟฟ์ประมาณ 4 มิลลิโมลาร์ ซึ่งมากกว่าค่าเฉลี่ยที่ได้จากการทดลองช่วงที่ 1 เล็กน้อย) ปราศจากสารอินทรีย์ รวมถึงเปลี่ยนข้าวแอนโโนดและแคโคโตดใหม่ เพื่อศึกษาผลของข้าวแอนโโนดในการออกซิเดช์สารอินทรีย์และชัลไฟฟ์ รวมถึงความสามารถในการผลิตสารแสไฟฟ้า เปรียบเทียบกับการทดลองย่อยชุดที่ (1) และ (2) ผลการทดลองเป็นดังนี้

- ประสิทธิภาพการบำบัดชัลไฟฟ์

ผลการศึกษาประสิทธิภาพของการบำบัดชัลไฟฟ์ของการทดลองย่อยชุดที่ 3 พบว่า ความเข้มข้นของชัลไฟฟ์ขาออกมีค่าเฉลี่ยอยู่ที่ 0.39 ± 0.57 มิลลิโมลาร์ (ประมาณ 14 มิลลิกรัม/ลิตร) สามารถคิดประสิทธิภาพการบำบัดชัลไฟฟ์ได้ค่าอยู่ที่ประมาณ $90 \pm 14\%$ และค่อนข้างคงที่ตลอดการทดลอง ความเข้มข้นและประสิทธิภาพของการบำบัดชัลไฟฟ์ในการทดลองย่อยชุดที่ 3 ดังแสดงในภาพที่ 4-32 และ 4-33 ตามลำดับ



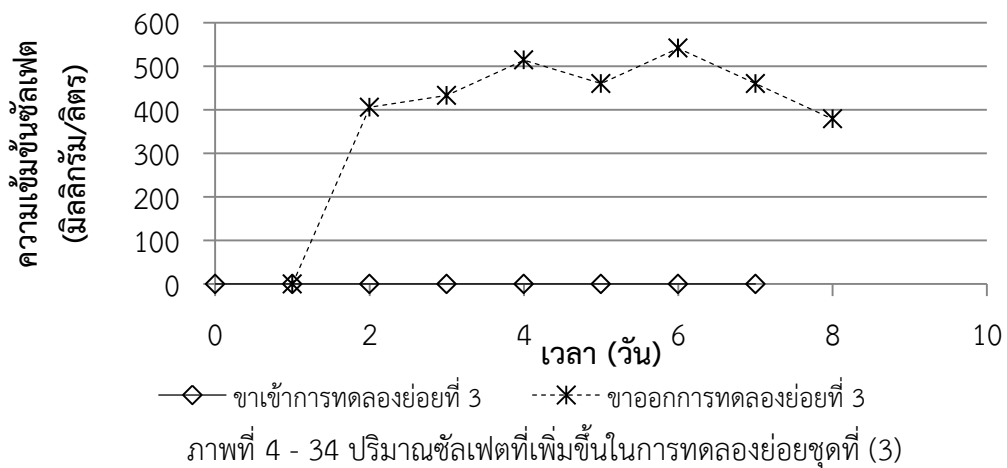
ภาพที่ 4 - 32 ความเข้มข้นของชัลไฟด์ในการทดลองย่อยชุดที่ (3)



ภาพที่ 4 - 33 ประสิทธิภาพการบำบัดชัลไฟด์ของการทดลองย่อยชุดที่ (3)

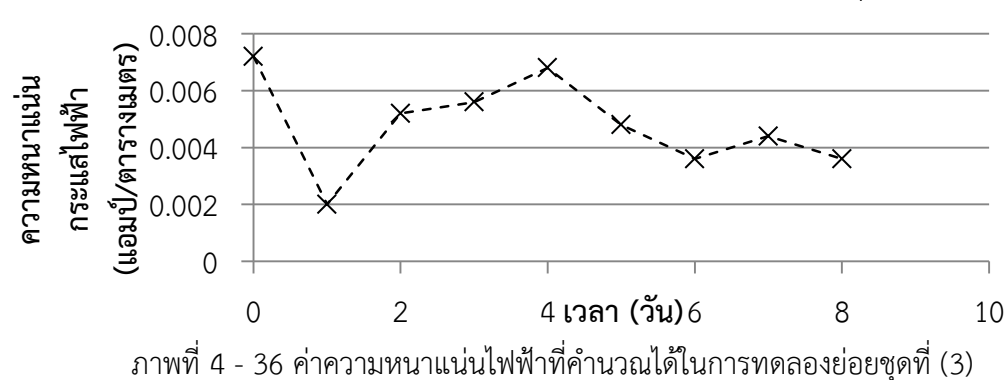
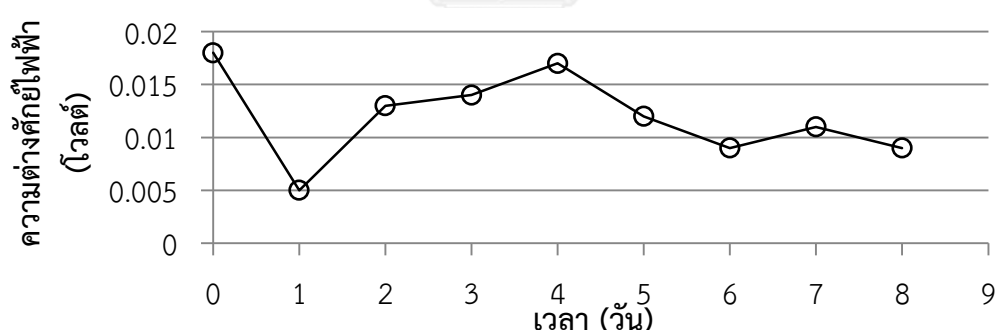
- ปริมาณชัลเฟตที่เกิดขึ้น

ผลการวิเคราะห์ปริมาณชัลเฟตที่เกิดขึ้นของการทดลองย่อยชุดที่ 3 พบว่า ความเข้มข้นของชัลเฟตเพิ่มขึ้นตั้งแต่วันที่ 2 ของการทดลองและค่อนข้างคงที่จนถึงสิ้นสุดการทดลอง ซึ่งมีค่าความเข้มข้นของชัลเฟตเฉลี่ย 399 ± 57.18 มิลลิกรัม/ลิตร ปริมาณชัลเฟตที่เกิดขึ้นนี้แสดงในภาพที่ 4-34 ทั้งนี้การเกิดชัลเฟตจากการออกซิไดซ์ชัลไฟด์ที่ข้าวแอโนดคาดว่าเป็นสาเหตุหนึ่งที่ส่งผลให้ประสิทธิภาพการบำบัดชัลเฟตในการทดลองช่วงที่ 1 มีค่าต่ำ เนื่องจากชัลเฟตที่ถูกรีดิวเวอร์โดยแบคทีเรียรีดิวเวอร์ชัลเฟตเป็นไฮโดรเจนชัลไฟด์แล้วนั้น สามารถถูกออกซิไดซ์กลับมาเป็นชัลเฟตอีกครั้ง ส่งผลให้ประสิทธิภาพการบำบัดชัลเฟตที่ตรวจวัดได้มีค่าต่ำ



- ค่าความต่างศักย์และความหนาแน่นกระแสไฟฟ้า

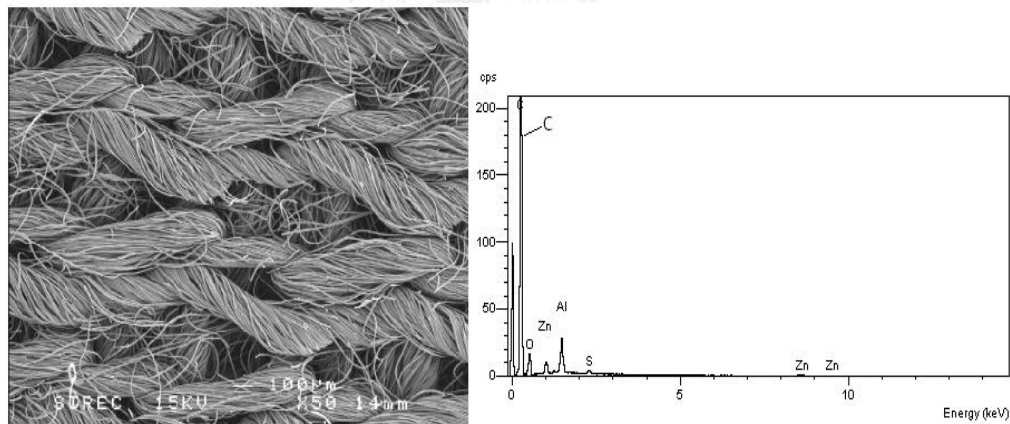
จากผลการทดลองพบว่า เมื่อเดินระบบต่อเนื่องค่าความต่างศักย์ไฟฟ้าในการทดลองย่อยชุดที่ 3 นี้ มีค่าเฉลี่ยอยู่ที่ประมาณ 0.012 ± 0.004 โวลต์ เช่นเดียวกับค่าความหนาแน่นกระแสไฟฟ้าที่มีแนวโน้มไปในทิศทางเดียวกัน มีค่าเฉลี่ยอยู่ที่ 0.0048 ± 0.002 แอมป์/ตารางเมตร ซึ่งค่าความต่างศักย์และความหนาแน่นกระแสไฟฟ้าที่วัดได้แสดงในภาพที่ 4-35 และ 4-36 ตามลำดับ



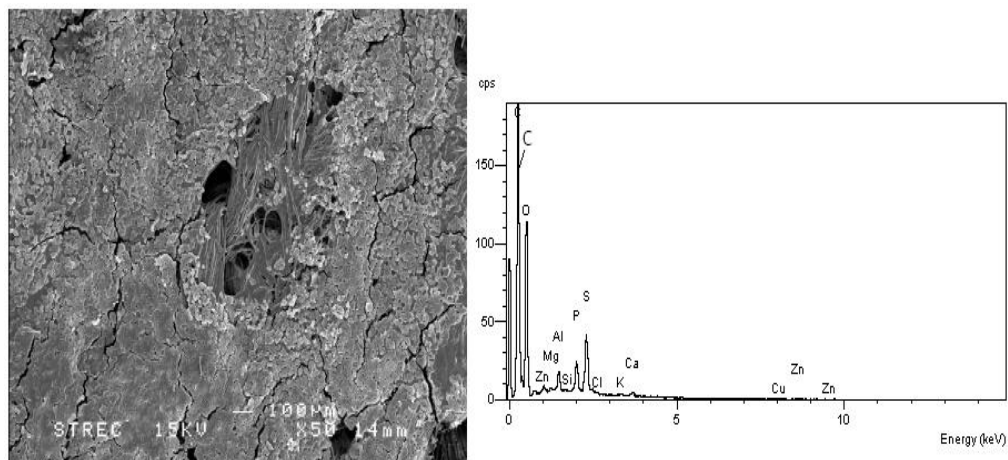
4.2.4 ผลการวิเคราะห์ลักษณะพื้นผิวและชนิดของรัตุที่พับบนพื้นผิวของข้าวแอโนด

วิเคราะห์ผลโดยใช้เครื่องมือ SEM-EDX ซึ่งสามารถถ่ายภาพขยายของพื้นผิวข้าวแอโนดรวมถึงทราบชนิดของรัตุที่พับบนพื้นผิวของข้าวแอโนด ผลการวิเคราะห์พบว่า ข้าวแอโนดของการทดลองอยู่ทั้ง 3 ชุดการทดลองมีคราบที่มีลักษณะเป็นของแข็งเกาะอุดตันที่ผิวน้ำข้าวของข้าวแอโนด และเมื่อวิเคราะห์รัตุที่พับแล้วพบว่า ในการทดลองอยู่อย่างชุดที่ (1) (2) และ (3) นั้น มีปริมาณชัลเฟอร์สูงกว่าในข้าวแอโนดเริ่มต้นทั้งหมด โดยสังเกตได้จากการแสดงผลของรัตุที่ตรวจพบบนพื้นผิวของข้าวแอโนด ผลการวิเคราะห์สามารถแสดงได้ดังภาพที่ 4-37 ถึง 4-40

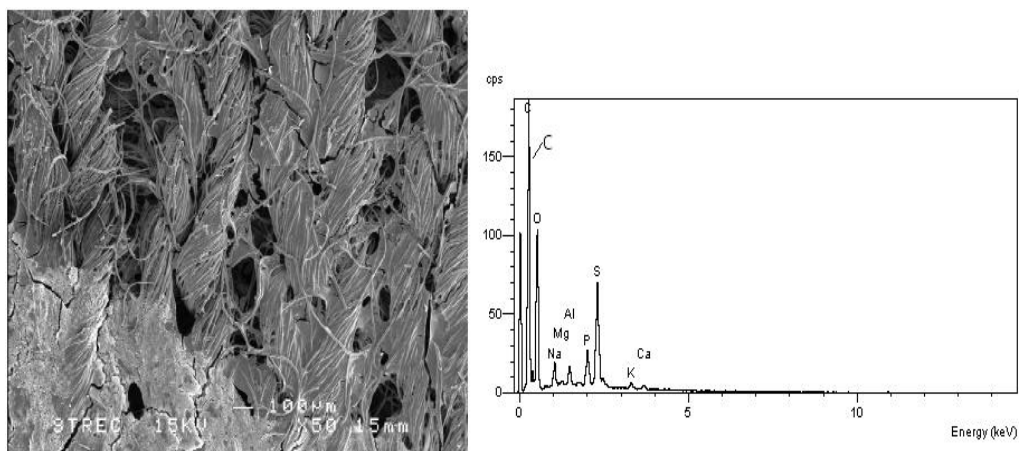
ทั้งนี้การสะสูตัวของชัลเฟอร์บนข้าวแอโนดน่าจะเป็นสาเหตุหลักที่ทำให้ประสิทธิภาพในการผลิตกระแสไฟฟ้าของเซลล์เชื่อเพลิงชีวภาพลดลงเมื่อระยะเวลาผ่านไป ซึ่งสอดคล้องกับผลการทดลองในช่วงที่ 1 ซึ่งพบว่าการเปลี่ยนข้าวแอโนดใหม่สามารถช่วยให้ประสิทธิภาพในการผลิตกระแสไฟฟ้ากลับเพิ่มสูงขึ้นได้ ทั้งนี้ชัลเฟอร์ที่เกาะบนข้าวแอโนดย้อมบดบังพื้นผิวของข้าวแอโนดให้ไม่สามารถเกิดปฏิกิริยาต่าง ๆ และเนื่องจากรัตุชัลเฟอร์ไม่มีคุณสมบัติในการนำไฟฟ้า การสะสูตัวของชัลเฟอร์บนข้าวแอโนดจึงส่งผลให้การนำไฟฟ้าของข้าวแอโนดลดลงอีกด้วย



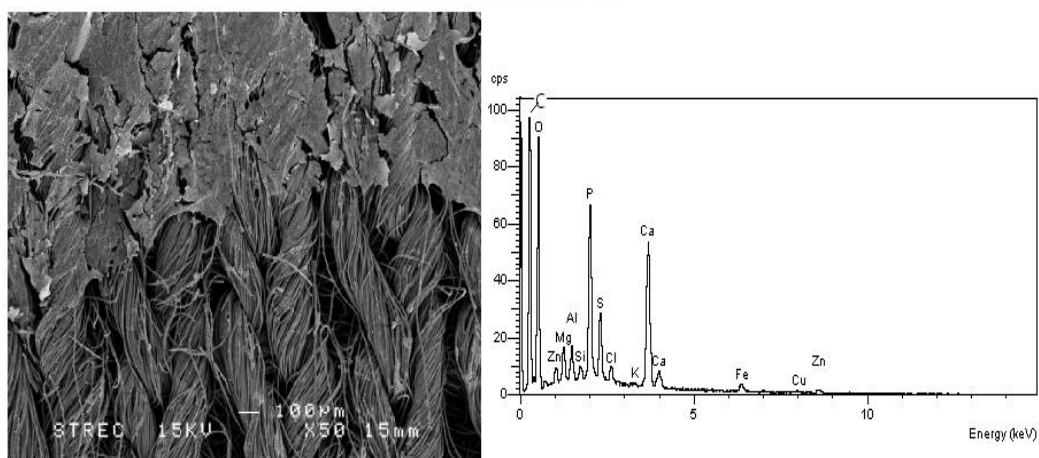
ภาพที่ 4 - 37 ภาพพื้นผิวและรัตุที่พับบนข้าวแอโนดเริ่มต้น



ภาพที่ 4 - 38 ภาพพื้นผิวและรากที่พับบนข้าวเอนดของ การทดลองช่วงที่ 2 ชุดที่ (1)



ภาพที่ 4 - 39 ภาพพื้นผิวและรากที่พับบนข้าวเอนดของ การทดลองช่วงที่ 2 ชุดที่ (2)



ภาพที่ 4 - 40 ภาพพื้นผิวและรากที่พับบนข้าวเอนดของ การทดลองช่วงที่ 2 ชุดที่ (3)

4.2.5 การวิเคราะห์กลไกการทำงานของเซลล์เชือเพลิงชีวภาพในการทดลองช่วงที่ 2

จากผลการทดลองดังข้างต้น สามารถสรุปได้ดังตารางที่ 4-6

ตารางที่ 4 - 6 สรุปผลการทดลองช่วงที่ 2 การศึกษาบทบาทและกลไกการทำงานของจุลินทรีย์ที่แพร่ lanoloy ในระบบและจุลินทรีย์ที่อยู่บนข้าวแอนด์

ผลการทดลอง	การทดลองย่อยชุดที่		
	(1)	(2)	(3)
ความเข้มข้นซีโอดีขาเข้าเฉลี่ย (มิลลิกรัม/ลิตร)	779±28	799±56	-
	397±77	396±68	-
	48±10	49±10	-
ความเข้มข้นชัลเพตขาเข้าเฉลี่ย (มิลลิกรัม/ลิตร)	1,499±28	-	-
	1,305±51	20±14	399±57
	13±5	-	-
ความเข้มข้นชัลไฟด์ขาเข้าเฉลี่ย (มิลลิโนมาร์)	-	3±0.37	4.23±0.14
	3.02±0.55	2.7±0.52	0.39±0.57
	-	22±14	90±14
ค่า open circuit voltage (โวลต์)	0.580	0.205	0.545
	0.022±0.009	0.0199±0.0155	0.012±0.004
	0.009±0.004	0.0048±0.0062	0.0048±0.0062
ค่าความต่างศักย์ไฟฟ้าเฉลี่ย (โวลต์)	-	-	-
	-	-	-
	-	-	-

หมายเหตุ

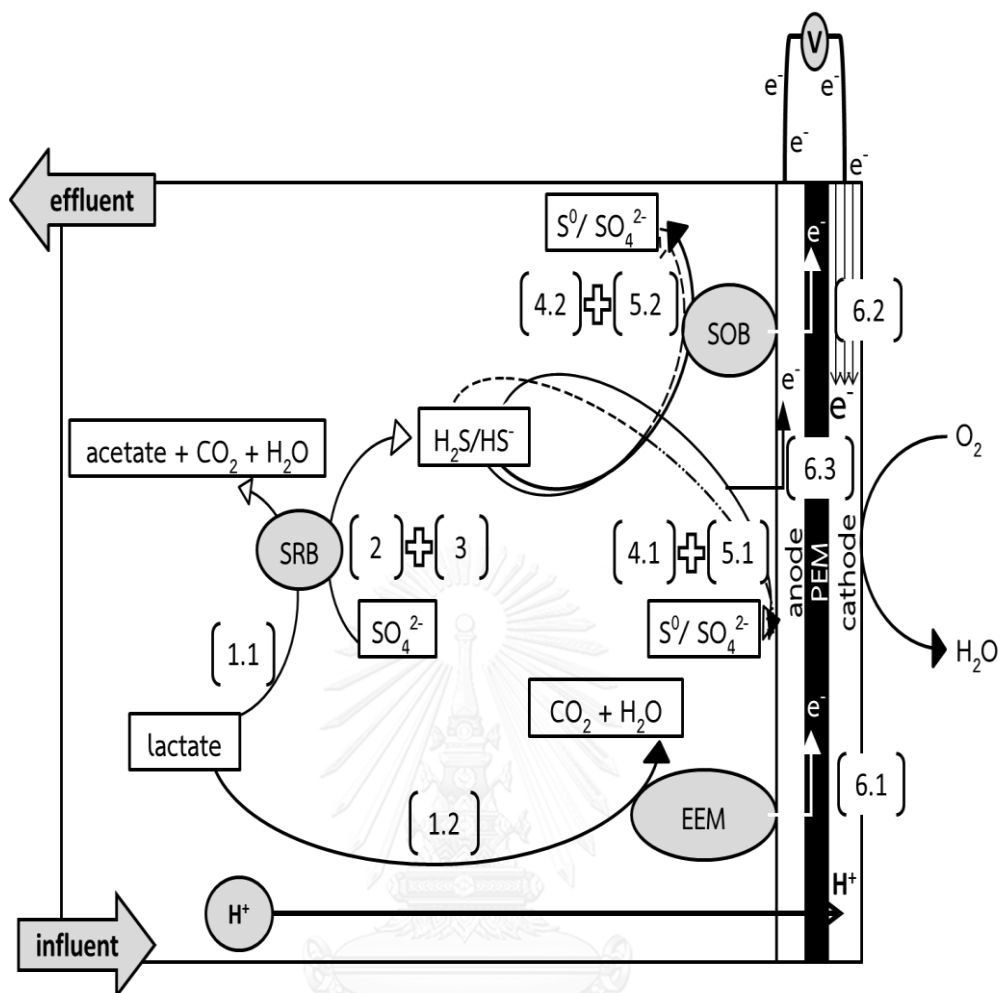
CHULALONGKORN UNIVERSITY

การทดลองย่อยชุดที่ (1) มีตากอนจุลินทรีย์ เปลี่ยนข้าวแอนด์ และ แคโคทด/PEM ใหม่ นำเสียสังเคราะห์ประกอบด้วย แลกเทท และ ชัลไฟด์

การทดลองย่อยชุดที่ (2) ไม่มีตากอนจุลินทรีย์ ใช้ข้าวแอนด์เดิมจากการทดลองช่วงที่ 1 (มิจุลินทรีย์เกษตรติดผิว) เปลี่ยนข้าวแคโคทด/PEM ใหม่ นำเสียสังเคราะห์ประกอบด้วย แลกเทท และ ชัลไฟด์

การทดลองย่อยชุดที่ (3) ไม่มีตากอนจุลินทรีย์ เปลี่ยนข้าวแอนด์ และ แคโคทด/PEM ใหม่ นำเสียสังเคราะห์ประกอบด้วย ชัลไฟด์

จากผลการทดลองช่วงที่ 2 กลไกที่คาดว่าจะเกิดขึ้นภายในเซลล์เชือเพลิงชีวภาพในแต่ละ ปริมาณสามารถอธิบายได้ดังแสดงในรูปที่ 4-41



ภาพที่ 4 - 41 กลไกที่เกิดขึ้นภายในเซลล์เชื้อเพลิงชีวภาพแล้วทำให้เกิดกระแสไฟฟ้าได้หมายเหตุ

หมายเหตุ

CHULALONGKORN UNIVERSITY

SRB คือ Sulfate-reducing bacteria

SOB คือ Sulfur/Sulfide-oxidizing bacteria

EEM คือ Exoelectrogenic microorganisms

กลไกที่ [1] การบำบัดซีโอดี (COD removal) เกิดจากจุลินทรีย์ใช้สารอินทรีย์เป็นตัวให้อิเล็กตรอนในระบบเซลล์เชื้อเพลิงชีวภาพ โดย

[1.1] ตะคอนจุลินทรีย์ที่แวนลอย

[1.2] กลุ่มจุลินทรีย์ EEM ที่เกาะบริเวณผิวของข้าวแองโนดเป็น biofilm

กลไกที่ [2] การบำบัดซัลเฟต (Sulfate removal) โดย SRB ซึ่งใช้ซัลเฟตเป็นตัวรับอิเล็กตรอนในระบบเซลล์เชื้อเพลิงชีวภาพ

กลไกที่ [3] การผลิตซัลไฟด์ (Sulfide production) โดยกลไกการบำบัดซัลเฟต

กลไกที่ [4] การบำบัดซัลไฟด์ (Sulfide removal) เกิดจากซัลไฟด์ในระบบเซลล์เชื้อเพลิงชีวภาพถูกออกซิไดไซไฮเดรตเป็นซัลเฟอร์หรือซัลเฟต อาจเกิดได้จากการกระบวนการ

[4.1] abiotic H_2S oxidation

[4.2] ออกซิเดชันโดย SOB ที่เกาะติดเป็น biofilm บริเวณผิวของข้าวแองโนด

กลไกที่ [5] การผลิตซัลเฟต/ซัลเฟอร์ (Sulfate/Sulfur production) เกิดจากกลไกการบำบัดซัลไฟด์ อาจเกิดได้จากการกระบวนการ

[5.1] abiotic H_2S oxidation

[5.2] ออกซิเดชันโดย SOB ที่เกาะติดเป็น biofilm บริเวณผิวของข้าวแองโนด

กลไกที่ [6] การเกิดไฟฟ้า (Electricity generation) เกิดจากการถ่ายเทอิเล็กตรอนที่เกิดขึ้นในระบบเซลล์เชื้อเพลิงชีวภาพจากข้าวแองโนดไปยังข้าวแคโทด อาจเกิดได้จากการกระบวนการ

[6.1] การเกิดไฟฟ้าโดย EEM

[6.2] การเกิดไฟฟ้าโดย SOB

[6.3] การเกิดไฟฟ้าโดย abiotic H_2S oxidation

ในการทดลองย่อยแต่ละชุดสามารถแสดงกลไกที่เกิดขึ้นภายในรูปเป็นตารางได้ดังแสดงในตารางที่ 4-7

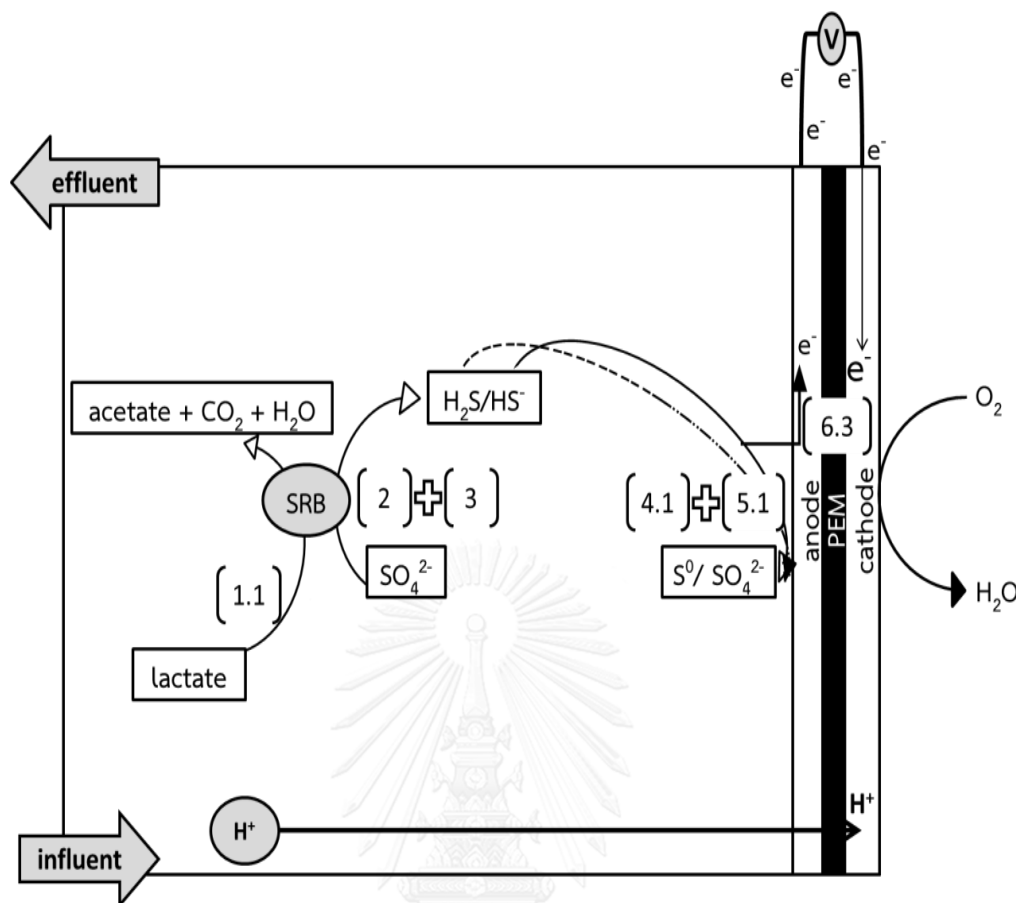
ตารางที่ 4 - 7 สรุปกลไกที่เกิดขึ้นในการทดลองช่วงที่ 2

กลไกที่เกิดขึ้น	การทดลองช่วงที่ 2 ชุดที่		
	(1)	(2)	(3)
[1] การบำบัดซีอิจ			✗
[1.1] โดยตากอนจุลินทรีย์ที่แขวนลอย	✓		
[1.2] โดยจุลินทรีย์ที่เกาะติดบริเวณผิวของข้าวแอลونด		✓	
[2] การบำบัดชัลเฟต โดย SRB	✓	✗	✗
[3] การผลิตชัลไฟฟ์	✓	✗	✗
[4] การบำบัดชัลไฟฟ์	✗		
[4.1] โดย abiotic H ₂ S oxidation		✓	✓
[4.2] โดย SOB ที่เกาะติดเป็น biofilm บริเวณผิวของข้าวแอลอนด		✓	
[5] การผลิตชัลเฟอร์/ชัลเฟต	✗		
[5.1] โดย abiotic H ₂ S oxidation		✓	✓
[5.2] โดย SOB ที่เกาะติดเป็น biofilm บริเวณผิวของข้าวแอลอนด		✓	
ผลิตภัณฑ์จากการผลิตชัลเฟอร์/ชัลเฟต		S ⁰ ↑↑ / SO ₄ ²⁻ ↑	SO ₄ ²⁻ ↑↑ / S ⁰ ↑
[6] การเกิดไฟฟ้า			
[6.1] โดย EEM		✓	
[6.2] โดย SOB		✓	
[6.3] โดย abiotic H ₂ S oxidation	✓	✓	✓

หมายเหตุ ✓ คือ พบรูปได้ในการทดลองย่อยชุดนั้นๆ

✗ คือ ไม่พบในการทดลองย่อยนั้นๆ

จากตารางสรุปกลไกที่เกิดขึ้นสามารถอธิบายได้ดังนี้



ภาพที่ 4 - 42 กลไกที่คาดว่าจะเกิดขึ้นในการทดลองย่อยชุดที่ (1)

จากการที่ 4-42 การทดลองย่อยชุดที่ (1) ซึ่งมีตะกอนจุลินทรีย์เดิม เปลี่ยนข้าวแอกโนดและแคโพด/PEM ใหม่ นำเสียสังเคราะห์ประกอบด้วยแลกเตทและซัลเฟต กลไกที่คาดว่าจะเกิดขึ้นภายในได้แก่

CHULALONGKORN UNIVERSITY

[1.1] การบำบัดซีอิດโดยตะกอนจุลินทรีย์แขวนลอย

[2] การบำบัดซัลเฟตโดย SRB

[3] การผลิตซัลไฟด์

[4.1] การบำบัดซัลไฟด์โดย abiotic H_2S oxidation

[5.1] การผลิตซัลเฟอร์/ซัลเฟตโดย abiotic H_2S oxidation

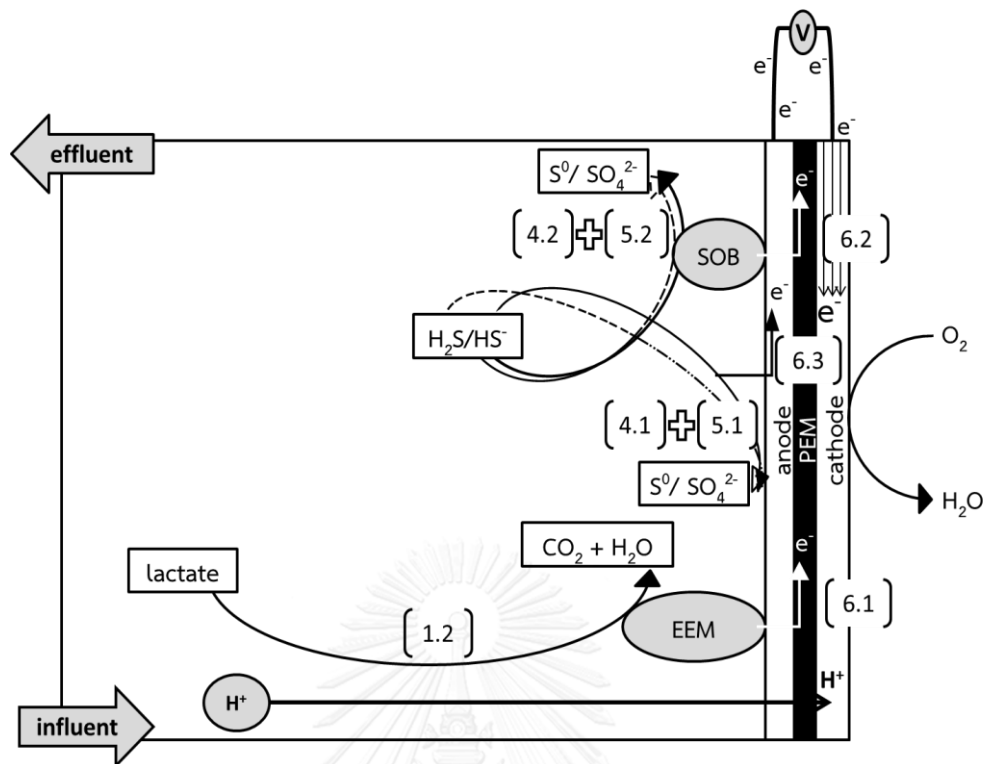
[6.3] การเกิดไฟฟ้าโดย abiotic H_2S oxidation

การทดลองย่อยชุดนี้ต้องการศึกษาบทบาทการทำงานของตะกอนจุลินทรีย์แหวนลอยในระบบ เพื่อดูความสามารถในการบำบัดสารปนเปื้อน และความสามารถในการผลิตสารแสไฟฟ้า โดยสามารถอธิบายกลไกที่เกิดขึ้นซึ่งสอดคล้องกับผลการทดลองได้ดังนี้

เริ่มจากแยกเตหและชัลเพตในน้ำเสียสังเคราะห์สามารถถูกบำบัดด้วยตะกอนจุลินทรีย์ แหวนลอยในระบบโดยกระบวนการชัลเพตหรือตักชัน ซึ่งแยกเตหและชัลเพตที่อยู่ในน้ำเสียสังเคราะห์ถูกใช้เป็นตัวให้อิเล็กตรอนและตัวรับอิเล็กตรอนตามลำดับ (กลไกที่ [1.1] และ [2]) และผลิตชัลไฟฟ์ด้ขึ้นในระบบ (กลไก [3])

เนื่องจากการทดลองย่อยชุดนี้ได้ทำการเปลี่ยนข้าวแอโนดใหม่ จึงคาดว่าไม่มีจุลินทรีย์เกาะติดเป็น biofilm ที่บริเวณพื้นผิวของข้าวแอโนด ดังนั้นกลไกที่เกิดขึ้นบริเวณข้าวแอโนดจึงคาดว่าจะเป็นแบบ abiotic ที่เกิดขึ้นบริเวณพื้นผิวของข้าวแอโนดได้โดยตรงเป็นหลัก ชัลไฟฟ์ที่เกิดขึ้นจากกระบวนการ ชัลเพตหรือตักชันจะถูกออกซิเดช์โดยกระบวนการออกซิเดช์ชัลไฟฟ์แบบ abiotic ที่สามารถเกิดขึ้นได้เองที่บริเวณข้าวแอโนด (กลไก [4.1]) โดยไม่ต้องอาศัย biofilm บนข้าวแอโนด ส่งผลให้เกิดเป็นชัลเพอร์กageที่บริเวณพื้นผิวของข้าวแอโนด นอกจากนี้ชัลไฟฟ์บางส่วนอาจถูกออกซิเดช์เป็นชัลเพตย้อนกลับมา (กลไก [5.1]) ซึ่งลักษณะดังกล่าวสามารถพบได้ในการทดลองย่อยชุดที่ 3 ซึ่งใช้ข้าวแอโนดใหม่ซึ่งปราศจาก biofilm เช่นเดียวกันและพบชัลเพตเกิดขึ้นในระบบจากการกระบวนการออกซิเดช์ชัลไฟฟ์ที่ข้าวแอโนด ซึ่งกระบวนการดังกล่าวอาจเป็นสาเหตุที่ทำให้ประสิทธิภาพในการบำบัดชัลเพตที่พับในระบบเซลล์เชือเพลิงชีวภาพในการศึกษานี้มีค่าต่ำ ทั้งในการทดลองช่วงที่ 2 การทดลองย่อยชุดที่ 1 (ประสิทธิภาพการบำบัดชัลเพต 22%) และในการทดลองช่วงที่ 1 (ประสิทธิภาพการบำบัดชัลเพต $21 \pm 9\%$ และ $18 \pm 9\%$ สำหรับเซลล์เชือเพลิงชีวภาพที่ 1 และ 2 ตามลำดับ) ทั้งนี้เนื่องจากชัลไฟฟ์นั้นสามารถถูกออกซิเดช์ที่ข้าวแอโนดกลับมาเป็นชัลเพตได้อีกรัง ซึ่งไม่สามารถแยกแยะได้ว่าชัลเพตในระบบนั้นไม่ได้รับการบำบัดหรือถูกบำบัดเป็นชัลไฟฟ์แล้วแต่ถูกออกซิเดช์กลับมาเป็นชัลเพตอีก

ในแง่ของการกลไกการเกิดกระแสไฟฟ้า ชัลไฟฟ์ที่เกิดขึ้นในระบบสามารถถูกออกซิเดช์ที่บริเวณพื้นผิวของข้าวแอโนดโดยตรงด้วยกลไกการเกิดไฟฟ้าแบบ abiotic (กลไก [6.3]) เกิดการถ่ายเทอิเล็กตรอนไปยังข้าวแอโนด ส่งผลให้เกิดความต่างศักย์ไฟฟ้าและกระแสไฟฟ้าขึ้นในระบบ โดยอิเล็กตรอนจะเคลื่อนที่จากข้าวแอโนดผ่านลวดไฟเทเนียมและตัวต้านทานภายนอกไปยังข้าวแค็โทด จากนั้นอิเล็กตรอนที่เคลื่อนที่มายังข้าวแค็โทดจะมีออกซิเจนเป็นตัวรับอิเลคตรอนและเกิดผลิตภัณฑ์เป็นน้ำ



ภาพที่ 4 - 43 กลไกที่คาดว่าจะเกิดขึ้นในการทดลองย่อยชุดที่ (2)

จากภาพที่ 4-41 การทดลองย่อยชุดที่ (2) ไม่มีตากอนจุลินทรีย์ ใช้ข้าวแอโโนดเดิมจากการทดลองช่วงที่ 1 (มีจุลินทรีย์ภาวะติดผิวเป็น biofilm) เปลี่ยนข้าวแครໂಟ/PEM ใหม่ น้ำเสียสังเคราะห์ประกอบด้วยแลกเตทและซัลไฟด์ กลไกที่คาดว่าจะเกิดขึ้นภายใน ได้แก่

- [1.2] การบำบัดซีโอดีโดยจุลินทรีย์ EEM ที่ภาวะติดบริเวณผิวของข้าวแอโโนดเป็น biofilm
- [4.1] การบำบัดซัลไฟด์แบบ abiotic H₂S oxidation
- [4.2] การบำบัดซัลไฟด์โดย SOB ที่ภาวะเป็น biofilm บริเวณผิวของข้าวแอโโนด
- [5.1] การผลิตซัลเฟอร์/ซัลเฟตแบบ abiotic H₂S oxidation
- [5.2] การผลิตซัลเฟอร์/ซัลเฟตโดย SOB ที่ภาวะเป็น biofilm บริเวณผิวของข้าวแอโโนด
- [6.1] การเกิดไฟฟ้าโดย EEM
- [6.2] การเกิดไฟฟ้าโดย SOB
- [6.3] การเกิดไฟฟ้าโดย abiotic H₂S oxidation

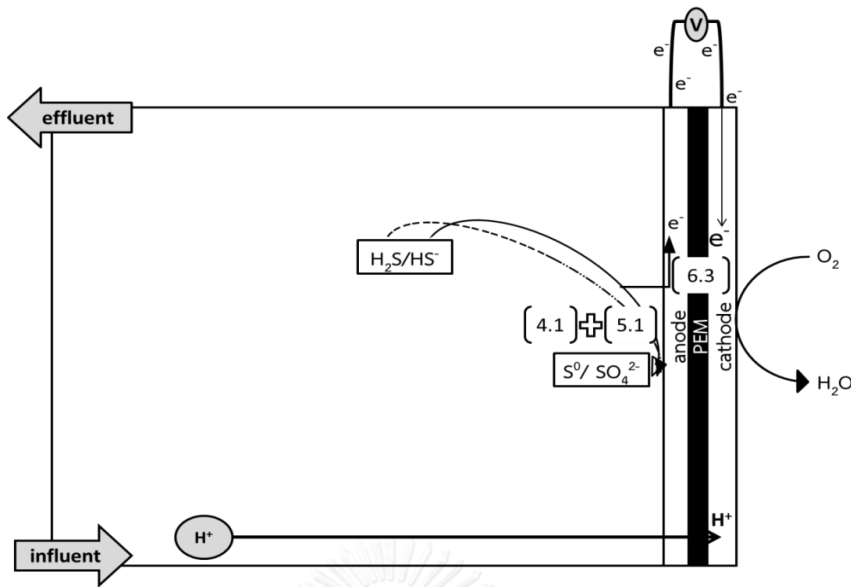
การทดลองย่อยชุดนี้ต้องการศึกษาบทบาทของจุลินทรีย์ที่อยู่บริเวณข้าวแอโโนด เพื่อดูบทบาทของข้าวแอโนดที่มีจุลินทรีย์ภาวะติดบนพื้นผิวในเรื่องความสามารถในการออกซิไดซ์สารอินทรีย์และซัลไฟด์ รวมถึงความสามารถในการผลิตกระแสไฟฟ้าของข้าวแอโนดที่มีจุลินทรีย์ภาวะติดบนพื้นผิว ซึ่งในการทดลองย่อยนี้ใช้ข้าวแอโนดเดิมที่ได้จากการทดลองช่วงที่ 1 ซึ่งมีการเดินระบบต่อเนื่องเป็นระยะเวลาหนึ่ง จึงมี biofilm ที่พื้นผิว จากการทดลองสามารถอธิบายกลไกที่คาดว่าจะเกิดขึ้นในการทดลองย่อยชุดที่ (2) ได้ดังนี้

เริ่มจากแลกเทที่ในน้ำเสียสังเคราะห์สามารถถูกจุลินทรีย์กลุ่ม EEM ที่เกาะติดเป็น biofilm บริเวณพื้นผิวของข้าวแอลูมิโนดออกซิไดซ์โดยใช้เป็นตัวให้อิเล็กตรอน (กลไก [1.2]) อย่างไรก็ตามเมื่อพิจารณาเปรียบเทียบกับประสิทธิภาพในการกำจัดสารอินทรีย์ในการทดลองย่อยชุดที่ 1 ซึ่งมีเพียงตากอนจุลินทรีย์แต่ไม่มี biofilm (ประสิทธิภาพการกำจัดซีโอดี $48\pm10\%$) และการทดลองย่อยชุดที่ 2 ซึ่งมีแต่ biofilm แต่ไม่มีตากอนจุลินทรีย์ (ประสิทธิภาพการกำจัดซีโอดี $49\pm10\%$) กลับพบว่ามีค่าใกล้เคียงกัน แสดงให้เห็นว่ามีความเป็นไปได้ที่กลไกการกำจัดสารอินทรีย์ในเซลล์เชื้อเพลิงชีวภาพที่ศักษาในงานวิจัยนี้จะเกิดขึ้นได้จากทั้ง 2 กลไก คือการออกซิไดซ์สารอินทรีย์โดยแบคทีเรียดิวชัลเฟตในตากอนจุลินทรีย์ (การทดลองย่อยชุดที่ 1) และจุลินทรีย์กลุ่ม EEM (การทดลองย่อยชุดที่ 2) อย่างไรก็ตาม อาจเกิดการแข่งขันระหว่างกลไกทั้งสองภายในระบบ ผลจากการทดแทนกันล่าวยังไม่สามารถนำมารวมกันได้โดยตรงในเชิงปริมาณ ดังจะเห็นได้จากประสิทธิภาพการกำจัดสารอินทรีย์ในการทดลองช่วงที่ 1 ($51\pm9.88\%$ และ $57\pm10.09\%$ สำหรับเซลล์เชื้อเพลิงชีวภาพที่ 1 และ 2 ตามลำดับ) ซึ่งประกอบไปด้วยทั้งตากอนจุลินทรีย์และจุลินทรีย์บนข้าวแอลูมิโนดนั้น มีค่าสูงกว่าในการทดลองช่วงที่ 2 ใน การทดลองย่อยชุดที่ 1 และ ชุดที่ 2 เพียงเล็กน้อยเท่านั้น

ส่วนชัลไฟฟ์ที่เติมลงไปในน้ำเสียสังเคราะห์นั้นก็สามารถเข้าสู่กระบวนการบำบัดชัลไฟฟ์ด้วยกลไกที่เกิดขึ้นทั้งแบบ abiotic ที่สามารถเกิดขึ้นได้เองที่บริเวณพื้นผิวของข้าวแอลูมิโนด (กลไก [4.1]) และโดยจุลินทรีย์กลุ่ม SOB (sulfur-oxidizing bacteria) ที่เกาะติดเป็น biofilm บริเวณพื้นผิวของข้าวแอลูมิโนด (กลไก [4.2]) ในการทดลองย่อยชุดที่ 2 นี้ เกิดผลิตภัณฑ์จากการบำบัดชัลไฟฟ์ซึ่งอาจเกิดได้ทั้งแบบ abiotic ที่บริเวณพื้นผิวของข้าวแอลูมิโนดโดยตรง (กลไก [5.1]) หรือโดยจุลินทรีย์ที่เกาะติดเป็น biofilm บริเวณพื้นผิวของข้าวแอลูมิโนด (กลไก [5.2]) เป็นชัลเฟอร์ເກາະที่บริเวณพื้นผิวของข้าวแอลูมิโนด และมีชัลเฟตเกิดขึ้นในระบบเดือนน้อยประมาณ 20 ± 14 มิลลิกรัม/ลิตร

ทั้งนี้ในการทดลองย่อยชุดที่ 2 นี้ ได้ป้อนน้ำเสียสังเคราะห์ที่ประกอบด้วยสารอินทรีย์และชัลไฟฟ์เข้าสู่ระบบ ซึ่งก่อให้เกิดการแข่งขันระหว่างการออกซิไดซ์สารอินทรีย์และชัลไฟฟ์ที่ข้าวแอลูมิโนด โดยจุลินทรีย์กลุ่ม EEM และ SOB ตามลำดับ อีกทั้งยังอาจมีกระบวนการออกซิไดซ์ชัลไฟฟ์แบบ abiotic ร่วมอีกด้วย

ในแห่งของกลไกการเกิดกระแสไฟฟ้าในการทดลองย่อยชุดที่ 2 นี้ คาดว่าจุลินทรีย์กลุ่มที่เกาะติดเป็น biofilm อยู่ที่บริเวณพื้นผิวของข้าวแอลูมิโนดนั้นมีบทบาทสำคัญในการเกิดกระแสไฟฟ้าผ่านทาง 3 กลไก ได้แก่ คือ 1) กลไกการเกิดกระแสไฟฟ้าโดยจุลินทรีย์กลุ่ม EEM ที่บริเวณพื้นผิวของข้าวแอลูมิโนด (กลไก [6.1]) 2) กลไกการเกิดกระแสไฟฟ้าโดยจุลินทรีย์กลุ่ม SOB ที่บริเวณพื้นผิวของข้าวแலูมิโนด (กลไก [6.2]) และกลไกที่ 3) การเกิดกระแสไฟฟ้าจากการออกซิไดซ์ชัลไฟฟ์บริเวณพื้นผิวของข้าวแலูมิโนดโดยตรงแบบ abiotic (กลไก [6.3]) ซึ่งกลไกทั้ง 3 นั้นสามารถก่อให้เกิดการถ่ายทอดอิเล็กตรอนไปยังข้าวแலูมิโนด และความต่างศักย์ไฟฟ้าที่เกิดทำให้อิเล็กตรอนมีการถ่ายทอดในระบบ อย่างไรก็ตามจากการทดลองนี้ ไม่สามารถระบุความสำคัญและปริมาณกระแสไฟฟ้าที่เกิดขึ้นจากแต่ละกลไกได้



ภาพที่ 4 - 44 กลไกที่เกิดขึ้นในการทดลองย่อยชุดที่ (3)

จากการที่ 4-44 การทดลองย่อยชุดที่ (3) ไม่มีตะกอนจุลินทรีย์แขวนลอย เปลี้ยนข้าวแอโนดและแอดโหนด/PEM ใหม่ น้ำเสียสังเคราะห์ประกอบด้วยซัลไฟด์โดยปราศจากแอกเตท ซึ่งกลไกที่คาดว่าจะเกิดขึ้นในการทดลองย่อยชุดนี้ ได้แก่

- [4.1] การบำบัดซัลไฟด์แบบ abiotic ที่บริเวณข้าวแอโนด
- [5.1] การผลิตซัลเฟอร์/ซัลเฟตแบบ abiotic
- [6.3] การเกิดไฟฟ้าโดย abiotic H₂S oxidation

การทดลองย่อยชุดนี้ต้องการศึกษาความสามารถในการบำบัดซัลไฟด์และการผลิตกระแสไฟฟ้าผ่านกลไกทาง abiotic ซึ่งได้ทำการทดลองโดยใช้ข้าวแอโนดใหม่ซึ่งไม่มีจุลินทรีย์เกิดเป็น biofilm และไม่มีตะกอนจุลินทรีย์ในระบบ ดังนั้นกลไกที่เกิดขึ้นทั้งหมดในการทดลองนี้จึงเป็นกลไกแบบ abiotic ที่สามารถเกิดขึ้นบริเวณพื้นผิวของข้าวแอโนดได้โดยตรงโดยไม่อาศัยการทำงานของจุลินทรีย์ กลไกที่คาดว่าจะเกิดขึ้นภายในสามารถอธิบายได้ดังนี้

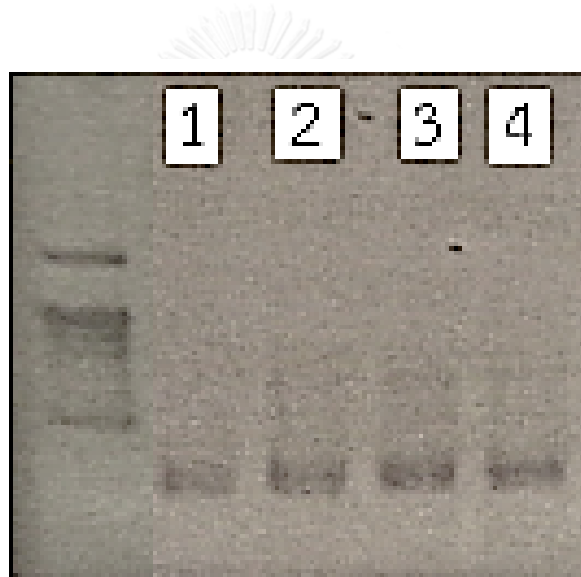
เริ่มจากซัลไฟด์ที่มีในน้ำเสียสังเคราะห์สามารถถูกออกซิเดชันด้วยกลไกการบำบัดซัลไฟด์แบบ abiotic ซึ่งสามารถเกิดขึ้นได้เองที่บริเวณข้าวแอโนด (กลไก [4.1]) และเกิดการผลิตซัลเฟตและซัลเฟอร์ขึ้นในระบบเป็นผลิตภัณฑ์ (กลไก [5.1]) ซึ่งในการทดลองย่อยชุดที่ 3 นี้ผลิตภัณฑ์ที่เกิดขึ้นจากการบำบัดซัลไฟด์เกือบทั้งหมดคือซัลเฟต ดังจะเห็นได้จากผลการทดลองที่มีซัลเฟตเกิดขึ้นในระบบถึง 399 ± 57 มิลลิกรัม/ลิตร หรือ 4.15 ± 0.59 มิลลิโนล/ลิตร เทียบกับความเข้มข้นของซัลไฟด์ที่ป้อนเข้าในระบบที่ 4.23 ± 0.14 มิลลิโนล/ลิตร ส่วนซัลเฟอร์ที่พบบริเวณพื้นผิวของข้าวแอโนดนั้นมีปริมาณไม่มาก และจากกลไกการบำบัดซัลไฟด์ที่เกิดขึ้นซัลไฟด์จะถูกออกซิเดชันที่บริเวณพื้นผิวของข้าวแอโนดโดยตรงเกิดเป็นกลไกการเกิดไฟฟ้าแบบ abiotic (กลไก [6.3]) เกิดการถ่ายทอดอิเล็กตรอนไปยังข้าวแอโนด ความต่างศักย์ไฟฟ้าที่เกิดทำให้อิเล็กตรอนมีการถ่ายเทในระบบ โดยจะเคลื่อนที่จากข้าวแอโนดไปยังลวดไฟฟ้าเนียมผ่านตัวแทนทางไปยังข้าวแอดโหนด

4.3 ผลการทดลองช่วงที่ 3 การศึกษากลุ่มจุลินทรีย์ในเซลล์เชื้อเพลิงชีวภาพโดยการใช้เทคนิค Illumina MiSeq System

จากการตรวจลองผลการทำ PCR เพื่อเพิ่มจำนวน 16S rRNA ของจุลินทรีย์ในแต่ละตัวอย่าง พบว่า มีกลุ่มจุลินทรีย์ในช่วงลำดับเบสที่ต้องการ (300 bp) ในทุกตัวอย่าง ได้แก่

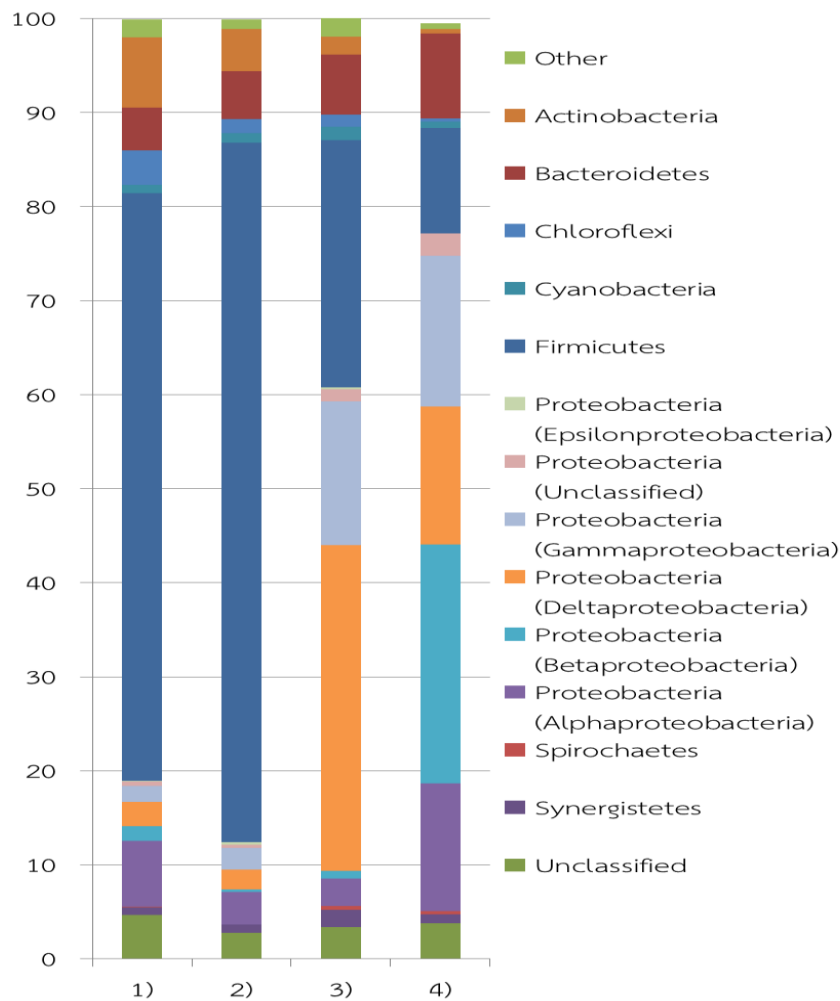
- 1) ตะกอนเริ่มน้ำระบบ
- 2) ตะกอนในช่วงที่มีกระแสไฟฟ้าสูงในช่วงแรก (วันที่ 14 ของการทดลองช่วงที่ 1)
- 3) ตะกอนในช่วงท้ายการเดินระบบ (วันที่ 96 ของการทดลองช่วงที่ 1)
- 4) ตะกอนที่อยู่บนขั้วแอลูминัม

แสดงผลดังภาพที่ 4-45



ภาพที่ 4 - 45 ผลการทำ PCR เพื่อเพิ่มจำนวน 16S rRNA ของจุลินทรีย์ในแต่ละตัวอย่าง

จากนั้นเมื่อนำตัวอย่างไปวิเคราะห์นิคของจุลินทรีย์ที่พบในระบบเซลล์เชื้อเพลิงชีวภาพที่ 2 ในการทดลองช่วงที่ 1 พบร่วมสามารถแสดงแบ่งตาม Phylum ที่สำคัญได้ดังภาพที่ 4-46



ภาพที่ 4 - 46 Phylum ที่พบในเซลล์เชื้อเพลิงชีวภาพที่ 2 ใน การทดลองช่วงที่ 1

หมายเหตุ

- 1) ตะกอนเริ่มต้นระบบ
- 2) ตะกอนในช่วงที่มีกระแสไฟฟ้าสูงในช่วงแรก (วันที่ 14 ของการทดลองช่วงที่ 1)
- 3) ตะกอนในช่วงท้ายการเดินระบบ (วันที่ 96 ของการทดลองช่วงที่ 1)
- 4) ตะกอนที่อยู่บนขั้วแอลูминัม

จากภาพที่ 4-46 พบว่า จุลินทรีย์กลุ่ม Firmicutes มีปริมาณมากจากตัวอย่างตะกอนเริ่มต้นระบบและตะกอนช่วงที่มีกระแสไฟฟ้าสูงในช่วงต้น (วันที่ 14 ของการทดลองช่วงที่ 1) ส่วนตะกอนในช่วงของการปิดระบบการทดลองช่วงที่ 1 (วันที่ 96 ของการทดลอง) มีจุลินทรีย์กลุ่ม Firmicutes น้อยลง แต่มีจุลินทรีย์กลุ่ม Proteobacteria เพิ่มมากขึ้น เช่นเดียวกันกับตะกอนจากข้าวแอลอโนดที่พบจุลินทรีย์กลุ่ม Proteobacteria มากที่สุด

เมื่อวิเคราะห์ผลในระดับ Genus ของแบคทีเรียที่พบมากที่สุดของเซลล์เชื้อเพลิงชีวภาพที่ 2 ในการทดลองช่วงที่ 1 สามารถแสดงได้ดังตารางที่ 4-8 ถึง 4-11

ตารางที่ 4 - 8 Genus ของแบคทีเรียที่พบมากที่สุดของตะกอนเริ่มต้นระบบ

Phylum	Genus	% ที่พบ
Firmicutes	Clostridium	30.011
Firmicutes	Soehnigenia	3.829
Firmicutes	Turicibacter	2.981
Bacteroidetes	Olivibacter	2.356
Firmicutes	Alkaliphilus	1.818
Firmicutes	Trichococcus	1.807

จากตารางที่ 4-8 พบว่า Genus ที่พบมากที่สุดในตะกอนเริ่มต้นคือ Clostridium ซึ่งสามารถพบรูปได้ทั่วไปในสิ่งแวดล้อม ทั้งในตะกอนดินหรือตะกอนระบบบำบัด ส่วน Genus ที่พบร่องลงมาคือ Soehnigenia Turicibacter Olivibacter Alkaliphilus และ Trichococcus ตามลำดับ ซึ่งแบคทีเรียเหล่านี้สามารถพบรูปได้ทั่วไปในตะกอนดิน

ตารางที่ 4 - 9 Genus ของแบคทีเรียที่พบมากที่สุดในช่วงที่มีกระแสไฟฟ้าสูงในช่วงแรก (วันที่ 14 ของการทดลอง)

phylum	Genus	% ที่พบ
Firmicutes	Clostridium	50.654
Firmicutes	Soehnigenia	2.474
Firmicutes	Tepidibacter	2.02
Firmicutes	Turicibacter	1.795
Firmicutes	Trichococcus	1.322
Bacteroidetes	Olivibacter	1.267

จากตาราง 4-9 พบว่า Genus ที่มีมากที่สุดในตะกอนช่วงที่มีกระแสไฟฟ้าสูงในช่วงแรก (วันที่ 14ของการทดลอง) คือ Clostridium เช่นเดียวกันกับตะกอนเริ่มต้น เนื่องจากช่วงเวลาที่ทำการเก็บตัวอย่างได้ทำการเดินระบบอย่างต่อเนื่องเป็นระยะเวลาเพียง 2 สัปดาห์เท่านั้น กลุ่มประชากรจุลินทรีย์จึงอาจยังคงเป็นกลุ่มใกล้เคียงกับในช่วงเริ่มต้น ส่วน Genus ที่พบเป็นลำดับรองลงมาคือ Soehnigenia Tepidibacter Turicibacter Trichococcus และ Olivibacter ตามลำดับ

ตารางที่ 4 - 10 Genus ของแบคทีเรียที่พบมากที่สุดในช่วงท้ายการเดินระบบ
(วันที่ 96ของการทดลอง)

Phylum	Genus	% ที่พบ
Firmicutes	Clostridium	13.786
Proteobacteria	Ectothiorhodospira	9.559
Proteobacteria	Desulfococcus	7.715
Proteobacteria	Desulfosarcina	6.895
Proteobacteria	Desulfovibrio	5.712
Bacteroidetes	Olivibacter	4.021

จากตาราง 4-10 พบว่า Genus ที่มีมากที่สุดของช่วงที่ปิดการเดินระบบยังคงเป็น Clostridium ใน Firmicutes Phylum แต่เมื่อพิจารณาในระดับ Phylum แล้วจะเห็นได้ว่า Phylum ที่มีปริมาณมากกว่าคือ Proteobacteria ซึ่งมี Genus ที่พบ ได้แก่ Ectothiorhodospira Desulfococcus Desulfosarcina และ Desulfovibrio ซึ่ง *Desulfococcus spp.* *Desulfosarcina spp.* และ *Desulfovibrio spp.* จัดเป็นแบคทีเรียรีดิวซ์ชัลเฟต (Medigan et al., 2003) และ Ectothiorhodospira เป็นจุลินทรีย์กลุ่ม photosynthetic purple sulfur bacteria ซึ่งสามารถออกซิไดซ์ชัลเฟต์เป็นชัลเฟอร์ได (Medigan et al., 2003)

ตารางที่ 4 - 11 Genus ของแบคทีเรียที่พบมากที่สุดบนข้าวแอนดอน

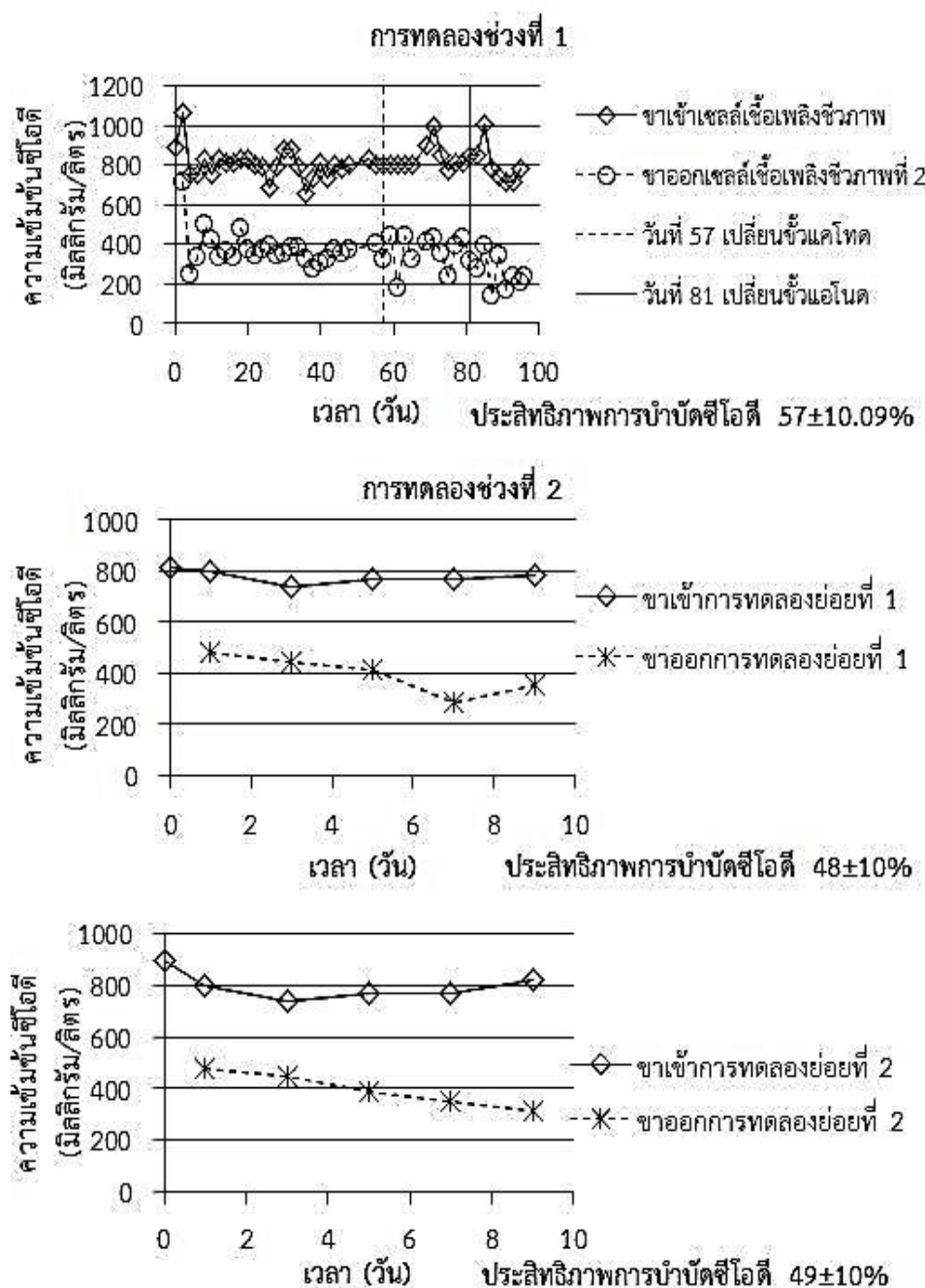
Phylum	Genus	% ที่พบ
Proteobacteria	Thiobacillus	22.516
Proteobacteria	Rhodanobacter	7.003
Proteobacteria	Desulfomicrobium	6.975
Firmicutes	Clostridium	6.616
Proteobacteria	Paracoccus	4.163
Proteobacteria	Desulfovibrio	3.525

จากตาราง 4-11 Genus ที่พบมากที่สุดบนข้าวแอนดอน คือ *Thiobacillus* ซึ่งจัดเป็นแบคทีเรียออกซิไดซ์ชัลเฟอร์ซึ่งสามารถถูกออกซิไดซ์ชัลไฟด์ให้เป็นชัลเฟอร์/ชัลเฟตได้ ทั้งนี้ผลการวิเคราะห์ที่ได้สอดคล้องกับงานวิจัยของ Zhang และคณะ (2013) ซึ่งพบชัลเฟอร์ออกซิไดซิงแบคทีเรียกลุ่ม *Thiobacillus* บนข้าวแอนดอนของระบบเซลล์เชื้อเพลิงชีวภาพที่ใช้บัดชัลไฟด์ และงานวิจัยของ Sun และคณะ (2010) ซึ่งพบ *Pseudomonas sp.* และ *Rhodobacter sp.* บนข้าวแอนดอนในระบบเซลล์เชื้อเพลิงชีวภาพที่บัดชัลไฟด์ซึ่งเคยมีรายงานการพบแบคทีเรียออกซิไดซ์ชัลเฟอร์ใน Genus ตั้งแต่ล่าวนอกจากนี้ Genus ที่พบร่องลงมาบนข้าวแอนดอนคือ *Rhodanobacter*, *Desulfomicrobium*, *Clostridium*, *Paracoccus* และ *Desulfovibrio* ตามลำดับ โดย *Desulfomicrobium spp.* และ *Desulfovibrio spp.* จัดเป็นแบคทีเรียตัวชัลเฟตซึ่งสามารถใช้ชัลเฟตเป็นสารรับอิเล็กตรอนได้ ส่วน *Rhodanobacter spp.* และ *Paracoccus spp.* เป็นจุลินทรีย์กลุ่มด้านต្រីფองแบคทีเรีย (denitrifying bacteria) อย่างไรก็ตามมีงานวิจัยพบว่าบาง species ของ *Rhodanobacter* สามารถใช้ชัลไฟด์เป็นสารให้อิเล็กตรอนในกระบวนการ autotrophic denitrification ได้ (Medigan et al., 2003)

4.4 การวิเคราะห์กลไกการทำงานของเซลล์เชื้อเพลิงชีวภาพในงานวิจัยนี้

จากการศึกษาบทบาทและกลไกที่เกิดขึ้นในการทดลองช่วงที่ 2 สามารถนำไปอธิบายกลไกที่คาดว่าจะเกิดขึ้นในเซลล์เชื้อเพลิงชีวภาพที่ 2 ในการทดลองช่วงที่ 1 ได้ดังนี้

- การบำบัดชีโอดี



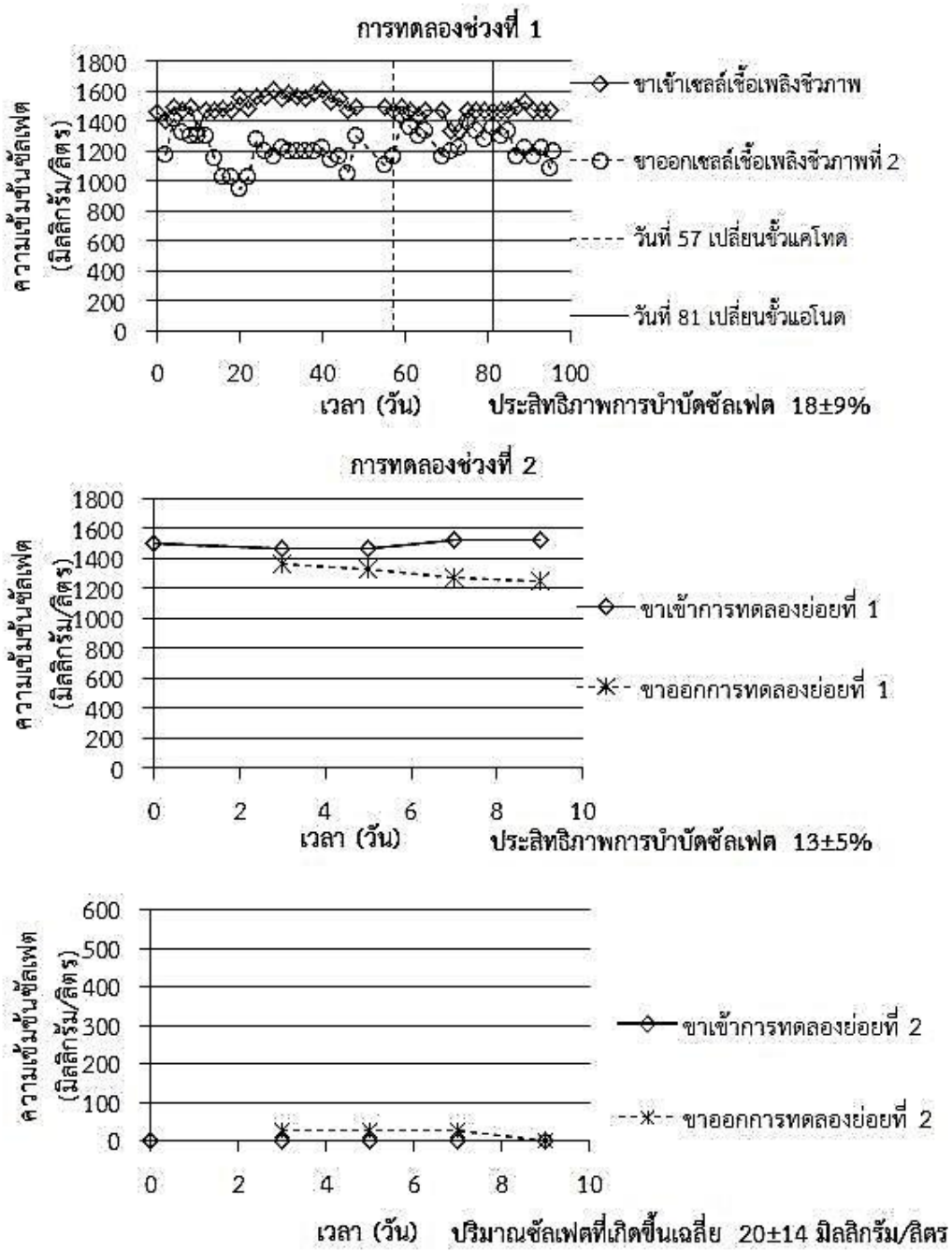
ภาพที่ 4 - 47 สรุปกราฟความเข้มข้นชีโอดีในการทดลองช่วงที่ 1 และ 2

จากภาพที่ 4-47 ในช่วงเริ่มต้นการเดินระบบของการทดลองช่วงที่ 1 การบำบัดซีโอดีโดยตะกอนจุลินทรีย์แหวนโลยน่าจะเป็นกลไกหลักที่เกิดขึ้น โดยสังเกตจากค่าซีโอดีที่ลดลงทันทีภายใน HRT ที่กำหนดไว้ (1 วัน) เนื่องจากได้มีการเติมตะกอนจุลินทรีย์เพื่อเป็นหัวเชื้อเริ่มต้นในการเดินระบบ และใช้ข้าวแอลูโนดใหม่จึงไม่น่าจะมีจุลินทรีย์มากเป็น biofilm แต่เมื่อทำการเดินระบบอย่างต่อเนื่องตามเวลาแล้ว คาดว่าจะมีจุลินทรีย์บางส่วนไปเกาะที่บริเวณผิวของข้าวแอลูโนดเกิดเป็น biofilm ขึ้น ดังนั้นกลไกการบำบัดซีโอดีที่คาดว่าจะเกิดขึ้นในช่วงที่ระบบเข้าสู่สภาวะคงตัวจึงอาจเกิดจากทั้งจุลินทรีย์แหวนโลยและจุลินทรีย์ที่เกาะติดบริเวณข้าวแอลูโนดเป็น biofilm ควบคู่ไปด้วยกัน

จุลินทรีย์ที่พบในช่วงช่วงเริ่มต้นการเดินระบบส่วนใหญ่เป็นแบคทีเรียที่อยู่ในไฟลัม Firmicutes สายพันธุ์ *Clostridium spp.* ซึ่งแบคทีเรียจำพวกนี้มักพบได้ทั่วไปในตะกอนจากระบบบำบัดแบบริ่ืออากาศ ทำหน้าที่ในการย่อยสลายสารอินทรีย์ขนาดใหญ่ให้มีขนาดเล็กลง แต่เมื่อเดินระบบไปจนสิ้นสุดการทดลองช่วงที่ 1 แล้วพบว่ามีแบคทีเรียริวาร์ชัลเฟตเพิ่มมากขึ้น ซึ่งแบคทีเรียเหล่านี้ใช้สารอินทรีย์เป็นตัวให้อิเล็กตรอน ใช้ชัลเฟตเป็นตัวรับ กระบวนการเหล่านี้จึงสามารถทำให้ค่าซีโอดีในระบบเชลล์เชือเพลิงชีวภาพนี้ลดลงได้

จากการทดลองทำให้สามารถสรุปได้ว่า กลไกการบำบัดซีโอดีในเชลล์เชือเพลิงชีวภาพที่ 2 ในการทดลองช่วงที่ 1 น่าจะเกิดจากการบำบัดซีโอดีทั้งในตะกอนจุลินทรีย์แหวนโลยและจุลินทรีย์ที่เกาะติดบนข้าวแอลูโนด (biofilm) ทั้งนี้กลไกการบำบัดซีโอดีในตะกอนจุลินทรีย์แหวนโลยสามารถแบ่งออกได้เป็น 2 ช่วง ได้แก่ 1) ช่วงแรกของการเดินระบบซึ่งยังไม่ค่อยมีปริมาณแบคทีเรียริวาร์ชัลเฟต ดังนั้นจึงน่าจะเกิดปฏิกิริยาการย่อยสลายจากแลกเททให้เปลี่ยนเป็นอะซิเตทในระบบ และ 2) ช่วงท้ายการเดินระบบซึ่งมีปริมาณแบคทีเรียริวาร์ชัลเฟตเพิ่มขึ้นแล้ว จึงน่าจะเกิดปฏิกิริยาชัลเฟตริดักชันที่ใช้แลกเททและอะซิเตทในระบบเป็นตัวให้อิเล็กตรอน และใช้ชัลเฟตในระบบเป็นตัวรับอิเล็กตรอน เนื่องจากในการทดลองช่วงที่ 2 ได้มีการแยกชุดการทดลองย่อยชุดที่ (1) ซึ่งมีเฉพาะตะกอนจุลินทรีย์แหวนโลย และการทดลองย่อยชุดที่ (2) ซึ่งมีเฉพาะกลุ่มจุลินทรีย์ที่เกาะบริเวณข้าวแอลูโนดเป็น biofilm เพียงอย่างเดียวเท่านั้น พบว่าทั้งสองชุดการทดลองย่อยยังสามารถบำบัดซีโอดีได้ทั้งคู่ อย่างไรก็ตามการบำบัดซีโอดีจากทั้งสองกลไกไม่สามารถนำรวมกันในเชิงปริมาณได้ ดังจะสังเกตจากประสิทธิภาพการบำบัดซีโอดีในการทดลองย่อยชุดที่ (1) ที่บำบัดได้ $48 \pm 10\%$ และการทดลองย่อยชุดที่ (2) ที่บำบัดได้ $49 \pm 10\%$ ซึ่งน้อยกว่าประสิทธิภาพการบำบัดซีโอดีของเชลล์เชือเพลิงชีวภาพที่ 2 ในการทดลองช่วงที่ 1 ที่บำบัดได้ $57 \pm 10\%$ เพียงเล็กน้อยเท่านั้น ทั้งนี้อาจเกิดขึ้นจากการแข่งขันในการบำบัดซีโอดีเมื่อมีการอยู่ร่วมกันของตะกอนจุลินทรีย์และ biofilm บนแอลูโนดในระบบ

- การบำบัดชัลเฟต



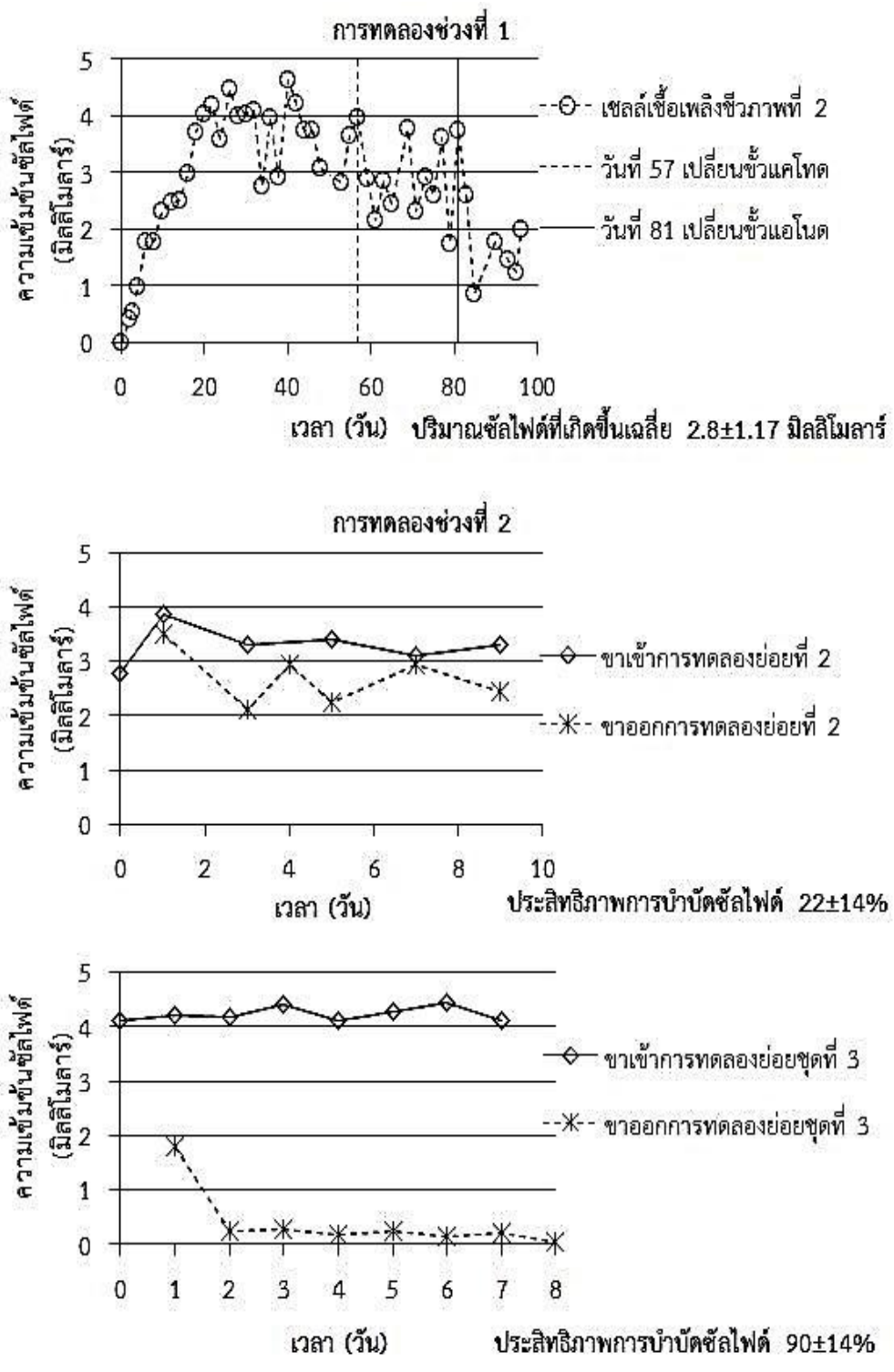
ภาพที่ 4 - 48 สรุปกราฟความเข้มข้นชัลเฟตในการทดลองช่วงที่ 1 และ 2

จากภาพที่ 4-48 ในช่วงเริ่มต้นของการเดินระบบของการทดลองช่วงที่ 1 นั้น ประสิทธิภาพการบำบัดชัลเพตยังต่ำอาจเนื่องมาจากการที่ระบบยังไม่แน่นหนา แต่เมื่อเวลาผ่านไป ระบบอย่างต่อเนื่องตามเวลาที่อัตราส่วนซีโอดีต่อชัลเพตเท่ากับ 0.6 และพบว่าประสิทธิภาพการบำบัดชัลเพตเพิ่มขึ้นเล็กน้อย เนื่องมาจากการเพิ่มจำนวนภายในเซลล์เชื้อเพลิงชีวภาพของแบคทีเรียรีดิวชัลเพตที่สามารถใช้ชัลเพตเป็นตัวรับอิเล็กตรอน ดังจะเห็นได้จากการวิเคราะห์ชนิดของจุลินทรีย์ที่พบแบคทีเรียรีดิวชัลเพตเพิ่มขึ้นในการทดลองช่วงที่ 3 ซึ่งเป็นแบคทีเรียที่อยู่ในคลาส Deltaproteobacteria สายพันธุ์ *Desulfococcus spp.* *Desulfosarcina spp.* และ *Desulfovibrio spp.* ที่มีประสิมาณเพิ่มมากขึ้นในระบบ ซึ่งแบคทีเรียในกลุ่มนี้จะใช้สารอินทรีย์ เช่น แอกเตท อะซิตेट เป็นตัวให้อิเล็กตรอน ใช้ชัลเพตเป็นตัวรับอิเล็กตรอน และผลิตชัลไฟต์ขึ้นในระบบ ซึ่งกระบวนการเหล่านี้จะทำให้ปริมาณชัลเพตที่มีในระบบลดลง

อย่างไรก็ตามปริมาณชัลเพตที่ไม่ได้ลดลงมากนักอาจเป็นผลจากการออกซิไดร์ชัลไฟต์/ชัลเพอร์ที่เกิดขึ้นในระบบบริเวณข้าวแอนด์ ทำให้เกิดปฏิกิริยาขับกลับมาเป็นชัลเพตอีกรัง ดังที่พบในการทดลองย่อยชุดที่ (3) ในการทดลองช่วงที่ 2 ดังนั้นปริมาณชัลเพตที่ตรวจวัดได้จึงน่าจะมาจากทั้งที่คงเหลือหลังจากการเกิดปฏิกิริยาชัลเพตเรียดกันและเกิดขึ้นใหม่จากการออกซิไดร์ชัลเพอร์/ชัลไฟต์ที่เกิดขึ้นในระบบ

จากการทดลองอาจสรุปได้ว่า กลไกการบำบัดชัลเพตในเซลล์เชื้อเพลิงชีวภาพที่ 2 ในการทดลองช่วงที่ 1 นั้นจะเกิดจากการบำบัดชัลเพตโดยแบคทีเรียรีดิวชัลเพต (ซึ่งมีปริมาณเพิ่มมากขึ้นหลังการเดินระบบในอัตราส่วนซีโอดีต่อชัลเพตเท่ากับ 0.6) โดยแบคทีเรียรีดิวชัลเพตนั้นจะปะปนอยู่ในตะกอนจุลินทรีย์เป็นหลัก เนื่องจากแม้ว่ามีการเปลี่ยนข้าวแอนด์ในระหว่างการทดลองก็ไม่ได้ส่งผลกระทบต่อประสิทธิภาพการบำบัดชัลเพตแต่อย่างใด

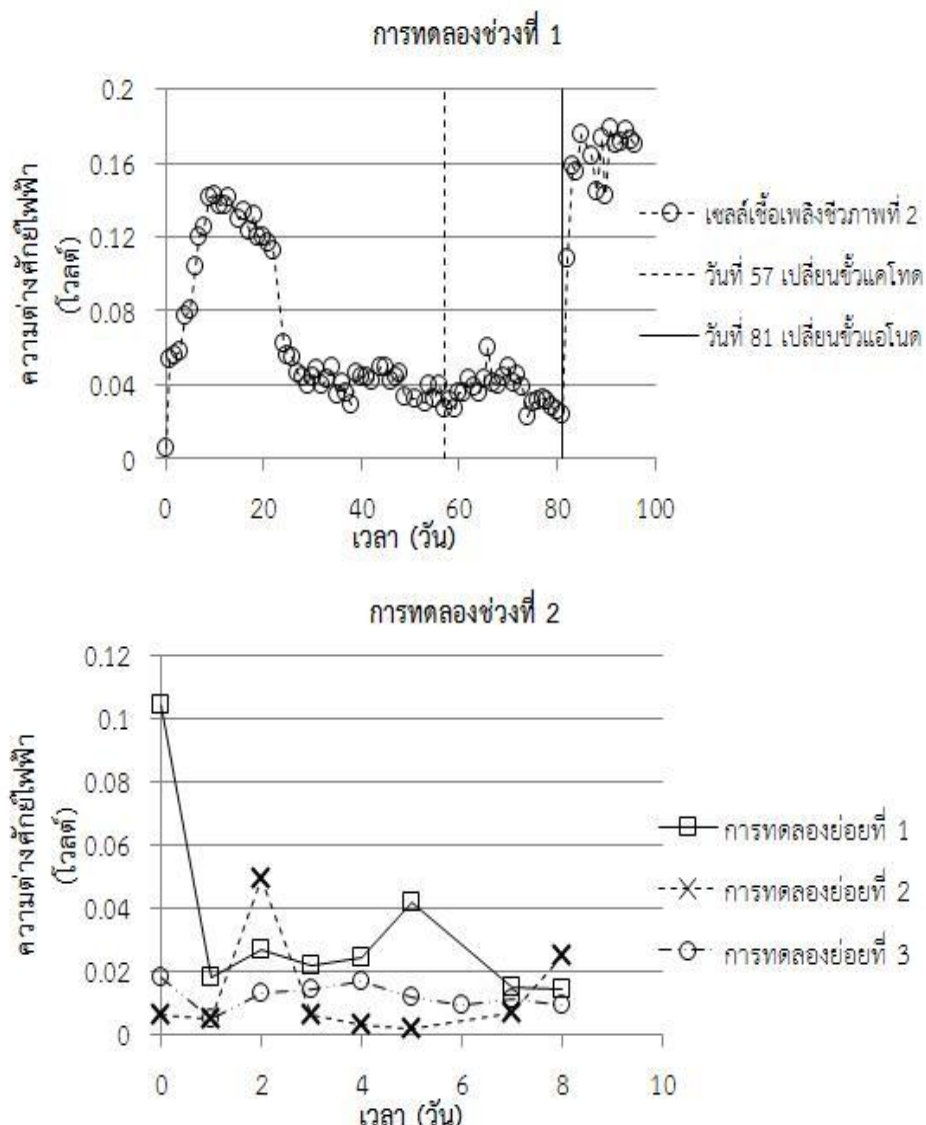
- การผลิตชัลไฟฟ์



ภาพที่ 4 - 49 สรุปกราฟความเข้มข้นชัลไฟฟ์ในการทดลองช่วงที่ 1 และ 2

จากภาพที่ 4-49 กลไกการผลิตชัลไฟด์ในเซลล์เชื้อเพลิงชีวภาพที่ 2 ในการทดลองช่วงที่ 1 คาดว่าจะเกิดจากการบำบัดชัลไฟต์โดยแบคทีเรียดิวาร์ชัลไฟต์ซึ่งใช้ชัลไฟต์เป็นตัวรับอิเล็กตรอน จากรายงานทรีโนและเกิดเป็นชัลไฟต์ขึ้นในระบบ ดังจะเห็นได้จากการทดลองช่วงที่ 3 ที่พบปริมาณ แบคทีเรียดิวาร์ชัลไฟต์เพิ่มมากขึ้นอย่างเห็นได้ชัด ปริมาณชัลไฟต์ที่เกิดสามารถเกิดปฏิกิริยาชัลไฟต์ ออกซิเดชันที่ข้าวแอโนด ซึ่งอาจประกอบด้วย 2 กลไกอยู่คือ 1) การออกซิเดชัลไฟต์ที่ข้าวแอโนด แบบ abiotic และ 2) การออกซิเดชัลไฟต์ที่ข้าวแอโนดโดยแบคทีเรียออกซิเดชัลไฟต์ เกิดผลิตภัณฑ์ เป็น ชัลเฟอร์/ชัลไฟต์ ซึ่งเห็นได้จากการวิเคราะห์ชนิดจุลทรีที่พบบนข้าวแอโนดหลังการทดลอง ที่ พบ จุลินทรียกลุ่มแบคทีเรียออกซิเดชัลเฟอร์มีปริมาณมากที่สุด ซึ่งอยู่ในคลาส Betaproteobacteria สายพันธุ์ *Thiobacillus spp.* โดยแบคทีเรียกลุ่มนี้จะใช้ชัลไฟต์ในระบบเป็น ตัวให้อิเล็กตรอน และใช้ออกซิเจนเป็นตัวรับอิเล็กตรอน (ในที่นี้อาจเป็นออกซิเจนที่บริเวณข้าวแคโรโอด) แล้วผลิตชัลไฟต์หรือชัลไฟต์ย้อนกลับมาในระบบได้อิกลด้วย อย่างไรก็ตาม เมื่อมีการเปลี่ยนข้าวแอโนด ใหม่ในระหว่างการทดลอง (ไม่มี biofilm เกาะที่ผิวของข้าวแอโนด) พบร่วงปริมาณชัลไฟต์คงเหลือใน ระบบลดต่ำลง ทั้งนี้น่าจะมีสาเหตุมาจากชัลไฟต์ที่เกิดขึ้นในระบบนั้นสามารถถูกออกซิเดช์โดยตรง บริเวณข้าวแอโนดด้วยกลไก abiotic H₂S oxidation ซึ่งมีประสิทธิภาพการบำบัดชัลไฟต์สูง ดังจะเห็น ได้จากการทดลองช่วงที่ 2 การทดลองย่อยชุดที่ (3) ที่ใช้ข้าวแอโนดใหม่ ไม่มี biofilm เกาะที่ผิวของ ข้าวแอโนดสามารถบำบัดชัลไฟต์ได้มีประสิทธิภาพสูง ($90 \pm 14\%$) กว่าการทดลองย่อยชุดที่ (2) ที่มี biofilm เกาะที่ผิวของข้าวแอโนดซึ่งมีประสิทธิภาพการบำบัดชัลไฟต์ต่ำ ($22 \pm 14\%$)

- การเกิดไฟฟ้า



ภาพที่ 4 - 50 สรุปกราฟความต่างศักย์ไฟฟ้าในการทดลองช่วงที่ 1 และ 2

จากภาพที่ 4-50 ในการทดลองช่วงที่ 1 พบว่า สามารถผลิตไฟฟ้าได้หลังจากการเดินเริ่มเดินระบบไม่นาน แต่หลังจากเดินระบบเป็นระยะเวลาหนึ่ง ความสามารถในการผลิตไฟฟ้าก็ลดลงจากนั้นภายหลังมีการเปลี่ยนขั้วแอลูминัมพบว่า การผลิตไฟฟ้าดีขึ้น จากผลการทดลองอาจสรุปได้ว่า กลไกการเกิดไฟฟ้าในเซลล์เชื้อเพลิงชีวภาพที่ 2 ใน การทดลองช่วงที่ 1 คาดว่าจะสัมพันธ์กับหลายกลไก ได้แก่ กลไกการเกิดไฟฟ้าโดย exoelectrogenic microorganisms และกลไกการเกิดไฟฟ้าโดย abiotic H₂S oxidation ที่บริเวณขั้วแอลูминัม

อย่างไรก็ตาม จากการทดลองช่วงที่ 2 พบว่า การผลิตไฟฟ้าเกิดขึ้นสูงสุดเมื่อมีตะกอนจุลินทรีย์ในระบบร่วมกับขั้วแอลูминัมที่ไม่มี biofilm ดังจะเห็นได้จากค่าความต่างศักย์ไฟฟ้าเฉลี่ยในการทดลองย่อยชุดที่ (1) ที่มีค่าความต่างศักย์ไฟฟ้าเฉลี่ยสูงสุด (0.022 ± 0.009 โวลต์) เมื่อเทียบกับการทดลองย่อยชุดที่ (2) และ (3) ที่มีค่าความต่างศักย์ไฟฟ้าเฉลี่ย 0.0199 ± 0.0155 โวลต์ และ 0.012 ± 0.004 โวลต์ ตามลำดับ



บทที่ 5 สรุปผลการวิจัยและข้อเสนอแนะ

5.1 สรุปผลการวิจัย

งานวิจัยนี้เดินระบบโดยใช้เซลล์เชื้อเพลิงชีวภาพแบบห้องเดียวชนิดที่ใช้อากาศ (ออกซิเจน) เป็นตัวรับอิเล็กตรอนในฝั่งแคโตด เดินระบบแบบต่อเนื่องโดยใช้น้ำเสียสังเคราะห์ในอัตราส่วนซีโอดี ต่อชัลเฟตเท่ากับ 0.6 ซึ่งประกอบด้วยแลกเตท ชัลเฟต และราตุอาหารอื่นที่จำเป็นสำหรับจุลินทรีย์ ใช้โซเดียมไบคาร์บอเนตเป็นแหล่งสภาพความเป็นด่าง และเติมตะกอนจุลินทรีย์สายพันธุ์ผสมเป็นหัว เชื้อในการเดินระบบปริมาณ 30% ของปริมาตรถัง ดำเนินการทดลองชั้น 2 ชุด จากนั้นเริ่มเดินระบบอย่างต่อเนื่อง กำหนดระยะเวลาภัณฑ์เก็บน้ำเท่ากับ 24 ชั่วโมง และใช้ตัวต้านทานภายนอกขนาด 1000 Ω ระหว่างการทดลองบันทึกค่าทางไฟฟ้าอย่างต่อเนื่อง พัฒนาตัวต้านทานภายนอกขนาด 1000 Ω เมื่อเดินระบบจนกระแสไฟฟ้าคงที่

ผลการวิจัยพบว่า ประสิทธิภาพการบำบัดซีโอดีอยู่ที่ $51 \pm 9.88\%$ และ $57 \pm 10.09\%$ ในเซลล์เชื้อเพลิงชีวภาพที่ 1 และ 2 ตามลำดับ ส่วนประสิทธิภาพการบำบัดชัลเฟตอยู่ที่ $21 \pm 9\%$ และ $18 \pm 9\%$ ในเซลล์เชื้อเพลิงชีวภาพที่ 1 และ 2 ตามลำดับ ปริมาณชัลไฟลด์ที่เกิดขึ้นมีค่าเฉลี่ยอยู่ที่ ประมาณ 2.8 ± 1.13 และ 2.8 ± 1.17 มิลลิไมลาร์ ในเซลล์เชื้อเพลิงชีวภาพที่ 1 และ 2 ตามลำดับ ค่าความต่างศักย์ไฟฟ้าที่รัดได้จากการทดลองมีค่าสูงสุดอยู่ที่ 0.093 โวลต์ สำหรับเซลล์เชื้อเพลิงชีวภาพที่ 1 และ 0.179 โวลต์ สำหรับเซลล์เชื้อเพลิงชีวภาพที่ 2 และค่าความหนาแน่นกำลังไฟฟ้าสูงสุดของเซลล์เชื้อเพลิงชีวภาพที่ 1 และ 2 คือ 0.0043 และ 0.017 วัตต์/ตารางเมตร โดยที่ลักษณะของการสูญเสียความต่างศักย์ไฟฟ้า (Voltage loss) เป็นลักษณะของ ohmic loss เป็นหลัก โดยค่าความต้านทานภายในของระบบมีค่าเพิ่มขึ้นตามระยะเวลาการเดินระบบ ซึ่งสามารถเกิดจากการสะสมตัวของชัลเฟอร์บนขั้วแอนโอด ส่งผลให้ความสามารถในการนำไฟฟ้าของขั้วลดลง

กลไกการบำบัดซีโอดีคาดว่าเกิดขึ้นจากหั้งตะกอนจุลินทรีย์แขวนลอยและจุลินทรีย์ที่เกาะติดเป็น biofilm บริเวณขั้วแอนโอด ส่วนกลไกการบำบัดชัลเฟตเกิดจากแบคทีเรียดิวช์ชัลเฟต การเกิดชัลเฟตและบำบัดชัลไฟลด์เกิดจากแบคทีเรียออกซิไดซ์ชัลเฟอร์และกระบวนการ abiotic H₂S oxidation ที่บริเวณขั้วแอนโอด สำหรับกลไกการเกิดกระแสไฟฟ้าในระบบคาดว่าเกิดจากจุลินทรีย์กลุ่ม exoelectrogenic microorganisms และแบคทีเรียออกซิไดซ์ชัลเฟอร์/ชัลไฟลด์ รวมถึงกระบวนการ abiotic H₂S oxidation ที่บริเวณขั้วแอนโอด

กลุ่มจุลินทรีย์ที่พบส่วนใหญ่เป็นแบคทีเรีย โดยในตัวอย่างตะกอนเริ่มต้นกลุ่มจุลินทรีย์ที่พบมากที่สุดปริมาณ 30.011% คือ *Clostridium spp.* ส่วนตัวอย่างตะกอนช่วงที่มีกระแสไฟฟ้าสูงในช่วงสองสัปดาห์แรกกลุ่มจุลินทรีย์ที่พบมากที่สุดปริมาณ 50.65 % คือ *Clostridium spp.* เช่นกัน

อย่างไรก็ตามในช่วงท้ายของระบบมีปริมาณจุลินทรีย์กลุ่มแบคทีเรียดิวาร์ชัลเฟตเพิ่มมากขึ้น ได้แก่ *Desulfococcus spp.* *Desulfosacina spp.* และ *Desulfovibrio spp.* และในตัวอย่างตะกอนบนข้าวแอลูมิโนดิจุลินทรีย์กลุ่มที่พบมากที่สุด 22.516% คือ *Thiobacillus spp.* ซึ่งจัดเป็นแบคทีเรียออกซิไดซ์ชัลเฟอร์/ชัลไฟด์

5.2 ประโยชน์ทางวิศวกรรมสิ่งแวดล้อม

ผลที่ได้จากการวิจัยนี้แสดงให้เห็นถึงประสิทธิภาพในการบำบัดสารอินทรีย์และชัลเฟตร่วมถึงการผลิตกราฟไฟฟ้าด้วยระบบเชลล์เชื้อเพลิงชีวภาพแบบห้องเดียว อีกทั้งยังเพิ่มความเข้าใจเกี่ยวกับกลไกการบำบัดและการผลิตกราฟไฟฟ้าจากน้ำเสียปนเปื้อนสารอินทรีย์และชัลเฟตด้วยระบบเชลล์เชื้อเพลิงชีวภาพ นอกจากนี้ผลการวิเคราะห์กลุ่มจุลินทรีย์ในระบบยังสามารถช่วยให้เข้าใจกลไกการทำงานในระบบได้มากยิ่งขึ้น ทั้งนี้ระบบเชลล์เชื้อเพลิงชีวภาพแบบห้องเดียวเป็นทางเลือกใหม่ในการช่วยดึงกลับพลังงานจากน้ำเสียปนเปื้อนสารอินทรีย์และชัลเฟต ซึ่งมักก่อให้เกิดปัญหาในระบบบำบัดแบบปริมาณโดยทั่วไป เนื่องจากชัลเฟตที่ปนเปื้อนในน้ำเสียเมื่อเข้าสู่ระบบการบำบัดแบบปริมาณแล้วจะเกิดปฏิกิริยาที่มีการผลิตก๊าซไฮโดรเจนชัลไฟด์ขึ้นทำให้ประสิทธิภาพของก๊าซชีวภาพลดลง การประยุกต์ใช้เชลล์เชื้อเพลิงชีวภาพกับการบำบัดน้ำเสียที่มีสารอินทรีย์และชัลเฟต นอกจากจะช่วยลดปริมาณสารอินทรีย์แล้ว ยังสามารถดึงกลับพลังงานในรูปแบบของกราฟไฟฟ้าได้ด้วย

5.3 ข้อเสนอแนะ

สำหรับงานวิจัยในอนาคต ควรมีการแยกส่วนการบำบัดสารอินทรีย์และชัลเฟตออกจากกับการบำบัดชัลไฟด์ที่เกิดขึ้น เนื่องจากเมื่อทั้งสองส่วนอยู่ร่วมกัน ส่งผลให้การบำบัดชัลเฟตจากแบคทีเรียดิวาร์ชัลเฟตมีประสิทธิภาพน้อยลง เนื่องจากกระบวนการออกซิไดซ์ชัลไฟด์โดยแบคทีเรียออกซิไดซ์ชัลเฟอร์ส่งผลให้เกิดผลิตภัณฑ์เป็นชัลเฟตอีกด้วย ทำให้ประสิทธิภาพในการบำบัดชัลเฟตมีค่าต่ำ นอกจากนี้ควรมีการศึกษาประสิทธิภาพและกลไกการทำงานในเชลล์เชื้อเพลิงชีวภาพในการบำบัดสารอินทรีย์และชัลเฟตที่สัดส่วนซีอีดีและชัลเฟตต่างๆ เพิ่มเติมต่อไป

รายการอ้างอิง

- Caporaso, J. G., Lauber, C. L., Walters, W. A., Berg-Lyons, D., Lozupone, C. A., Turnbaugh, P. J., Fierer, N. and Knight, R. 2011. Global patterns of 16S rRNA diversity at a depth of millions of sequences per sample. *PNAS*. 108:4516-22.
- Costanzo, S. D., Murby, J. and Bates, J. 2005. Ecosystem response to antibiotics entering the aquatic environment. *Mar Pollut Bull*. 51:218-23.
- Du, Z., Li, H. and Gu, T. 2007. A state of the art review on microbial fuel cells: A promising technology for wastewater treatment and bioenergy. *Biotechnology Advances*. 25:464–82.
- Dutta, P. K., Rabaey, K., Yuan, Z. and Keller, J. 2008. Spontaneous electrochemical removal of aqueous sulfide. *Water research*. 42:4965 – 75.
- Hassan, S. H. A., Ginkel, S. W. V., Kim, S. M., Yoon, S. H., Joo, J. H., Shin, B. S., Jeon, B. H., Bae, W. and Oh, S. E. 2010. Isolation and characterization of Acidithiobacillus caldus from a sulfur-oxidizing bacterial biosensor and its role in detection of toxic chemicals. *Journal of Microbiological Methods*. 82:151–5.
- Khanal, S. M. and Huang, J. C. 2003. Anaerobic treatment of high sulfate wastewater with oxygenation to control sulfide toxicity. *Journal of Environmental Engineering*. 12:1104-11.
- Knobel, A. N. and Lewis, A. E. 2002. A mathematical model of a high sulphate wastewater anaerobic treatment system. *Water Research*. 36:257–65.
- Kümmerer, K. 2009. Antibiotics in the aquatic environment-A review-Part II. *Chemosphere*. 75:411-35.
- Lin, C. Y. and Chen, H. P. 2006. Sulfate effect on fermentative hydrogen production using anaerobic mixed microflora. *International Journal of Hydrogen Energy*. 31: 953 – 60.
- Liu, H. and Logan, B. E. 2004. Electricity generation using an air-cathode single chamber microbial fuel cell in presence and absence of a proton exchange membrane. *Environ Sci Technol*. 38:4040-6.
- Logan, B. E. 2008 *Microbial fuel cells*. Hoboken, NJ: A John Wiley & Sons Inc.

- Logan, B. E. 2009. Exoelectrogenic bacteria that power microbial fuel cells. Nature reviews Microbiology. 7:375 – 81.
- Medigan, M. T., Martinko, J. M. and Parker, J. 2003 Brock biology of microorganisms 10th edition. Upper Saddle River, NJ: Pearson Education Inc.
- Nemerow, N. L. and Agardy, F. J. 1998 Strategies of industrial and hazardous waste management. Van Nostrand Reinhold, USA: An international Thomson Publishing Company
- Pikaar, I., Rozendal, R. A., Yuan, Z., Keller, J. and Rabaey, K. 2011. Electrochemical sulfide removal from synthetic and real domestic wastewater at high current densities. Water Research. 45:2281-9.
- Rabaey, K., Clauwaert, P., Alterman, P. and Verstraete, W. 2005. Tubular microbial fuel cells for efficient electricity generation. Environ Sci Technol. 39:8077-82.
- Rabaey, K., Sompel, K. V. D., Maignien, L., Boon, N., Aelterman, P., Clauwaert, P., Schamphelaire, L. D., Pham, H. T., Vermeulen, J., Verhaege, M., Lens, P. and Verstraete, W. 2006. Microbial fuel cells for sulfide removal. Environ Sci Technol. 40:5218-24.
- Rittmann, B. E. and McCarty, P. L. 2001 Environmental and biotechnology: Principles and applications. New York, U.S.A: Mc Graw Hill.
- Ryan, O., S.W., C., Colela, W. and Prinz, F. B. 2013 Fuel cell fundamental 2nd edition
- Saritpongteraka, K. and Chaiprapat, S. 2008. Effects of pH adjustment by parawood ash and effluent recycle ratio on the performance of anaerobic baffled reactors treating high sulfate wastewater. Bioresource Technology. 99:8987–94.
- Silva, A. J., Varesche, M. B., Foresti, E. and Zaiat, M. 2002. Sulphate removal from industrial wastewater using a packed-bed anaerobic reactor. Process Biochemistry. 37:927–35.
- Sun, M., Mu, Z. X., Chen, Y. P., Sheng, G. P., Liu, X. W., Chen, Y. Z., Zhao, Y., Wang, H. L., Yu, H. Q., Wei, L. and Ma, F. 2009. Microbe-assisted sulfide oxidation in the anode of a microbial fuel cell. Environ Sci Technol. 43:3372-7.
- Sun, M., Tong, Z. H., Sheng, G. P., Chen, Y. Z., Zhang, F., Mu, Z. X., Wang, H. L., Zeng, R. J., Liu, Z. W., Yu, H. Q., Wei, L. and Ma, F. 2010. Microbial communities

- involved in electricity generation from sulfide oxidation in a microbial fuel cell. Biosensors and Bioelectronics. 26:470–6.
- Zhang, B. and Ni, J. 2010. Enhancement of electricity generation and sulfide removal in microbial fuel cells with lead dioxide catalyzed cathode. IEEE.
- Zhang, B., Zhao, H., Shi, C., Zhou, S. and Ni, J. 2009. Simultaneous removal of sulfide and organics with vanadium(V) reduction in microbial fuel cells. J Chem Technol Biotechnol. 84:1780-6.
- Zhang, B. G., Zhou, S. G., Zhao, H. Z., Shi, C. H., Kong, L. C., Sun, J. J., Yang, Y. and Ni, J. R. 2010. Factors affecting the performance of microbial fuel cells for sulfide and vanadium (V) treatment. Bioprocess Biosyst Eng. 33:187-94.
- Zhao, F., Rahunen, N., Varcoe, J. R., Chandra, A., Rossa, C. A., Thumser, A. E. and Slade, R. C. T. 2008. Activated carbon cloth as anode for sulfate removal in a microbial fuel cell. Environ Sci Technol. 42:4971-6.
- Zhao, F., Rahunenb, N., Varcoea, J. R., Roberts, A. J., Rossab, C. A., Thumserb, A. E. and Slade, R. C. T. 2009. Factors affecting the performance of microbial fuel cells for sulfur pollutants removal. Biosensors and Bioelectronics. 24:1931–6.
- กรมควบคุมมลพิษ. 2554 โครงการค่าสัมประสิทธิ์ต่างๆ ของน้ำทิ้งและน้ำเสียจากโรงงานอุตสาหกรรมและอุตสาหกรรมชุมชน
- เบญจพร บุญญาอนันต์. 2555. การประยุกต์ใช้แบคทีเรียดิวาร์ซ์คลเพตในงานวิศวกรรมสิ่งแวดล้อม. การประชุมวิชาการวิศวกรรมโยธาแห่งชาติ ครั้งที่ 17.
- มั่นสิน ตัณฑุลเวศน์. 2546 คู่มือวิชาการระบบบำบัดน้ำเสียแบบไม่ใช้อากาศ เล่มที่ 1.
- กรุงเทพมหานคร: กรมควบคุมมลพิษ.
- ศุกร์นิมิต สริรา. 2555. เหล็กเชือเพลิงจุลินทรีย์กับการบำบัดน้ำเสีย. วารสารสิ่งแวดล้อม 16 (2).
- อัลiza วิลันໂທ และคณะ. 2012. เทคโนโลยีเอ็นจีเอสและการประยุกต์ในงานวิจัยโอมิกส์. Thai J genet. 5:104-29.



ภาคผนวก ก

วิธีคำนวณสัดส่วนซีโอดีต่อชัลเฟต เท่ากับ 0.6 ที่ใช้ในงานวิจัย

จากสมการ	$O_2 + 4H^+ + 4e^- = 2H_2O$	
	$O_2 \quad 32 \text{ กรัม}$	รับ e^- เท่ากับ $4 e^-$ eq
เพาะฉะนั้น	$O_2 \quad 8 \text{ กรัม}$	รับ e^- เท่ากับ $1 e^-$ eq
ดังนั้น	$COD \quad 8 \text{ กรัม}$	ให้ e^- เท่ากับ $1 e^-$ eq
	$COD \quad 64 \text{ กรัม}$	ให้ e^- เท่ากับ $8 e^-$ eq

จากสมการ	$SO_4^{2-} + 10H^+ + 8e^- = H_2S + 4H_2O$	
	$SO_4^{2-} \quad 96 \text{ กรัม}$	รับ e^- เท่ากับ $8 e^-$ eq
เพาะฉะนั้น ต้องใช้ COD 64 กรัม		เพื่อให้เกิดปฏิกิริยาพอดีกับ $SO_4^{2-} \quad 96 \text{ กรัม}$
คิดเป็นอัตราส่วน COD: $SO_4^{2-} = 64/96 = 0.67$		

เลือกใช้อัตราส่วน COD: SO_4^{2-} ในงานวิจัยนี้ = 0.6
ดังนั้น สัดส่วน SO_4^{2-} จึงสูงกว่า COD เล็กน้อย

ภาคผนวก ข

วิธีคำนวณปริมาณ กรดแลกติก โซเดียมซัลเฟต และโซเดียมไบคาร์บอเนต

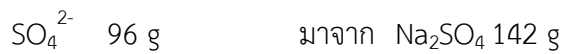
คำนวณหาปริมาณ Na_2SO_4 ที่ต้องเติม

$$\text{อัตราส่วนค่า COD:SO}_4^{2-} = 0.6$$

ต้องการค่าความเข้มข้น COD เท่ากับ 800 mg/L

$$\text{ดังนั้นความเข้มข้นของ SO}_4^{2-} \text{ ที่ต้องการจึงเท่ากับ } 800/0.6 = 1333 \text{ mg/L}$$

สำหรับปริมาตรน้ำเสียสังเคราะห์ เท่ากับ 1 L



$$\text{ต้องการ } \text{SO}_4^{2-} \quad 1.333 \text{ g} \quad \text{มาจาก } \text{Na}_2\text{SO}_4 \quad (142/96)*1.333 = 1.97 \text{ g} = 1,970 \text{ mg}$$

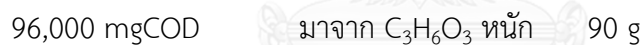
ดังนั้นต้องเติม Na_2SO_4 ในปริมาณ 1,970 mg ในน้ำเสียสังเคราะห์ 1 L

คำนวณหาปริมาณกรดแลกติก ($\text{C}_3\text{H}_6\text{O}_3$) ที่ต้องเติม



เพราะฉะนั้น 1 mol $\text{C}_3\text{H}_6\text{O}_3$ มีค่า COD เท่ากับ $3*32 = 96 \text{ g COD} = 96,000 \text{ mg COD}$

คิดปริมาณที่ต้องการของ $\text{C}_3\text{H}_6\text{O}_3$ เพื่อให้มีความเข้มข้น COD เท่ากับ 800 mg/L



$$\text{ต้องการ } 800 \text{ mg COD} \quad \text{มาจาก } \text{C}_3\text{H}_6\text{O}_3 \text{ หนัก } (90/96000)*800 = 0.75 \text{ g} = 750 \text{ mg}$$

ดังนั้นต้องเติม $\text{C}_3\text{H}_6\text{O}_3$ ในปริมาณ 750 mg ในน้ำเสียสังเคราะห์ 1 L

CHULALONGKORN UNIVERSITY

คำนวณหาปริมาณ NaHCO_3 ที่ต้องเติม

ต้องการสภาพความเป็นด่าง (Alkalinity, HCO_3^-) เท่ากับ 1,500 mg/L as CaCO_3

$$\text{คิด mmol/L alkalinity ได้จาก } 1,500/50 = 30 \text{ mmol/L alkalinity}$$

1 mol NaHCO_3 ให้ 1 mol HCO_3^-

เพราะฉะนั้น 30 mmol NaHCO_3 ให้ 30 mmol HCO_3^- คิดเป็นน้ำหนัก $0.03*61=1.83 \text{ g HCO}_3^-$

คิดหาปริมาณน้ำหนักที่ต้องซั่ง NaHCO_3



$$\text{ต้องการ } \text{HCO}_3^- \quad 1.83 \text{ g} \quad \text{มาจาก } \text{NaHCO}_3 \quad (84/61)*1.83 = 2.52 \text{ g} = 2,520 \text{ mg}$$

ดังนั้นต้องเติม NaHCO_3 ในปริมาณ 2,520 mg ในน้ำเสียสังเคราะห์ 1 L

ภาคผนวก ค

ผลการทดลองและการวิเคราะห์ของงานวิจัย

- ผลการวิเคราะห์ค่าซีไอดีของเซลล์เชื้อเพลิงชีวภาพที่ 1 ในการทดลองช่วงที่ 1

วันที่	ความเข้มข้นซีไอดีขาเข้า (มิลลิกรัม/ลิตร)	ความเข้มข้นซีไอดีขาออก (มิลลิกรัม/ลิตร)	ประสิทธิภาพการบำบัด (%)
0	889		
2	1067	533	50
4	750	333	56
6	750	584	22
8	834	500	40
10	750	417	44
12	834	500	40
14	809	444	45
16	809	375	54
18	827	574	31
20	827	400	52
22	800	510	36
24	792	451	43
26	689	422	39
28	792	396	50
30	876	465	47
32	876	383	56
34	794	383	52
36	657	356	46
38	734	329	55
40	810	354	56
42	734	354	52
44	805	453	44
46	780	377	52
48	805	453	44
55	800	480	40
57	800	364	55
59	800	327	59

วันที่	ความเข้มข้นซีโอดีขาเข้า (มิลลิกรัม/ลิตร)	ความเข้มข้นซีโอดีขาออก (มิลลิกรัม/ลิตร)	ประสิทธิภาพการบำบัด (%)
61	800	291	64
63	800	364	55
65	800	364	55
69	897	410	54
71	1000	436	56
73	854	388	55
75	777	350	55
77	816	427	48
79	816	427	48
81	854	388	55
83	854	388	55
85	1010	544	46
87	780	203	74
89	746	305	59
91	712	237	67
93	712	237	67
95	780	237	70
96		237	
ค่าเฉลี่ย			50.8475815
SD			9.87636884

- ผลการวิเคราะห์ค่าซีโอดีของเซลล์เชื้อเพลิงชีวภาพที่ 2 ในการทดลองช่วงที่ 1

วันที่	ความเข้มข้นซีโอดีขาเข้า (มิลลิกรัม/ลิตร)	ความเข้มข้นซีโอดีขาออก (มิลลิกรัม/ลิตร)	ประสิทธิภาพการบำบัด (%)
0	889		
2	1067	711	33
4	750	250	67
6	750	333	56
8	834	500	40
10	750	417	44
12	834	333	60
14	809	361	55

วันที่	ความเข้มข้นซีโอดีขาเข้า (มิลลิกรัม/ลิตร)	ความเข้มข้นซีโอดีขาออก (มิลลิกรัม/ลิตร)	ประสิทธิภาพการบำบัด (%)
16	809	333	59
18	827	480	42
20	827	373	55
22	800	347	57
24	792	372	53
26	689	396	43
28	792	343	57
30	876	356	59
32	876	383	56
34	794	383	52
36	657	329	50
38	734	278	62
40	810	304	63
42	734	329	55
44	805	377	53
46	780	352	55
48	805	377	53
55	800	400	50
57	800	327	59
59	800	436	45
61	800	182	77
63	800	436	45
65	800	327	59
69	897	410	54
71	1000	436	56
73	854	350	59
75	777	233	70
77	816	388	52
79	816	427	48
81	854	311	64
83	854	272	68
85	1010	388	62

วันที่	ความเข้มข้นซีโอดีขาเข้า (มิลลิกรัม/ลิตร)	ความเข้มข้นซีโอดีขาออก (มิลลิกรัม/ลิตร)	ประสิทธิภาพการบำบัด (%)
87	780	136	83
89	746	339	55
91	712	169	76
93	712	237	67
95	780	203	74
96		237	
ค่าเฉลี่ย			57
SD			10.0854124

- ผลการวิเคราะห์ค่าซีโอดีของการทดลองย่อยชุดที่ 1 ในการทดลองช่วงที่ 2

วันที่	ความเข้มข้นซีโอดีขาเข้า (มิลลิกรัม/ลิตร)	ความเข้มข้นซีโอดีขาออก (มิลลิกรัม/ลิตร)	ประสิทธิภาพการบำบัด (%)
0	816		
1	800	480	40
3	736	448	39
5	768	416	46
7	768	288	63
9	784	353	55
ค่าเฉลี่ย			48
SD			10

- ผลการวิเคราะห์ค่าซีโอดีของการทดลองย่อยชุดที่ 2 ในการทดลองช่วงที่ 2

วันที่	ความเข้มข้นซีโอดีขาเข้า (มิลลิกรัม/ลิตร)	ความเข้มข้นซีโอดีขาออก (มิลลิกรัม/ลิตร)	ประสิทธิภาพการบำบัด (%)
0	896		
1	800	480	40
3	736	448	39
5	768	384	50
7	768	352	54
9	824	314	62
ค่าเฉลี่ย			49
SD			10

- ผลการวิเคราะห์ขัลเฟตของเซลล์เชื้อเพลิงชีวภาพที่ 1 ในการทดลองช่วงที่ 1

วันที่	ความเข้มข้นขัลเฟตขาเข้า (มิลลิกรัม/ลิตร)	ความเข้มข้นขัลเฟตขาออก (มิลลิกรัม/ลิตร)	ประสิทธิภาพการบำบัด (%)
0	1458		
2	1402	1180	16
4	1499	1388	7
6	1472	1319	10
8	1499	1305	13
10	1333	1305	2
12	1472	1305	11
14	1472	1222	17
16	1485	1180	21
18	1472	1138	23
20	1569	1027	35
22	1485	944	36
24	1569	1277	19
26	1569	1194	24
28	1610	1138	29
30	1555	1110	29
32	1583	1110	30
34	1569	916	42
36	1555	1194	23
38	1583	999	37
40	1610	1055	34
42	1527	1110	27
44	1555	1166	25
46	1472	1222	17
48	1499	1277	15
55	1499	1055	30
57	1472	1110	25
59	1499	1388	7
61	1472	1360	8
63	1444	1249	13
65	1472	1194	19

วันที่	ความเข้มข้นชัลเฟตขาเข้า (มิลลิกรัม/ลิตร)	ความเข้มข้นชัลเฟตขาออก (มิลลิกรัม/ลิตร)	ประสิทธิภาพการบำบัด (%)
69	1472	1083	26
71	1333	1166	13
73	1333	1138	15
75	1472	1194	19
77	1472	1138	23
79	1472	1194	19
81	1472	1083	26
83	1472	1333	9
85	1472	1194	19
87	1499	1166	22
89	1527	1083	29
91	1472	1138	23
93	1472	1166	21
95	1472	1166	21
96		1055	
ค่าเฉลี่ย			21
SD			9

- ผลการวิเคราะห์ชัลเฟตของเซลล์เชื้อเพลิงชีวภาพที่ 2 ในการทดลองช่วงที่ 1

วันที่	ความเข้มข้นชัลเฟตขาเข้า (มิลลิกรัม/ลิตร)	ความเข้มข้นชัลเฟตขาออก (มิลลิกรัม/ลิตร)	ประสิทธิภาพการบำบัด (%)
0	1458		
2	1402	1180	16
4	1499	1416	6
6	1472	1319	10
8	1499	1305	13
10	1333	1305	2
12	1472	1305	11
14	1472	1152	22
16	1485	1027	31
18	1472	1027	30
20	1569	944	40

วันที่	ความเข้มข้นชัลเฟตชาเข้า (มิลลิกรัม/ลิตร)	ความเข้มข้นชัลเฟตชาออก (มิลลิกรัม/ลิตร)	ประสิทธิภาพการบำบัด (%)
22	1485	1027	31
24	1569	1277	19
26	1569	1194	24
28	1610	1166	28
30	1555	1222	21
32	1583	1194	25
34	1569	1194	24
36	1555	1194	23
38	1583	1194	25
40	1610	1222	24
42	1527	1138	25
44	1555	1166	25
46	1472	1055	28
48	1499	1305	13
55	1499	1110	26
57	1472	1166	21
59	1499	1444	4
61	1472	1360	8
63	1444	1305	10
65	1472	1333	9
69	1472	1166	21
71	1333	1194	10
73	1333	1222	8
75	1472	1388	6
77	1472	1333	9
79	1472	1277	13
81	1472	1360	8
83	1472	1305	11
85	1472	1333	9
87	1499	1166	22
89	1527	1222	20
91	1472	1166	21

วันที่	ความเข้มข้นชัลเฟตขาเข้า (มิลลิกรัม/ลิตร)	ความเข้มข้นชัลเฟตขาออก (มิลลิกรัม/ลิตร)	ประสิทธิภาพการบำบัด (%)
93	1472	1222	17
95	1472	1083	26
96		1194	
ค่าเฉลี่ย			18
SD			9

- ผลการวิเคราะห์ค่าชัลเฟตของการทดลองย่อยชุดที่ 1 ในการทดลองช่วงที่ 2

วันที่	ความเข้มข้นชัลเฟตขาเข้า (มิลลิกรัม/ลิตร)	ความเข้มข้นชัลเฟตขาออก (มิลลิกรัม/ลิตร)	ประสิทธิภาพการบำบัด (%)
0	1499		
3	1472	1360	8
5	1472	1333	9
7	1527	1277	16
9	1527	1249	18
ค่าเฉลี่ย			13
SD			5

- ผลการวิเคราะห์ค่าชัลเฟตของการทดลองย่อยชุดที่ 2 ในการทดลองช่วงที่ 2

วันที่	ความเข้มข้นชัลเฟตขาเข้า (มิลลิกรัม/ลิตร)	ความเข้มข้นชัลเฟตขาออก (มิลลิกรัม/ลิตร)
0	0	
3	0	27
5	0	27
7	0	27
9	0	0
ค่าเฉลี่ย		20
SD		14

- ผลการวิเคราะห์ค่าชัลเฟตของการทดลองย่อยขุ่นที่ 3 ในการทดลองช่วงที่ 2

วันที่	ความเข้มข้นชัลเฟตขาเข้า (มิลลิกรัม/ลิตร)	ความเข้มข้นชัลเฟตขาออก (มิลลิกรัม/ลิตร)
0	0	
1	0	0
2	0	406
3	0	433
4	0	514
5	0	460
6	0	541
7	0	460
8		379
ค่าเฉลี่ย		399
SD		57.33606889

- ผลการวิเคราะห์ค่าชัลไฟฟ์ด์ ในการทดลองช่วงที่ 1

วันที่	ความเข้มข้นชัลไฟฟ์ด์ของเซลล์ เชื้อเพลิงชีวภาพที่ 1 (มิลลิกรัม/ลิตร)	ความเข้มข้นชัลไฟฟ์ด์ของเซลล์ เชื้อเพลิงชีวภาพที่ 2 (มิลลิกรัม/ลิตร)
0	0	0
2	0.32	0.39
4	0.55	0.99
6	1.30	1.78
8	1.43	1.76
10	2.18	2.31
12	3.35	2.47
14	3.42	2.49
16	3.63	2.98
18	3.60	3.71
20	2.56	4.02
22	3.55	4.20
24	2.39	3.58
26	4.12	4.46
28	3.58	4.00

วันที่	ความเข้มข้นชัลไฟด์ของเซลล์ เชื้อเพลิงชีวภาพที่ 1 (มิลลิกรัม/ลิตร)	ความเข้มข้นชัลไฟด์ของเซลล์ เชื้อเพลิงชีวภาพที่ 2 (มิลลิกรัม/ ลิตร)
30	3.96	4.02
32	3.25	4.08
34	3.88	2.75
36	2.75	3.96
38	4.60	2.90
40	3.89	4.64
42	4.52	4.21
44	4.21	3.74
46	3.57	3.74
48	3.55	3.08
53	1.80	2.80
57	3.40	3.96
59	2.09	2.90
61	1.39	2.16
63	3.12	2.86
65	3.64	2.45
69	2.81	3.77
71	1.76	2.32
73	2.38	2.91
75	2.10	2.60
77	2.80	3.62
79	3.48	1.75
81	2.55	3.74
83	2.95	2.58
85	2.91	0.85
90	1.92	1.77
93	2.62	1.45
95	3.03	1.24
96	3.11	1.98
ค่าเฉลี่ย	2.787119998	2.785635661
SD	1.129763593	1.172073002

- ผลการวิเคราะห์ค่าขั้ลไฟฟ์ด์ของการทดลองย่อยชุดที่ 1 ในการทดลองช่วงที่ 2

วันที่	ความเข้มข้นขัลไฟฟ์ด์ขาเข้า (มิลลิกรัม/ลิตร)	ความเข้มข้นขัลไฟฟ์ด์ขาออก (มิลลิกรัม/ลิตร)
0	0	
1	0	2.49
2	0	3.28
3	0	3.02
4	0	3.76
5	0	3.42
7	0	2.16
9	0	3.03
ค่าเฉลี่ย		3.02
SD		0.55

- ผลการวิเคราะห์ค่าขัลไฟฟ์ด์ของการทดลองย่อยชุดที่ 2 ในการทดลองช่วงที่ 2

วันที่	ความเข้มข้นขัลไฟฟ์ด์ขาเข้า (มิลลิโมลาร์)	ความเข้มข้นขัลไฟฟ์ด์ขาออก (มิลลิโมลาร์)	ประสิทธิภาพการบำบัด (%)
0	3		
1	4	3	10
3	3	2	36
5	3	2	33
7	3	3	5
9	3	2	25
ค่าเฉลี่ย	3	2.7	22
SD	0.37	0.52	14

- ผลการวิเคราะห์ค่าขั้ลไฟฟ์ของกราฟทดลองย่อยชุดที่ 3 ในการทดลองช่วงที่ 2

วันที่	ความเข้มข้นขัลไฟฟ์ขาเข้า (มิลลิโมลาร์)	ความเข้มข้นขัลไฟฟ์ขาออก (มิลลิโมลาร์)	ประสิทธิภาพการบำบัด (%)
0	4.10		
1	4.22	1.79	58
2	4.19	0.24	94
3	4.40	0.28	94
4	4.13	0.17	96
5	4.28	0.25	94
6	4.46	0.13	97
7	4.10	0.21	95
8		0.06	
ค่าเฉลี่ย	4.23	0.39	90
SD	0.14	0.57	14

- ผลการวิเคราะห์ค่าความต่างศักย์ไฟฟ้าและความหนาแน่นกระแสไฟฟ้าของเซลล์เข็มเพลิงชีวภาพที่ 1 ในการทดลองช่วงที่ 1

วันที่	ความต่างศักย์ไฟฟ้า (โวลต์)	ความหนาแน่นกระแสไฟฟ้า (แอมป์/ตารางเมตร)
0	0.002	0.0008
1	0.006	0.0024
2	0.008	0.0032
3	0.018	0.0072
4	0.028	0.0112
5	0.052	0.0208
6	0.084	0.0336
7	0.079	0.0316
8	0.075	0.03
9	0.08	0.032
10	0.092	0.0368
11	0.088	0.0352
12	0.08	0.032
13	0.085	0.034
15	0.091	0.0364

วันที่	ความต่างศักย์ไฟฟ้า (โวลต์)	ความหนาแน่นกระแสไฟฟ้า (แอมป์/ตารางเมตร)
16	0.093	0.0372
17	0.082	0.0328
18	0.093	0.0372
19	0.077	0.0308
20	0.078	0.0312
21	0.076	0.0304
22	0.078	0.0312
24	0.062	0.0248
25	0.062	0.0248
26	0.065	0.026
27	0.052	0.0208
28	0.054	0.0216
29	0.036	0.0144
30	0.034	0.0136
31	0.036	0.0144
32	0.04	0.016
33	0.027	0.0108
34	0.032	0.0128
35	0.024	0.0096
36	0.027	0.0108
37	0.04	0.016
38	0.024	0.0096
39	0.022	0.0088
40	0.026	0.0104
41	0.024	0.0096
42	0.025	0.01
44	0.025	0.01
45	0.022	0.0088
46	0.024	0.0096
47	0.02	0.008
48	0.034	0.0136
49	0.021	0.0084

วันที่	ความต่างศักย์ไฟฟ้า (โวลต์)	ความหนาแน่นกระแสไฟฟ้า (แอมป์/ตารางเมตร)
51	0.024	0.0096
53	0.02	0.008
54	0.018	0.0072
55	0.02	0.008
56	0.019	0.0076
57	0.009	0.0036
58	0.013	0.0052
59	0.017	0.0068
60	0.014	0.0056
61	0.022	0.0088
62	0.019	0.0076
63	0.016	0.0064
64	0.023	0.0092
65	0.021	0.0084
66	0.012	0.0048
67	0.02	0.008
68	0.014	0.0056
69	0.014	0.0056
70	0.02	0.008
71	0.015	0.006
72	0.015	0.006
73	0.023	0.0092
74	0.016	0.0064
75	0.014	0.0056
76	0.012	0.0048
77	0.023	0.0092
78	0.021	0.0084
79	0.024	0.0096
80	0.03	0.012
81	0.016	0.0064
82	0.013	0.0052
83	0.052	0.0208

วันที่	ความต่างศักย์ไฟฟ้า (โวลต์)	ความหนาแน่นกระแสไฟฟ้า (แอมป์/ตารางเมตร)
85	0.049	0.0196
87	0.059	0.0236
88	0.047	0.0188
89	0.032	0.0128
90	0.146	0.0584
91	0.094	0.0376
92	0.055	0.022
93	0.057	0.0228
94	0.024	0.0096
95	0.015	0.006
96	0.009	0.0036

- ผลการวิเคราะห์ค่าความต่างศักย์ไฟฟ้าและความหนาแน่นกระแสไฟฟ้าของเซลล์
เข็มเพลิงชีวภาพที่ 2 ในการทดลองช่วงที่ 1

วันที่	ความต่างศักย์ไฟฟ้า (โวลต์)	ความหนาแน่นกระแสไฟฟ้า (แอมป์/ตารางเมตร)
0	0.006	0.0024
1	0.054	0.0216
2	0.056	0.0224
3	0.058	0.0232
4	0.077	0.0308
5	0.08	0.032
6	0.104	0.0416
7	0.12	0.048
8	0.125	0.05
9	0.141	0.0564
10	0.142	0.0568
11	0.137	0.0548
12	0.137	0.0548
13	0.141	0.0564
15	0.13	0.052
16	0.134	0.0536

วันที่	ความต่างศักย์ไฟฟ้า (โวลต์)	ความหนาแน่นกระแสไฟฟ้า (แอมป์/ตารางเมตร)
17	0.123	0.0492
18	0.132	0.0528
19	0.12	0.048
20	0.12	0.048
21	0.117	0.0468
22	0.113	0.0452
24	0.062	0.0248
25	0.056	0.0224
26	0.055	0.022
27	0.046	0.0184
28	0.044	0.0176
29	0.04	0.016
30	0.044	0.0176
31	0.048	0.0192
32	0.04	0.016
33	0.043	0.0172
34	0.049	0.0196
35	0.034	0.0136
36	0.041	0.0164
37	0.036	0.0144
38	0.029	0.0116
39	0.046	0.0184
40	0.044	0.0176
41	0.044	0.0176
42	0.042	0.0168
44	0.05	0.02
45	0.05	0.02
46	0.042	0.0168
47	0.044	0.0176
48	0.046	0.0184
49	0.033	0.0132
51	0.032	0.0128

วันที่	ความต่างศักย์ไฟฟ้า (โวลต์)	ความหนาแน่นกระแสไฟฟ้า (แอมป์/ตารางเมตร)
53	0.03	0.012
54	0.04	0.016
55	0.032	0.0128
56	0.04	0.016
57	0.027	0.0108
58	0.031	0.0124
59	0.027	0.0108
60	0.036	0.0144
61	0.036	0.0144
62	0.043	0.0172
63	0.039	0.0156
64	0.036	0.0144
65	0.043	0.0172
66	0.06	0.024
67	0.041	0.0164
68	0.04	0.016
69	0.044	0.0176
70	0.05	0.02
71	0.041	0.0164
72	0.045	0.018
73	0.039	0.0156
74	0.023	0.0092
75	0.03	0.012
76	0.031	0.0124
77	0.032	0.0128
78	0.031	0.0124
79	0.028	0.0112
80	0.026	0.0104
81	0.024	0.0096
82	0.108	0.0432
83	0.158	0.0632
84	0.155	0.062

วันที่	ความต่างศักย์ไฟฟ้า (โวลต์)	ความหนาแน่นกระแสไฟฟ้า (แอมป์/ตารางเมตร)
85	0.176	0.0704
87	0.164	0.0656
88	0.145	0.058
89	0.173	0.0692
90	0.143	0.0572
91	0.179	0.0716
92	0.17	0.068
93	0.171	0.0684
94	0.178	0.0712
95	0.172	0.0688
96	0.17	0.068

- ผลการวิเคราะห์ค่าความต่างศักย์ไฟฟ้าในเซลล์เชื้อเพลิงชีวภาพของการทดลองช่วงที่ 2

วันที่	การทดลองย่อยชุดที่ (1)	การทดลองย่อยชุดที่ (2)	การทดลองย่อยชุดที่ (3)
0	0.104	0.006	0.018
1	0.018	0.005	0.005
2	0.027	0.049	0.013
3	0.022	0.006	0.014
4	0.024	0.003	0.017
5	0.042	0.002	0.012
7	0.015	0.007	0.011
8	0.014	0.025	0.009
ค่าเฉลี่ย	0.022	0.0119	0.012
SD	0.009	0.0155	0.004093

- ผลการวิเคราะห์ชนิดจุลินทรีย์ในตัวอย่างตะกอนเริ่มต้น

Phylum	Class	Genus	num_hits	%_hits
Unclassified			7396	1.625
Firmicutes	Clostridia	Clostridium	79004	17.36
Firmicutes	Clostridia	Soehngenia	17391	3.821
Firmicutes	Clostridia		11088	2.436
Firmicutes	Clostridia	Clostridium	10920	2.4

Phylum	Class	Genus	num_hits	%_hits
Bacteroidetes	Sphingobacteriia	Olivibacter	10684	2.348
Firmicutes	Bacilli	Turicibacter	9490	2.085
Firmicutes	Bacilli	Trichococcus	8191	1.8
Firmicutes	Clostridia	Clostridium	7583	1.666
Firmicutes	Clostridia	Tepidibacter	7031	1.545
Chloroflexi	Anaerolineae	Longilinea	6024	1.324
Chloroflexi	Anaerolineae	Bellilinea	5460	1.2
Firmicutes	Clostridia	Clostridium	5429	1.193
Firmicutes	Clostridia	Alkaliphilus	5352	1.176
Firmicutes	Clostridia	Peptostreptococcus	5248	1.153
Firmicutes	Clostridia		5073	1.115
Actinobacteria	Actinobacteria	Actinobaculum	4684	1.029
Firmicutes	Clostridia	Clostridium	4663	1.025
Bacteroidetes	Bacteroidia	Dysgonomonas	4205	0.924
Firmicutes	Bacilli	Turicibacter	4077	0.896
Firmicutes	Clostridia	Clostridium	3929	0.863
Firmicutes	Clostridia	Carboxydocella	3610	0.793
Actinobacteria	Actinobacteria	Georgenia	3332	0.732
Firmicutes	Clostridia	Heliorestis	3322	0.73
Firmicutes	Clostridia	Clostridium	3147	0.692
Firmicutes	Clostridia	Blautia	3056	0.672
Firmicutes	Clostridia	Sarcina	3006	0.661
Proteobacteria	Betaproteobacteria	Comamonas	2855	0.627
Firmicutes	Clostridia		2782	0.611
Proteobacteria	Alphaproteobacteria	Rhodoplanes	2730	0.6
Firmicutes	Clostridia	Slackia	2614	0.574
Firmicutes	Clostridia	Atopobium	2491	0.547
Proteobacteria	Alphaproteobacteria	Pedomicrobium	2434	0.535
Firmicutes	Clostridia	Clostridium	2378	0.523
Firmicutes	Clostridia	Clostridium	2312	0.508
Firmicutes	Bacilli	Bacillus	2287	0.503
Actinobacteria	Actinobacteria	Corynebacterium	2272	0.499
Firmicutes	Clostridia	Clostridium	2248	0.494

Phylum	Class	Genus	num_hits	%_hits
Firmicutes	Bacilli		2106	0.463
Chloroflexi	Anaerolineae		1958	0.43
Proteobacteria	Alphaproteobacteria	Inquilinus	1889	0.415
Actinobacteria	Actinobacteria	Actinomyces	1857	0.408
Firmicutes	Clostridia	Clostridium	1830	0.402
Firmicutes	Clostridia	Alkaliphilus	1806	0.397
Firmicutes	Bacilli	Thermobacillus	1769	0.389
Euryarchaeota	Methanobacteria	Methanobacterium	1720	0.378
Firmicutes	Clostridia	Syntrophomonas	1586	0.349
Proteobacteria	Deltaproteobacteria		1576	0.346
Proteobacteria	Alphaproteobacteria	Defluvibacter	1496	0.329
Proteobacteria	Alphaproteobacteria	Hyphomicrobium	1471	0.323
Actinobacteria	Actinobacteria	Mycobacterium	1410	0.31
Firmicutes	Bacilli	Vagococcus	1347	0.296
Proteobacteria	Betaproteobacteria		1339	0.294
Firmicutes	Clostridia	Sedimentibacter	1260	0.277
Proteobacteria	Deltaproteobacteria	Desulfobacca	1259	0.277
Proteobacteria	Alphaproteobacteria	Amaricoccus	1162	0.255
Firmicutes	Clostridia	Carboxydocella	1145	0.252
Firmicutes	Clostridia	Tindallia	1130	0.248
Firmicutes	Clostridia	Acetohalobium	1118	0.246
Proteobacteria	Alphaproteobacteria		1117	0.245
Firmicutes	Clostridia	Natronincola	1114	0.245
Actinobacteria	Actinobacteria		1107	0.243
Proteobacteria	Alphaproteobacteria	Hyphomicrobium	1097	0.241
Chloroflexi	Dehalococcoidetes	Dehalogenimonas	1084	0.238
Firmicutes	Clostridia	Clostridium	1078	0.237
Firmicutes	Clostridia	Clostridium	1077	0.237
Actinobacteria	Actinobacteria	Streptomyces	1048	0.23
Firmicutes	Clostridia	Clostridium	1022	0.225
Actinobacteria	Actinobacteria	Leucobacter	1016	0.223
Firmicutes	Clostridia	Caloramator	1015	0.223
Firmicutes	Clostridia	Caldicellulosiruptor	981	0.216

Phylum	Class	Genus	num_hits	%_hits
Actinobacteria	Thermoleophilia	Conexibacter	978	0.215
Actinobacteria	Acidimicrobia	Acidimicrobium	957	0.21
Firmicutes	Clostridia	Alkaliphilus	953	0.209
Firmicutes	Clostridia	Clostridium	946	0.208
Firmicutes	Clostridia	Anaerobranca	939	0.206
Actinobacteria	Actinobacteria	Corynebacterium	930	0.204
Bacteroidetes	Sphingobacteriia		926	0.203
Synergistetes	Synergistia	Dethiosulfovibrio	912	0.2

- ผลการวิเคราะห์ขั้นดูลินทรีในตัวอย่างตะกอนช่วงที่มีกระแสไฟฟ้าสูง

Phylum	Class	Genus	num_hits	%_hits
Unclassified			1522	0.621
Firmicutes	Clostridia	Clostridium	71155	29.018
Firmicutes	Clostridia	Clostridium	11539	4.706
Firmicutes	Clostridia	Clostridium	8703	3.549
Firmicutes	Clostridia	Soehngenia	6041	2.464
Firmicutes	Clostridia		5110	2.084
Firmicutes	Clostridia	Tepidibacter	4954	2.02
Firmicutes	Clostridia	Clostridium	3659	1.492
Bacteroidetes	Flavobacteriia		3539	1.443
Firmicutes	Bacilli	Trichococcus	3235	1.319
Firmicutes	Clostridia	Clostridium	3212	1.31
Bacteroidetes	Sphingobacteriia	Olivibacter	3093	1.261
Firmicutes	Clostridia	Clostridium	3079	1.256
Firmicutes	Clostridia	Clostridium	2996	1.222
Firmicutes	Clostridia	Clostridium	2905	1.185
Firmicutes	Clostridia	Clostridium	2740	1.117
Firmicutes	Bacilli	Turicibacter	2678	1.092
Firmicutes	Clostridia	Clostridium	2195	0.895
Firmicutes	Clostridia	Alkaliphilus	2132	0.869
Firmicutes	Clostridia		2100	0.856
Firmicutes	Clostridia	Peptostreptococcus	2084	0.85
Firmicutes	Clostridia	Sarcina	1815	0.74

Phylum	Class	Genus	num_hits	%_hits
Firmicutes	Bacilli	Turicibacter	1724	0.703
Firmicutes	Clostridia		1631	0.665
Firmicutes	Clostridia	Clostridium	1429	0.583
Firmicutes	Clostridia	Carboxydocella	1363	0.556
Bacteroidetes	Bacteroidia	Dysgomononas	1338	0.546
Chloroflexi	Anaerolineae	Bellilinea	1268	0.517
Cyanobacteria	Synechococcophycideae	Leptolyngbya	1089	0.444
Actinobacteria	Actinobacteria	Georgenia	1062	0.433
Firmicutes	Clostridia	Clostridium	1009	0.411
Firmicutes	Clostridia	Clostridium	979	0.399
Firmicutes	Clostridia	Blautia	944	0.385
Chloroflexi	Anaerolineae	Longilinea	923	0.376
Bacteroidetes	Bacteroidia	Parabacteroides	847	0.345
Firmicutes	Clostridia	Anaerovibrio	809	0.33
Proteobacteria	Gammaproteobacteria	Acinetobacter	798	0.325
Actinobacteria	Actinobacteria	Actinobaculum	792	0.323
Firmicutes	Clostridia	Slackia	787	0.321
Proteobacteria	Delta proteobacteria		766	0.312
Firmicutes	Bacilli	Thermobacillus	744	0.303
Firmicutes	Bacilli	Vagococcus	722	0.294
Firmicutes	Clostridia	Syntrophomonas	715	0.292
Firmicutes	Bacilli		711	0.29
Firmicutes	Clostridia	Clostridium	692	0.282
Proteobacteria	Alphaproteobacteria	Rhodoplanes	688	0.281
Actinobacteria	Actinobacteria	Corynebacterium	683	0.279
Firmicutes	Clostridia	Clostridium	679	0.277
Firmicutes	Clostridia	Clostridium	667	0.272
Proteobacteria	Alphaproteobacteria	Pedomicrobium	662	0.27
Firmicutes	Clostridia	Atopobium	659	0.269
Firmicutes	Clostridia	Clostridium	622	0.254
Firmicutes	Clostridia	Clostridium	615	0.251
Proteobacteria	Gammaproteobacteria	Acinetobacter	586	0.239
Bacteroidetes	Sphingobacteriia		579	0.236

Phylum	Class	Genus	num_hits	%_hits
Firmicutes	Clostridia	Caldicellulosiruptor	576	0.235
Actinobacteria	Actinobacteria	Mycobacterium	562	0.229
Synergistetes	Synergistia	Dethiosulfovibrio	551	0.225
Actinobacteria	Actinobacteria	Corynebacterium	544	0.222
Proteobacteria	Alphaproteobacteria	Inquilinus	540	0.22
Firmicutes	Clostridia	Clostridium	537	0.219
Firmicutes	Clostridia	Clostridium	534	0.218
Actinobacteria	Actinobacteria	Actinomyces	533	0.217
Firmicutes	Clostridia	Caloramator	522	0.213
Firmicutes	Clostridia	Sedimentibacter	491	0.2
Firmicutes	Clostridia	Carboxydocella	484	0.197
Firmicutes	Clostridia	Propionispora	458	0.187
Firmicutes	Bacilli	Bacillus	457	0.186
Bacteroidetes	Sphingobacteriia	Pedobacter	449	0.183
Bacteroidetes	Bacteroidia	Porphyromonas	449	0.183
Proteobacteria	Delta proteobacteria	Desulfovibrio	439	0.179
Proteobacteria	Epsilon proteobacteria	Sulfurospirillum	438	0.179
Proteobacteria	Delta proteobacteria	Desulfococcus	430	0.175
Proteobacteria	Alphaproteobacteria	Hyphomicrobium	420	0.171
Firmicutes	Clostridia	Anaerobranca	409	0.167
Chloroflexi	Anaerolineae		407	0.166
Proteobacteria	Gammaproteobacteria	Ectothiorhodospira	404	0.165
Firmicutes	Clostridia	Clostridium	401	0.164
Actinobacteria	Actinobacteria		395	0.161
Firmicutes	Clostridia	Natronincola	364	0.148
Firmicutes	Clostridia	Acidaminobacter	350	0.143
Euryarchaeota	Methanobacteria	Methanobacterium	348	0.142
Proteobacteria	Alphaproteobacteria	Hyphomicrobium	343	0.14
Firmicutes	Clostridia	Sedimentibacter	342	0.139
Proteobacteria	Delta proteobacteria	Haliangium	339	0.138
Firmicutes	Clostridia	Clostridium	332	0.135
Firmicutes	Clostridia	Clostridium	328	0.134
Chloroflexi	Dehalococcoidetes	Dehalogenimonas	320	0.13

Phylum	Class	Genus	num_hits	%_hits
Actinobacteria	Actinobacteria	Corynebacterium	309	0.126
Firmicutes	Clostridia	Faecalibacterium	305	0.124
Firmicutes	Clostridia	Tindallia	296	0.121
Proteobacteria	Deltaproteobacteria	Desulfobulbus	292	0.119
Proteobacteria	Alphaproteobacteria		285	0.116
Proteobacteria	Deltaproteobacteria	Desulfosarcina	282	0.115
Actinobacteria	Actinobacteria	Leucobacter	280	0.114
Firmicutes	Clostridia	Clostridium	259	0.106
Firmicutes	Erysipelotrichi	Holdemania	258	0.105
Firmicutes	Clostridia	Peptoniphilus	257	0.105
Actinobacteria	Thermoleophilia	Conexibacter	255	0.104
Proteobacteria	Deltaproteobacteria	Cystobacter	252	0.103
Synergistetes	Synergistia	Aminiphilus	252	0.103
Actinobacteria	Acidimicrobia	Acidimicrobium	252	0.103
Fibrobacteres	Fibrobacteria	Fibrobacter	250	0.102
Chloroflexi	Anaerolineae	Anaerolinea	247	0.101
Firmicutes	Clostridia	Pectinatus	245	0.1

- ผลการวิเคราะห์ชนิดจุลินทรีย์ในตัวอย่างตะกอนช่วงปิดระบบ

Phylum	Class	Genus	num_hits	%_hits
Unclassified			861	0.216
Proteobacteria	Gammaproteobacteria	Ectothiorhodospira	37709	9.44
Firmicutes	Clostridia	Clostridium	32533	8.144
Proteobacteria	Deltaproteobacteria	Desulfococcus	30819	7.715
Proteobacteria	Deltaproteobacteria	Desulfosarcina	21764	5.448
Bacteroidetes	Sphingobacteriia	Olivibacter	16031	4.013
Proteobacteria	Deltaproteobacteria	Desulfobulbus	9262	2.319
Proteobacteria	Deltaproteobacteria	Desulfovibrio	7594	1.901
Proteobacteria	Deltaproteobacteria	Desulfomicrobium	7203	1.803
Proteobacteria	Gammaproteobacteria	Halorhodospira	6640	1.662
Proteobacteria	Deltaproteobacteria	Desulfuromonas	6283	1.573
Proteobacteria	Deltaproteobacteria	Desulfovibrio	6129	1.534
Firmicutes	Clostridia	Clostridium	6000	1.502

Phylum	Class	Genus	num_hits	%_hits
Proteobacteria	Deltaproteobacteria	Desulfosarcina	5518	1.381
Proteobacteria	Gammaproteobacteria	Halomonas	5433	1.36
Firmicutes	Clostridia		5378	1.346
Firmicutes	Clostridia	Caldicellulosiruptor	3851	0.964
Proteobacteria	Deltaproteobacteria	Desulfovibrio	3751	0.939
Firmicutes	Clostridia	Clostridium	3684	0.922
Firmicutes	Clostridia	Carboxydocella	3374	0.845
Proteobacteria	Deltaproteobacteria	Desulfobacter	3372	0.844
Synergistetes	Synergistia	Aminobacterium	2893	0.724
Proteobacteria	Deltaproteobacteria	Desulfomicrobium	2831	0.709
Proteobacteria	Deltaproteobacteria	Desulfobulbus	2597	0.65
Firmicutes	Clostridia	Clostridium	2486	0.622
Firmicutes	Clostridia	Oscillospira	2476	0.62
Proteobacteria	Gammaproteobacteria		2397	0.6
Proteobacteria	Deltaproteobacteria	Desulfovibrio	2233	0.559
Proteobacteria	Deltaproteobacteria		2230	0.558
Bacteroidetes	Bacteroidia	Dysgonomonas	2187	0.547
Fibrobacteres	Fibrobacteria	Fibrobacter	2045	0.512
Synergistetes	Synergistia	Candidatus Tammella	2028	0.508
Firmicutes	Clostridia	Clostridium	1909	0.478
Chloroflexi	Anaerolineae	Longilinea	1822	0.456
Firmicutes	Clostridia	Pseudoramibacter	1780	0.446
Proteobacteria	Deltaproteobacteria	Desulfobulbus	1776	0.445
Firmicutes	Clostridia	Sulfobacillus	1761	0.441
Firmicutes	Bacilli	Trichococcus	1758	0.44
Proteobacteria	Deltaproteobacteria	Desulfonatrum	1733	0.434
Proteobacteria	Gammaproteobacteria		1661	0.416
Chloroflexi	Anaerolineae	Bellilinea	1557	0.39
Proteobacteria	Deltaproteobacteria	Desulfonatrum	1553	0.389
Proteobacteria	Deltaproteobacteria	Syntrophus	1512	0.378
Spirochaetes	Spirochaetes	Treponema	1490	0.373
Firmicutes	Bacilli	Turicibacter	1483	0.371

Phylum	Class	Genus	num_hits	%_hits
Proteobacteria	Deltaproteobacteria	Desulfomicrobium	1415	0.354
Proteobacteria	Deltaproteobacteria		1390	0.348
Firmicutes	Clostridia		1278	0.32
Proteobacteria	Deltaproteobacteria	Desulfomonile	1250	0.313
Proteobacteria	Deltaproteobacteria		1173	0.294
Cyanobacteria	Synechococcophycideae	Leptolyngbya	1127	0.282
Firmicutes	Clostridia	Carboxydocella	1127	0.282
Firmicutes	Bacilli	Turicibacter	1115	0.279
Bacteroidetes	Sphingobacteriia		1081	0.271
Firmicutes	Clostridia	Clostridium	1069	0.268
Firmicutes	Clostridia		1026	0.257
Synergistetes	Synergistia	Dethiosulfovibrio	1012	0.253
Bacteroidetes	Sphingobacteriia	Pedobacter	991	0.248
Proteobacteria	Deltaproteobacteria	Desulfonatrum	968	0.242
Synergistetes	Synergistia	Aminiphilus	944	0.236
Firmicutes	Clostridia	Sarcina	932	0.233
Firmicutes	Clostridia	Syntrophomonas	894	0.224
Bacteroidetes	Flavobacteriia		878	0.22
Firmicutes	Clostridia	Thermovenabulum	871	0.218
Proteobacteria	Deltaproteobacteria		858	0.215
Proteobacteria	Deltaproteobacteria	Desulfomicrobium	857	0.215
Firmicutes	Clostridia	Slackia	853	0.214
Bacteroidetes	Sphingobacteriia	Pedobacter	852	0.213
Proteobacteria	Deltaproteobacteria		835	0.209
Firmicutes	Clostridia	Peptostreptococcus	829	0.208
Firmicutes	Clostridia	Alkaliphilus	818	0.205
Firmicutes	Clostridia	Clostridium	806	0.202
Proteobacteria	Deltaproteobacteria	Desulfovibrio	744	0.186
Caldithrix	Caldithrixae	Caldithrix	723	0.181
Firmicutes	Clostridia	Soehngenia	717	0.17
Proteobacteria	Deltaproteobacteria	Desulfovibrio	702	0.176
Proteobacteria	Deltaproteobacteria	Desulfobacterium	691	0.173
Firmicutes	Clostridia	Blautia	682	0.171

Phylum	Class	Genus	num_hits	%_hits
Proteobacteria	Alphaproteobacteria	Pedomicrobium	680	0.17
Proteobacteria	Deltaproteobacteria	Syntrophobacter	679	0.17
Chlorobi	Ignavibacteria	Ignavibacterium	663	0.166
Firmicutes	Clostridia	Ammonifex	640	0.16
Actinobacteria	Actinobacteria	Actinobaculum	625	0.156
Firmicutes	Clostridia	Faecalibacterium	612	0.153
Actinobacteria	Actinobacteria	Georgenia	598	0.15
Proteobacteria	Betaproteobacteria	Deefgea	597	0.149
Firmicutes	Clostridia	Clostridium	595	0.149
Firmicutes	Clostridia	Atopobium	584	0.146
Proteobacteria	Deltaproteobacteria	Desulfobacca	578	0.145
Caldithrix	Caldithrixae	Caldithrix	567	0.142
Tenericutes	Mollicutes	Acholeplasma	563	0.141
Firmicutes	Clostridia	Clostridium	545	0.136
Proteobacteria	Deltaproteobacteria	Haliangium	541	0.135
Proteobacteria	Alphaproteobacteria	Cohaesibacter	529	0.132
Proteobacteria	Alphaproteobacteria	Rhodoplanes	520	0.13
Proteobacteria	Deltaproteobacteria	Desulfacinum	502	0.126
Firmicutes	Bacilli	Vagococcus	498	0.125
Proteobacteria	Deltaproteobacteria	Cystobacter	497	0.124
Proteobacteria	Deltaproteobacteria	Desulfofrigus	489	0.122
Firmicutes	Clostridia	Clostridium	483	0.121
Proteobacteria	Gammaproteobacteria	Ectothiorhodospira	477	0.119
Firmicutes	Clostridia	Clostridium	472	0.118
Proteobacteria	Alphaproteobacteria		468	0.117
Chloroflexi	Anaerolineae		464	0.116
Euryarchaeota	Methanobacteria	Methanobacterium	451	0.113
Proteobacteria	Gammaproteobacteria	Acinetobacter	446	0.112
Proteobacteria	Alphaproteobacteria	Inquilinus	446	0.112
Firmicutes	Bacilli	Thermobacillus	432	0.108
Actinobacteria	Actinobacteria	Actinomyces	423	0.106
Actinobacteria	Actinobacteria		420	0.105
Bacteroidetes	Sphingobacteriia	Rhodothermus	418	0.105

- ผลการวิเคราะห์ขั้นิดจุลทรีในตัวอย่างตะกอนบริเวณข้าวแฉونด

Phylum	Class	Genus	num_hits	%_hits
Unclassified			8151	2.224
Proteobacteria	Betaproteobacteria	Thiobacillus	67949	18.539
Proteobacteria	Gammaproteobacteria	Rhodanobacter	22436	6.121
Proteobacteria	Deltaproteobacteria	Desulfomicrobium	19413	5.297
Proteobacteria	Gammaproteobacteria	Alishewanella	10501	2.865
Proteobacteria	Betaproteobacteria	Thiobacillus	9661	2.636
Firmicutes	Clostridia	Clostridium	9412	2.568
Bacteroidetes	Flavobacteriia	Flavobacterium	9184	2.506
Firmicutes	Clostridia	Clostridium	8794	2.399
Proteobacteria	Alphaproteobacteria	Paracoccus	7783	2.123
Bacteroidetes	Sphingobacteriia	Olivibacter	7149	1.951
Proteobacteria	Deltaproteobacteria	Desulfovibrio	7030	1.918
Proteobacteria	Alphaproteobacteria	Sphingomonas	5598	1.527
Proteobacteria	Deltaproteobacteria	Desulfomicrobium	5365	1.464
Bacteroidetes	Sphingobacteriia	Pedobacter	4925	1.344
Firmicutes	Clostridia	Pseudoramibacter	4497	1.227
Proteobacteria	Alphaproteobacteria	Paracoccus	4327	1.181
Proteobacteria	Betaproteobacteria	Thiomonas	4047	1.104
Proteobacteria	Alphaproteobacteria		3613	0.986
Proteobacteria	Alphaproteobacteria	Shinella	3253	0.888
Proteobacteria	Deltaproteobacteria	Desulfococcus	3191	0.871
Proteobacteria	Gammaproteobacteria	Ectothiorhodospira	3174	0.866
Proteobacteria	Gammaproteobacteria	Rhodanobacter	2718	0.742
Proteobacteria	Betaproteobacteria	Thiobacillus	2416	0.659
Proteobacteria	Betaproteobacteria	Thiobacillus	2379	0.649
Proteobacteria	Gammaproteobacteria	Methylocaldum	2285	0.623
Synergistetes	Synergistia	Candidatus Tammella	1919	0.524
Bacteroidetes	Sphingobacteriia	Sphingobacterium	1852	0.505
Bacteroidetes	Bacteroidia	Dysgonomonas	1814	0.495
Proteobacteria	Deltaproteobacteria	Desulfobulbus	1811	0.494
Proteobacteria	Deltaproteobacteria	Desulfovibrio	1707	0.466

Phylum	Class	Genus	num_hits	%_hits
Proteobacteria	Alphaproteobacteria	Hyphomonas	1508	0.411
Proteobacteria	Epsilonproteobacteria	Arcobacter	1490	0.407
Firmicutes	Clostridia	Clostridium	1488	0.406
Proteobacteria	Deltaproteobacteria	Desulfovibrio	1372	0.374
Proteobacteria	Gammaproteobacteria	Rheinheimera	1260	0.344
Firmicutes	Clostridia	Clostridium	1235	0.337
Proteobacteria	Alphaproteobacteria	Ruegeria	1187	0.324
Bacteroidetes	Sphingobacteriia	Pedobacter	1172	0.32
Proteobacteria	Gammaproteobacteria	Methylocaldum	1149	0.313
Proteobacteria	Alphaproteobacteria	Paracoccus	1142	0.312
Firmicutes	Clostridia	Oscillospira	1097	0.299
Bacteroidetes	Sphingobacteriia		1078	0.294
Proteobacteria	Gammaproteobacteria	Halorhodospira	1062	0.29
Proteobacteria	Alphaproteobacteria	Phaeobacter	1020	0.278
Proteobacteria	Deltaproteobacteria	Desulfocapsa	1013	0.276
Synergistetes	Synergistia	Dethiosulfovibrio	993	0.271
Proteobacteria	Betaproteobacteria	Achromobacter	954	0.26
Proteobacteria	Gammaproteobacteria		874	0.238
Spirochaetes	Spirochaetes	Treponema	874	0.238
Proteobacteria	Gammaproteobacteria	Pseudoxanthomonas	858	0.234
Proteobacteria	Alphaproteobacteria	Rhodobacter	835	0.228
Proteobacteria	Gammaproteobacteria	Rheinheimera	828	0.226
Proteobacteria	Alphaproteobacteria	Paracoccus	821	0.224
Proteobacteria	Gammaproteobacteria		814	0.222
Bacteroidetes	Flavobacteriia	Arenibacter	807	0.22
Proteobacteria	Alphaproteobacteria	Hyphomicrobium	804	0.219
Proteobacteria	Alphaproteobacteria	Brevundimonas	803	0.219
Proteobacteria	Alphaproteobacteria	Mycoplana	792	0.216
Bacteroidetes	Sphingobacteriia	Pedobacter	774	0.211
Proteobacteria	Alphaproteobacteria	Devosia	771	0.21
Proteobacteria	Betaproteobacteria		750	0.205
Proteobacteria	Gammaproteobacteria	Thioalkalivibrio	749	0.204
Proteobacteria	Gammaproteobacteria	Pseudomonas	738	0.201

Phylum	Class	Genus	num_hits	%_hits
Bacteroidetes	Flavobacteriia		735	0.201
Firmicutes	Clostridia	Alkaliphilus	729	0.199
Proteobacteria	Betaproteobacteria	Achromobacter	721	0.197
Firmicutes	Clostridia	Clostridium	701	0.191
Proteobacteria	Alphaproteobacteria	Anaerospora	700	0.191
Proteobacteria	Deltaproteobacteria	Desulfotalea	694	0.189
Proteobacteria	Deltaproteobacteria	Desulfosarcina	691	0.189
Proteobacteria	Betaproteobacteria	Thiomonas	688	0.188
Proteobacteria	Alphaproteobacteria	Hyphomonas	664	0.181
Chloroflexi	Anaerolineae	Bellilinea	659	0.18
Proteobacteria	Gammaproteobacteria	Pseudomonas	650	0.177
Proteobacteria	Deltaproteobacteria	Desulfuromonas	650	0.177
Firmicutes	Clostridia		646	0.176
Proteobacteria	Deltaproteobacteria	Desulfomonile	634	0.173
Bacteroidetes	Sphingobacteriia	Sphingobacterium	631	0.172
Firmicutes	Clostridia	Peptococcus	619	0.169
Proteobacteria	Betaproteobacteria	Thauera	607	0.166
Proteobacteria	Gammaproteobacteria	Glaciecola	606	0.165
Cyanobacteria	Synechococcophycideae	Leptolyngbya	606	0.165
Proteobacteria	Alphaproteobacteria		598	0.163
Proteobacteria	Deltaproteobacteria	Desulfovibrio	580	0.158
Proteobacteria	Alphaproteobacteria	Phaeobacter	571	0.156
Firmicutes	Bacilli	Macrococcus	556	0.152
Firmicutes	Clostridia	Ammonifex	548	0.15
Proteobacteria	Deltaproteobacteria	Desulfomicrobium	538	0.147
Proteobacteria	Deltaproteobacteria	Desulfosarcina	534	0.146
Proteobacteria	Alphaproteobacteria		518	0.141
Proteobacteria	Deltaproteobacteria	Desulfonatronum	511	0.139
Proteobacteria	Deltaproteobacteria		509	0.139
Proteobacteria	Gammaproteobacteria	Rhodanobacter	508	0.139
Proteobacteria	Gammaproteobacteria	Pseudoxanthomonas	497	0.136
Proteobacteria	Alphaproteobacteria		495	0.135
Proteobacteria	Deltaproteobacteria	Desulfomonile	485	0.132

Phylum	Class	Genus	num_hits	%_hits
Firmicutes	Clostridia	Clostridium	476	0.13
Proteobacteria	Alphaproteobacteria	Kaistobacter	475	0.13
Proteobacteria	Gammaproteobacteria	Halomonas	471	0.129
Proteobacteria	Alphaproteobacteria	Paracoccus	450	0.123
Proteobacteria	Deltaproteobacteria	Desulfovibrio	443	0.121
Proteobacteria	Alphaproteobacteria	Roseivivax	441	0.12
Proteobacteria	Alphaproteobacteria	Agrobacterium	441	0.12
Proteobacteria	Deltaproteobacteria	Desulfobacterium	434	0.118
Firmicutes	Clostridia		433	0.118
Proteobacteria	Deltaproteobacteria		409	0.112
Firmicutes	Clostridia	Sulfbacillus	409	0.112
Proteobacteria	Alphaproteobacteria	Hyphomonas	392	0.107
Firmicutes	Clostridia		389	0.106
Proteobacteria	Deltaproteobacteria	Desulfovibrio	386	0.105
Proteobacteria	Deltaproteobacteria	Desulfovibrio	385	0.105

ประวัติผู้เขียนวิทยานิพนธ์

ชื่อ นางสาวอชิรญา แสงเจริญ เกิดวันที่ 19 มกราคม พ.ศ. 2532 สำเร็จการศึกษาระดับปริญญาตรี ในหลักสูตรวิทยาศาสตร์บัณฑิต สาขาวิชาวิทยาศาสตร์สิ่งแวดล้อม คณะวิทยาศาสตร์ จุฬาลงกรณ์มหาวิทยาลัย ปีการศึกษา 2554 และเข้าศึกษาต่อในหลักสูตรวิศวกรรมศาสตร์ มหาบัณฑิต ที่ภาควิชาวิศวกรรมสิ่งแวดล้อม คณะวิศวกรรมศาสตร์ จุฬาลงกรณ์มหาวิทยาลัย ในปีการศึกษา 2554

ส่วนหนึ่งของงานวิจัยนี้ได้เผยแพร่ในเอกสารประกอบการประชุมวิชาการ สิ่งแวดล้อมแห่งชาติครั้งที่ 13 (13th National Environmental Conference) ในหัวข้อ บทความเรื่อง การประยุกต์ใช้เซลล์เชื้อเพลิงชีวภาพแบบห้องเดี่ยวในการบำบัดน้ำเสียที่มีสารอินทรีย์และซัลเฟตสูง (Treatment of organic wastewater containing high-sulfate using microbial fuel cells) ที่จัดขึ้นวันที่ 26-28 มีนาคม 2557 ณ โรงแรมเดออะ ทวิน ทาวเวอร์ รองเมือง กรุงเทพฯ

จุฬาลงกรณ์มหาวิทยาลัย
CHULALONGKORN UNIVERSITY